

# Manual do usuário do inverter

## fotovoltaico trifásico ligado

### à rede

Aplicável a **SCA10K-T-EU,**

**SCA15K-T-EU SCA20K-T-EU,**

**SCA25K-T-EU**



Shanghai Chint Power System Co., Ltd.

Versão 1.1      Fevereiro de 2025      Doc. N.º 9.0020.0788A0

## Índice

0. Prefácio .....	4
1. INSTRUÇÕES DE SEGURANÇA IMPORTANTES .....	5
1.1. Avisos e símbolos neste documento .....	5
1.2. Marcações no produto .....	6
1.3. Precauções de segurança para a operação do inversor fotovoltaico .....	7
2. Introdução geral .....	8
2.1. Sistema fotovoltaico ligado à rede .....	8
2.2. Dimensões e aparência do produto .....	9
2.3. Indicador LED .....	10
2.4. Funções de proteção do produto .....	11
2.5. Função de alimentação noturna .....	11
2.6. Proteção contra detecção de arco elétrico .....	11
2.7. Diagrama esquemático e projeto de circuito .....	13
3. Instalação mecânica .....	14
3.1. Armazenamento do inversor .....	14
3.2. Desembalagem para inspeção .....	14
3.3. Precauções de instalação .....	15
3.4. Requisitos de instalação .....	17
3.4.1. Ambiente de instalação .....	17
3.4.2. Modos de instalação .....	17
3.4.3. Requisitos de espaço .....	18
3.5. Procedimentos de instalação .....	18
4. Conexão elétrica .....	21
4.1. Especificações dos cabos .....	21
4.2. Ferramentas necessárias e valores de torque .....	21
4.3. Conexão do cabo elétrico .....	22
4.3.1. Fiação CA e aterramento .....	22
4.3.2. Fiação CC .....	25
4.4. Conexão de comunicação .....	28
4.4.1. Conecte o cabo RS485 .....	28
4.4.2. Instalar o dongle Wi-Fi .....	29
4.5. Antirretorno para inversor único .....	30
5. Comissionamento do inversor .....	31
5.1. Verificações e preparação pré-comissionamento .....	31
5.1.1. Instalação mecânica .....	31
5.1.2. Conexões elétricas .....	31
5.2. Etapas de comissionamento do inversor .....	31

---

6.	Interface e configuração do aplicativo.....	32
6.1.	Download do aplicativo.....	32
6.2.	Conexão do aplicativo e configuração rápida.....	32
6.3.	Visão geral da interface principal e configuração do aplicativo.....	37
6.3.1.	Menu de dados .....	37
6.3.2.	Menu de configuração .....	38
6.3.3.	Atualização do firmware .....	53
6.4.	Mais Menu.....	54
7.	Manutenção e substituição .....	55
7.1.	Verifique as conexões elétricas .....	55
7.2.	Limpar entradas e saídas de ar.....	55
7.3.	Substitua os ventiladores .....	55
7.4.	Substitua o inversor.....	56
8.	Resolução de problemas .....	57
8.1.	Solução de problemas do indicador LED.....	57
8.2.	Falhas comuns e resolução de problemas .....	57
9.	Dados técnicos.....	60
10.	Garantia de qualidade .....	64
10.1.	Isenção de responsabilidade .....	64
10.2.	Cláusulas de garantia.....	65
11.	Reciclagem .....	66

## 0. Prefácio

Obrigado por escolher um inversor fotovoltaico ligado à rede da Chint (doravante referido como “inversor fotovoltaico” ou “inversor”) desenvolvido pela Shanghai Chint Power System Co., Ltd. (doravante referida como “CHINT”).



### IMPORTANTE!

Leia este manual com atenção e certifique-se de que compreendeu todo o conteúdo antes de iniciar qualquer operação.

### Conteúdo principal

Este manual de instalação e operação contém informações importantes, diretrizes de segurança, informações detalhadas sobre planejamento e configuração para instalação, bem como informações sobre configuração, operação e solução de problemas. Leia este manual com atenção antes de usar.

### Público-alvo

- Proprietário da fábrica
- Engenheiro de projeto
- Engenheiro de instalação
- Engenheiro de manutenção

A instalação, o comissionamento, o diagnóstico de problemas e a manutenção do inversor devem ser realizados apenas por pessoal qualificado. Se você encontrar algum problema durante as operações acima mencionadas, verifique cuidadosamente o manual do usuário. Você também pode entrar em contato com o revendedor ou fornecedor local para obter ajuda se o problema persistir.

### Gerenciamento manual

Mantenha este manual do usuário à mão para consulta rápida.

### Direitos autorais

A CHINT reserva todos os direitos deste manual. É proibida qualquer reprodução, divulgação ou cópia, total ou parcial, sem autorização prévia por escrito. Foram envidados todos os esforços na preparação deste documento para garantir a precisão do conteúdo, mas todas as declarações, informações e recomendações neste documento não constituem qualquer tipo de garantia, expressa ou implícita.

A CHINT não se responsabiliza por possíveis erros ou falta de informações neste documento.

# 1. INSTRUÇÕES DE SEGURANÇA IMPORTANTES

## (GUARDE ESTAS INSTRUÇÕES)

**LEIA ESTE MANUAL DO USUÁRIO ATENTAMENTE ANTES DA INSTALAÇÃO E OPERAÇÃO DESTE INVERTER FOTOVOLTAICO. A CHINT RESERVA-SE O DIREITO DE RECUSAR RECLAMAÇÕES DE GARANTIA POR DANOS AO EQUIPAMENTO SE OS USUÁRIOS NÃO INSTALAREM O EQUIPAMENTO DE ACORDO COM AS INSTRUÇÕES DESTE MANUAL.**

**O NÃO CUMPRIMENTO DESTA INSTRUÇÕES E OUTROS PROCEDIMENTOS DE SEGURANÇA RELEVANTES PODE RESULTAR NA ANULAÇÃO DA GARANTIA E/OU DANOS AO INVERTER OU OUTROS BENS!**

### 1.1. Avisos e símbolos neste documento

Símbolos	Significados
	<b>PERIGO!</b> PERIGO indica uma situação perigosa com alto nível de risco que, se não for evitada, resultará em morte ou ferimentos graves.
	<b>AVISO!</b> AVISO indica uma situação perigosa com nível médio de risco que, se não for evitada, poderá resultar em morte ou ferimentos graves.
	<b>CUIDADO!</b> CUIDADO indica uma situação perigosa com baixo nível de risco que, se não for evitada, pode resultar em ferimentos leves ou moderados.
	<b>AVISO!</b> AVISO indica uma situação perigosa que, se não for evitada, pode resultar no funcionamento anormal do equipamento ou em perda de propriedade.
	<b>IMPORTANTE!</b> IMPORTANTE indica informações complementares importantes ou fornece habilidades ou dicas que podem ser usadas para ajudá-lo a resolver um problema ou economizar tempo.

## 1.2. Marcações no produto

Símbolos	Significados
	<b>ALTA TENSÃO!</b> Este equipamento funciona com altas tensões. Todos os trabalhos no equipamento devem ser realizados apenas conforme descrito neste documento.
	<b>ALTA ENERGIA!</b> Risco de choque elétrico devido à energia armazenada no capacitor. Não remova a tampa antes de 5 minutos após desconectar todas as fontes de alimentação.
	<b>SUPERFÍCIE QUENTE!</b> Superfícies quentes. Para reduzir o risco de queimaduras. Não toque.
	Para mais detalhes, consulte o manual do usuário.
	<b>AVISO:</b> Para proteção contínua contra o risco de incêndio, substitua apenas por fusíveis do mesmo tipo e classificação. Consulte o manual de instruções para obter detalhes.
	<b>TERRA!</b> Este símbolo indica a localização de um terminal de aterramento, que deve ser conectado com segurança ao terra através do cabo PE (aterramento de proteção) para garantir a segurança operacional.
	<b>SÍMBOLO RoHS</b> De acordo com os regulamentos 2011/65/UE, o inversor impõe restrições ao uso de substâncias perigosas específicas em equipamentos elétricos e eletrônicos.
	<b>Certificação</b> Este inversor foi aprovado na certificação da organização CE e TUV.
	Informações sobre a fase do inversor.

### 1.3. Precauções de segurança para a operação do inversor fotovoltaico

#### PERIGO!



Antes de abrir a caixa do inversor para manutenção, você deve primeiro desconectar a fonte de alimentação CA do lado da rede e a fonte de alimentação CC do lado fotovoltaico e garantir que a energia de alta tensão dentro do equipamento tenha sido completamente liberada!

Geralmente, você deve cortar todas as conexões com o inversor por pelo menos 10 minutos antes de poder fazer a manutenção e operar o equipamento.

#### AVISO!



Todas as operações e conexões devem ser realizadas por pessoal técnico e de engenharia profissional!

Para evitar o risco de choque elétrico durante a manutenção ou instalação do equipamento, certifique-se de que toda a alimentação CC e CA tenha sido separada do equipamento e que o equipamento esteja devidamente aterrado.

#### ATENÇÃO!



Verifique novamente o suporte de parede antes de pendurar para se certificar de que o suporte de parede está firmemente fixado na superfície de apoio.

Para proteção contínua contra risco de incêndio, substitua apenas por fusíveis do mesmo tipo e classificação. Desconecte a alimentação antes de trocar o fusível.

#### AVISO!



O inversor foi especialmente projetado para integrar a energia CA gerada à rede pública. Não conecte diretamente o terminal de saída CA do dispositivo a equipamentos de energia CA particulares. O inversor não suporta aterrimento do painel da bateria. Se for necessário aterrimento, um transformador deve ser adicionado ao lado CA.

#### AVISO!



Após desembalar o inversor, mantenha todas as suas interfaces sempre seladas, antes e depois de conectar os fios.

#### AVISO!



Não instale o inversor em locais expostos à luz solar direta, para não reduzir a eficiência de conversão devido à alta temperatura, a fim de garantir a vida útil prolongada do inversor.

#### IMPORTANTE!



Antes de escolher um código de rede elétrica, entre em contato com a concessionária de energia elétrica local. Se o inversor for configurado para funcionar sob regulamentos de rede incorretos, a concessionária de energia elétrica poderá cancelar a licença de operação do equipamento.

Certifique-se de que todo o sistema esteja em conformidade com as normas nacionais e os regulamentos de segurança aplicáveis antes de operar o inversor.

## 2. Introdução geral

### 2.1. Sistema fotovoltaico ligado à rede

Os inversores da série SCA(10,15,20,25)K-T-EU são projetados para uso com sistemas fotovoltaicos residenciais conectados à rede. O sistema fotovoltaico é geralmente composto por módulos fotovoltaicos, inversor fotovoltaico e equipamento de distribuição de energia CA, conforme mostrado na figura abaixo. A energia solar é convertida pelos módulos fotovoltaicos em energia CC e, em seguida, convertida pelo inversor em energia CA com a mesma frequência e fase da rede CA. Agora, a energia CA pode ser fornecida total ou parcialmente às cargas locais, com a energia restante sendo alimentada à rede.

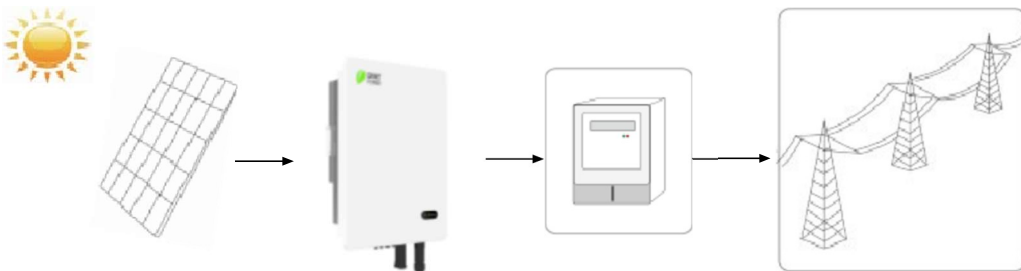


Figura 2-1 Sistema fotovoltaico ligado à rede

Item	Nome	Descrição
A	Módulo fotovoltaico	Silício monocristalino, silício policristalino, módulo fotovoltaico não aterrado
B	Inversor fotovoltaico	Inversor SCA(10,15,20,25)K-T-EU
C	Dispositivo de medição	Dispositivo de medição padrão para geração de energia do inversor
D	Rede pública	Transformador de isolamento e rede elétrica: compatível com os sistemas TT, IT, TN-S, TN-C e TN-C-S

Tabela 2-1 Componentes do sistema fotovoltaico conectado à rede

## 2.2. Dimensões e aparência do produto

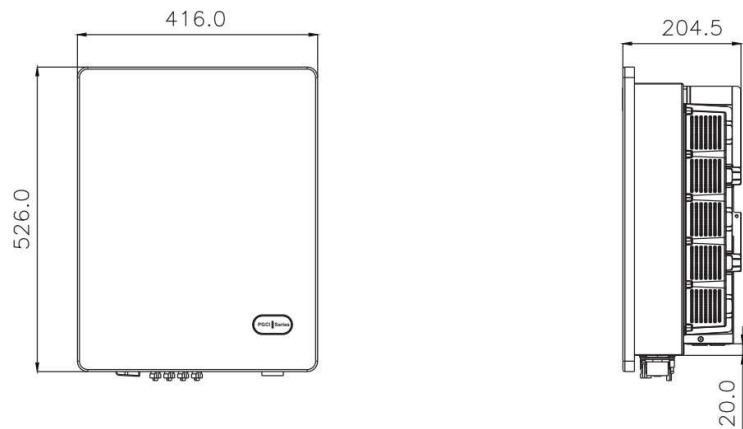


Figura 2-2 Dimensões do inverter (unidade: mm)

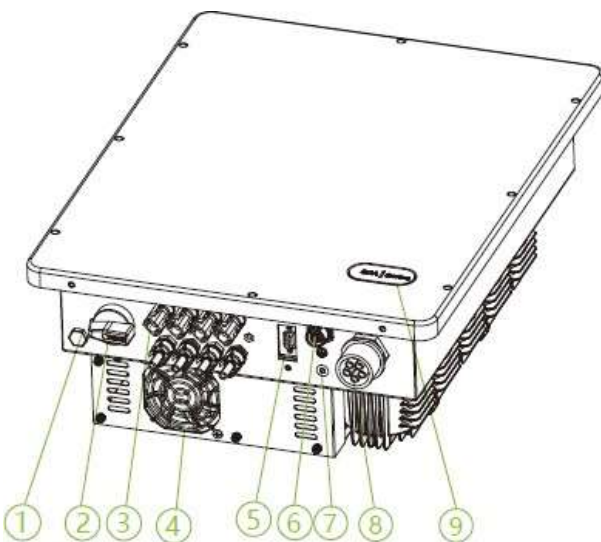


Figura 2-3 Dimensões do inverter (unidade: mm)

Nº	Nome	Função
1	Válvula de ventilação	Liberar pressão
2	Interruptor CC	Desligue a fonte de alimentação CC com segurança
3	Interface de entrada CC	Conecte aos módulos fotovoltaicos
4	Ventilador	Para refrigeração
5	Interface do dongle Wi-Fi	Para controle local e monitoramento remoto
6	Interface de comunicação	Para comunicação RS485
7	Aterramento de proteção externo	Aterramento
8	Terminal de saída CA	Porta de saída do cabo CA
9	Indicador LED	Indica o status de funcionamento

Tabela 2-2 Componentes do produto

**IMPORTANTE!**

Os inversores SCA(10, 15)K-T-EU estão equipados com 2 unidades MPPT, com 1 entrada de string fotovoltaica por MPPT. Os inversores SCA(20, 25)K-T-EU também estão equipados com 2 unidades MPPT, mas com 2 entradas de string fotovoltaica por MPPT. Os procedimentos de montagem e os métodos de conexão elétrica são os mesmos, portanto, vamos usar o inversor 2 MPPT como exemplo, e os pontos diferentes serão apresentados separadamente.



### 2.3. Indicador LED

O visor LED no inversor SCA(10,15,20,25)K-T-EU é apresentado abaixo.

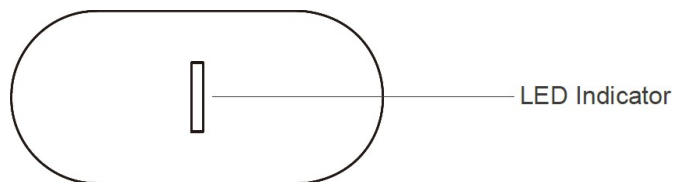


Figura 2-4 Visor LED do inverSOR

Os indicadores e suas indicações são mostrados abaixo:

LED	Indicação	Status
Vermelho	Aviso	Piscando lentamente (acende por 0,5 s, apaga por 2 s)
	Falha geral (recuperável)	Piscada rápida (acende por 0,5 s, apaga por 0,5 s)
	Falha permanente (irrecuperável)	Sempre aceso
	Funciona corretamente	Luz apagada
Verde	(Redução) geração de energia	Piscando (acende por 0,5 s, apaga por 1,6 s)
	Geração de energia operacional regular (nominal)	Sempre acesa
	Em espera	Flash (acender por 2 segundos, apagar por 2 segundos)
	Atualização do firmware	Flash rápido (acende por 0,05 s, apaga por 0,3 s)

Tabela 2-3 Indicadores e suas indicações

## 2.4. Funções de proteção do produto

- Proteção contra curto-circuito
- Monitoramento da resistência de isolamento da entrada em relação ao terra
- Monitoramento da tensão e frequência de saída
- Monitoramento da corrente de fuga à terra
- Monitoramento do componente CC da corrente de saída
- Proteção anti-ilha
- Proteção contra sobretensão de entrada e saída
- Proteção contra sobrecorrente de entrada e saída
- Monitoramento da temperatura ambiente
- Monitoramento da temperatura do módulo
- Fonte de alimentação noturna
- Proteção contra arco elétrico
- Função de exportação zero para a rede

## 2.5. Função de fornecimento de energia noturno

O inversor é alimentado por entrada CC em condições normais quando está em funcionamento. Quando o inversor NÃO está em funcionamento (como em modo de autoinspeção, modo de falha, etc.), ele será alimentado por saída CA, para evitar comunicação anormal ou desligamento devido a falhas do dispositivo ou ausência de energia fotovoltaica à noite.

## 2.6. Proteção contra detecção de arco

As funções de proteção contra detecção de arco do inversor estão em conformidade com a norma IEC 63027. O tipo de dispositivo de proteção contra arco e a explicação detalhada encontram-se nas tabelas abaixo.

Tipo de inversor	Tipo de dispositivo de proteção contra arco
SCA10K-T-EU	F-I-AFPE-1-1-2
SCA15K-T-EU	
SCA20K-T-EU	F-I-AFPE-1-2-2
SCA25K-T-EU	

Tabela 2-4 Tipo de dispositivo de proteção ARC

Letra	Significado
F	Cobertura total
I	Integrado
AFPE	Fornecer função de detecção e interrupção
1	Cada porta de entrada de cadeia liga-se a um painel fotovoltaico
x (x=1, 2)	Cada canal de detecção tem uma ou duas portas de entrada
2	Dois canais de detecção

Tabela 2-5 Significado das letras do dispositivo de proteção contra arco elétrico

- **Proteção contra arco elétrico:** esta função detecta se está ocorrendo um arco elétrico no lado CC do inversor. Quando uma falha de arco elétrico é detectada, o inversor desliga imediatamente. Se o número de registros for inferior a 5 vezes em 24 horas, aguarde 5 minutos, o inversor será reiniciado automaticamente e a conexão à rede será restabelecida. Se atingir 5 vezes, verifique se os cabos ou conexões CC têm isolamento adequado. Se o isolamento estiver normal, o alarme de falha deve ser apagado manualmente.
- **ARC Clear:** Esta função é usada para limpar manualmente a falha “Proteção ARC - Ocorrendo”. O alarme de falha “Proteção ARC - Ocorrência” precisa ser apagado através do aplicativo MatriCloud ou da plataforma de monitoramento.
- **Autoteste ARC:** Esta função é usada para detectar se há alguma falha na placa ARC. O inversor realiza automaticamente o autoteste ARC todos os dias antes da operação normal e, se houver uma falha, o alarme “Falha na placa ARC - Ocorrendo” é exibido.

## 2.7. Diagrama esquemático e projeto do circuito

O diagrama esquemático elétrico do inversor é mostrado nas figuras abaixo. A entrada fotovoltaica passa pelo circuito de proteção contra raios e pelo circuito de filtro EMI CC e, em seguida, pelo circuito BOOST anterior para obter o rastreamento de potência máxima e as funções de reforço. O inversor usa tecnologia de três níveis para converter a tensão CC em uma tensão CA trifásica, filtra os componentes de alta frequência por meio de um filtro de saída e, em seguida, gera energia CA de alta qualidade por meio de um relé de dois estágios e um filtro EMI. Além disso, uma função de detecção de string é adicionada.

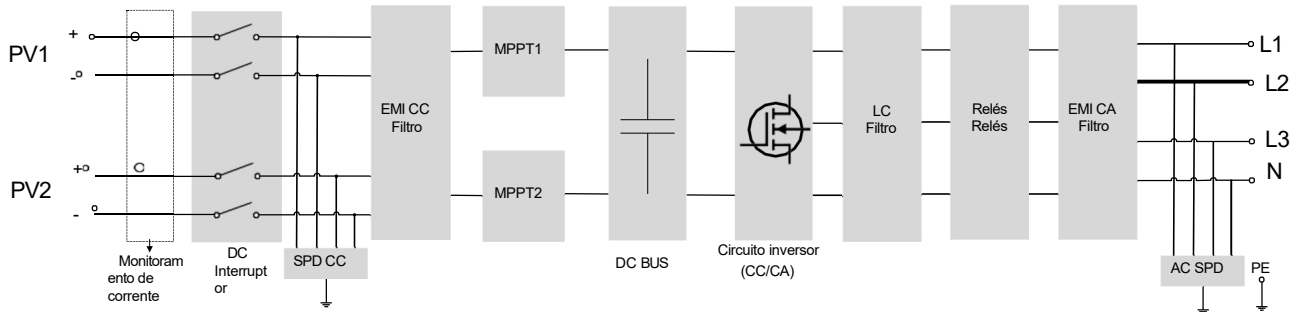


Figura 2-5 Diagrama esquemático do inversor SCA10/15K-T-EU

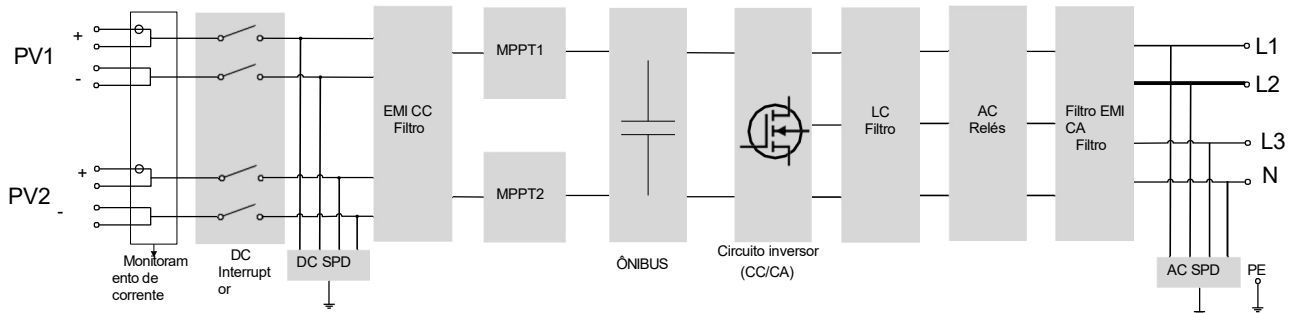


Figura 2-6 Diagrama esquemático do inversor SCA20/25K-T-EU

### 3. Instalação mecânica

#### 3.1. Armazenamento do inverter

Se o inverter não for instalado imediatamente após a chegada, os seguintes requisitos devem ser cumpridos ao armazená-lo:

- Não remova a embalagem externa do inverter.
- Armazene-o em um local limpo e seco e evite a entrada de poeira e umidade.
- Durante o período de armazenamento, são necessárias inspeções regulares (recomendadas pelo menos uma vez a cada três meses). Se forem detectados danos na embalagem, substitua os materiais de embalagem imediatamente.
- Mantenha a caixa da embalagem longe de substâncias corrosivas para evitar danos ao invólucro do inverter.
- Se o inverter tiver sido armazenado por mais de 1 ano, ele deve passar por uma inspeção e testes abrangentes por um profissional antes de ser colocado em operação.
- Não empilhe vários inversores além do “Limite de empilhamento” indicado na caixa externa.

Observação: qualquer dano ao inverter causado por armazenamento inadequado não é coberto pela garantia.

#### 3.2. Desembalagem para inspeção

Antes de realizar a instalação, verifique se o produto apresenta danos evidentes ou se os itens da lista de entrega estão completos. Entre em contato com o seu fornecedor se encontrar algum problema. A lista de entrega é a seguinte:

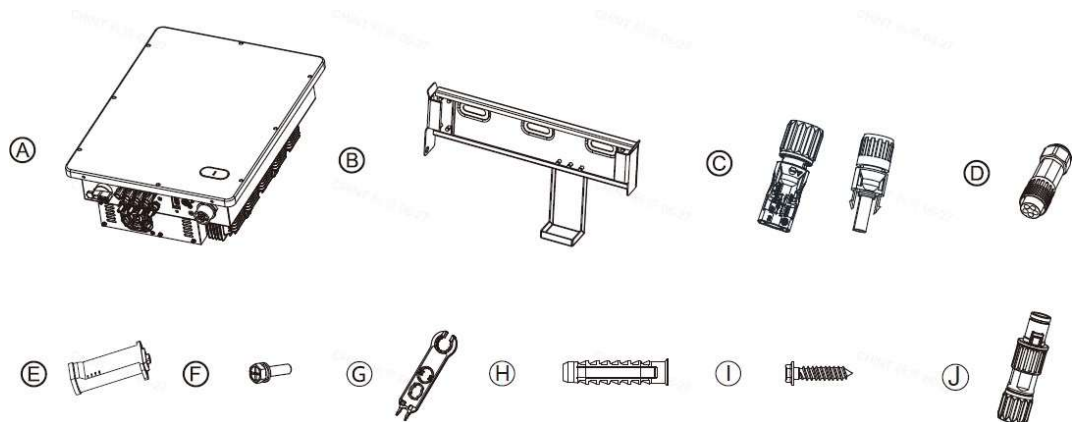


Figura 3-1 Lista de entrega

Nº	Acessórios	Quantidad e	Observação
A	Inversor	1	/
B	Suporte de montagem	1	Inversor suspenso
C	Conector de entrada CC	2+2 Ou 4+4	Conector rápido do cabo CC fotovoltaico: 10-15 kW: 2 (+) e 2 (-) 20-25 kW: 4 (+) e 4(-)
D	Conector de saída CA	1	Conekte os cabos CA e proteja os terminais CA
E	Dongle Wi-Fi	1	Para comunicação e monitoramento
F	Parafuso M5X12	1	Para fixação do inversor e do suporte de montagem.
G	Ferramenta de destravamento para DC conector	1	Para desbloquear os conectores de entrada CC
H	Para desbloquear os conectores de entrada CC	3	Para fixar o suporte de montagem à parede
I	Parafuso ST6.3X55	3	
J	Conector RS485	1	Conekte o cabo RS485
	Documento	1	Guia rápido

Tabela 3-1 Lista de entrega Descrição

### 3.3. Precauções de instalação

- A sedimentação por névoa salina está relacionada com as características da água do mar, do vento marítimo, da precipitação, da umidade do ar, da topografia e da cobertura florestal nos mares adjacentes. Portanto, o inversor não pode ser instalado ao ar livre em áreas danificadas pelo sal (principalmente áreas costeiras a menos de 500 m da costa).
- O inversor gera ruído durante o funcionamento. Não o instale em um local que afete a vida cotidiana.
- Verifique se as especificações ambientais do produto (grau de proteção, faixa de temperatura de operação, umidade e altitude, etc.) atendem aos requisitos do local específico do projeto.
- Certifique-se de que a tensão da rede elétrica está dentro da faixa normal do Código de Rede escolhido.
- Certifique-se de que você foi autorizado pela autoridade local de fornecimento de eletricidade a se conectar à rede.
- O pessoal de instalação deve ser composto por eletricistas qualificados ou por pessoas que tenham recebido formação profissional.
- Utilize EPI (equipamento de proteção individual) adequado durante a instalação.
- Deve ser previsto espaço suficiente para permitir o funcionamento normal do sistema de refrigeração do inversor.
- Instale o inversor longe de substâncias inflamáveis e explosivas.
- Certifique-se de que as condições de instalação não excedam os limites de temperatura especificados para o inversor, a fim de evitar perdas de energia indesejáveis.
- Não instale o inversor perto de uma fonte eletromagnética que possa comprometer o funcionamento normal do equipamento eletrônico.

- As interfaces de alimentação e comunicação inferiores do inversor não devem suportar qualquer peso e não devem estar em contato direto com o solo.
- A eletricidade estática pode danificar os componentes eletrônicos do inversor, portanto, medidas antiestáticas devem ser tomadas durante o processo de substituição ou instalação.
- Cada inversor deve estar equipado com um disjuntor CA e não deve ser compartilhado entre vários inversores.
- Em nenhuma circunstância a estrutura do dispositivo, a sequência de instalação ou qualquer outro aspecto devem ser modificados sem a permissão do fabricante.

Para obter informações detalhadas sobre especificações e limites, consulte o **Capítulo 9**.

## 3.4. Requisitos de instalação

### 3.4.1. Ambiente de instalação

Recomenda-se instalar o inversor sob um abrigo para evitar a luz solar direta, chuva e acúmulo de neve, a fim de evitar a redução da potência, o aumento de falhas do inversor ou a redução de sua vida útil.

evite a luz solar direta

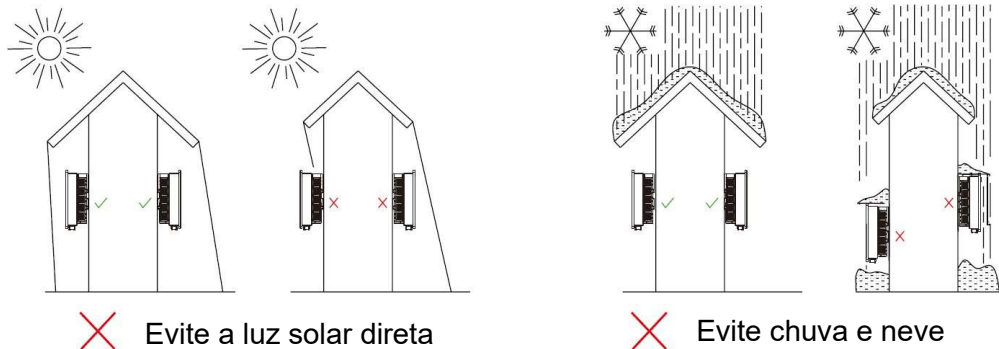


Figura 3-2 Requisitos ambientais

### 3.4.2. Modos de instalação

O inversor deve ser instalado seguindo os modos abaixo:

- Se o local permitir, instale o inversor na vertical.
- Se o inversor não puder ser montado verticalmente, ele pode ser inclinado para trás em um ângulo inferior a 15 graus em relação à direção vertical.
- Não monte o inversor inclinado para a frente.
- Não monte o inversor horizontalmente.
- Não monte o inversor de cabeça para baixo.

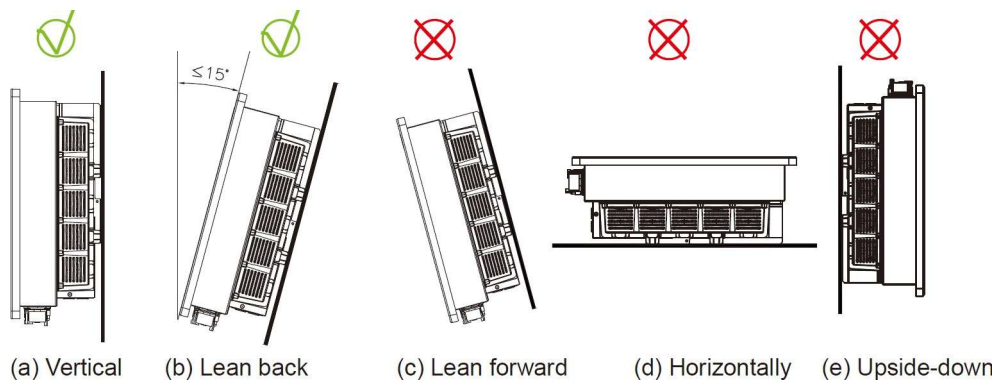


Figura 3-3 Modos de instalação



#### AVISO!

Certifique-se de que a estrutura de montagem (parede de suporte, rack, etc.) é capaz de suportar o peso do inversor.

### 3.4.3. Requisitos de espaço

A distância entre o inversor e os objetos ao redor deve atender às seguintes condições:

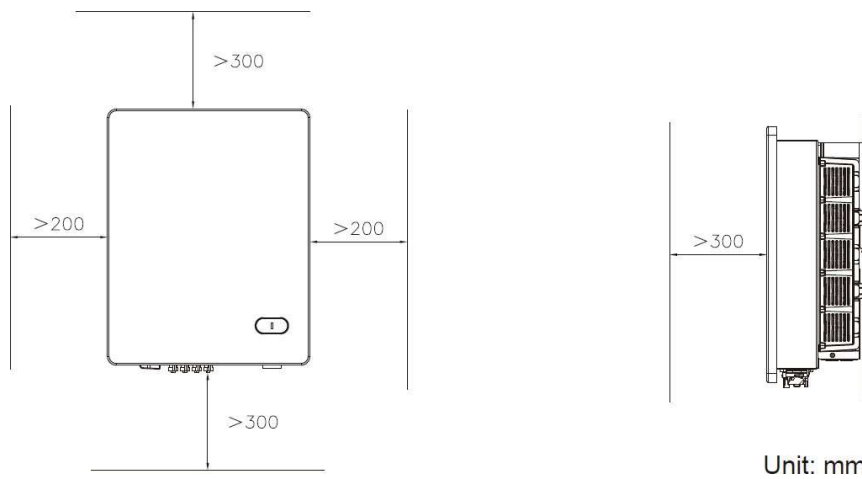


Figura 3-4 Requisitos de espaço de instalação para o inversor

#### ATENÇÃO!



A distância entre o inversor e os objetos à sua esquerda e direita deve ser > 200 mm, e a distância entre o inversor e os objetos acima, abaixo e à sua frente deve ser > 300 mm.

Se o ambiente for relativamente fechado, aumente essa distância adequadamente. Se vários inversores forem usados ao mesmo tempo, nenhum objeto que impeça a dissipação de calor deve ser colocado entre eles.

## 3.5 Procedimentos de instalação

1. Marque as posições dos orifícios de montagem na estrutura de instalação (parede, abrigo, rack de aço, etc.) de acordo com o tamanho dos suportes de montagem. Faça três furos com uma profundidade de 70 mm com uma broca de  $\Phi 10$  mm na posição marcada e, em seguida, insira três parafusos de expansão de nylon nos orifícios de montagem, conforme mostrado abaixo.

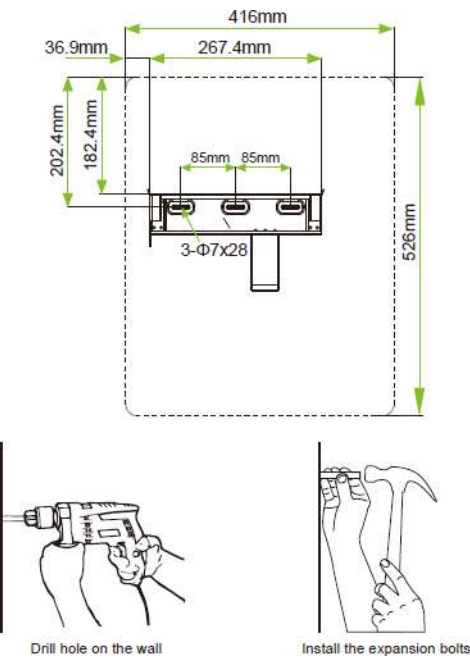


Figura 3-5 Faça furos e insira parafusos de expansão de nylon

2. Insira três parafusos (ST6,3x55) nos orifícios reservados do suporte de montagem e, em seguida, aperte-os nos parafusos de expansão com um valor de torque de 115,2 kgf.cm.

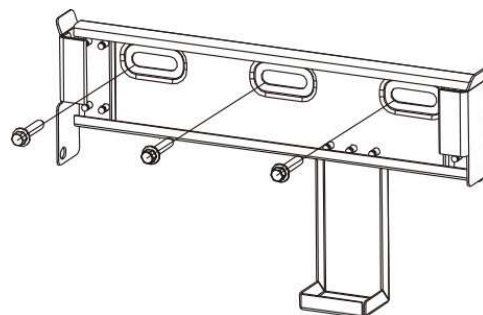


Figura 3-6 Prenda o suporte de montagem



**CUIDADO!**

Para evitar que o pó entre no sistema respiratório ou nos olhos durante a perfuração, os operadores devem usar óculos de proteção e máscaras contra pó.

3. Pendure o inversor no suporte de montagem.

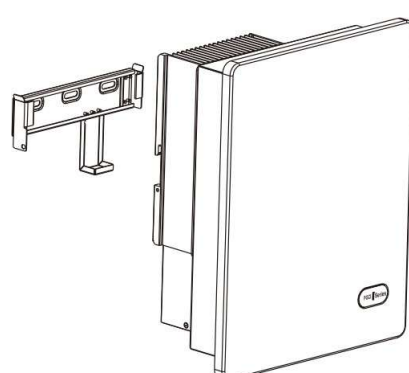


Figura 3-7 Pendure o inverter

**CUIDADO!**

O peso do inversor SCA(10,15)K-T-EU é de cerca de 17 kg (~37,5 libras). O peso do inversor SCA(20,25)K-T-EU é de cerca de 21 kg (~46,3 libras). Certifique-se de que o suporte de montagem está corretamente instalado antes de pendurar o inversor no suporte.

4. Use um parafuso combinado M5 para fixar o inversor no suporte de montagem.

Ferramentas necessárias: chave de fenda PH2, torque: 25,5 kgf.cm.

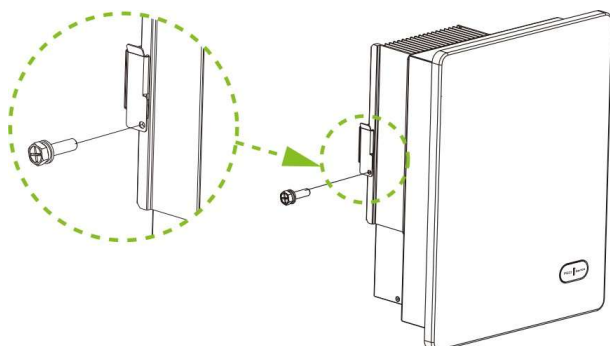


Figura 3-8 Fixe o inversor no suporte de montagem

## 4. Conexão elétrica

### PERIGO!



- Os cabos devem ser conectados de acordo com o Código Elétrico Nacional e todos os outros códigos ou jurisdições locais aplicáveis.
- Todas as conexões dos cabos devem ser feitas garantindo que o equipamento esteja livre de qualquer dano. Caso contrário, pode causar choque elétrico ou incêndio.
- O uso de cabos em ambientes com altas temperaturas pode resultar no envelhecimento ou danos ao isolamento. A distância entre os cabos e os dispositivos geradores de calor ou a área circundante da fonte de calor deve ser de pelo menos 30 mm.
- área circundante da fonte de calor deve ser de pelo menos 30 mm.

### 4.1. Especificação do cabo

Todos os cabos devem ser conectados de acordo com as seguintes especificações.

Cabo	Tipo	CSA do condutor (mm <sup>2</sup> )		OD (mm)
		Faixa	Recomendado	
CC	Cabos fotovoltaicos comuns na indústria (Tipo: PV1-F)	4~6	4	5,0~7,2 <sup>*1</sup>
CA	Cabos multicondutores especializados para uso externo uso	6~16	10~15 kw: 10 20~25 kw: 12	13~21
PE	Cabos especializados para uso externo	6~12	12	NA
RS485	Cabos de 4 núcleos especializados para uso externo	0,21~0,32	0,21	5~6

Tabela 4-1 Especificações do cabo

Nota \*1: Para seleções que excedam o intervalo indicado, consulte a CHINT para verificar a viabilidade.

### 4.2. Ferramentas necessárias e valores de torque

Nº	Ferramentas	Usos	Torque
1	Chave hexagonal nº 17	Fixação do bloco de terminais de saída CA	8,2 – 12,2 kgf.cm
2	Chave hexagonal nº 10	Fixação do terminal de aterramento externo	61,2 kgf.cm
3	Chave de fenda Philips nº 2	Fixação do módulo de comunicação	16,3 kgf.cm
4	Alicate diagonal	Fabricação de cabos	-
5	Descascador de fios	Fabricação de cabos	-
6	Ferramenta de crimpagem	Fabricação de cabos	-

Tabela 4-2 Ferramentas necessárias e valores de torque

## 4.3. Conexão de cabos elétricos

### ATENÇÃO!



- Preste atenção à estanqueidade durante a construção.
- Os cabos do mesmo tipo devem ser agrupados e os cabos de tipos diferentes devem ser dispostos separadamente, sem se entrelaçarem ou cruzarem.
- Leia atentamente e consulte o Capítulo 9 Dados técnicos antes de realizar a fiação.

### 4.3.1. Fiação CA e aterrramento

Execute as etapas de fiação da seguinte maneira:

1. Segure o adaptador (1) do conector CA e desaperte a porca de vedação (2) e a carcaça do conector (3).

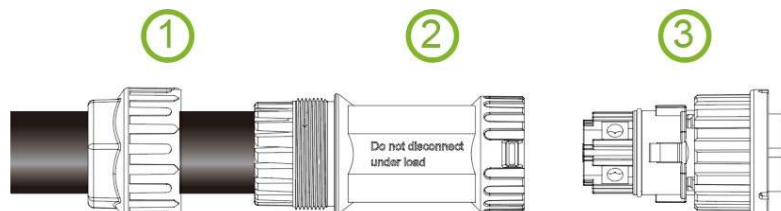


Figura 4-1 Desaperte o conector CA

2. Passe o cabo CA pela porca de vedação e pelo adaptador. Em seguida, retire a camada de isolamento do cabo.

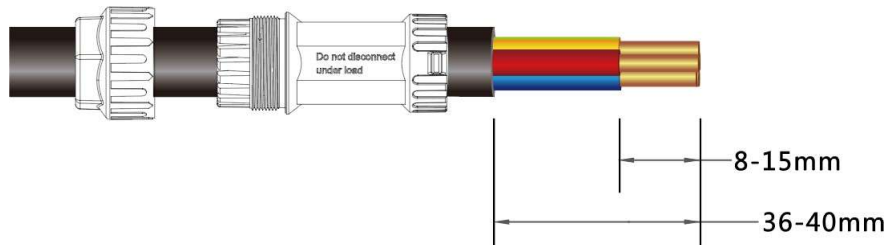


Figura 4-2 Conecte os fios aos terminais CA

3. Conecte os fios CA às portas de crimpagem do conector CA, com o fio terra conectado à porta PE, o fio neutro à porta N e o fio vivo às portas L1, L2, L3.

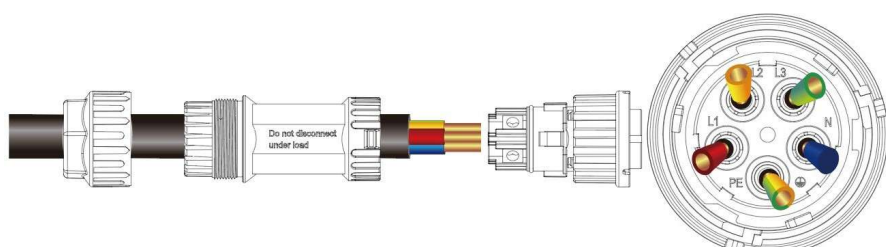


Figura 4-3 Conecte os fios aos terminais CA

### ATENÇÃO!



Conecte o fio terra ao PE, o fio neutro ao N e os fios vivos ao L1/L2/L3, respectivamente. Se conectar-los incorretamente, o inversor poderá funcionar de forma anormal.

4. Use a chave hexagonal padrão para apertar cada parafuso de crimpagem e prenda os cabos com um torque de 8,2 kgf.cm ~ 12,2 kgf.cm.

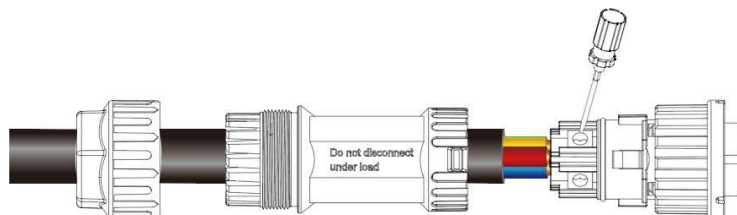


Figura 4-4 Prenda o cabo CA

5. Aperte a porca de travamento (1) manualmente com um torque de 30,6 ~ 40,8 kgf.cm. Em seguida, conecte a luva (2) e o conector (3) até ouvir um “clique”.

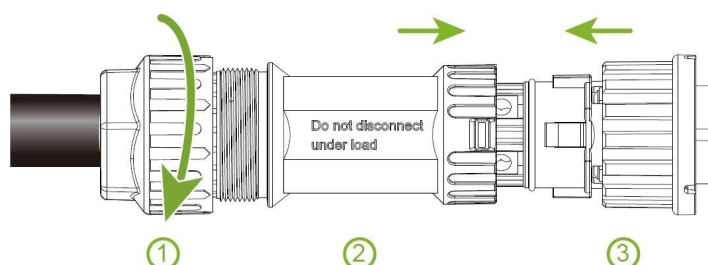


Figura 4-5 Aperte ambas as extremidades do conector CA

6. Alinhe as cinco ranhuras (1) da carcaça do plugue com as cinco saliências (2) do terminal de saída CA, uma por uma. Em seguida, gire a porca de acoplamento e deslize o conector até o final da ranhura, até que o ponteiro mais longo (3) aponte para a posição limite.

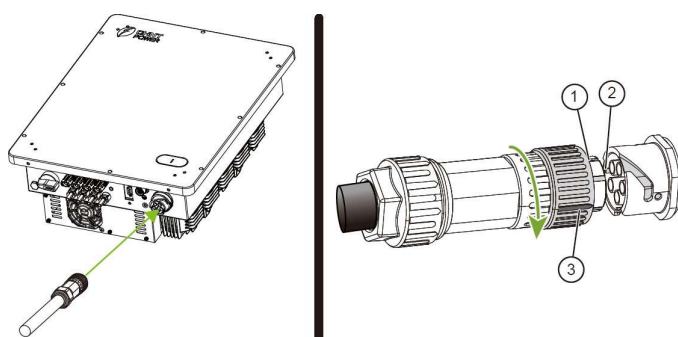


Figura 4-6 Prenda o conector CA ao terminal de saída CA

#### AVISO!



A conexão do fio terra de proteção secundária não pode ser substituída pela do terminal PE entre a conexão CA. Ambos devem ser aterrados corretamente. A CHINT não se responsabiliza pelas possíveis consequências causadas pela omissão.

Os cabos de saída L1/L2/L3/N do inversor fotovoltaico devem ser conectados à rede elétrica por meio de um disjuntor CA de 3 pólos independente, para garantir que o inversor possa ser desconectado com segurança da rede elétrica caso ocorra um evento de sobrecorrente. Além disso, você pode escolher o disjuntor CA de acordo com as seguintes especificações.

Inversor	Corrente do disjuntor CA
SCA(10,15,20,25)K-T-EU	25 A/40 A/50 A/60 A

Tabela 4-3 Especificações do disjuntor CA

7. Use um parafuso M5 para conectar e apertar o fio terra de proteção secundária.

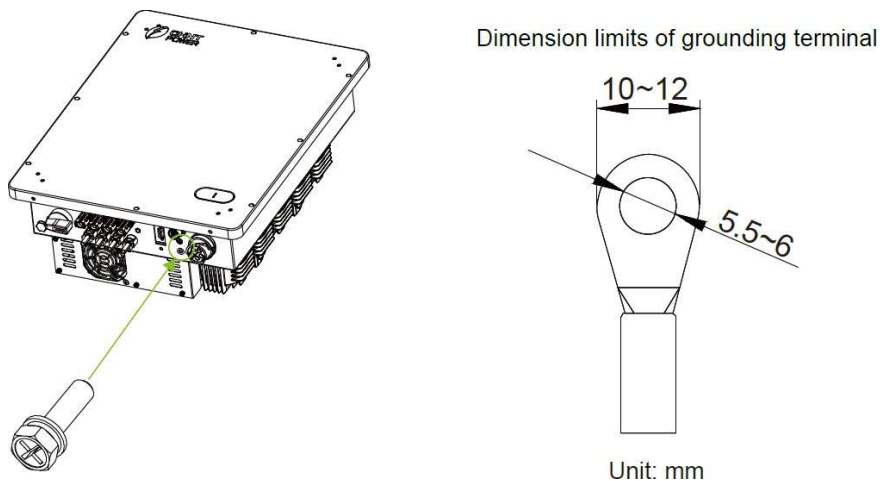


Figura 4-7 Aperte o fio terra secundário

**AVISO!**



- Para aumentar a resistência à corrosão do terminal, recomenda-se aplicar silicone ou tinta externamente ao terminal de aterramento após a instalação da conexão de aterramento de proteção.
- Durante a instalação, tente manter os cabos de saída CA próximos uns dos outros e, durante a instalação, mantenha os cabos de saída CA próximos dos cabos de aterramento de proteção.
- Além disso, durante a instalação, procure manter os cabos de saída CA próximos aos cabos de entrada CC. A não vedação das aberturas nos terminais de saída conforme necessário, levando ao mau funcionamento da máquina, resultará na não prestação de assistência técnica por parte da nossa empresa. garantia e sem assumir qualquer responsabilidade.

### 4.3.2. Fiação CC

Para obter o desempenho ideal do inversor fotovoltaico, leia as seguintes diretrizes antes de realizar qualquer conexão CC.

- Confirme a configuração da entrada CC e certifique-se de que a tensão CC aberta máxima de cada módulo fotovoltaico seja inferior a 1100 Vcc em qualquer condição. (Preste atenção ao fato de que a tensão aberta dos painéis fotovoltaicos seja inferior a 1100 V na temperatura ambiente mais baixa, considerando o coeficiente de temperatura de tensão negativa da placa da bateria.)
- Antes de conectar os cabos CC, certifique-se de que os módulos fotovoltaicos na mesma área de entrada sejam consistentes, incluindo o tipo, o número de placas da bateria, o dip e o azimute.
- A corrente de curto-círcuito de cada string fotovoltaica deve ser inferior a 45 A.

#### 4.3.2.1. Conexão do cabo CC

Verifique a polaridade antes de terminar os cabos CC das cadeias fotovoltaicas de acordo com os seguintes passos, conforme ilustrado na figura abaixo:

1. Use um multímetro para medir as extremidades dos cabos das cadeias fotovoltaicas e verifique a polaridade.
2. O terminal positivo (+) do cabo deve corresponder ao terminal positivo (+) da entrada CC do inversor.
3. O terminal negativo (-) do cabo deve corresponder ao terminal negativo (-) da entrada CC do inversor.

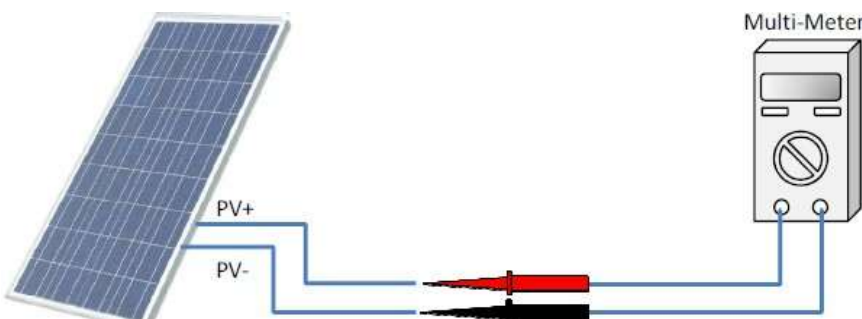


Figura 4-8 Verificação da polaridade



#### ATENÇÃO!

É importante usar um multímetro para verificar a polaridade dos cabos de entrada CC para evitar qualquer risco de polaridade reversa.

Realize a conexão do cabo de acordo com as seguintes etapas:

1. Remova um comprimento adequado do revestimento e da camada de isolamento do cabo de entrada CC das cadeias fotovoltaicas.

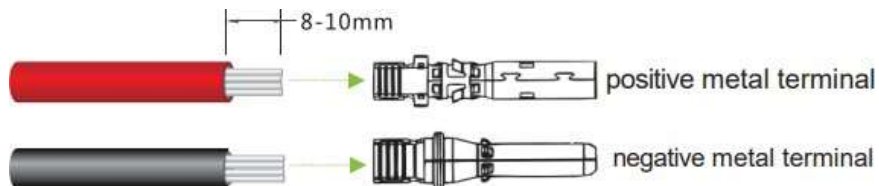


Figura 4-9 Descascamento do fio CC

2. Insira as áreas expostas dos cabos de alimentação positivo e negativo nos terminais metálicos dos conectores positivo e negativo, respectivamente. Crimpagem dos terminais metálicos utilizando a ferramenta de crimpagem Amphenol H4TC0002 ou Devalan D4ZCY001.

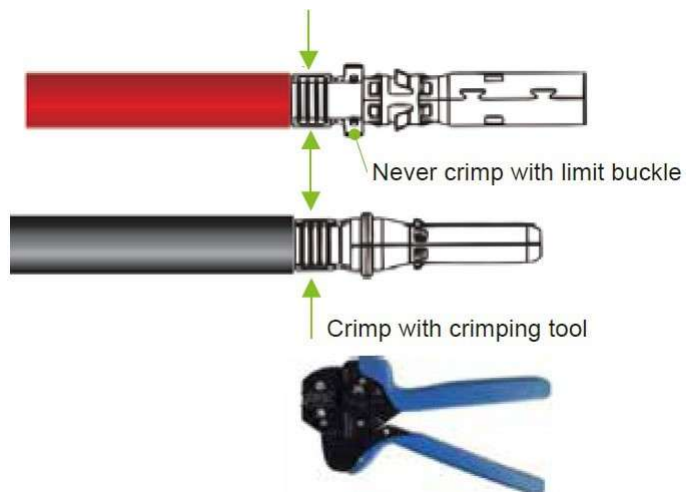


Figura 4-10 Crimpagem dos cabos de alimentação

3. Insira os cabos de alimentação positivo e negativo crimpados nos conectores positivo e negativo correspondentes até ouvir um “clique”. Aperte as porcas de travamento dos conectores positivo e negativo.

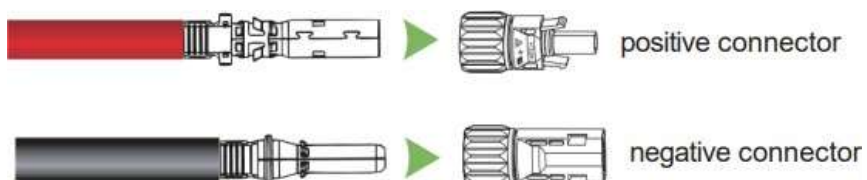


Figura 4-11 Insira os cabos de alimentação nos conectores

#### AVISO!



O conector usado para a entrada CC deve ser um acessório padrão fornecido com o inversor ou do mesmo modelo do mesmo fabricante. Caso contrário, pode ocorrer um contato deficiente, afetando o uso normal.

4. Insira os conectores positivo e negativo nos terminais correspondentes do inversor até ouvir um “clique”.

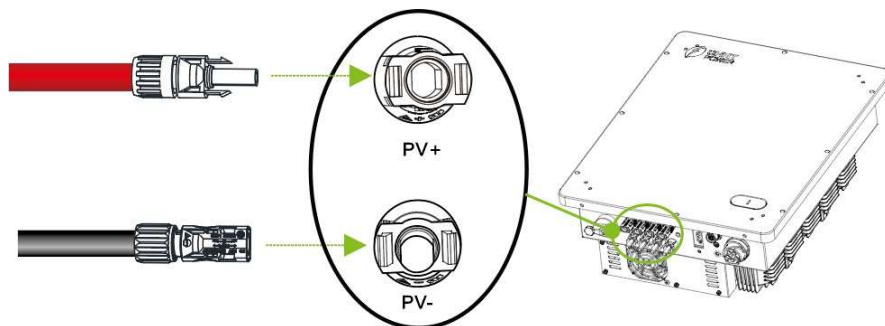


Figura 4-12 Insira os conectores nos terminais correspondentes



**ATENÇÃO!**

- O fio de aterramento deve estar bem conectado.
- O interruptor CC deve estar na posição OFF.

Após concluir todas as etapas de fiação, recomenda-se prender os cabos a aproximadamente 300 a 350 mm de distância dos conectores CC e do conector CA (consulte a figura abaixo). Isso pode ajudar a evitar o balanço ou movimento dos cabos, o que pode afrouxar os conectores e afetar potencialmente o grau de proteção do inversor.

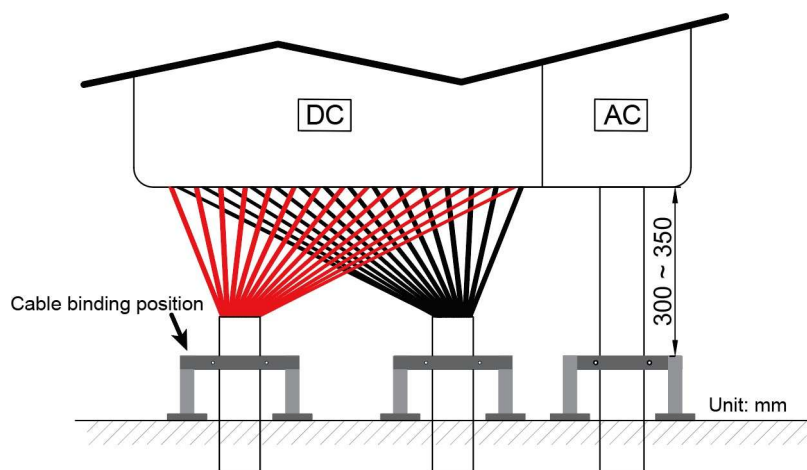


Figura 4-13 Amarre os cabos

## 4.4. Conexão de comunicação

### 4.4.1. Conecte o cabo RS485

Execute a conexão do cabo RS485 de acordo com as seguintes etapas:

1. Afrouxe a porca do conector RS485 com a mão.

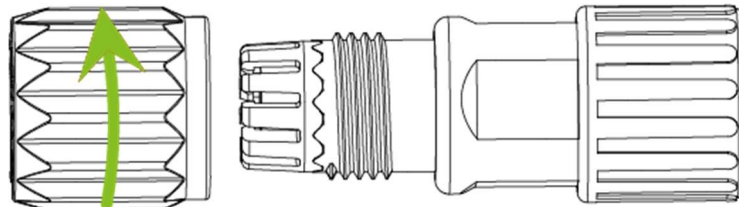


Figura 4-14 Solte a porca da gaxeta

2. Passe um cabo de comunicação RS485 de quatro núcleos pela porca do prensa-cabos e pelo adaptador do conector RS485 e, em seguida, retire a camada de isolamento do cabo.

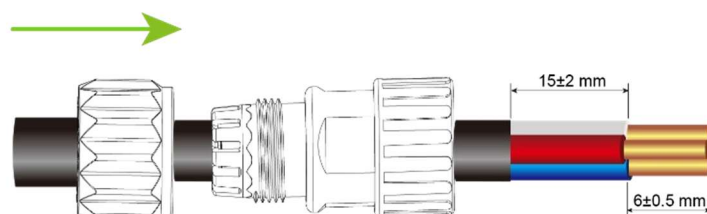


Figura 4-15 Passe um cabo de comunicação RS485 de quatro núcleos

3. Crimpagem dos fios de comunicação nas portas corretas do conector RS485.

- a) Para inversor único: passe um cabo COM RS485 de 4 núcleos pelo conector RS485, conecte o fio +12V à porta 1, o fio GND à porta 2, o fio RS485+ à porta 3 e o fio RS485- à porta 4.



Figura 4-16 Crimpagem dos fios de comunicação

- b) Para vários inversores: quando vários inversores estiverem conectados em cadeia, passe os cabos RS485 COM pelo conector RS485. Retire 60 mm da camada isolante do cabo, conecte dois fios RS485+ à porta 3 e dois fios RS485- à porta 4.



#### ATENÇÃO!

Se conectar à porta incorreta, o inversor poderá funcionar de forma anormal

4. Aperte os parafusos de crimpagem com uma chave de fenda, valor de torque: 4,1~6,1 kgf.cm.

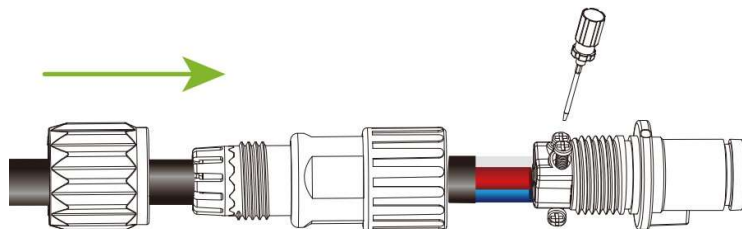


Figura 4-17 Aperte os parafusos

5. Aperte o plugue de fiação manualmente com um torque de 12,2~15,3 kgf.cm. Em seguida, ajuste o comprimento do cabo e aperte a porca do prensa-cabos manualmente com um torque de 26,5 kgf.cm~29,6 kgf.cm.

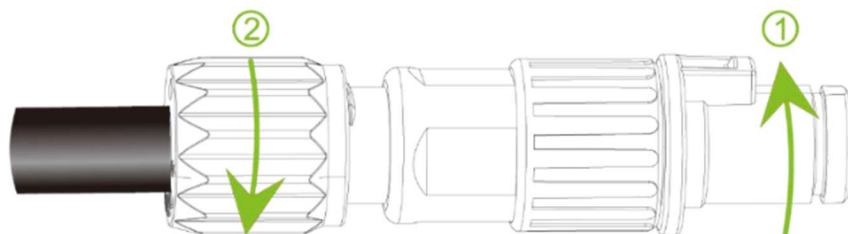


Figura 4-18 Aperte o conector RS485

6. Alinhe a barra de posicionamento no conector RS485 com a ranhura na interface de comunicação RS485 e insira o conector RS485. Quando ouvir um som de “clique”, isso indica que a conexão foi bem-sucedida.

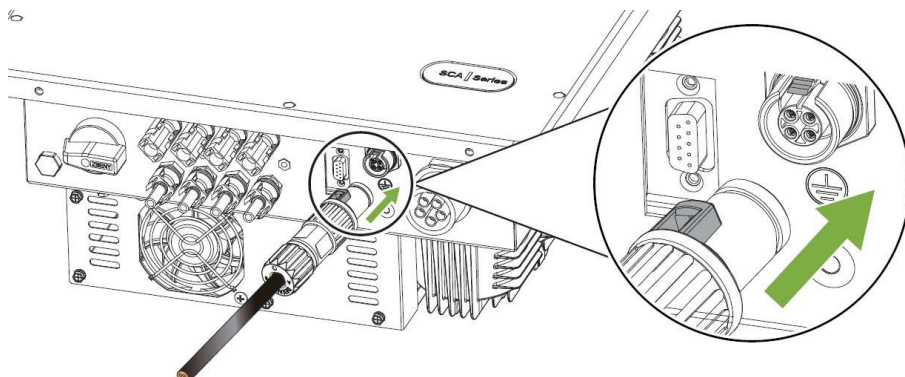


Figura 4-19 Insira o conector RS485

#### 4.4.2. Instalar o dongle Wi-Fi

Instale o dongle Wi-Fi conforme mostrado abaixo:

1. Insira o dongle Wi-Fi na interface de comunicação correspondente no inversor.
2. Aperte os parafusos em ambos os lados do dongle Wi-Fi usando uma chave Phillips nº 2, valor de torque: 10 kgf.cm.

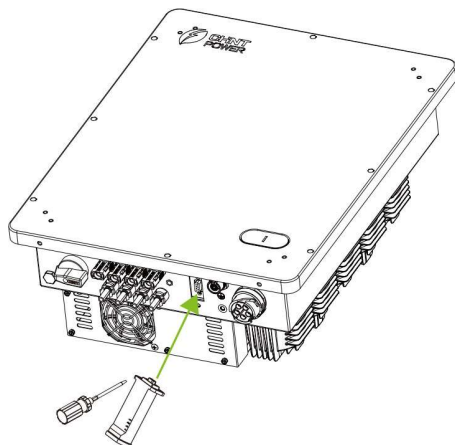


Figura 4-20 Instalar o dongle Wi-Fi

## 4.5. Antirretorno para inversor único

**Observação:** O antirretorno é uma função padrão do inversor SCA(10,15,20,25)K-T-EU, que pode ser ativada ou desativada de acordo com as necessidades do usuário.

Siga o diagrama abaixo para realizar a fiação anti-refluxo simples:

1. Antes de realizar qualquer conexão elétrica, certifique-se de que o medidor esteja intacto e que todos os cabos estejam desenergizados.
2. Conecte as linhas L1, L2, L3, N do lado da rede ao medidor.
3. Conecte o TC (transformador de corrente) ao medidor.
4. Instale o TC na linha de fase correspondente na direção do fluxo de corrente.
5. Conecte o cabo de comunicação RS485 ao inversor, consulte a [Seção 4.4.1 Conectar o cabo RS485](#).

Após concluir os procedimentos de fiação, a configuração relevante precisa ser definida no aplicativo Chint Connect. Consulte [6.2.4.11.1 Configuração do parâmetro anti-refluxo no Chint Connect](#).

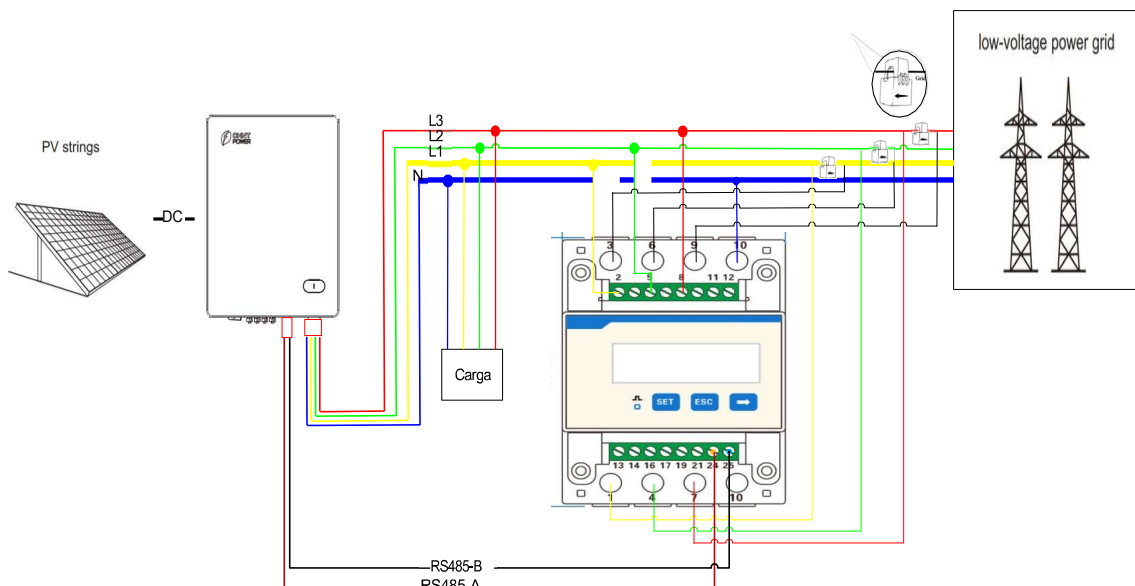


Figura 4-21 Trifásico de quatro fios: através do transformador de corrente

## 5. Comissionamento do inversor

### ATENÇÃO!



- Siga as orientações abaixo antes de realizar qualquer operação na rede para eliminar possíveis perigos.
- Quando o equipamento for ligado pela primeira vez, é imperativo que profissionais configurem corretamente os parâmetros.
- Antes de operar no modo conectado à rede, siga as diretrizes a seguir para identificar e eliminar riscos potenciais, garantindo a segurança.

### 5.1. Verificações e preparação pré-comissionamento

#### 5.1.1 Instalação mecânica

Realize as seguintes inspeções consultando o capítulo 3 Instalação mecânica

- Certifique-se de que todos os suportes de montagem estejam bem fixados.
- Certifique-se de que todos os parafusos foram apertados com os valores de torque especificados.

#### 5.1.2 Conexões elétricas

Realize as seguintes inspeções consultando o capítulo 4 Conexão elétrica.

- Confirme se todos os cabos estão conectados de forma firme e confiável e se não há conexões erradas ou faltando.
- Os cabos estão posicionados de forma adequada e não serão danificados mecanicamente.
- Preste atenção especial se a polaridade positiva e negativa do cabo CC no lado da entrada está correta.
- Gire o interruptor DC para a posição "OFF".
- Teste e verifique se a tensão CA está dentro da faixa normal de operação.
- Certifique-se de que a tensão de circuito aberto CC das cadeias de entrada seja inferior a 1050 V.

### 5.2. Etapas de comissionamento do inversor

Conclua o teste e a inspeção antes da operação. Confirme que não há erros. Siga as etapas abaixo para testar o funcionamento do inversor.

1. Ligue o disjuntor do lado CA ou o seccionador do fusível.
2. Ligue o disjuntor do lado CC. (Comece pela etapa 3 se não houver disjuntores disponíveis.)
3. Coloque o interruptor CC do inversor na posição "ON". Quando o painel fotovoltaico produzir energia suficiente, o indicador LED POWER do inversor acenderá e o inversor entrará no estado de autoverificação.
4. Configure a inicialização do aplicativo em sequência, de acordo com os procedimentos apresentados no capítulo 6, para garantir que o inversor funcione corretamente.

## 6. Interface e configuração do aplicativo



### IMPORTANTE!

Conclua o teste e a inspeção antes da operação para confirmar que não há erros.

Os conteúdos a seguir são aplicáveis aos inversores da série SCA(10,15,20,25)K-T-EU. Tomaremos o SCA15K-T-EU como exemplo.

Esta interface é apenas para referência. As informações específicas variam de acordo com o dispositivo.

### 6.1. Download do aplicativo

O inversor realiza a interação homem-computador por meio do aplicativo móvel “Chint Connect”.

Os usuários podem baixar a versão iOS na Apple Store ou a versão Android na Google Store, ou escanear diretamente o código QR para fazer o download. (Compatível com os sistemas Android 4.4 e iOS 11.0 ou versões superiores).



### 6.2. Conexão do aplicativo e configuração rápida

Coloque o interruptor DC do inversor na posição “ON”. Quando o painel solar produzir energia suficiente, o indicador LED POWER do inversor acenderá e o inversor entrará no estado de autoverificação.

Uma vez ligado, o inversor criará automaticamente uma rede sem fios que pode ser visível como um ponto de acesso a partir dos dispositivos de comunicação do utilizador (tablet, smartphone, etc.). Os utilizadores podem realizar os seguintes procedimentos para configurar facilmente a aplicação. Em primeiro lugar, abra a função Bluetooth no seu telefone e, em seguida, abra a aplicação Chint Connect.

1. Abra o aplicativo Chint Connect, clique em **Configurações do aplicativo** na parte inferior para definir o idioma, a plataforma do aplicativo, sincronizar os dados da nuvem ou verificar sua versão.

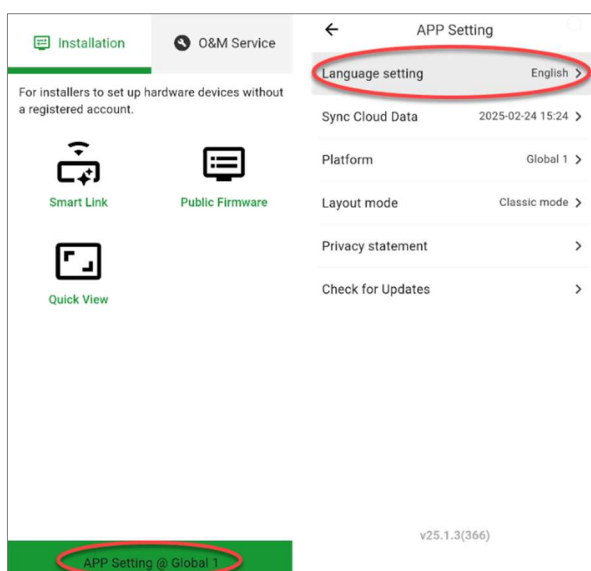


Figura 6-1 Configurações do aplicativo

2. De volta à página inicial, clique em **Smart Link** para entrar na interface **Conectar ao adaptador**.

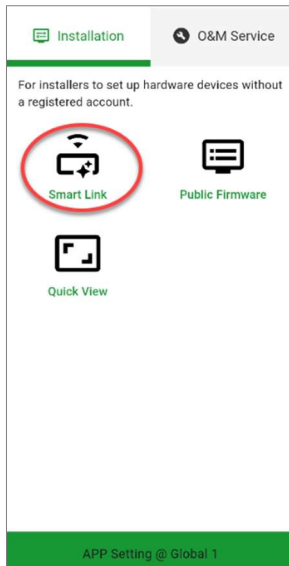


Figura 6-2 Clique em Smart Link

3. Clique na rede sem fio chamada CUGW-XXXXXXX (os últimos quatro números podem ser encontrados na etiqueta do Wi-Fi Dongle) ou clique no ícone QR verde abaixo da lista para escanear o código de barras do Wi-Fi Dongle para conectar a rede; ou você pode tentar o modo Wi-Fi tocando no ícone no canto superior direito e inserindo a senha “Password”.

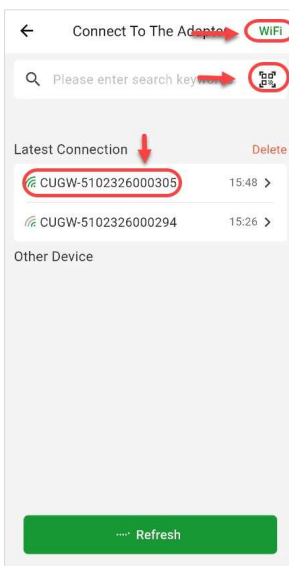


Figura 6-3 Conectar ao adaptador

4. Se a conexão for bem-sucedida, você será redirecionado para a interface de informações do adaptador. Clique em **Dispositivo** para acessar a interface principal. (As configurações do dispositivo são usadas para configurar o adaptador).

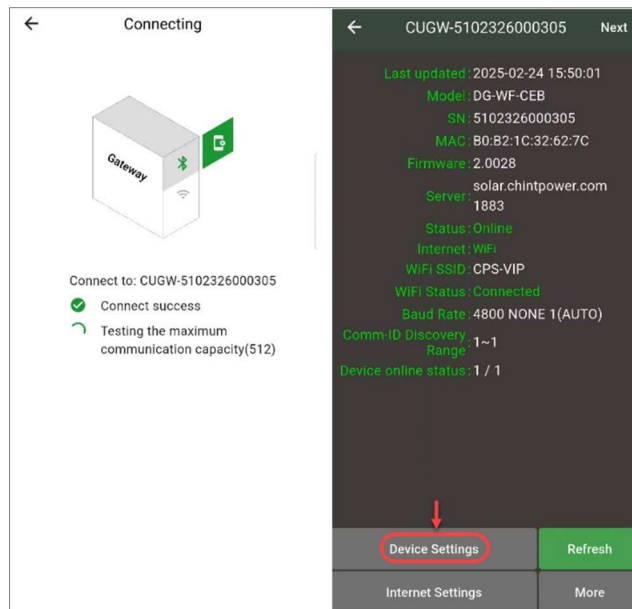


Figura 6-4 Informações do adaptador

5. A interface principal é exibida conforme mostrado abaixo, fornecendo informações em tempo real sobre o inversor.

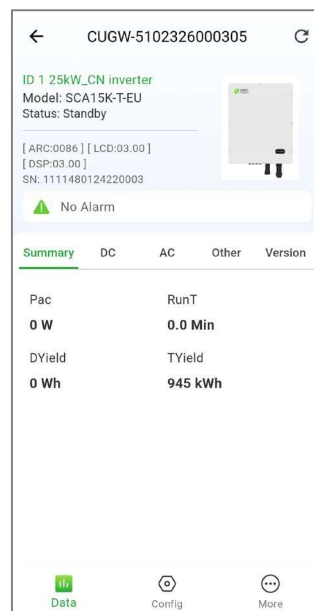


Figura 6-5 Interface principal

6. Clique no ícone **Config** e insira a senha “1111”. Você será redirecionado para a interface de configuração dos parâmetros do inversor.

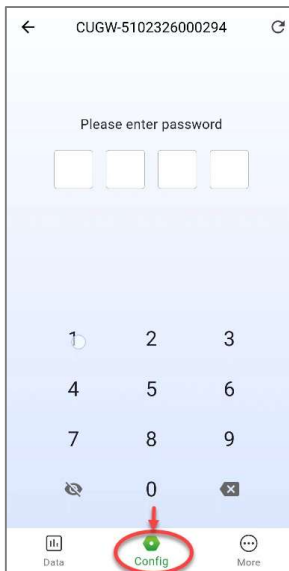


Figura 6-6 Digite a senha de configuração

7. Clique em **Ligar e desligar** para ligar o inversor.

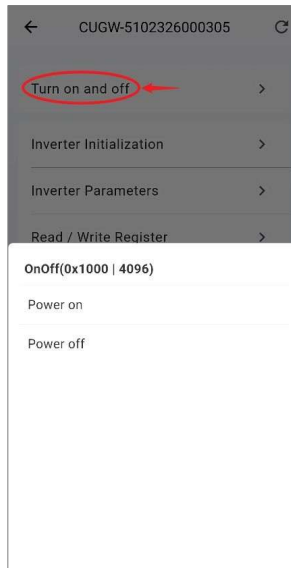


Figura 6-7 Ligar/desligar o inversor

8. Clique em **Inicialização do inversor** para definir o código da rede, o tipo de ligação fotovoltaica, a linha neutra, RS485 e outros parâmetros, se necessário.
- Código de conexão à rede: Escolha o código de rede de acordo com os requisitos da sua autoridade local.
  - Modo de entrada fotovoltaica: A conexão de entrada CC e o modo de funcionamento do rastreador MPPT podem ser configurados como independentes ou paralelos, de acordo com os modos de conexão do inversor.
  - Configuração da linha neutra: Utilizada para escolher se a linha neutra está conectada ou não.
  - RS485: Escolha o endereço Modbus e a taxa de transmissão dos dados de comunicação.
  - TTL: Configure o TTL.
  - Configuração da hora: Configure a hora do sistema.

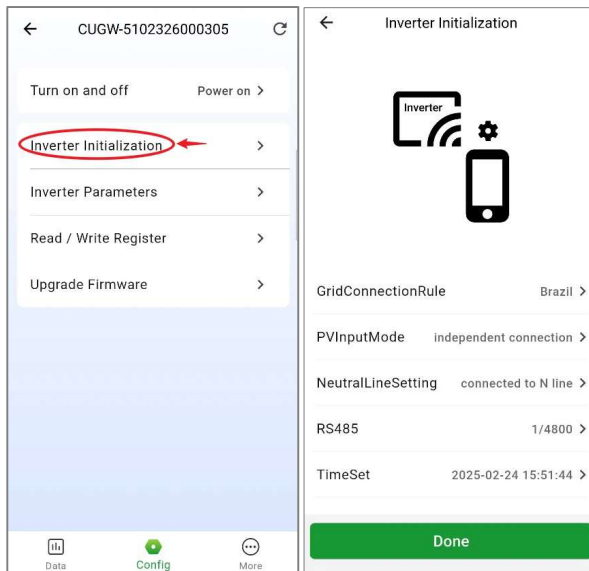


Figura 6-8 Inicializar inversor


**IMPORTANTE!**

Verifique com a sua empresa de fornecimento de energia elétrica local antes de selecionar um código de rede. Se o inversor for operado com um código de rede incorreto, a empresa de fornecimento de energia elétrica poderá cancelar o contrato de interconexão.

Não é permitido colocar o inversor em funcionamento antes que todo o sistema esteja em conformidade com as regras nacionais e os regulamentos de segurança da aplicação.

9. Se o inversor não funcionar normalmente, a luz FAULT acenderá e as informações de falha serão exibidas na interface. Você pode clicar no ícone **Mais** para verificar as informações detalhadas da falha. Toque no ícone no canto superior direito para verificar as informações detalhadas do evento atual e do histórico. Solucione os problemas relacionados e reinicie. Entre em contato com nosso departamento de pós-venda, se necessário.

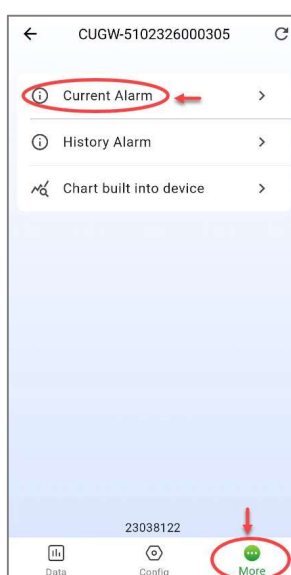


Figura 6-9 Visualizar alarme

## 6.3. Visão geral da interface principal e configuração do aplicativo

Na interface principal, existem três menus de navegação:

- **Dados:** exibe as informações em tempo real do inversor.
- **Config:** Configura os parâmetros do inversor.
- **Mais:** exibe dados de alarme e rendimento de energia.

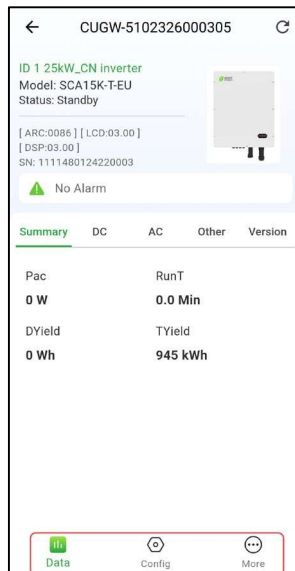


Figura 6-10 Menu principal

### 6.3.1. Menu Dados

A página inicial exibe as informações em tempo real do inversor, que incluem as seguintes seções:

- **Resumo:** Resumo da potência CA (Pac), tempo de funcionamento (RunT), rendimento diário (DYield) e rendimento total (TYield).
- **CC:** A seção CC exibe as informações do modo de entrada fotovoltaica, potência total de saída CC (Pdc), tensão e corrente de cada MPPT.
- **AC:** A seção DC exibe as informações de cada linha de fase.
- **Outros:** A seção Outros exibe as informações de RS485, temperatura do módulo (Tmod) e temperatura interna (Tinter).
- **Versão:** A seção Versão exibe as informações do código da rede, PmaxLim (Limite máximo de potência), SmaxLim (Limite máximo de potência aparente), versão do firmware do LCD, versão de inicialização do LCD, versão do DSP, versão do MiniMCU (Unidade de microcontrolador), versão do CPLD (Dispositivo lógico programável complexo), versão do ARC e versão de inicialização do ARC.

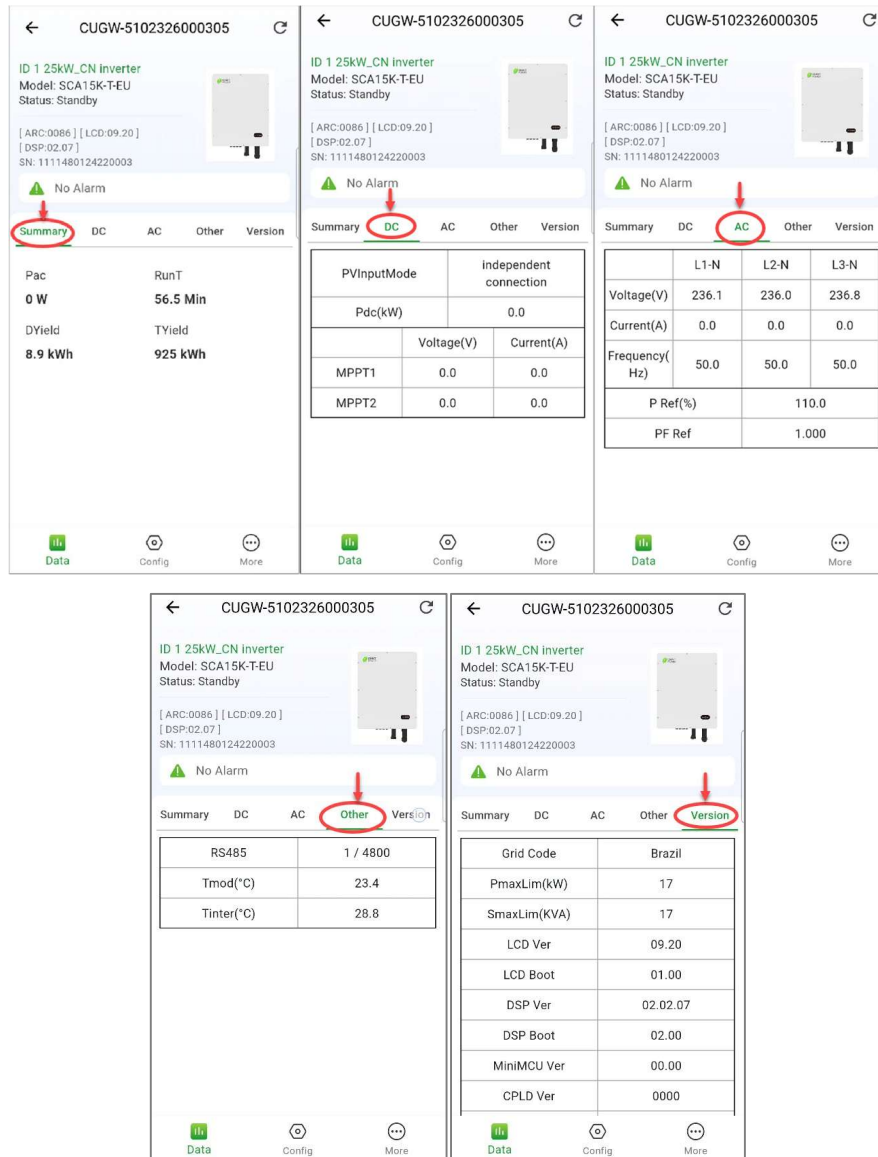


Figura 6-11 Dados em tempo real

### 6.3.2. Menu de configuração

Clique no ícone **Config** e insira a senha “1111” para acessar a interface de configuração. Em seguida, é possível acessar os seguintes submenus na interface de configuração.

- Ligar e desligar: controla o estado de alimentação do dispositivo.
- Inicialização do inverter: configura ou prepara o inverter para operação (por exemplo, configurando as definições básicas).
- Parâmetros do inverter: ajusta ou visualiza os valores de funcionamento do inverter (por exemplo, tensão, frequência, limites de potência).
- Ler/gravar registro: acessa ou modifica as configurações internas do dispositivo para configuração avançada ou solução de problemas.
- Atualizar firmware: atualiza o software interno do dispositivo para melhorar o desempenho ou corrigir problemas.

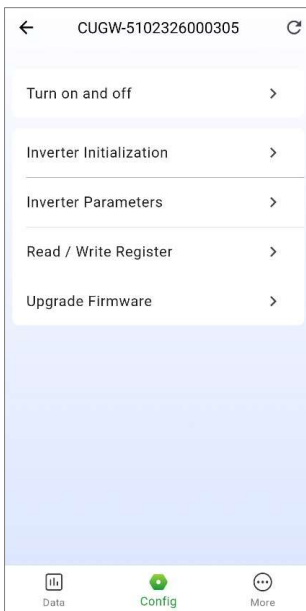


Figura 6-12 Configurar opções

### 6.3.2.1. Ligar e desligar

Controle o estado de energia do dispositivo (inicialização ou desligamento).

- **Ligar/desligar manualmente:** É necessário ligar/desligar manualmente após a configuração do código da rede ou desligamento manual (falha). Toque no submenu “Ligar/desligar”. Em seguida, mova o cursor para “Ligar” para iniciar o inversor. O inversor será iniciado e funcionará normalmente se a condição de inicialização for atendida. Caso contrário, o inversor entrará no modo de espera. Normalmente, não é necessário desligar o inversor, mas ele pode ser desligado manualmente se for necessária a configuração do código da rede ou manutenção. Mova o cursor para o submenu “Ligar/Desligar”. Mova o cursor para “Desligar” e confirme, então o inversor será desligado.
- **Ligar/desligar automaticamente:** O inversor será ligado automaticamente quando a tensão de saída e potência dos painéis fotovoltaicos atingirem o valor definido, a rede elétrica CA estiver normal e a temperatura ambiente estiver dentro da faixa de operação permitida. O inversor será desligado automaticamente quando a tensão de saída e a potência dos módulos fotovoltaicos forem inferiores ao valor definido, ou quando a rede elétrica CA falhar; ou quando a temperatura ambiente exceder a faixa normal.

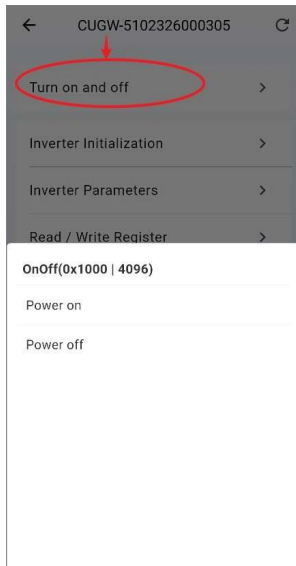


Figura 6-13 Ligar e desligar o inverSOR

#### 6.3.2.2. Inicialização do inverSOR

A **inicialização do inverSOR** configura parâmetros críticos de inicialização para garantir uma operação segura e em conformidade. Isso inclui:

- **Regra de conexão à rede:** seleciona padrões regionais (por exemplo, Brasil) para tensão, frequência e sincronização da rede.
- **Modo de entrada fotovoltaica:** define as conexões do painel solar (por exemplo, conexão independente para canais MPPT separados).
- **Configuração da linha neutra:** configura o aterramento (por exemplo, conectado à linha N por segurança).
- **RS485 e TTL:** Parâmetros de comunicação: Define endereços RS485/TTL para comunicação do dispositivo.
- **TimeSet:** configura a hora do sistema.

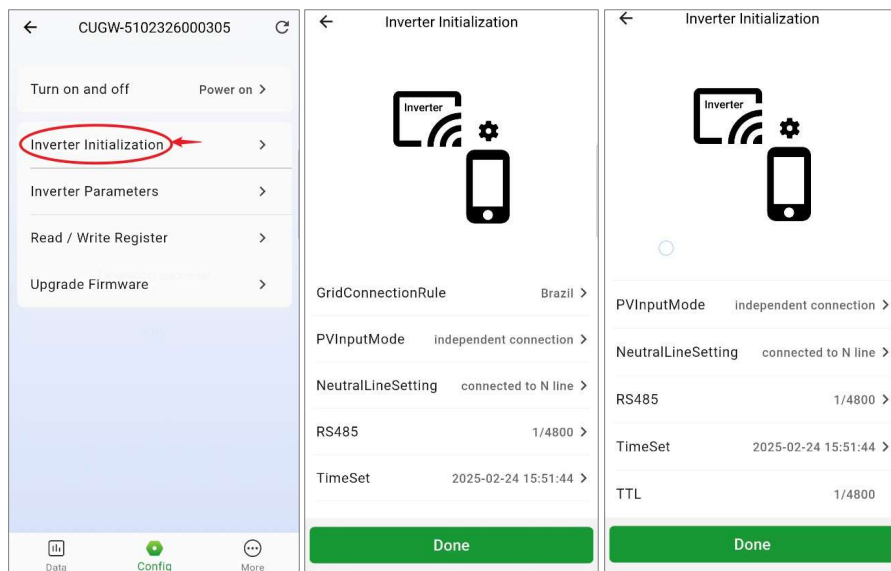


Figura 6-14 Inicialização do inverSOR

### 6.3.2.3. Parâmetros do inverter

Toque na guia **Parâmetros do inverter** para encontrar e reajustar os seguintes parâmetros, incluindo Código da rede, Tipo de ligação fotovoltaica, Linha neutra, RS485, etc.

#### IMPORTANTE!



Verifique com sua concessionária de energia elétrica local antes de selecionar um código de rede. Se o inverter operar com um código de rede incorreto, a concessionária de energia elétrica poderá cancelar o contrato de interconexão.

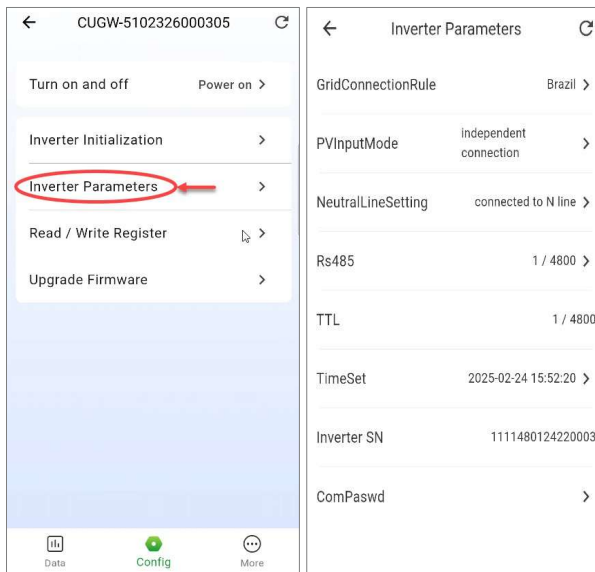


Figura 6-15 Parâmetros do inverter

#### 6.3.2.4. Registro de leitura/gravação

Na interface do **Registro de leitura/gravação**, você pode configurar os parâmetros do registro da seguinte forma:

- Parâmetros de proteção da rede
- Parâmetros de redução da potência ativa
- Parâmetros de redução da potência reativa
- LVRT/HVRT
- Outros parâmetros
- Parâmetros de ativação/desativação do controle
- Comandos de controle
- Informações básicas do inversor
- Parâmetros básicos do LcdLess
- Exportação zero (antirretorno)

← Read / Write Register	
Power Dispatch	5 >
Grid Protection Parameters	39 >
Active Power Derating Parameters	16 >
Reactive Power Derating Parameters	28 >
LVRT/HVRT	32 >
Others Parameters	40 >
Enable/disable control Parameters	50 >
Control Command	17 >
Inverter Basic Information	22 >
LcdLess Basic Parameters	26 >
Zero Export	24 >

← Read / Write Register	
---	---
Active Power Derating Parameters	16 >
Reactive Power Derating Parameters	28 >
LVRT/HVRT	32 >
Others Parameters	40 >
Enable/disable control Parameters	50 >
Control Command	17 >
Inverter Basic Information	22 >
LcdLess Basic Parameters	26 >
Zero Export	24 >

Figura 6-16 Interface do registrador de leitura/gravação

### 6.3.2.4.1 Despacho de energia

Na interface **de distribuição de energia**, você pode encontrar os seguintes parâmetros comuns, conforme mostrado abaixo.

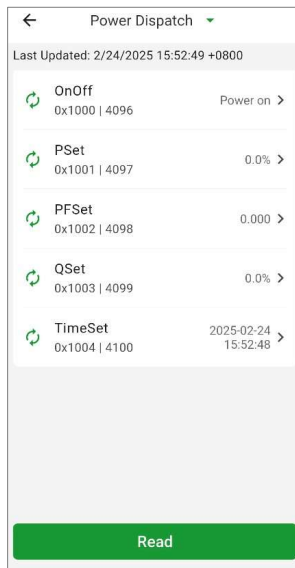
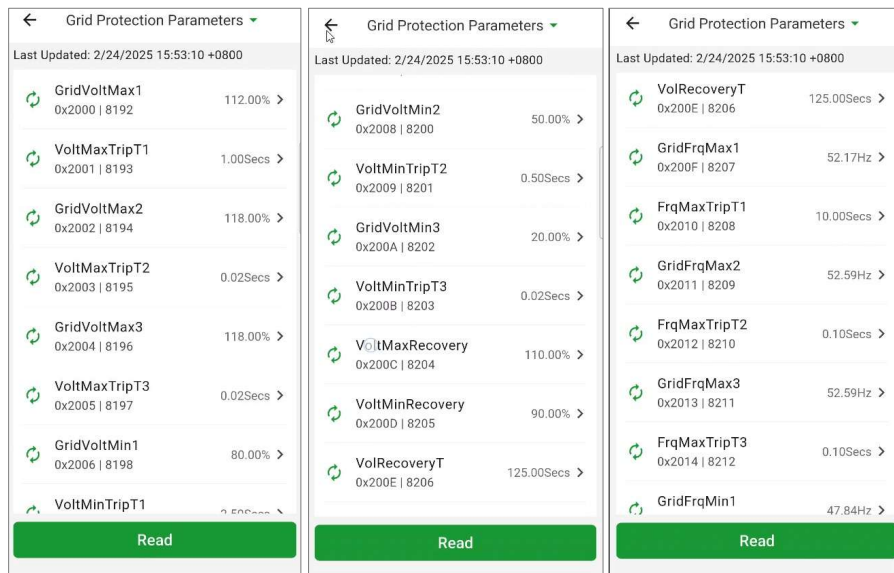


Figura 6-17 Interface de Despacho de Energia

### 6.3.2.4.2 Parâmetros de proteção da rede

A interface **Parâmetros de proteção da rede** exibe os parâmetros de proteção da tensão, frequência e recuperação da rede CA, etc.

Além disso, você pode encontrar e definir os níveis de proteção contra sobretensão, subtensão, sobrefreqüência e subfreqüência.



The three screenshots show the 'Grid Protection Parameters' interface with different sets of parameters:

- Left Column:**
  - GridVoltMax1: 0x2000 | 8192 (112.00%)
  - VoltMaxTripT1: 0x2001 | 8193 (1.00Secs)
  - GridVoltMax2: 0x2002 | 8194 (118.00%)
  - VoltMaxTripT2: 0x2003 | 8195 (0.02Secs)
  - GridVoltMax3: 0x2004 | 8196 (118.00%)
  - VoltMaxTripT3: 0x2005 | 8197 (0.02Secs)
  - GridVoltMin1: 0x2006 | 8198 (80.00%)
  - VoltMinTripT1: 0x2007 | 8199 (0.00Secs)
- Middle Column:**
  - GridVoltMin2: 0x2008 | 8200 (50.00%)
  - VoltMinTripT2: 0x2009 | 8201 (0.50Secs)
  - GridVoltMin3: 0x200A | 8202 (20.00%)
  - VoltMinTripT3: 0x200B | 8203 (0.02Secs)
  - VoltMaxRecovery: 0x200C | 8204 (110.00%)
  - VoltMinRecovery: 0x200D | 8205 (90.00%)
  - VolRecoveryT: 0x200E | 8206 (125.00Secs)
- Right Column:**
  - VolRecoveryT: 0x200E | 8206 (125.00Secs)
  - GridFrqMax1: 0x200F | 8207 (52.17Hz)
  - FrqMaxTripT1: 0x2010 | 8208 (10.00Secs)
  - GridFrqMax2: 0x2011 | 8209 (52.59Hz)
  - FrqMaxTripT2: 0x2012 | 8210 (0.10Secs)
  - GridFrqMax3: 0x2013 | 8211 (52.59Hz)
  - FrqMaxTripT3: 0x2014 | 8212 (0.10Secs)
  - GridFrqMin1: 0x2015 | 8213 (47.84Hz)

Each column has a green 'Read' button at the bottom.

Grid Protection Parameters	
Last Updated: 2/24/2025 15:53:10 +0800	
GridFrqMin1 0x2015   8213	47.84Hz >
FrqMinTripT1 0x2016   8214	5.00Secs >
GridFrqMin2 0x2017   8215	47.42Hz >
FrqMinTripT2 0x2018   8216	0.10Secs >
GridFrqMin3 0x2019   8217	47.42Hz >
FrqMinTripT3 0x201A   8218	0.10Secs >
FrqMaxRecovery 0x201B   8219	50.17Hz >
FrqMinRecovery 0x201C   821A	40.00Hz >
Read	
Last Updated: 2/24/2025 15:53:10 +0800	
FrqMinRecovery 0x201D   8220	49.59Hz >
FrqRecoveryT 0x201E   8221	125.00Secs >
VoltMax 0x201F   8222	110.00% >
MaxTripV 0x2020   8223	600.00Secs >
VoltMin 0x2021   8224	85.00% >
MinTripV 0x2022   8225	600.00Secs >
GridVoltUnbalance 0x2023   8227	10.00% >
Read	
Last Updated: 2/24/2025 15:53:10 +0800	
0x2024   8228	45.00% >
0x2025   8229	35.00% >
LocalComm(CEI) 0x2027   8231	>
StaUpFrqMax(50549-1) 0x2028   8232	50.10Hz >
Read	

Figura 6-18 Parâmetros de proteção

#### 6.3.2.4.3 Parâmetros de redução da potência ativa

O menu Parâmetros de redução de potência ativa é usado para definir os parâmetros de redução de potência ativa, incluindo redução de potência ativa, redução de sobretensão, redução de sobrefreqüência, etc.

Active Power Derating Para...	
Last Updated: 2/24/2025 15:53:37 +0800	
OvrFrqMin 0x2104   8452	50.17Hz >
OvrFrqMax 0x2105   8453	52.17Hz >
OvrFrqSlop 0x2106   8454	100.00% >
RecoveryFrq 0x2107   8455	50.08Hz >
OvrFrqRecoveryT 0x2108   8456	0Secs >
OperationOverVol 0x2109   8462	120.00% >
VwCurveV1 0x2110   8465	116.91% >
VwCurveP1 0x2111   8467	100.00% >
Read	
Active Power Derating Para...	
Last Updated: 2/24/2025 15:53:37 +0800	
VwCurveP1 0x2112   8466	100.0% >
VwCurveV2 0x2113   8467	118.65% >
VwCurveP2 0x2114   8468	0.0% >
OpenLoopRespT 0x2115   8469	10.0Secs >
UnderFrqUpMin 0x211C   8476	45.00Hz >
UnderFrqUpSlop 0x211E   8478	5.0% >
OvrFrqSlope 0x211F   8479	5.0% >
OvrFrqOpenLoopRespT 0x2120   8480	0.0Secs >
OvrFrqDelayActT 0x2121   8481	0.5Secs >
Read	
Active Power Derating Para...	
Last Updated: 2/24/2025 15:53:37 +0800	
0x2113   8467	116.91% >
VwCurveP2 0x2114   8468	0.0% >
OpenLoopRespT 0x2115   8469	10.0Secs >
UnderFrqUpMin 0x211C   8476	45.00Hz >
UnderFrqUpSlop 0x211E   8478	5.0% >
OvrFrqSlope 0x211F   8479	5.0% >
OvrFrqOpenLoopRespT 0x2120   8480	0.0Secs >
OvrFrqDelayActT 0x2121   8481	0.5Secs >
Read	

Figura 6-19 Interface Parâmetros de redução de potência ativa

Você pode ver a curva de redução de potência por sobretensão e a curva de redução de potência por sobrefreqüência nas figuras abaixo.

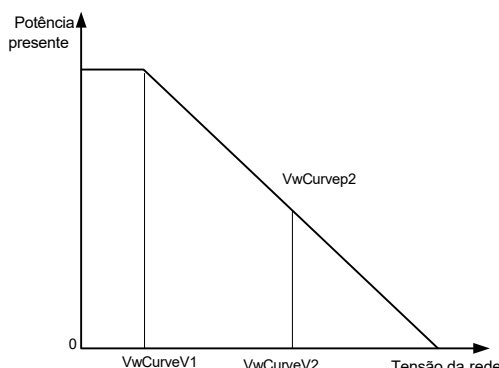


Figura 6-20 Curva de redução da tensão excessiva

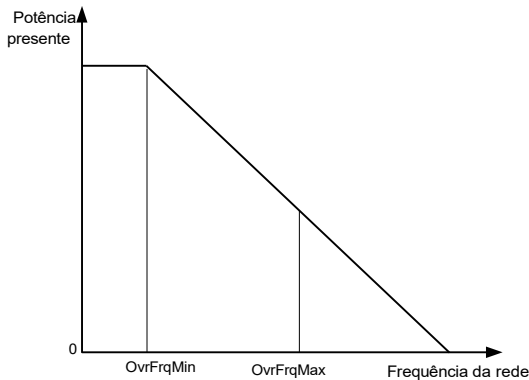


Figura 6-21 Curva de redução de potência por sobreexperiência

#### 6.3.2.4.4 Parâmetros de redução da potência reativa

A interface ReactivePowerDerating é utilizada para definir os parâmetros de redução da potência reativa da rede, incluindo os parâmetros PF e Qu, etc.

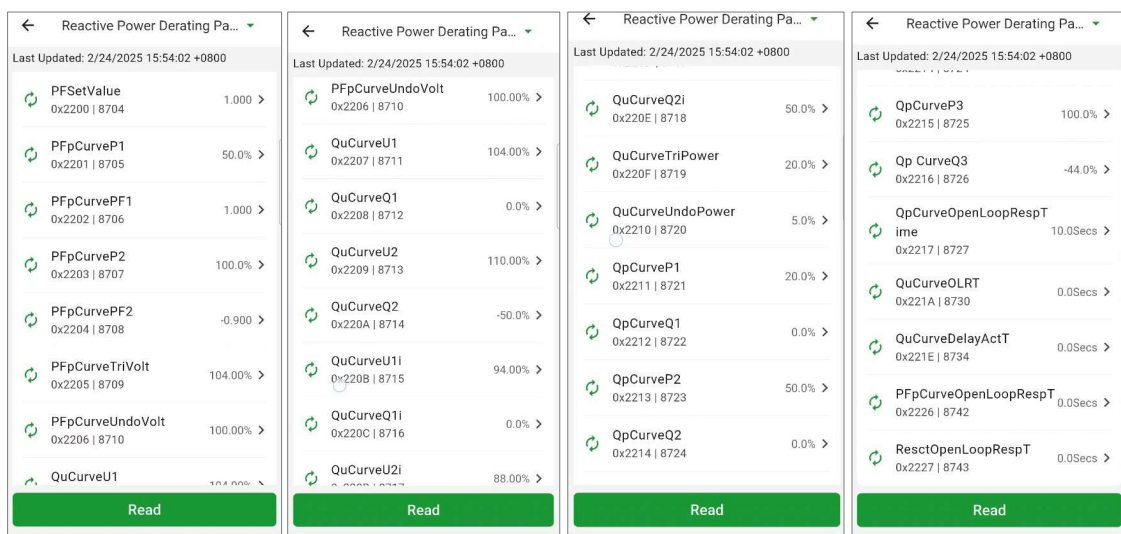


Figura 6-22 Interface ReactivePowerDerating

**Observação:** Os valores PF e Q podem ser ajustados por software remoto se a opção “Remoto” for selecionada.

- PF Set: Define o valor PF. Nota: Altere a potência reativa ajustando o fator de potência.
- Curva PF(P): Modo de curva PF. Observação: O fator de potência muda de acordo com a mudança de potência, conforme mostrado na figura abaixo.

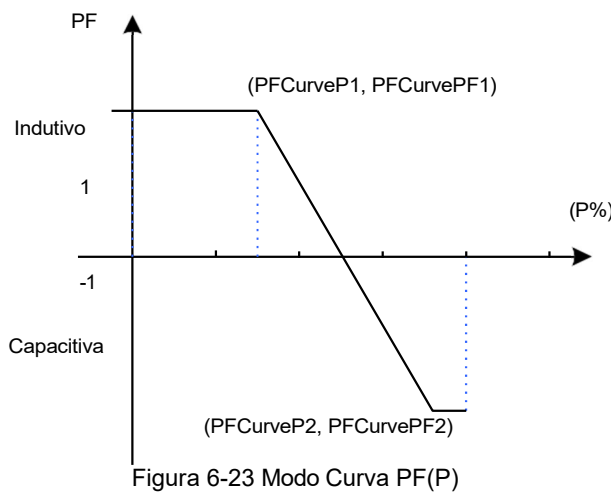


Figura 6-23 Modo Curva PF(P)

- Curva Q(u): Modo de curva Q(u).

**Observação:** A compensação reativa muda de acordo com a variação da tensão da rede, conforme mostrado na figura abaixo.

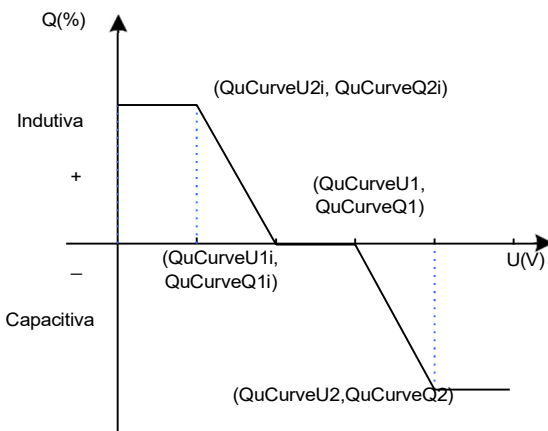


Figura 6-24 Modo Curva Q(u)

#### 6.3.2.4.5 LVRT/HVRT

A interface LVRT/HVRT é usada para definir os parâmetros LVRT (Low voltage ride through) e HVRT (High voltage ride through), conforme mostrado nas seguintes interfaces:

← LVRT/HVRT

Last Updated: 2/24/2025 15:54:28 +0800

LVRTVolt1 0x2400   9216	0.00% >
LVRTTime1 0x2401   9217	0.00Secs >
LVRTVolt2 0x2402   9218	0.00% >
LVRTTime2 0x2403   9219	0.25Secs >
LVRTVolt3 0x2404   9220	18.00% >
LVRTTime3 0x2405   9221	0.25Secs >
LVRTVolt4 0x2406   9222	18.00% >
LVRTTime4 0x2407   9223	0.73Secs >
LVRTVolt5 0x2408   9224	18.00% >
LVRTTime5 0x2409   9225	0.73Secs >
LVRTVolt6 0x240A   9226	18.00% >
LVRTTime6 0x240B   9227	0.73Secs >

**Read**

← LVRT/HVRT

Last Updated: 2/24/2025 15:54:28 +0800

LVRTVolt3 0x2400   9220	18.00% >
LVRTTime3 0x2401   9221	0.25Secs >
LVRTVolt4 0x2402   9222	18.00% >
LVRTTime4 0x2403   9223	0.73Secs >
LVRTVolt5 0x2404   9224	18.00% >
LVRTTime5 0x2405   9225	0.73Secs >
LVRTVolt6 0x2406   9226	18.00% >
LVRTTime6 0x2407   9227	0.73Secs >

**Read**

← LVRT/HVRT

Last Updated: 2/24/2025 15:54:28 +0800

LVRTVolt1 0x2408   9228	0.73Secs >
LVRTVolt7 0x240C   9229	90.00% >
LVRTTime7 0x240D   9229	6.00Secs >
LVRTVolt8 0x240E   9230	90.00% >
LVRTTime8 0x240F   9231	6.00Secs >
HVRTVolt1 0x2410   9232	130.00% >
HVRTTime1 0x2411   9233	0.00Secs >
HVRTVolt2 0x2412   9234	130.00% >

**Read**

LVRT/HVRT	
Last Updated: 2/24/2025 15:54:28 +0800	
 HVRTVolt2 0x2412   9234	130.00% >
 HVRTTime2 0x2413   9235	0.60Secs >
 HVRTVolt3 0x2414   9236	120.00% >
 HVRTTime3 0x2415   9237	0.60Secs >
 HVRTVolt4 0x2416   9238	120.00% >
 HVRTTime4 0x2417   9239	10.10Secs >
 HVRTVolt5 0x2418   9240	110.00% >
 HVRTTime5 0x2419   9241	10.10Secs >
<b>Read</b>	

LVRT/HVRT	
Last Updated: 2/24/2025 15:54:28 +0800	
 HVRTTime5 0x2419   9241	10.10Secs >
 HVRTVolt6 0x241A   9242	110.00% >
 HVRTTime6 0x241B   9243	10.10Secs >
 HVRTVolt7 0x241C   9244	110.00% >
 HVRTTime7 0x241D   9245	10.10Secs >
 HVRTVolt8 0x241E   9246	110.00% >
 HVRTTime8 0x241F   9247	10.10Secs >
<b>Read</b>	

Figura 6-25 Interface LVRT/HVRT Outros parâmetros

#### 6.3.2.4.6 Outros parâmetros

Na interface **Outros parâmetros**, você pode encontrar os seguintes parâmetros comuns, conforme mostrado abaixo.

Others Parameters	
Last Updated: 2/24/2025 15:54:42 +0800	
 PowerOnDelay 0x2500   9472	0Secs >
 PVStartupVolt 0x2501   9473	200V >
 PVSlowStartPwDelta 0x2502   9474	5.00% >
 ErrSoftStartP 0x2503   9475	0.33% >
 NormSoftStopP 0x2504   9476	5.00% >
 NormSoftStartP 0x2505   9477	0.33% >
 NormDeratingStep 0x2506   9478	0.50% >
 StartUpMinTemp 0x2507   9479	-30.0°C >
 FaultPowerT 0x2508   9480	85.0°C >
 FaultEnvT 0x2509   9481	80.0°C >
 HVRTTripVolt 0x250A   9482	112.0% >
 LVRTTripVolt 0x250B   9483	80.0% >
 LVRTPstReactiveL 0x250C   9484	150.0% >
<b>Read</b>	

Others Parameters	
Last Updated: 2/24/2025 15:54:42 +0800	
 LVRTTripVolt 0x250B   9483	80.0% >
 LVRTPstReactiveL 0x250C   9484	150.0% >
 LVRTNegReactiveL 0x250D   9485	200.0% >
 PSetPercentLocal 0x250E   9486	100.0% >
 QSetPercentLocal 0x250F   9487	0.0% >
 ISOProtection 0x2510   9488	40kΩ >
 GFCIStaticValue 0x2511   9489	0.220A >
 GFCIStaticT 0x2512   9490	0.20Secs >
<b>Read</b>	

Others Parameters	
Last Updated: 2/24/2025 15:54:42 +0800	
 GFCIStaticT 0x2512   9490	0.20Secs >
 GFCIDynProFactor 0x2513   9491	150.0% >
 DCIProtection1 0x2514   9492	0.50% >
 DCIProtectionT1 0x2515   9493	60.00Secs >
 DCIProtection2 0x2516   9494	950mA >
 DCIProtectionT2 0x2517   9495	1.00Secs >
 DuplicationControl 0x2518   9496	10% >
<b>Read</b>	

Others Parameters	
Last Updated: 2/24/2025 15:54:42 +0800	
 MPPTScanPeriod 0x2519   9497	3600Secs >
 CheckSumGroup1_6 0x251A   9498	200 >
 PhaseLoseRcvCoeff 0x251C   9500	2.0% >
 PhaseLoseVUnbalance 0x251D   9501	10.00% >
 ReactivePowerStep 0x251E   9502	200.00% >
 PVSlowStartStep 0x251F   9503	5.00% >
 OptiVoltMinMppt1 0x2520   9504	160.0V >
 OptiVoltMaxMppt1 0x2521   9505	1100.0V >
<b>Read</b>	

Others Parameters	
Last Updated: 2/24/2025 15:54:42 +0800	
 OptiVoltMaxMppt1 0x2521   9505	1100.0V >
 OptiVoltMinMppt2 0x2522   9506	160.0V >
 OptiVoltMaxMppt2 0x2523   9507	1100.0V >
 PhaseLoseCoeff 0x2538   9528	3.0% >
 VirtualDamping 0x2539   9529	1.5000 >
 HVRTReactiveL 0x253E   9534	0.0% >
 AIDeltaFre 0x2571   9585	0.040Hz >
 ResProtectCanCurr 0x2572   9586	1.0000 >
<b>Read</b>	

Figura 6-26 Interface Outros Parâmetros

### 6.3.2.4.7 Ativar/desativar parâmetros de controle

Na interface **Ativar/desativar controle**, você pode encontrar os seguintes parâmetros comuns de ativação/desativação, conforme mostrado abaixo.

<table border="1"> <thead> <tr> <th colspan="2">Others Parameters</th> </tr> </thead> <tbody> <tr> <td colspan="2">Last Updated: 2/24/2025 15:54:42 +0800</td> </tr> <tr> <td> OptiVoltMaxMppt1 0x2521   9505</td> <td>1100.0V &gt;</td> </tr> <tr> <td> OptiVoltMinMppt2 0x2522   9506</td> <td>160.0V &gt;</td> </tr> <tr> <td> OptiVoltMaxMppt2 0x2523   9507</td> <td>1100.0V &gt;</td> </tr> <tr> <td> PhaseLoseCoeff 0x2538   9528</td> <td>3.0% &gt;</td> </tr> <tr> <td> VirtualDamping 0x2539   9529</td> <td>1.5000 &gt;</td> </tr> <tr> <td> HVRTReactive1 0x253E   9534</td> <td>0.0% &gt;</td> </tr> <tr> <td> AIDeltaFre 0x2571   9585</td> <td>0.040Hz &gt;</td> </tr> <tr> <td colspan="2">ResProtectCapCurr</td> </tr> <tr> <td colspan="2" style="text-align: center;"><b>Read</b></td> </tr> </tbody> </table>	Others Parameters		Last Updated: 2/24/2025 15:54:42 +0800		 OptiVoltMaxMppt1 0x2521   9505	1100.0V >	 OptiVoltMinMppt2 0x2522   9506	160.0V >	 OptiVoltMaxMppt2 0x2523   9507	1100.0V >	 PhaseLoseCoeff 0x2538   9528	3.0% >	 VirtualDamping 0x2539   9529	1.5000 >	 HVRTReactive1 0x253E   9534	0.0% >	 AIDeltaFre 0x2571   9585	0.040Hz >	ResProtectCapCurr		<b>Read</b>		<table border="1"> <thead> <tr> <th colspan="2">Others Parameters</th> </tr> </thead> <tbody> <tr> <td colspan="2">Last Updated: 2/24/2025 15:54:42 +0800</td> </tr> <tr> <td> OptiVoltMaxMppt1 0x2521   9505</td> <td>1100.0V &gt;</td> </tr> <tr> <td> OptiVoltMinMppt2 0x2522   9506</td> <td>160.0V &gt;</td> </tr> <tr> <td> OptiVoltMaxMppt2 0x2523   9507</td> <td>1100.0V &gt;</td> </tr> <tr> <td> PhaseLoseCoeff 0x2538   9528</td> <td>3.0% &gt;</td> </tr> <tr> <td> VirtualDamping 0x2539   9529</td> <td>1.5000 &gt;</td> </tr> <tr> <td> HVRTReactive1 0x253E   9534</td> <td>0.0% &gt;</td> </tr> <tr> <td> AIDeltaFre 0x2571   9585</td> <td>0.040Hz &gt;</td> </tr> <tr> <td colspan="2">ResProtectCapCurr</td> </tr> <tr> <td colspan="2" style="text-align: center;"><b>Read</b></td> </tr> </tbody> </table>	Others Parameters		Last Updated: 2/24/2025 15:54:42 +0800		 OptiVoltMaxMppt1 0x2521   9505	1100.0V >	 OptiVoltMinMppt2 0x2522   9506	160.0V >	 OptiVoltMaxMppt2 0x2523   9507	1100.0V >	 PhaseLoseCoeff 0x2538   9528	3.0% >	 VirtualDamping 0x2539   9529	1.5000 >	 HVRTReactive1 0x253E   9534	0.0% >	 AIDeltaFre 0x2571   9585	0.040Hz >	ResProtectCapCurr		<b>Read</b>		<table border="1"> <thead> <tr> <th colspan="2">Enable/disable control Para...</th> </tr> </thead> <tbody> <tr> <td colspan="2">Last Updated: 2/24/2025 15:55:34 +0800</td> </tr> <tr> <td> 0x2607   9735</td> <td>Enable &gt;</td> </tr> <tr> <td> LVRTModeSetting 0x2608   9736</td> <td>Enable, no reactive power output &gt;</td> </tr> <tr> <td> HVRTModeSetting 0x2609   9737</td> <td>Disable &gt;</td> </tr> <tr> <td> NormSoftStopPEn 0x260A   9738</td> <td>Enable &gt;</td> </tr> <tr> <td> PID Check Settings 0x260B   9739</td> <td>No external connection &gt; PID-Box</td> </tr> <tr> <td> GridVoltMax1En 0x260C   9740</td> <td>Enable &gt;</td> </tr> <tr> <td> GridVoltMax2En 0x260D   9741</td> <td>Enable &gt;</td> </tr> <tr> <td> GridVoltMax3En 0x260E   9742</td> <td>Disable &gt;</td> </tr> <tr> <td colspan="2">ResProtectCapCurr</td> </tr> <tr> <td colspan="2" style="text-align: center;"><b>Read</b></td> </tr> </tbody> </table>	Enable/disable control Para...		Last Updated: 2/24/2025 15:55:34 +0800		 0x2607   9735	Enable >	 LVRTModeSetting 0x2608   9736	Enable, no reactive power output >	 HVRTModeSetting 0x2609   9737	Disable >	 NormSoftStopPEn 0x260A   9738	Enable >	 PID Check Settings 0x260B   9739	No external connection > PID-Box	 GridVoltMax1En 0x260C   9740	Enable >	 GridVoltMax2En 0x260D   9741	Enable >	 GridVoltMax3En 0x260E   9742	Disable >	ResProtectCapCurr		<b>Read</b>		<table border="1"> <thead> <tr> <th colspan="2">Enable/disable control Para...</th> </tr> </thead> <tbody> <tr> <td colspan="2">Last Updated: 2/24/2025 15:55:34 +0800</td> </tr> <tr> <td> 0x260F   9743</td> <td>Enable &gt;</td> </tr> <tr> <td> GridVoltMin2En 0x2610   9744</td> <td>Enable &gt;</td> </tr> <tr> <td> GridVoltMin3En 0x2611   9745</td> <td>Enable &gt;</td> </tr> <tr> <td> GridFrqMax1En 0x2612   9746</td> <td>Enable &gt;</td> </tr> <tr> <td> GridFrqMax2En 0x2613   9747</td> <td>Enable &gt;</td> </tr> <tr> <td> GridFrqMax3En 0x2614   9748</td> <td>Disable &gt;</td> </tr> <tr> <td> GridFrqMin1En 0x2615   9749</td> <td>Enable &gt;</td> </tr> <tr> <td> GridFrqMin2En 0x2616   9750</td> <td>Enable &gt;</td> </tr> <tr> <td colspan="2">ResProtectCapCurr</td> </tr> <tr> <td colspan="2" style="text-align: center;"><b>Read</b></td> </tr> </tbody> </table>	Enable/disable control Para...		Last Updated: 2/24/2025 15:55:34 +0800		 0x260F   9743	Enable >	 GridVoltMin2En 0x2610   9744	Enable >	 GridVoltMin3En 0x2611   9745	Enable >	 GridFrqMax1En 0x2612   9746	Enable >	 GridFrqMax2En 0x2613   9747	Enable >	 GridFrqMax3En 0x2614   9748	Disable >	 GridFrqMin1En 0x2615   9749	Enable >	 GridFrqMin2En 0x2616   9750	Enable >	ResProtectCapCurr		<b>Read</b>																																																																																																																																										
Others Parameters																																																																																																																																																																																																																																								
Last Updated: 2/24/2025 15:54:42 +0800																																																																																																																																																																																																																																								
 OptiVoltMaxMppt1 0x2521   9505	1100.0V >																																																																																																																																																																																																																																							
 OptiVoltMinMppt2 0x2522   9506	160.0V >																																																																																																																																																																																																																																							
 OptiVoltMaxMppt2 0x2523   9507	1100.0V >																																																																																																																																																																																																																																							
 PhaseLoseCoeff 0x2538   9528	3.0% >																																																																																																																																																																																																																																							
 VirtualDamping 0x2539   9529	1.5000 >																																																																																																																																																																																																																																							
 HVRTReactive1 0x253E   9534	0.0% >																																																																																																																																																																																																																																							
 AIDeltaFre 0x2571   9585	0.040Hz >																																																																																																																																																																																																																																							
ResProtectCapCurr																																																																																																																																																																																																																																								
<b>Read</b>																																																																																																																																																																																																																																								
Others Parameters																																																																																																																																																																																																																																								
Last Updated: 2/24/2025 15:54:42 +0800																																																																																																																																																																																																																																								
 OptiVoltMaxMppt1 0x2521   9505	1100.0V >																																																																																																																																																																																																																																							
 OptiVoltMinMppt2 0x2522   9506	160.0V >																																																																																																																																																																																																																																							
 OptiVoltMaxMppt2 0x2523   9507	1100.0V >																																																																																																																																																																																																																																							
 PhaseLoseCoeff 0x2538   9528	3.0% >																																																																																																																																																																																																																																							
 VirtualDamping 0x2539   9529	1.5000 >																																																																																																																																																																																																																																							
 HVRTReactive1 0x253E   9534	0.0% >																																																																																																																																																																																																																																							
 AIDeltaFre 0x2571   9585	0.040Hz >																																																																																																																																																																																																																																							
ResProtectCapCurr																																																																																																																																																																																																																																								
<b>Read</b>																																																																																																																																																																																																																																								
Enable/disable control Para...																																																																																																																																																																																																																																								
Last Updated: 2/24/2025 15:55:34 +0800																																																																																																																																																																																																																																								
 0x2607   9735	Enable >																																																																																																																																																																																																																																							
 LVRTModeSetting 0x2608   9736	Enable, no reactive power output >																																																																																																																																																																																																																																							
 HVRTModeSetting 0x2609   9737	Disable >																																																																																																																																																																																																																																							
 NormSoftStopPEn 0x260A   9738	Enable >																																																																																																																																																																																																																																							
 PID Check Settings 0x260B   9739	No external connection > PID-Box																																																																																																																																																																																																																																							
 GridVoltMax1En 0x260C   9740	Enable >																																																																																																																																																																																																																																							
 GridVoltMax2En 0x260D   9741	Enable >																																																																																																																																																																																																																																							
 GridVoltMax3En 0x260E   9742	Disable >																																																																																																																																																																																																																																							
ResProtectCapCurr																																																																																																																																																																																																																																								
<b>Read</b>																																																																																																																																																																																																																																								
Enable/disable control Para...																																																																																																																																																																																																																																								
Last Updated: 2/24/2025 15:55:34 +0800																																																																																																																																																																																																																																								
 0x260F   9743	Enable >																																																																																																																																																																																																																																							
 GridVoltMin2En 0x2610   9744	Enable >																																																																																																																																																																																																																																							
 GridVoltMin3En 0x2611   9745	Enable >																																																																																																																																																																																																																																							
 GridFrqMax1En 0x2612   9746	Enable >																																																																																																																																																																																																																																							
 GridFrqMax2En 0x2613   9747	Enable >																																																																																																																																																																																																																																							
 GridFrqMax3En 0x2614   9748	Disable >																																																																																																																																																																																																																																							
 GridFrqMin1En 0x2615   9749	Enable >																																																																																																																																																																																																																																							
 GridFrqMin2En 0x2616   9750	Enable >																																																																																																																																																																																																																																							
ResProtectCapCurr																																																																																																																																																																																																																																								
<b>Read</b>																																																																																																																																																																																																																																								
<table border="1"> <thead> <tr> <th colspan="2">Enable/disable control Para...</th> </tr> </thead> <tbody> <tr> <td colspan="2">Last Updated: 2/24/2025 15:55:34 +0800</td> </tr> <tr> <td> GridFrqMin2En 0x2616   9750</td> <td>Enable &gt;</td> </tr> <tr> <td> GridFrqMin3En 0x2617   9751</td> <td>Disable &gt;</td> </tr> <tr> <td> VoltMaxMovAvgEn 0x2618   9752</td> <td>Disable &gt;</td> </tr> <tr> <td> VoltMinMovAvgEn 0x2619   9753</td> <td>Disable &gt;</td> </tr> <tr> <td> GFCIStaticEn 0x261A   9754</td> <td>Enable &gt;</td> </tr> <tr> <td> GFCIDynProEn 0x261B   9755</td> <td>Enable &gt;</td> </tr> <tr> <td> OvrFrqDeratingMode 0x261C   9756</td> <td>Enable &gt;</td> </tr> <tr> <td colspan="2">ResProtectCapCurr</td> </tr> <tr> <td colspan="2" style="text-align: center;"><b>Read</b></td> </tr> </tbody> </table>	Enable/disable control Para...		Last Updated: 2/24/2025 15:55:34 +0800		 GridFrqMin2En 0x2616   9750	Enable >	 GridFrqMin3En 0x2617   9751	Disable >	 VoltMaxMovAvgEn 0x2618   9752	Disable >	 VoltMinMovAvgEn 0x2619   9753	Disable >	 GFCIStaticEn 0x261A   9754	Enable >	 GFCIDynProEn 0x261B   9755	Enable >	 OvrFrqDeratingMode 0x261C   9756	Enable >	ResProtectCapCurr		<b>Read</b>		<table border="1"> <thead> <tr> <th colspan="2">Enable/disable control Para...</th> </tr> </thead> <tbody> <tr> <td colspan="2">Last Updated: 2/24/2025 15:55:34 +0800</td> </tr> <tr> <td> 0x261C   9756</td> <td>Enable &gt;</td> </tr> <tr> <td> DCIProtection1En 0x261D   9757</td> <td>Enable &gt;</td> </tr> <tr> <td> DCIProtection2En 0x261E   9758</td> <td>Disable &gt;</td> </tr> <tr> <td> GridVoltUnbalanceEn 0x261F   9759</td> <td>Enable &gt;</td> </tr> <tr> <td> UFDerEn 0x2620   9760</td> <td>Disable &gt;</td> </tr> <tr> <td> OvrVolDerEn 0x2621   9761</td> <td>Disable &gt;</td> </tr> <tr> <td> PVSlowStartSEn (HECO) 0x2622   9762</td> <td>Enable &gt;</td> </tr> <tr> <td> ISOProtectionEn 0x2623   9763</td> <td>Enable &gt;</td> </tr> <tr> <td colspan="2">ResProtectCapCurr</td> </tr> <tr> <td colspan="2" style="text-align: center;"><b>Read</b></td> </tr> </tbody> </table>	Enable/disable control Para...		Last Updated: 2/24/2025 15:55:34 +0800		 0x261C   9756	Enable >	 DCIProtection1En 0x261D   9757	Enable >	 DCIProtection2En 0x261E   9758	Disable >	 GridVoltUnbalanceEn 0x261F   9759	Enable >	 UFDerEn 0x2620   9760	Disable >	 OvrVolDerEn 0x2621   9761	Disable >	 PVSlowStartSEn (HECO) 0x2622   9762	Enable >	 ISOProtectionEn 0x2623   9763	Enable >	ResProtectCapCurr		<b>Read</b>		<table border="1"> <thead> <tr> <th colspan="2">Enable/disable control Para...</th> </tr> </thead> <tbody> <tr> <td colspan="2">Last Updated: 2/24/2025 15:55:34 +0800</td> </tr> <tr> <td>																																																																																																																																																																																								
0x2624   9764</td> <td>Enable &gt;</td> </tr> <tr> <td> ACSPDDetectEnSet<br/>0x2625   9765</td> <td>Disable &gt;</td> </tr> <tr> <td> OperationOverVolEn<br/>0x2626   9766</td> <td>Disable &gt;</td> </tr> <tr> <td> ActivePowerOver<br/>0x2627   9767</td> <td>Enable &gt;</td> </tr> <tr> <td> ReactivePowerOver<br/>0x2628   9768</td> <td>Disable &gt;</td> </tr> <tr> <td> PhaseLoseCoeffEnable<br/>0x2629   9769</td> <td>Disable &gt;</td> </tr> <tr> <td> Phase-PEnable<br/>0x262A   9770</td> <td>Disable &gt;</td> </tr> <tr> <td> MPPTRangEnable<br/>0x262B   9771</td> <td>Disable &gt;</td> </tr> <tr> <td colspan="2">ResProtectCapCurr</td> </tr> <tr> <td colspan="2" style="text-align: center;"><b>Read</b></td> </tr> </tbody> </table> | Enable/disable control Para...         |  | Last Updated: 2/24/2025 15:55:34 +0800                                                          |          |  0x2624   9764                    | Enable >                           |  ACSPDDetectEnSet<br>0x2625   9765 | Disable > |  OperationOverVolEn<br>0x2626   9766 | Disable > |  ActivePowerOver<br>0x2627   9767   | Enable >                         |  ReactivePowerOver<br>0x2628   9768 | Disable > |  PhaseLoseCoeffEnable<br>0x2629   9769 | Disable > |  Phase-PEnable<br>0x262A   9770 | Disable > |  MPPTRangEnable<br>0x262B   9771 | Disable > | ResProtectCapCurr |  | <b>Read</b>                                                                                                                                                                                                                                                                                                                                                                                                                                                                                                                                                                                                                                                                                                                                                                                                                                                                                                                                                                                                                                                                                                                                                                                                                                                                                                                                                                                                                                                                                                                                                                                                            |                                | <table border="1"> <thead> <tr> <th colspan="2">Enable/disable control Para...</th> </tr> </thead> <tbody> <tr> <td colspan="2">Last Updated: 2/24/2025 15:55:34 +0800</td> </tr> <tr> <td> MPPTRangEnable<br/>0x262B   9771</td> <td>Disable &gt;</td> </tr> <tr> <td> RapidShutdownEnabBit<br/>0x262C   9772</td> <td>Disable &gt;</td> </tr> <tr> <td> PV1FuseCheckEn<br/>0x262F   9775</td> <td>Disable &gt;</td> </tr> <tr> <td> PV2FuseCheckEn<br/>0x2630   9776</td> <td>Disable &gt;</td> </tr> <tr> <td> PV3FuseCheckEn<br/>0x2631   9777</td> <td>Disable &gt;</td> </tr> <tr> <td> PV4FuseCheckEn<br/>0x2632   9778</td> <td>Disable &gt;</td> </tr> <tr> <td> ResProtectEn<br/>0x2655   9813</td> <td>Disable &gt;</td> </tr> <tr> <td> PF = 0,4<br/>0x2659   9817</td> <td>Disable &gt;</td> </tr> <tr> <td colspan="2">ResProtectCapCurr</td> </tr> <tr> <td colspan="2" style="text-align: center;"><b>Read</b></td> </tr> </tbody> </table> | Enable/disable control Para...         |  | Last Updated: 2/24/2025 15:55:34 +0800                                                            |          |  MPPTRangEnable<br>0x262B   9771 | Disable > |  RapidShutdownEnabBit<br>0x262C   9772 | Disable > |  PV1FuseCheckEn<br>0x262F   9775 | Disable > |  PV2FuseCheckEn<br>0x2630   9776 | Disable > |  PV3FuseCheckEn<br>0x2631   9777 | Disable > |  PV4FuseCheckEn<br>0x2632   9778 | Disable > |  ResProtectEn<br>0x2655   9813 | Disable > |  PF = 0,4<br>0x2659   9817 | Disable > | ResProtectCapCurr |  | <b>Read</b> |  | <table border="1"> <thead> <tr> <th colspan="2">Enable/disable control Para...</th> </tr> </thead>
<tbody> <tr> <td colspan="2">Last Updated: 2/24/2025 15:55:34 +0800</td> </tr> <tr> <td> 0x262C   9772</td> <td>Procedure &gt;</td> </tr> <tr> <td> PV1FuseCheckEn<br/>0x262F   9775</td> <td>Disable &gt;</td> </tr> <tr> <td> PV2FuseCheckEn<br/>0x2630   9776</td> <td>Disable &gt;</td> </tr> <tr> <td> PV3FuseCheckEn<br/>0x2631   9777</td> <td>Disable &gt;</td> </tr> <tr> <td> PV4FuseCheckEn<br/>0x2632   9778</td> <td>Disable &gt;</td> </tr> <tr> <td> ResProtectEn<br/>0x2655   9813</td> <td>Disable &gt;</td> </tr> <tr> <td> PF = 0,4<br/>0x2659   9817</td> <td>Disable &gt;</td> </tr> <tr> <td> AntiRefluxEn<br/>0x265F   9823</td> <td>Disable &gt;</td> </tr> <tr> <td colspan="2">ResProtectCapCurr</td> </tr> <tr> <td colspan="2" style="text-align: center;"><b>Read</b></td> </tr> </tbody> </table> | Enable/disable control Para... |  | Last Updated: 2/24/2025 15:55:34 +0800 |  |  0x262C   9772 | Procedure > |  PV1FuseCheckEn<br>0x262F   9775 | Disable > |  PV2FuseCheckEn<br>0x2630   9776 | Disable > |  PV3FuseCheckEn<br>0x2631   9777 | Disable > |  PV4FuseCheckEn<br>0x2632   9778 | Disable > |  ResProtectEn<br>0x2655   9813 | Disable > |  PF = 0,4<br>0x2659   9817 | Disable > |  AntiRefluxEn<br>0x265F   9823 | Disable > | ResProtectCapCurr |  | <b>Read</b> |  | <table border="1"> <thead> <tr> <th colspan="2">Enable/disable control Para...</th> </tr> </thead> <tbody> <tr> <td colspan="2">Last Updated: 2/24/2025 15:55:34 +0800</td> </tr> <tr> <td> 0x262C   9772</td> <td>Procedure &gt;</td> </tr> <tr> <td> PV1FuseCheckEn<br/>0x262F   9775</td> <td>Disable &gt;</td> </tr> <tr> <td> PV2FuseCheckEn<br/>0x2630   9776</td> <td>Disable &gt;</td> </tr> <tr> <td> PV3FuseCheckEn<br/>0x2631   9777</td> <td>Disable &gt;</td> </tr> <tr> <td> PV4FuseCheckEn<br/>0x2632   9778</td> <td>Disable &gt;</td> </tr> <tr> <td> ResProtectEn<br/>0x2655   9813</td> <td>Disable &gt;</td> </tr> <tr> <td> PF = 0,4<br/>0x2659   9817</td> <td>Disable &gt;</td> </tr> <tr> <td> AntiRefluxEn<br/>0x265F   9823</td> <td>Disable &gt;</td> </tr> <tr> <td colspan="2">ResProtectCapCurr</td> </tr> <tr> <td colspan="2" style="text-align: center;"><b>Read</b></td> </tr> </tbody> </table> | Enable/disable control Para... |  | Last Updated: 2/24/2025 15:55:34 +0800 |  |  0x262C   9772 | Procedure > |  PV1FuseCheckEn<br>0x262F   9775 | Disable > |  PV2FuseCheckEn<br>0x2630   9776 | Disable > |  PV3FuseCheckEn<br>0x2631   9777 | Disable > |  PV4FuseCheckEn<br>0x2632   9778 | Disable > |  ResProtectEn<br>0x2655   9813 | Disable > |  PF = 0,4<br>0x2659   9817 | Disable > |  AntiRefluxEn<br>0x265F   9823 | Disable > | ResProtectCapCurr |  | <b>Read</b> |  | <table border="1"> <thead> <tr> <th colspan="2">Enable/disable control Para...</th> </tr> </thead> <tbody> <tr> <td colspan="2">Last Updated: 2/24/2025 15:55:34 +0800</td> </tr> <tr> <td> 0x262C   9772</td> <td>Procedure &gt;</td> </tr> <tr> <td> PV1FuseCheckEn<br/>0x262F   9775</td> <td>Disable &gt;</td> </tr> <tr> <td> PV2FuseCheckEn<br/>0x2630   9776</td> <td>Disable &gt;</td> </tr> <tr> <td> PV3FuseCheckEn<br/>0x2631   9777</td> <td>Disable &gt;</td> </tr> <tr> <td> PV4FuseCheckEn<br/>0x2632   9778</td> <td>Disable &gt;</td> </tr> <tr> <td> ResProtectEn<br/>0x2655   9813</td> <td>Disable &gt;</td> </tr> <tr> <td> PF = 0,4<br/>0x2659   9817</td> <td>Disable &gt;</td> </tr> <tr> <td> AntiRefluxEn<br/>0x265F   9823</td> <td>Disable &gt;</td> </tr> <tr> <td colspan="2">ResProtectCapCurr</td> </tr> <tr> <td colspan="2" style="text-align: center;"><b>Read</b></td> </tr> </tbody> </table> | Enable/disable control Para... |  | Last Updated: 2/24/2025 15:55:34 +0800 |  |  0x262C   9772 | Procedure > |  PV1FuseCheckEn<br>0x262F   9775 | Disable > |  PV2FuseCheckEn<br>0x2630   9776 | Disable > |  PV3FuseCheckEn<br>0x2631   9777 | Disable > |  PV4FuseCheckEn<br>0x2632   9778 | Disable > |  ResProtectEn<br>0x2655   9813 | Disable > |  PF = 0,4<br>0x2659   9817 | Disable > |  AntiRefluxEn<br>0x265F   9823 | Disable > | ResProtectCapCurr |  | <b>Read</b> |  |
<table border="1"> <thead> <tr> <th colspan="2">Enable/disable control Para...</th> </tr> </thead> <tbody> <tr> <td colspan="2">Last Updated: 2/24/2025 15:55:34 +0800</td> </tr> <tr> <td> 0x262C   9772</td> <td>Procedure &gt;</td> </tr> <tr> <td> PV1FuseCheckEn<br/>0x262F   9775</td> <td>Disable &gt;</td> </tr> <tr> <td> PV2FuseCheckEn<br/>0x2630   9776</td> <td>Disable &gt;</td> </tr> <tr> <td> PV3FuseCheckEn<br/>0x2631   9777</td> <td>Disable &gt;</td> </tr> <tr> <td> PV4FuseCheckEn<br/>0x2632   9778</td> <td>Disable &gt;</td> </tr> <tr> <td> ResProtectEn<br/>0x2655   9813</td> <td>Disable &gt;</td> </tr> <tr> <td> PF = 0,4<br/>0x2659   9817</td> <td>Disable &gt;</td> </tr> <tr> <td> AntiRefluxEn<br/>0x265F   9823</td> <td>Disable &gt;</td> </tr> <tr> <td colspan="2">ResProtectCapCurr</td> </tr> <tr> <td colspan="2" style="text-align: center;"><b>Read</b></td> </tr> </tbody> </table> | Enable/disable control Para... |  | Last Updated: 2/24/2025 15:55:34 +0800 |  |  0x262C   9772 | Procedure > |  PV1FuseCheckEn<br>0x262F   9775 | Disable > |  PV2FuseCheckEn<br>0x2630   9776 | Disable > |  PV3FuseCheckEn<br>0x2631   9777 | Disable > |  PV4FuseCheckEn<br>0x2632   9778 | Disable > |  ResProtectEn<br>0x2655   9813 | Disable > |  PF = 0,4<br>0x2659   9817 | Disable > |  AntiRefluxEn<br>0x265F   9823 | Disable > | ResProtectCapCurr |  | <b>Read</b> |  | <table border="1"> <thead> <tr> <th colspan="2">Enable/disable control Para...</th> </tr> </thead> <tbody> <tr> <td colspan="2">Last Updated: 2/24/2025 15:55:34 +0800</td> </tr> <tr> <td> 0x262C   9772</td> <td>Procedure &gt;</td> </tr> <tr> <td> PV1FuseCheckEn<br/>0x262F   9775</td> <td>Disable &gt;</td> </tr> <tr> <td> PV2FuseCheckEn<br/>0x2630   9776</td> <td>Disable &gt;</td> </tr> <tr> <td> PV3FuseCheckEn<br/>0x2631   9777</td> <td>Disable &gt;</td> </tr> <tr> <td> PV4FuseCheckEn<br/>0x2632   9778</td> <td>Disable &gt;</td> </tr> <tr> <td> ResProtectEn<br/>0x2655   9813</td> <td>Disable &gt;</td> </tr> <tr> <td> PF = 0,4<br/>0x2659   9817</td> <td>Disable &gt;</td> </tr> <tr> <td> AntiRefluxEn<br/>0x265F   9823</td> <td>Disable &gt;</td> </tr> <tr> <td colspan="2">ResProtectCapCurr</td> </tr> <tr> <td colspan="2" style="text-align: center;"><b>Read</b></td> </tr> </tbody> </table> | Enable/disable control Para... |  | Last Updated: 2/24/2025 15:55:34 +0800 |  |  0x262C   9772 | Procedure > |  PV1FuseCheckEn<br>0x262F   9775 | Disable > |  PV2FuseCheckEn<br>0x2630   9776 | Disable > |  PV3FuseCheckEn<br>0x2631   9777 | Disable > |  PV4FuseCheckEn<br>0x2632   9778 | Disable > |  ResProtectEn<br>0x2655   9813 | Disable > |  PF = 0,4<br>0x2659   9817 | Disable > |  AntiRefluxEn<br>0x265F   9823 | Disable > | ResProtectCapCurr |  | <b>Read</b> |  | <table border="1"> <thead> <tr> <th colspan="2">Enable/disable control Para...</th> </tr> </thead> <tbody> <tr> <td colspan="2">Last Updated: 2/24/2025 15:55:34 +0800</td> </tr> <tr> <td> 0x262C   9772</td> <td>Procedure &gt;</td> </tr> <tr> <td> PV1FuseCheckEn<br/>0x262F   9775</td> <td>Disable &gt;</td> </tr> <tr> <td>&lt;img alt="refresh icon" data</td></tr></tbody></table> | Enable/disable control Para... |  | Last Updated: 2/24/2025 15:55:34 +0800 |  |  0x262C   9772 | Procedure > |  PV1FuseCheckEn<br>0x262F   9775 | Disable > |  GridFrqMin2En<br>0x2616   9750                                                                                                                                                                                                                                                                                                                                                                                                                                                                                                                                                                                                                                                                                                                                                                                                                                                                                                                                                                                                                                                                                                                                                                                                                                                                                                                                                            | Enable >                           |  |                                        |  |                                                                                                                     |           |                                                                                                                     |           |                                                                                                                     |           |                                                                                                                     |           |                                                                                                                   |          |                                                                                                                   |          |                                                                                                                         |           |                   |  |             |  |                                                                                                                                                                                                                                                                                                                                                                                                                                                                                                                                                                                                                                                                                                                                                                                                                                                                                                                                                                                                                                                                                                                                                                                                                                                                                                                                                                                                                                                                                                                                                                                                                               |                                |  |                                        |  |                                                                                                                     |           |                                                                                                                     |          |                                                                                                                     |           |                                                                                                                         |          |                                                                                                                   |           |                                                                                                                  |           |                                                                                                                            |           |                                                                                                                      |          |                   |  |                                                                                                                                                                                                                                                                                                                                                                                                                                                                                                                                                                                                                                                                                                                                                                                                                                                                                                                                                                                                                                                                                                                                                                                                                                                                                                                                                                                                                                                                                                              
                                                                                                                                                        |                                |                                                                                                                                                                                                                                                                                                                                                                                                                                                                                                                                                                                                                                                                                                                                                                                                                                                                                                                                                                                                                                                                                                                                                                                                                                                                                                                                                                                                                                                                                                                                                                                                                                          |                                        |  |                                                                                                 |          |                                                                                                                    |                                    |                                                                                                                     |           |                                                                                                                       |           |                                                                                                                       |                                  |                                                                                                                        |           |                                                                                                                           |           |                                                                                                                    |           |                                                                                                                     |           |                   |  |                                                                                                                                                                                                                                                                                                                                                                                                                                                                                                                                                                                                                                                                                                                                                                                                                                                                                                                                                                                                                                                                                                                                                                                                                                                                                                                                                                                                                                                                                                                                                                                                                        |                                |                                                                                                                                                                                                                                                                                                                                                                                                                                                                                                                                                                                                                                                                                                                                                                                                                                                                                                                                                                                                                                                                                                                                                                                                                                                                                                                                                                                                                                                                                                                                                                                                                                                              |                                        |  |                                                                                                   |          |                                                                                                                     |           |                                                                                                                           |           |                                                                                                                     |           |                                                                                                                      |           |                                                                                                                       |           |                                                                                                                       |           |                                                                                                                     |           |                                                                                                                 |           |                   |  |             |  |                                                                                                                                                                                                                                                                                                                                                                                                                                                                                                                                                                                                                                                                                                                                                                                                                                                                                                                                                                                                                                                                                                                                                                                                                                                                                                                                                                                                                                                                                                                                                                                                                            |                                |  |                                        |  |                                                                                                   |             |                                                                                                                     |           |                                                                                                                     |           |                                                                                                                     |           |                                                                                                                     |           |                                                                                                                   |           |                                                                                                               | | | | | | | | | | | | | | | | | | | | | | | | | | | | | | | | | | | | | | | | | | | | | | | | | | | | | | | | | | | | | | | | | | | | | | | | | | | | | | | | | | | | | | | | | | | | | | | | | | | | | | | | | | | | | | | | | | | | | | | | | | | | | | | | | | | | | | | | | | | | | | | | | | | | | | | | | | | | | | | | | | | | |
     |                                                                                                                   |           |                   |  |             |  |                                                                                                                                                                                                                                                                                                                                                                                                                                                                                                                                                                                                                                                                                                                                                                                                                                                                                                                                                                                                                                                                                                                                                                                                                                                                                                                                                                                                                                                                                                                                                                                                                            |                                |  |                                        |  |                                                                                                   |             |                                                                                                                     |           |                                                                                                                     |           |                                                                                                                     |           |                                                                                                                     |           |                                                                                                                   |           |                                                                                                               |           |                                                                                                                   |           |                   |  |             |  |                                                                                                                                                                                                                                                                                                                                                                                                                                                                                                                                                                                                                                                                                                                                                                                                                                                                                                                                                                                                                                                                                                                                                                                                                                                                                                                                                                                                                                                                                                                                                                                                                            |                                |  |                                        |  |                                                                                                   |             |                                                                                                                     |           |                                                                                                                     |           |                                                                                                                     |           |                                                                                                                     |           |                                                                                                                   |           |                                                                                                               |           |                                                                                                                   |           |                   |  |             |  |                                                                                                                                                                                                                                                                                                                                                                                                                                                                                                                                                                                                                                                                                                                                                                                                                                                                                                                                                                                                                                                                                                                                                                                                                                                                                                                                                                                                                                                                                                                                                                                                                            |                                |  |                                        |  |                                                                                                   |             |                                                                                                                     |           |                                                                                                                     |           |                                                                                                                     |           |                                                                                                                     |           |                                                                                                                   |           |                                                                                                               |           |                                                                                                                   |           |                   |  |             |  |                                                                                                                                                                                                                                                                                                                                                                                                                                                                                                                                                                                                                                                                                                                                                                                                                                                                                                                                                                                                                                                                                                                                                                                                                                                                                                                                                                                                                                                                                                                                                                                                                            |                                |  |                                        |  |                                                                                   
               |             |                                                                                                                     |           |                                                                                                                     |           |                                                                                                                     |           |                                                                                                                     |           |                                                                                                                   |           |                                                                                                               |           |                                                                                                                   |           |                   |  |             |  |                                                                                                                                                                                                                                                                                                                                                                                                                                                                                                                                                                   |                                |  |                                        |  |                                                                                                   |             |                                                                                                                     |           |                              |
|  GridFrqMin3En<br>0x2617   9751                                                                                                                                                                                                                                                                                                                                                                                                                                                                                                                                                                                                                                                                                                                                                                                                                                                                                                                                                                                                                                                                                                                                                                                                                                                                                                                                                            | Disable >                          |  |                                        |  |                                                                                                                     |           |                                                                                                                     |           |                                                                                                                     |           |                                                                                                                     |           |                                                                                                                   |          |                                                                                                                   |          |                                                                                                                         |           |                   |  |             |  |                                                                                                                                                                                                                                                                                                                                                                                                                                                                                                                                                                                                                                                                                                                                                                                                                                                                                                                                                                                                                                                                                                                                                                                                                                                                                                                                                                                                                                                                                                                                                                                                                               |                                |  |                                        |  |                                                                                                                     |           |                                                                                                                     |          |                                                                                                                     |           |                                                                                                                         |          |                                                                                                                   |           |                                                                                                                  |           |                                                                                                                            |           |                                                                                                                      |          |                   |  |                                                                                                                                                                                                                                                                                                                                                                                                                                                                                                                                                                                                                                                                                                                                                                                                                                                                                                                                                                                                                                                                                                                                                                                                                                                                                                                                                                                                                                                                                                                                                                                                                                                                       |                                |                                                                                                                                                                                                                                                                                                                                                                                                                                                                                                                                                                                                                                                                                                                                                                                                                                                                                                                                                                                                                                                                                                                                                                                                                                                                                                                                                                                                                                                                                                                                                                                                                                          |                                        |  |                                                                                                 |          |                                                                                                                    |                                    |                                                                                                                     |           |                                                                                                                       |           |                                                                                                                       |                                  |                                                                                                                        |           |                                                                                                                           |           |                                                                                                                    |           |                                                                                                                     |           |                   |  |                                                                                                                                                                                                                                                                                                                                                                                                                                                                                                                                                                                                                                                                                                                                                                                                                                                                                                                                                                                                                                                                                                                                                                                                                                                                                                                                                                                                                                                                                                                                                                                                                        |                                |                                                                                                                                                                                                                                                                                                                                                                                                                                                                                                                                                                                                                                                                                                                                                                                                                                                                                                                                                                                                                                                                                                                                                                                                                                                                                                                                                                                                                                                                                                                                                                                                                                                              |                                        |  |                                                                                                   |          |                                                                                                                     |           |                                                                                                                           |           |                                                                                                                     |           |                                                                                                                      |           |                                                                                                                       |           |                                                                                                                       |           |                                                                                                                     |           |                                                                                                                 |           |                   |  |             |  |                                                                                                                                                                                                                                                                                                                                                                                                                                                                                                                                                                                                                                                                                                                                                                                                                                                                                                                                                                                                                                                                                                                                                                                                                                                                                                                                                                                                                                                                                                                                                                                                                            |                                |  |                                        |  |                                                                                                   |             |                                                                                                                     |           |                                                                                                                     |           |                                                                                                                     |           |                                                                                                                     |           |                                                                                                                   |           |                                                                                                               |           |                                                                                                                   |           |                   |  |             |  |                                                                                                                                                                                                                                                                                                                                                                                                                                                                                                                                                                                                                                                                                                                                                                                                                                                                                                                                                                                                                                                                                                                                                                                                                                                                                                                                                                                                                                                                                                                                                                                                                            |                                |  |                                        |  |                                                                                                   |             |                                                                                                                     |           |                                                                                                                     |           |                                                                                                                     |           |                                                                                                                     |           |                                                                                                                   |           |                                                                                                               |           |                                                                                                                   |           |                   |  |             |  |                                                                                                                                                                                                                                                                                                                                                                                                                                                                                                                                                                                                                                                                                                                                                                                                                                                                                                                                                                                                                                                                                                                                                                                                                                                                                                                                                                                                                                                                                                                                                                                                                            |                                |  |                                        |  |                                                                                                   |             |                                                                                                                     |           |                                                                                                                     |           |                                                                                                                     |           |                                                                                                                     |           |                                                                                                                   |           |                                                                                                               |           |                                                                                                                   |           |                   |  |             |  |                                                                                                                                                                                                                                                                                                                                                                                                                                                                                                                                                                                                                                                                                                                                                                                                                                                                                                                                                                                                                                                                                                                                                                                                                                                                                                                                                                                                                                                                                                                                                                                                                            |                                |  |                                        |  |                                                                                                   |             |                                                                                                                     |           |                                                                                                                     |           |                                                                                                                     |           |                                                                                                                     |           |                                                                                                                   |           |                                                                                                               |           |                                                                                                                   |           |                   |  |             |  |                                                                                                                                                                                                                                                                                                                                                                                                                                                                                                                                                                                                                                                                                                                                                                                                                                                                                                                                                                                                                                                                                                                                                                                                                                                                                                                                                                                                                                                                                                                                                                                                                            |                                |  |                                        |  |                                                                                                   |             |                                                                                                                     |           |                                                                                                                     |           |                                                                                                                     |           |                                                                                                                     |           |                                                                                                                   |           |                                                                                                               |           |                                                                                                                   |           |                   |  |             |  |                                                                                                                                                                                                                                                                                                                                                                                                                                                                                                                                                                   |                                |  |                                        |  |                                                                                                   |             |                                                                                                                     |           |                              |
|  VoltMaxMovAvgEn<br>0x2618   9752                                                                                                                                                                                                                                                                                                                                                                                                                                                                                                                                                                                                                                                                                                                                                                                                                                                                                                                                                                                                                                                                                                                                                                                                                                                                                                                                                          | Disable >                          |  |                                        |  |                                                                                                                     |           |                                                                                                                     |           |                                                                                                                     |           |                                                                                                                     |           |                                                                                                                   |          |                                                                                                                   |          |                                                                                                                         |           |                   |  |             |  |                                                                                                                                                                                                                                                                                                                                                                                                                                                                                                                                                                                                                                                                                                                                                                                                                                                                                                                                                                                                                                                                                                                                                                                                                                                                                                                                                                                                                                                                                                                                                                                                                               |                                |  |                                        |  |                                                                                                                     |           |                                                                                                                     |          |                                                                                                                     |           |                                                                                                                         |          |                                                                                                                   |           |                                                                                                                  |           |                                                                                                                            |           |                                                                                                                      |          |                   |  |                                                                                                                                                                                                                                                                                                                                                                                                                                                                                                                                                                                                                                                                                                                                                                                                                                                                                                                                                                                                                                                                                                                                                                                                                                                                                                                                                                                                                                                                                                                                                                                                                                                                       |                                |                                                                                                                                                                                                                                                                                                                                                                                                                                                                                                                                                                                                                                                                                                                                                                                                                                                                                                                                                                                                                                                                                                                                                                                                                                                                                                                                                                                                                                                                                                                                                                                                                                          |                                        |  |                                                                                                 |          |                                                                                                                    |                                    |                                                                                                                     |           |                                                                                                                       |           |                                                                                                                       |                                  |                                                                                                                        |           |                                                                                                                           |           |                                                                                                                    |           |                                                                                                                     |           |                   |  |                                                                                                                                                                                                                                                                                                                                                                                                                                                                                                                                                                                                                                                                                                                                                                                                                                                                                                                                                                                                                                                                                                                                                                                                                                                                                                                                                                                                                                                                                                                                                                                                                        |                                |                                                                                                                                                                                                                                                                                                                                                                                                                                                                                                                                                                                                                                                                                                                                                                                                                                                                                                                                                                                                                                                                                                                                                                                                                                                                                                                                                                                                                                                                                                                                                                                                                                                              |                                        |  |                                                                                                   |          |                                                                                                                     |           |                                                                                                                           |           |                                                                                                                     |           |                                                                                                                      |           |                                                                                                                       |           |                                                                                                                       |           |                                                                                                                     |           |                                                                                                                 |           |                   |  |             |  |                                                                                                                                                                                                                                                                                                                                                                                                                                                                                                                                                                                                                                                                                                                                                                                                                                                                                                                                                                                                                                                                                                                                                                                                                                                                                                                                                                                                                                                                                                                                                                                                                            |                                |  |                                        |  |                                                                                                   |             |                                                                                                                     |           |                                                                                                                     |           |                                                                                                                     |           |                                                                                                                     |           |                                                                                                                   |           |                                                                                                               |           |                                                                                                                   |           |                   |  |             |  |                                                                                                                                                                                                                                                                                                                                                                                                                                                                                                                                                                                                                                                                                                                                                                                                                                                                                                                                                                                                                                                                                                                                                                                                                                                                                                                                                                                                                                                                                                                                                                                                                            |                                |  |                                        |  |                                                                                                   |             |                                                                                                                     |           |                                                                                                                     |           |                                                                                                                     |           |                                                                                                                     |           |                                                                                                                   |           |                                                                                                               |           |                                                                                                                   |           |                   |  |             |  |                                                                                                                                                                                                                                                                                                                                                                                                                                                                                                                                                                                                                                                                                                                                                                                                                                                                                                                                                                                                                                                                                                                                                                                                                                                                                                                                                                                                                                                                                                                                                                                                                            |                                |  |                                        |  |                                                                                                   |             |                                                                                                                     |           |                                                                                                                     |           |                                                                                                                     |           |                                                                                                                     |           |                                                                                                                   |           |                                                                                                               |           |                                                                                                                   |           |                   |  |             |  |                                                                                                                                                                                                                                                                                                                                                                                                                                                                                                                                                                                                                                                                                                                                                                                                                                                                                                                                                                                                                                                                                                                                                                                                                                                                                                                                                                                                                                                                                                                                                                                                                            |                                |  |                                        |  |                                                                                                   |             |                                                                                                                     |           |                                                                                                                     |           |                                                                                                                     |           |                                                                                                                     |           |                                                                                                                   |           |                                                                                                               |           |                                                                                                                   |           |                   |  |             |  |                                                                                                                                                                                                                                                                                                                                                                                                                                                                                                                                                                                                                                                                                                                                                                                                                                                                                                                                                                                                                                                                                                                                                                                                                                                                                                                                                                                                                                                                                                                                                                                                                            |                                |  |                                        |  |                                                                                                   |             |                                                                                                                     |           |                                                                                                                     |           |                                                                                                                     |           |                                                                                                                     |           |                                                                                                                   |           |                                                                                                               |           |                                                                                                                   |           |                   |  |             |  |                                                                                                                                                                                                                                                                                                                                                                                                                                                                                                                                                                   |                                |  |                                        |  |                                                                                                   |             |                                                                                                                     |           |                              |
|  VoltMinMovAvgEn<br>0x2619   9753                                                                                                                                                                                                                                                                                                                                                                                                                                                                                                                                                                                                                                                                                                                                                                                                                                                                                                                                                                                                                                                                                                                                                                                                                                                                                                                                                         | Disable >                          |  |                                        |  |                                                                                                                     |           |                                                                                                                     |           |                                                                                                                     |           |                                                                                                                     |           |                                                                                                                   |          |                                                                                                                   |          |                                                                                                                         |           |                   |  |             |  |                                                                                                                                                                                                                                                                                                                                                                                                                                                                                                                                                                                                                                                                                                                                                                                                                                                                                                                                                                                                                                                                                                                                                                                                                                                                                                                                                                                                                                                                                                                                                                                                                               |                                |  |                                        |  |                                                                                                                     |           |                                                                                                                     |          |                                                                                                                     |           |                                                                                                                         |          |                                                                                                                   |           |                                                                                                                  |           |                                                                                                                            |           |                                                                                                                      |          |                   |  |                                                                                                                                                                                                                                                                                                                                                                                                                                                                                                                                                                                                                                                                                                                                                                                                                                                                                                                                                                                                                                                                                                                                                                                                                                                                                                                                                                                                                                                                                                                                                                                                                                                                       |                                |                                                                                                                                                                                                                                                                                                                                                                                                                                                                                                                                                                                                                                                                                                                                                                                                                                                                                                                                                                                                                                                                                                                                                                                                                                                                                                                                                                                                                                                                                                                                                                                                                                          |                                        |  |                                                                                                 |          |                                                                                                                    |                                    |                                                                                                                     |           |                                                                                                                       |           |                                                                                                                       |                                  |                                                                                                                        |           |                                                                                                                           |           |                                                                                                                    |           |                                                                                                                     |           |                   |  |                                                                                                                                                                                                                                                                                                                                                                                                                                                                                                                                                                                                                                                                                                                                                                                                                                                                                                                                                                                                                                                                                                                                                                                                                                                                                                                                                                                                                                                                                                                                                                                                                        |                                |                                                                                                                                                                                                                                                                                                                                                                                                                                                                                                                                                                                                                                                                                                                                                                                                                                                                                                                                                                                                                                                                                                                                                                                                                                                                                                                                                                                                                                                                                                                                                                                                                                                              |                                        |  |                                                                                                   |          |                                                                                                                     |           |                                                                                                                           |           |                                                                                                                     |           |                                                                                                                      |           |                                                                                                                       |           |                                                                                                                       |           |                                                                                                                     |           |                                                                                                                 |           |                   |  |             |  |                                                                                                                                                                                                                                                                                                                                                                                                                                                                                                                                                                                                                                                                                                                                                                                                                                                                                                                                                                                                                                                                                                                                                                                                                                                                                                                                                                                                                                                                                                                                                                                                                            |                                |  |                                        |  |                                                                                                   |             |                                                                                                                     |           |                                                                                                                     |           |                                                                                                                     |           |                                                                                                                     |           |                                                                                                                   |           |                                                                                                               |           |                                                                                                                   |           |                   |  |             |  |                                                                                                                                                                                                                                                                                                                                                                                                                                                                                                                                                                                                                                                                                                                                                                                                                                                                                                                                                                                                                                                                                                                                                                                                                                                                                                                                                                                                                                                                                                                                                                                                                            |                                |  |                                        |  |                                                                                                   |             |                                                                                                                     |           |                                                                                                                     |           |                                                                                                                     |           |                                                                                                                     |           |                                                                                                                   |           |                                                                                                               |           |                                                                                                                   |           |                   |  |             |  |                                                                                                                                                                                                                                                                                                                                                                                                                                                                                                                                                                                                                                                                                                                                                                                                                                                                                                                                                                                                                                                                                                                                                                                                                                                                                                                                                                                                                                                                                                                                                                                                                            |                                |  |                                        |  |                                                                                                   |             |                                                                                                                     |           |                                                                                                                     |           |                                                                                                                     |           |                                                                                                                     |           |                                                                                                                   |           |                                                                                                               |           |                                                                                                                   |           |                   |  |             |  |                                                                                                                                                                                                                                                                                                                                                                                                                                                                                                                                                                                                                                                                                                                                                                                                                                                                                                                                                                                                                                                                                                                                                                                                                                                                                                                                                                                                                                                                                                                                                                                                                            |                                |  |                                        |  |                                                                                                   |             |                                                                                                                     |           |                                                                                                                     |           |                                                                                                                     |           |                                                                                                                     |           |                                                                                                                   |           |                                                                                                               |           |                                                                                                                   |           |                   |  |             |  |                                                                                                                                                                                                                                                                                                                                                                                                                                                                                                                                                                                                                                                                                                                                                                                                                                                                                                                                                                                                                                                                                                                                                                                                                                                                                                                                                                                                                                                                                                                                                                                                                            |                                |  |                                        |  |                                                                                                   |             |                                                                                                                     |           |                                                                                                                     |           |                                                                                                                     |           |                                                                                                                     |           |                                                                                                                   |           |                                                                                                               |           |                                                                                                                   |           |                   |  |             |  |                                                                                                                                                                                                                                                                                                                                                                                                                                                                                                                                                                   |                                |  |                                        |  |                                                                                                   |             |                                                                                                                     |           |                              |
|  GFCIStaticEn<br>0x261A   9754                                                                                                                                                                                                                                                                                                                                                                                                                                                                                                                                                                                                                                                                                                                                                                                                                                                                                                                                                                                                                                                                                                                                                                                                                                                                                                                                                           | Enable >                           |  |                                        |  |                                                                                                                     |           |                                                                                                                     |           |                                                                                                                     |           |                                                                                                                     |           |                                                                                                                   |          |                                                                                                                   |          |                                                                                                                         |           |                   |  |             |  |                                                                                                                                                                                                                                                                                                                                                                                                                                                                                                                                                                                                                                                                                                                                                                                                                                                                                                                                                                                                                                                                                                                                                                                                                                                                                                                                                                                                                                                                                                                                                                                                                               |                                |  |                                        |  |                                                                                                                     |           |                                                                                                                     |          |                                                                                                                     |           |                                                                                                                         |          |                                                                                                                   |           |                                                                                                                  |           |                                                                                                                            |           |                                                                                                                      |          |                   |  |                                                                                                                                                                                                                                                                                                                                                                                                                                                                                                                                                                                                                                                                                                                                                                                                                                                                                                                                                                                                                                                                                                                                                                                                                                                                                                                                                                                                                                                                                                                                                                                                                                                                       |                                |                                                                                                                                                                                                                                                                                                                                                                                                                                                                                                                                                                                                                                                                                                                                                                                                                                                                                                                                                                                                                                                                                                                                                                                                                                                                                                                                                                                                                                                                                                                                                                                                                                          |                                        |  |                                                                                                 |          |                                                                                                                    |                                    |                                                                                                                     |           |                                                                                                                       |           |                                                                                                                       |                                  |                                                                                                                        |           |                                                                                                                           |           |                                                                                                                    |           |                                                                                                                     |           |                   |  |                                                                                                                                                                                                                                                                                                                                                                                                                                                                                                                                                                                                                                                                                                                                                                                                                                                                                                                                                                                                                                                                                                                                                                                                                                                                                                                                                                                                                                                                                                                                                                                                                        |                                |                                                                                                                                                                                                                                                                                                                                                                                                                                                                                                                                                                                                                                                                                                                                                                                                                                                                                                                                                                                                                                                                                                                                                                                                                                                                                                                                                                                                                                                                                                                                                                                                                                                              |                                        |  |                                                                                                   |          |                                                                                                                     |           |                                                                                                                           |           |                                                                                                                     |           |                                                                                                                      |           |                                                                                                                       |           |                                                                                                                       |           |                                                                                                                     |           |                                                                                                                 |           |                   |  |             |  |                                                                                                                                                                                                                                                                                                                                                                                                                                                                                                                                                                                                                                                                                                                                                                                                                                                                                                                                                                                                                                                                                                                                                                                                                                                                                                                                                                                                                                                                                                                                                                                                                            |                                |  |                                        |  |                                                                                                   |             |                                                                                                                     |           |                                                                                                                     |           |                                                                                                                     |           |                                                                                                                     |           |                                                                                                                   |           |                                                                                                               |           |                                                                                                                   |           |                   |  |             |  |                                                                                                                                                                                                                                                                                                                                                                                                                                                                                                                                                                                                                                                                                                                                                                                                                                                                                                                                                                                                                                                                                                                                                                                                                                                                                                                                                                                                                                                                                                                                                                                                                            |                                |  |                                        |  |                                                                                                   |             |                                                                                                                     |           |                                                                                                                     |           |                                                                                                                     |           |                                                                                                                     |           |                                                                                                                   |           |                                                                                                               |           |                                                                                                                   |           |                   |  |             |  |                                                                                                                                                                                                                                                                                                                                                                                                                                                                                                                                                                                                                                                                                                                                                                                                                                                                                                                                                                                                                                                                                                                                                                                                                                                                                                                                                                                                                                                                                                                                                                                                                            |                                |  |                                        |  |                                                                                                   |             |                                                                                                                     |           |                                                                                                                     |           |                                                                                                                     |           |                                                                                                                     |           |                                                                                                                   |           |                                                                                                               |           |                                                                                                                   |           |                   |  |             |  |                                                                                                                                                                                                                                                                                                                                                                                                                                                                                                                                                                                                                                                                                                                                                                                                                                                                                                                                                                                                                                                                                                                                                                                                                                                                                                                                                                                                                                                                                                                                                                                                                            |                                |  |                                        |  |                                                                                                   |             |                                                                                                                     |           |                                                                                                                     |           |                                                                                                                     |           |                                                                                                                     |           |                                                                                                                   |           |                                                                                                               |           |                                                                                                                   |           |                   |  |             |  |                                                                                                                                                                                                                                                                                                                                                                                                                                                                                                                                                                                                                                                                                                                                                                                                                                                                                                                                                                                                                                                                                                                                                                                                                                                                                                                                                                                                                                                                                                                                                                                                                            |                                |  |                                        |  |                                                                                                   |             |                                                                                                                     |           |                                                                                                                     |           |                                                                                                                     |           |                                                                                                                     |           |                                                                                                                   |           |                                                                                                               |           |                                                                                                                   |           |                   |  |             |  |                                                                                                                                                                                                                                                                                                                                                                                                                                                                                                                                                                   |                                |  |                                        |  |                                                                                                   |             |                                                                                                                     |           |                              |
|  GFCIDynProEn<br>0x261B   9755                                                                                                                                                                                                                                                                                                                                                                                                                                                                                                                                                                                                                                                                                                                                                                                                                                                                                                                                                                                                                                                                                                                                                                                                                                                                                                                                                           | Enable >                           |  |                                        |  |                                                                                                                     |           |                                                                                                                     |           |                                                                                                                     |           |                                                                                                                     |           |                                                                                                                   |          |                                                                                                                   |          |                                                                                                                         |           |                   |  |             |  |                                                                                                                                                                                                                                                                                                                                                                                                                                                                                                                                                                                                                                                                                                                                                                                                                                                                                                                                                                                                                                                                                                                                                                                                                                                                                                                                                                                                                                                                                                                                                                                                                               |                                |  |                                        |  |                                                                                                                     |           |                                                                                                                     |          |                                                                                                                     |           |                                                                                                                         |          |                                                                                                                   |           |                                                                                                                  |           |                                                                                                                            |           |                                                                                                                      |          |                   |  |                                                                                                                                                                                                                                                                                                                                                                                                                                                                                                                                                                                                                                                                                                                                                                                                                                                                                                                                                                                                                                                                                                                                                                                                                                                                                                                                                                                                                                                                                                                                                                                                                                                                       |                                |                                                                                                                                                                                                                                                                                                                                                                                                                                                                                                                                                                                                                                                                                                                                                                                                                                                                                                                                                                                                                                                                                                                                                                                                                                                                                                                                                                                                                                                                                                                                                                                                                                          |                                        |  |                                                                                                 |          |                                                                                                                    |                                    |                                                                                                                     |           |                                                                                                                       |           |                                                                                                                       |                                  |                                                                                                                        |           |                                                                                                                           |           |                                                                                                                    |           |                                                                                                                     |           |                   |  |                                                                                                                                                                                                                                                                                                                                                                                                                                                                                                                                                                                                                                                                                                                                                                                                                                                                                                                                                                                                                                                                                                                                                                                                                                                                                                                                                                                                                                                                                                                                                                                                                        |                                |                                                                                                                                                                                                                                                                                                                                                                                                                                                                                                                                                                                                                                                                                                                                                                                                                                                                                                                                                                                                                                                                                                                                                                                                                                                                                                                                                                                                                                                                                                                                                                                                                                                              |                                        |  |                                                                                                   |          |                                                                                                                     |           |                                                                                                                           |           |                                                                                                                     |           |                                                                                                                      |           |                                                                                                                       |           |                                                                                                                       |           |                                                                                                                     |           |                                                                                                                 |           |                   |  |             |  |                                                                                                                                                                                                                                                                                                                                                                                                                                                                                                                                                                                                                                                                                                                                                                                                                                                                                                                                                                                                                                                                                                                                                                                                                                                                                                                                                                                                                                                                                                                                                                                                                            |                                |  |                                        |  |                                                                                                   |             |                                                                                                                     |           |                                                                                                                     |           |                                                                                                                     |           |                                                                                                                     |           |                                                                                                                   |           |                                                                                                               |           |                                                                                                                   |           |                   |  |             |  |                                                                                                                                                                                                                                                                                                                                                                                                                                                                                                                                                                                                                                                                                                                                                                                                                                                                                                                                                                                                                                                                                                                                                                                                                                                                                                                                                                                                                                                                                                                                                                                                                            |                                |  |                                        |  |                                                                                                   |             |                                                                                                                     |           |                                                                                                                     |           |                                                                                                                     |           |                                                                                                                     |           |                                                                                                                   |           |                                                                                                               |           |                                                                                                                   |           |                   |  |             |  |                                                                                                                                                                                                                                                                                                                                                                                                                                                                                                                                                                                                                                                                                                                                                                                                                                                                                                                                                                                                                                                                                                                                                                                                                                                                                                                                                                                                                                                                                                                                                                                                                            |                                |  |                                        |  |                                                                                                   |             |                                                                                                                     |           |                                                                                                                     |           |                                                                                                                     |           |                                                                                                                     |           |                                                                                                                   |           |                                                                                                               |           |                                                                                                                   |           |                   |  |             |  |                                                                                                                                                                                                                                                                                                                                                                                                                                                                                                                                                                                                                                                                                                                                                                                                                                                                                                                                                                                                                                                                                                                                                                                                                                                                                                                                                                                                                                                                                                                                                                                                                            |                                |  |                                        |  |                                                                                                   |             |                                                                                                                     |           |                                                                                                                     |           |                                                                                                                     |           |                                                                                                                     |           |                                                                                                                   |           |                                                                                                               |           |                                                                                                                   |           |                   |  |             |  |                                                                                                                                                                                                                                                                                                                                                                                                                                                                                                                                                                                                                                                                                                                                                                                                                                                                                                                                                                                                                                                                                                                                                                                                                                                                                                                                                                                                                                                                                                                                                                                                                            |                                |  |                                        |  |                                                                                                   |             |                                                                                                                     |           |                                                                                                                     |           |                                                                                                                     |           |                                                                                                                     |           |                                                                                                                   |           |                                                                                                               |           |                                                                                                                   |           |                   |  |             |  |                                                                                                                                                                                                                                                                                                                                                                                                                                                                                                                                                                   |                                |  |                                        |  |                                                                                                   |             |                                                                                                                     |           |                              |
|  OvrFrqDeratingMode<br>0x261C   9756                                                                                                                                                                                                                                                                                                                                                                                                                                                                                                                                                                                                                                                                                                                                                                                                                                                                                                                                                                                                                                                                                                                                                                                                                                                                                                                                                     | Enable >                           |  |                                        |  |                                                                                                                     |           |                                                                                                                     |           |                                                                                                                     |           |                                                                                                                     |           |                                                                                                                   |          |                                                                                                                   |          |                                                                                                                         |           |                   |  |             |  |                                                                                                                                                                                                                                                                                                                                                                                                                                                                                                                                                                                                                                                                                                                                                                                                                                                                                                                                                                                                                                                                                                                                                                                                                                                                                                                                                                                                                                                                                                                                                                                                                               |                                |  |                                        |  |                                                                                                                     |           |                                                                                                                     |          |                                                                                                                     |           |                                                                                                                         |          |                                                                                                                   |           |                                                                                                                  |           |                                                                                                                            |           |                                                                                                                      |          |                   |  |                                                                                                                                                                                                                                                                                                                                                                                                                                                                                                                                                                                                                                                                                                                                                                                                                                                                                                                                                                                                                                                                                                                                                                                                                                                                                                                                                                                                                                                                                                                                                                                                                                                                       |                                |                                                                                                                                                                                                                                                                                                                                                                                                                                                                                                                                                                                                                                                                                                                                                                                                                                                                                                                                                                                                                                                                                                                                                                                                                                                                                                                                                                                                                                                                                                                                                                                                                                          |                                        |  |                                                                                                 |          |                                                                                                                    |                                    |                                                                                                                     |           |                                                                                                                       |           |                                                                                                                       |                                  |                                                                                                                        |           |                                                                                                                           |           |                                                                                                                    |           |                                                                                                                     |           |                   |  |                                                                                                                                                                                                                                                                                                                                                                                                                                                                                                                                                                                                                                                                                                                                                                                                                                                                                                                                                                                                                                                                                                                                                                                                                                                                                                                                                                                                                                                                                                                                                                                                                        |                                |                                                                                                                                                                                                                                                                                                                                                                                                                                                                                                                                                                                                                                                                                                                                                                                                                                                                                                                                                                                                                                                                                                                                                                                                                                                                                                                                                                                                                                                                                                                                                                                                                                                              |                                        |  |                                                                                                   |          |                                                                                                                     |           |                                                                                                                           |           |                                                                                                                     |           |                                                                                                                      |           |                                                                                                                       |           |                                                                                                                       |           |                                                                                                                     |           |                                                                                                                 |           |                   |  |             |  |                                                                                                                                                                                                                                                                                                                                                                                                                                                                                                                                                                                                                                                                                                                                                                                                                                                                                                                                                                                                                                                                                                                                                                                                                                                                                                                                                                                                                                                                                                                                                                                                                            |                                |  |                                        |  |                                                                                                   |             |                                                                                                                     |           |                                                                                                                     |           |                                                                                                                     |           |                                                                                                                     |           |                                                                                                                   |           |                                                                                                               |           |                                                                                                                   |           |                   |  |             |  |                                                                                                                                                                                                                                                                                                                                                                                                                                                                                                                                                                                                                                                                                                                                                                                                                                                                                                                                                                                                                                                                                                                                                                                                                                                                                                                                                                                                                                                                                                                                                                                                                            |                                |  |                                        |  |                                                                                                   |             |                                                                                                                     |           |                                                                                                                     |           |                                                                                                                     |           |                                                                                                                     |           |                                                                                                                   |           |                                                                                                               |           |                                                                                                                   |           |                   |  |             |  |                                                                                                                                                                                                                                                                                                                                                                                                                                                                                                                                                                                                                                                                                                                                                                                                                                                                                                                                                                                                                                                                                                                                                                                                                                                                                                                                                                                                                                                                                                                                                                                                                            |                                |  |                                        |  |                                                                                                   |             |                                                                                                                     |           |                                                                                                                     |           |                                                                                                                     |           |                                                                                                                     |           |                                                                                                                   |           |                                                                                                               |           |                                                                                                                   |           |                   |  |             |  |                                                                                                                                                                                                                                                                                                                                                                                                                                                                                                                                                                                                                                                                                                                                                                                                                                                                                                                                                                                                                                                                                                                                                                                                                                                                                                                                                                                                                                                                                                                                                                                                                            |                                |  |                                        |  |                                                                                                   |             |                                                                                                                     |           |                                                                                                                     |           |                                                                                                                     |           |                                                                                                                     |           |                                                                                                                   |           |                                                                                                               |           |                                                                                                                   |           |                   |  |             |  |                                                                                                                                                                                                                                                                                                                                                                                                                                                                                                                                                                                                                                                                                                                                                                                                                                                                                                                                                                                                                                                                                                                                                                                                                                                                                                                                                                                                                                                                                                                                                                                                                            |                                |  |                                        |  |                                                                                                   |             |                                                                                                                     |           |                                                                                                                     |           |                                                                                                                     |           |                                                                                                                     |           |                                                                                                                   |           |                                                                                                               |           |                                                                                                                   |           |                   |  |             |  |                                                                                                                                                                                                                                                                                                                                                                                                                                                                                                                                                                   |                                |  |                                        |  |                                                                                                   |             |                                                                                                                     |           |                              |
| ResProtectCapCurr                                                                                                                                                                                                                                                                                                                                                                                                                                                                                                                                                                                                                                                                                                                                                                                                                                                                                                                                                                                                                                                                                                                                                                                                                                                                                                                                                                                                                                                           |                                    |  |                                        |  |                                                                                                                     |           |                                                                                                                     |           |                                                                                                                     |           |                                                                                                                     |           |                                                                                                                   |          |                                                                                                                   |          |                                                                                                                         |           |                   |  |             |  |                                                                                                                                                                                                                                                                                                                                                                                                                                                                                                                                                                                                                                                                                                                                                                                                                                                                                                                                                                                                                                                                                                                                                                                                                                                                                                                                                                                                                                                                                                                                                                                                                               |                                |  |                                        |  |                                                                                                                     |           |                                                                                                                     |          |                                                                                                                     |           |                                                                                                                         |          |                                                                                                                   |           |                                                                                                                  |           |                                                                                                                            |           |                                                                                                                      |          |                   |  |                                                                                                                                                                                                                                                                                                                                                                                                                                                                                                                                                                                                                                                                                                                                                                                                                                                                                                                                                                                                                                                                                                                                                                                                                                                                                                                                                                                                                                                                                                                                                                                                                                                                       |                                |                                                                                                                                                                                                                                                                                                                                                                                                                                                                                                                                                                                                                                                                                                                                                                                                                                                                                                                                                                                                                                                                                                                                                                                                                                                                                                                                                                                                                                                                                                                                                                                                                                          |                                        |  |                                                                                                 |          |                                                                                                                    |                                    |                                                                                                                     |           |                                                                                                                       |           |                                                                                                                       |                                  |                                                                                                                        |           |                                                                                                                           |           |                                                                                                                    |           |                                                                                                                     |           |                   |  |                                                                                                                                                                                                                                                                                                                                                                                                                                                                                                                                                                                                                                                                                                                                                                                                                                                                                                                                                                                                                                                                                                                                                                                                                                                                                                                                                                                                                                                                                                                                                                                                                        |                                |                                                                                                                                                                                                                                                                                                                                                                                                                                                                                                                                                                                                                                                                                                                                                                                                                                                                                                                                                                                                                                                                                                                                                                                                                                                                                                                                                                                                                                                                                                                                                                                                                                                              |                                        |  |                                                                                                   |          |                                                                                                                     |           |                                                                                                                           |           |                                                                                                                     |           |                                                                                                                      |           |                                                                                                                       |           |                                                                                                                       |           |                                                                                                                     |           |                                                                                                                 |           |                   |  |             |  |                                                                                                                                                                                                                                                                                                                                                                                                                                                                                                                                                                                                                                                                                                                                                                                                                                                                                                                                                                                                                                                                                                                                                                                                                                                                                                                                                                                                                                                                                                                                                                                                                            |                                |  |                                        |  |                                                                                                   |             |                                                                                                                     |           |                                                                                                                     |           |                                                                                                                     |           |                                                                                                                     |           |                                                                                                                   |           |                                                                                                               |           |                                                                                                                   |           |                   |  |             |  |                                                                                                                                                                                                                                                                                                                                                                                                                                                                                                                                                                                                                                                                                                                                                                                                                                                                                                                                                                                                                                                                                                                                                                                                                                                                                                                                                                                                                                                                                                                                                                                                                            |                                |  |                                        |  |                                                                                                   |             |                                                                                                                     |           |                                                                                                                     |           |                                                                                                                     |           |                                                                                                                     |           |                                                                                                                   |           |                                                                                                               |           |                                                                                                                   |           |                   |  |             |  |                                                                                                                                                                                                                                                                                                                                                                                                                                                                                                                                                                                                                                                                                                                                                                                                                                                                                                                                                                                                                                                                                                                                                                                                                                                                                                                                                                                                                                                                                                                                                                                                                            |                                |  |                                        |  |                                                                                                   |             |                                                                                                                     |           |                                                                                                                     |           |                                                                                                                     |           |                                                                                                                     |           |                                                                                                                   |           |                                                                                                               |           |                                                                                                                   |           |                   |  |             |  |                                                                                                                                                                                                                                                                                                                                                                                                                                                                                                                                                                                                                                                                                                                                                                                                                                                                                                                                                                                                                                                                                                                                                                                                                                                                                                                                                                                                                                                                                                                                                                                                                            |                                |  |                                        |  |                                                                                                   |             |                                                                                                                     |           |                                                                                                                     |           |                                                                                                                     |           |                                                                                                                     |           |                                                                                                                   |           |                                                                                                               |           |                                                                                                                   |           |                   |  |             |  |                                                                                                                                                                                                                                                                                                                                                                                                                                                                                                                                                                                                                                                                                                                                                                                                                                                                                                                                                                                                                                                                                                                                                                                                                                                                                                                                                                                                                                                                                                                                                                                                                            |                                |  |                                        |  |                                                                                                   |             |                                                                                                                     |           |                                                                                                                     |           |                                                                                                                     |           |                                                                                                                     |           |                                                                                                                   |           |                                                                                                               |           |                                                                                                                   |           |                   |  |             |  |                                                                                                                                                                                                                                                                                                                                                                                                                                                                                                                                                                   |                                |  |                                        |  |                                                                                                   |             |                                                                                                                     |           |                              |
| <b>Read</b>                                                                                                                                                                                                                                                                                                                                                                                                                                                                                                                                                                                                                                                                                                                                                                                                                                                                                                                                                                                                                                                                                                                                                                                                                                                                                                                                                                                                                                                                 |                                    |  |                                        |  |                                                                                                                     |           |                                                                                                                     |           |                                                                                                                     |           |                                                                                                                     |           |                                                                                                                   |          |                                                                                                                   |          |                                                                                                                         |           |                   |  |             |  |                                                                                                                                                                                                                                                                                                                                                                                                                                                                                                                                                                                                                                                                                                                                                                                                                                                                                                                                                                                                                                                                                                                                                                                                                                                                                                                                                                                                                                                                                                                                                                                                                               |                                |  |                                        |  |                                                                                                                     |           |                                                                                                                     |          |                                                                                                                     |           |                                                                                                                         |          |                                                                                                                   |           |                                                                                                                  |           |                                                                                                                            |           |                                                                                                                      |          |                   |  |                                                                                                                                                                                                                                                                                                                                                                                                                                                                                                                                                                                                                                                                                                                                                                                                                                                                                                                                                                                                                                                                                                                                                                                                                                                                                                                                                                                                                                                                                                                                                                                                                                                                       |                                |                                                                                                                                                                                                                                                                                                                                                                                                                                                                                                                                                                                                                                                                                                                                                                                                                                                                                                                                                                                                                                                                                                                                                                                                                                                                                                                                                                                                                                                                                                                                                                                                                                          |                                        |  |                                                                                                 |          |                                                                                                                    |                                    |                                                                                                                     |           |                                                                                                                       |           |                                                                                                                       |                                  |                                                                                                                        |           |                                                                                                                           |           |                                                                                                                    |           |                                                                                                                     |           |                   |  |                                                                                                                                                                                                                                                                                                                                                                                                                                                                                                                                                                                                                                                                                                                                                                                                                                                                                                                                                                                                                                                                                                                                                                                                                                                                                                                                                                                                                                                                                                                                                                                                                        |                                |                                                                                                                                                                                                                                                                                                                                                                                                                                                                                                                                                                                                                                                                                                                                                                                                                                                                                                                                                                                                                                                                                                                                                                                                                                                                                                                                                                                                                                                                                                                                                                                                                                                              |                                        |  |                                                                                                   |          |                                                                                                                     |           |                                                                                                                           |           |                                                                                                                     |           |                                                                                                                      |           |                                                                                                                       |           |                                                                                                                       |           |                                                                                                                     |           |                                                                                                                 |           |                   |  |             |  |                                                                                                                                                                                                                                                                                                                                                                                                                                                                                                                                                                                                                                                                                                                                                                                                                                                                                                                                                                                                                                                                                                                                                                                                                                                                                                                                                                                                                                                                                                                                                                                                                            |                                |  |                                        |  |                                                                                                   |             |                                                                                                                     |           |                                                                                                                     |           |                                                                                                                     |           |                                                                                                                     |           |                                                                                                                   |           |                                                                                                               |           |                                                                                                                   |           |                   |  |             |  |                                                                                                                                                                                                                                                                                                                                                                                                                                                                                                                                                                                                                                                                                                                                                                                                                                                                                                                                                                                                                                                                                                                                                                                                                                                                                                                                                                                                                                                                                                                                                                                                                            |                                |  |                                        |  |                                                                                                   |             |                                                                                                                     |           |                                                                                                                     |           |                                                                                                                     |           |                                                                                                                     |           |                                                                                                                   |           |                                                                                                               |           |                                                                                                                   |           |                   |  |             |  |                                                                                                                                                                                                                                                                                                                                                                                                                                                                                                                                                                                                                                                                                                                                                                                                                                                                                                                                                                                                                                                                                                                                                                                                                                                                                                                                                                                                                                                                                                                                                                                                                            |                                |  |                                        |  |                                                                                                   |             |                                                                                                                     |           |                                                                                                                     |           |                                                                                                                     |           |                                                                                                                     |           |                                                                                                                   |           |                                                                                                               |           |                                                                                                                   |           |                   |  |             |  |                                                                                                                                                                                                                                                                                                                                                                                                                                                                                                                                                                                                                                                                                                                                                                                                                                                                                                                                                                                                                                                                                                                                                                                                                                                                                                                                                                                                                                                                                                                                                                                                                            |                                |  |                                        |  |                                                                                                   |             |                                                                                                                     |           |                                                                                                                     |           |                                                                                                                     |           |                                                                                                                     |           |                                                                                                                   |           |                                                                                                               |           |                                                                                                                   |           |                   |  |             |  |                                                                                                                                                                                                                                                                                                                                                                                                                                                                                                                                                                                                                                                                                                                                                                                                                                                                                                                                                                                                                                                                                                                                                                                                                                                                                                                                                                                                                                                                                                                                                                                                                            |                                |  |                                        |  |                                                                                                   |             |                                                                                                                     |           |                                                                                                                     |           |                                                                                                                     |           |                                                                                                                     |           |                                                                                                                   |           |                                                                                                               |           |                                                                                                                   |           |                   |  |             |  |                                                                                                                                                                                                                                                                                                                                                                                                                                                                                                                                                                   |                                |  |                                        |  |                                                                                                   |             |                                                                                                                     |           |                              |
| Enable/disable control Para...                                                                                                                                                                                                                                                                                                                                                                                                                                                                                                                                                                                                                                                                                                                                                                                                                                                                                                                                                                                                                                                                                                                                                                                                                                                                                                                                                                                                                                              |                                    |  |                                        |  |                                                                                                                     |           |                                                                                                                     |           |                                                                                                                     |           |                                                                                                                     |           |                                                                                                                   |          |                                                                                                                   |          |                                                                                                                         |           |                   |  |             |  |                                                                                                                                                                                                                                                                                                                                                                                                                                                                                                                                                                                                                                                                                                                                                                                                                                                                                                                                                                                                                                                                                                                                                                                                                                                                                                                                                                                                                                                                                                                                                                                                                               |                                |  |                                        |  |                                                                                                                     |           |                                                                                                                     |          |                                                                                                                     |           |                                                                                                                         |          |                                                                                                                   |           |                                                                                                                  |           |                                                                                                                            |           |                                                                                                                      |          |                   |  |                                                                                                                                                                                                                                                                                                                                                                                                                                                                                                                                                                                                                                                                                                                                                                                                                                                                                                                                                                                                                                                                                                                                                                                                                                                                                                                                                                                                                                                                                                                                                                                                                                                                       |                                |                                                                                                                                                                                                                                                                                                                                                                                                                                                                                                                                                                                                                                                                                                                                                                                                                                                                                                                                                                                                                                                                                                                                                                                                                                                                                                                                                                                                                                                                                                                                                                                                                                          |                                        |  |                                                                                                 |          |                                                                                                                    |                                    |                                                                                                                     |           |                                                                                                                       |           |                                                                                                                       |                                  |                                                                                                                        |           |                                                                                                                           |           |                                                                                                                    |           |                                                                                                                     |           |                   |  |                                                                                                                                                                                                                                                                                                                                                                                                                                                                                                                                                                                                                                                                                                                                                                                                                                                                                                                                                                                                                                                                                                                                                                                                                                                                                                                                                                                                                                                                                                                                                                                                                        |                                |                                                                                                                                                                                                                                                                                                                                                                                                                                                                                                                                                                                                                                                                                                                                                                                                                                                                                                                                                                                                                                                                                                                                                                                                                                                                                                                                                                                                                                                                                                                                                                                                                                                              |                                        |  |                                                                                                   |          |                                                                                                                     |           |                                                                                                                           |           |                                                                                                                     |           |                                                                                                                      |           |                                                                                                                       |           |                                                                                                                       |           |                                                                                                                     |           |                                                                                                                 |           |                   |  |             |  |                                                                                                                                                                                                                                                                                                                                                                                                                                                                                                                                                                                                                                                                                                                                                                                                                                                                                                                                                                                                                                                                                                                                                                                                                                                                                                                                                                                                                                                                                                                                                                                                                            |                                |  |                                        |  |                                                                                                   |             |                                                                                                                     |           |                                                                                                                     |           |                                                                                                                     |           |                                                                                                                     |           |                                                                                                                   |           |                                                                                                               |           |                                                                                                                   |           |                   |  |             |  |                                                                                                                                                                                                                                                                                                                                                                                                                                                                                                                                                                                                                                                                                                                                                                                                                                                                                                                                                                                                                                                                                                                                                                                                                                                                                                                                                                                                                                                                                                                                                                                                                            |                                |  |                                        |  |                                                                                                   |             |                                                                                                                     |           |                                                                                                                     |           |                                                                                                                     |           |                                                                                                                     |           |                                                                                                                   |           |                                                                                                               |           |                                                                                                                   |           |                   |  |             |  |                                                                                                                                                                                                                                                                                                                                                                                                                                                                                                                                                                                                                                                                                                                                                                                                                                                                                                                                                                                                                                                                                                                                                                                                                                                                                                                                                                                                                                                                                                                                                                                                                            |                                |  |                                        |  |                                                                                                   |             |                                                                                                                     |           |                                                                                                                     |           |                                                                                                                     |           |                                                                                                                     |           |                                                                                                                   |           |                                                                                                               |           |                                                                                                                   |           |                   |  |             |  |                                                                                                                                                                                                                                                                                                                                                                                                                                                                                                                                                                                                                                                                                                                                                                                                                                                                                                                                                                                                                                                                                                                                                                                                                                                                                                                                                                                                                                                                                                                                                                                                                            |                                |  |                                        |  |                                                                                                   |             |                                                                                                                     |           |                                                                                                                     |           |                                                                                                                     |           |                                                                                                                     |           |                                                                                                                   |           |                                                                                                               |           |                                                                                                                   |           |                   |  |             |  |                                                                                                                                                                                                                                                                                                                                                                                                                                                                                                                                                                                                                                                                                                                                                                                                                                                                                                                                                                                                                                                                                                                                                                                                                                                                                                                                                                                                                                                                                                                                                                                                                            |                                |  |                                        |  |                                                                                                   |             |                                                                                                                     |           |                                                                                                                     |           |                                                                                                                     |           |                                                                                                                     |           |                                                                                                                   |           |                                                                                                               |           |                                                                                                                   |           |                   |  |             |  |                                                                                                                                                                                                                                                                                                                                                                                                                                                                                                                                                                   |                                |  |                                        |  |                                                                                                   |             |                                                                                                                     |           |                              |
| Last Updated: 2/24/2025 15:55:34 +0800                                                                                                                                                                                                                                                                                                                                                                                                                                                                                                                                                                                                                                                                                                                                                                                                                                                                                                                                                                                                                                                                                                                                                                                                                                                                                                                                                                                                                                      |                                    |  |                                        |  |                                                                                                                     |           |                                                                                                                     |           |                                                                                                                     |           |                                                                                                                     |           |                                                                                                                   |          |                                                                                                                   |          |                                                                                                                         |           |                   |  |             |  |                                                                                                                                                                                                                                                                                                                                                                                                                                                                                                                                                                                                                                                                                                                                                                                                                                                                                                                                                                                                                                                                                                                                                                                                                                                                                                                                                                                                                                                                                                                                                                                                                               |                                |  |                                        |  |                                                                                                                     |           |                                                                                                                     |          |                                                                                                                     |           |                                                                                                                         |          |                                                                                                                   |           |                                                                                                                  |           |                                                                                                                            |           |                                                                                                                      |          |                   |  |                                                                                                                                                                                                                                                                                                                                                                                                                                                                                                                                                                                                                                                                                                                                                                                                                                                                                                                                                                                                                                                                                                                                                                                                                                                                                                                                                                                                                                                                                                                                                                                                                                                                       |                                |                                                                                                                                                                                                                                                                                                                                                                                                                                                                                                                                                                                                                                                                                                                                                                                                                                                                                                                                                                                                                                                                                                                                                                                                                                                                                                                                                                                                                                                                                                                                                                                                                                          |                                        |  |                                                                                                 |          |                                                                                                                    |                                    |                                                                                                                     |           |                                                                                                                       |           |                                                                                                                       |                                  |                                                                                                                        |           |                                                                                                                           |           |                                                                                                                    |           |                                                                                                                     |           |                   |  |                                                                                                                                                                                                                                                                                                                                                                                                                                                                                                                                                                                                                                                                                                                                                                                                                                                                                                                                                                                                                                                                                                                                                                                                                                                                                                                                                                                                                                                                                                                                                                                                                        |                                |                                                                                                                                                                                                                                                                                                                                                                                                                                                                                                                                                                                                                                                                                                                                                                                                                                                                                                                                                                                                                                                                                                                                                                                                                                                                                                                                                                                                                                                                                                                                                                                                                                                              |                                        |  |                                                                                                   |          |                                                                                                                     |           |                                                                                                                           |           |                                                                                                                     |           |                                                                                                                      |           |                                                                                                                       |           |                                                                                                                       |           |                                                                                                                     |           |                                                                                                                 |           |                   |  |             |  |                                                                                                                                                                                                                                                                                                                                                                                                                                                                                                                                                                                                                                                                                                                                                                                                                                                                                                                                                                                                                                                                                                                                                                                                                                                                                                                                                                                                                                                                                                                                                                                                                            |                                |  |                                        |  |                                                                                                   |             |                                                                                                                     |           |                                                                                                                     |           |                                                                                                                     |           |                                                                                                                     |           |                                                                                                                   |           |                                                                                                               |           |                                                                                                                   |           |                   |  |             |  |                                                                                                                                                                                                                                                                                                                                                                                                                                                                                                                                                                                                                                                                                                                                                                                                                                                                                                                                                                                                                                                                                                                                                                                                                                                                                                                                                                                                                                                                                                                                                                                                                            |                                |  |                                        |  |                                                                                                   |             |                                                                                                                     |           |                                                                                                                     |           |                                                                                                                     |           |                                                                                                                     |           |                                                                                                                   |           |                                                                                                               |           |                                                                                                                   |           |                   |  |             |  |                                                                                                                                                                                                                                                                                                                                                                                                                                                                                                                                                                                                                                                                                                                                                                                                                                                                                                                                                                                                                                                                                                                                                                                                                                                                                                                                                                                                                                                                                                                                                                                                                            |                                |  |                                        |  |                                                                                                   |             |                                                                                                                     |           |                                                                                                                     |           |                                                                                                                     |           |                                                                                                                     |           |                                                                                                                   |           |                                                                                                               |           |                                                                                                                   |           |                   |  |             |  |                                                                                                                                                                                                                                                                                                                                                                                                                                                                                                                                                                                                                                                                                                                                                                                                                                                                                                                                                                                                                                                                                                                                                                                                                                                                                                                                                                                                                                                                                                                                                                                                                            |                                |  |                                        |  |                                                                                                   |             |                                                                                                                     |           |                                                                                                                     |           |                                                                                                                     |           |                                                                                                                     |           |                                                                                                                   |           |                                                                                                               |           |                                                                                                                   |           |                   |  |             |  |                                                                                                                                                                                                                                                                                                                                                                                                                                                                                                                                                                                                                                                                                                                                                                                                                                                                                                                                                                                                                                                                                                                                                                                                                                                                                                                                                                                                                                                                                                                                                                                                                            |                                |  |                                        |  |                                                                                                   |             |                                                                                                                     |           |                                                                                                                     |           |                                                                                                                     |           |                                                                                                                     |           |                                                                                                                   |           |                                                                                                               |           |                                                                                                                   |           |                   |  |             |  |                                                                                                                                                                                                                                                                                                                                                                                                                                                                                                                                                                   |                                |  |                                        |  |                                                                                                   |             |                                                                                                                     |           |                              |
|  0x261C   9756                                                                                                                                                                                                                                                                                                                                                                                                                                                                                                                                                                                                                                                                                                                                                                                                                                                                                                                                                                                                                                                                                                                                                                                                                                                                                                                                                                             | Enable >                           |  |                                        |  |                                                                                                                     |           |                                                                                                                     |           |                                                                                                                     |           |                                                                                                                     |           |                                                                                                                   |          |                                                                                                                   |          |                                                                                                                         |           |                   |  |             |  |                                                                                                                                                                                                                                                                                                                                                                                                                                                                                                                                                                                                                                                                                                                                                                                                                                                                                                                                                                                                                                                                                                                                                                                                                                                                                                                                                                                                                                                                                                                                                                                                                               |                                |  |                                        |  |                                                                                                                     |           |                                                                                                                     |          |                                                                                                                     |           |                                                                                                                         |          |                                                                                                                   |           |                                                                                                                  |           |                                                                                                                            |           |                                                                                                                      |          |                   |  |                                                                                                                                                                                                                                                                                                                                                                                                                                                                                                                                                                                                                                                                                                                                                                                                                                                                                                                                                                                                                                                                                                                                                                                                                                                                                                                                                                                                                                                                                                                                                                                                                                                                       |                                |                                                                                                                                                                                                                                                                                                                                                                                                                                                                                                                                                                                                                                                                                                                                                                                                                                                                                                                                                                                                                                                                                                                                                                                                                                                                                                                                                                                                                                                                                                                                                                                                                                          |                                        |  |                                                                                                 |          |                                                                                                                    |                                    |                                                                                                                     |           |                                                                                                                       |           |                                                                                                                       |                                  |                                                                                                                        |           |                                                                                                                           |           |                                                                                                                    |           |                                                                                                                     |           |                   |  |                                                                                                                                                                                                                                                                                                                                                                                                                                                                                                                                                                                                                                                                                                                                                                                                                                                                                                                                                                                                                                                                                                                                                                                                                                                                                                                                                                                                                                                                                                                                                                                                                        |                                |                                                                                                                                                                                                                                                                                                                                                                                                                                                                                                                                                                                                                                                                                                                                                                                                                                                                                                                                                                                                                                                                                                                                                                                                                                                                                                                                                                                                                                                                                                                                                                                                                                                              |                                        |  |                                                                                                   |          |                                                                                                                     |           |                                                                                                                           |           |                                                                                                                     |           |                                                                                                                      |           |                                                                                                                       |           |                                                                                                                       |           |                                                                                                                     |           |                                                                                                                 |           |                   |  |             |  |                                                                                                                                                                                                                                                                                                                                                                                                                                                                                                                                                                                                                                                                                                                                                                                                                                                                                                                                                                                                                                                                                                                                                                                                                                                                                                                                                                                                                                                                                                                                                                                                                            |                                |  |                                        |  |                                                                                                   |             |                                                                                                                     |           |                                                                                                                     |           |                                                                                                                     |           |                                                                                                                     |           |                                                                                                                   |           |                                                                                                               |           |                                                                                                                   |           |                   |  |             |  |                                                                                                                                                                                                                                                                                                                                                                                                                                                                                                                                                                                                                                                                                                                                                                                                                                                                                                                                                                                                                                                                                                                                                                                                                                                                                                                                                                                                                                                                                                                                                                                                                            |                                |  |                                        |  |                                                                                                   |             |                                                                                                                     |           |                                                                                                                     |           |                                                                                                                     |           |                                                                                                                     |           |                                                                                                                   |           |                                                                                                               |           |                                                                                                                   |           |                   |  |             |  |                                                                                                                                                                                                                                                                                                                                                                                                                                                                                                                                                                                                                                                                                                                                                                                                                                                                                                                                                                                                                                                                                                                                                                                                                                                                                                                                                                                                                                                                                                                                                                                                                            |                                |  |                                        |  |                                                                                                   |             |                                                                                                                     |           |                                                                                                                     |           |                                                                                                                     |           |                                                                                                                     |           |                                                                                                                   |           |                                                                                                               |           |                                                                                                                   |           |                   |  |             |  |                                                                                                                                                                                                                                                                                                                                                                                                                                                                                                                                                                                                                                                                                                                                                                                                                                                                                                                                                                                                                                                                                                                                                                                                                                                                                                                                                                                                                                                                                                                                                                                                                            |                                |  |                                        |  |                                                                                                   |             |                                                                                                                     |           |                                                                                                                     |           |                                                                                                                     |           |                                                                                                                     |           |                                                                                                                   |           |                                                                                                               |           |                                                                                                                   |           |                   |  |             |  |                                                                                                                                                                                                                                                                                                                                                                                                                                                                                                                                                                                                                                                                                                                                                                                                                                                                                                                                                                                                                                                                                                                                                                                                                                                                                                                                                                                                                                                                                                                                                                                                                            |                                |  |                                        |  |                                                                                                   |             |                                                                                                                     |           |                                                                                                                     |           |                                                                                                                     |           |                                                                                                                     |           |                                                                                                                   |           |                                                                                                               |           |                                                                                                                   |           |                   |  |             |  |                                                                                                                                                                                                                                                                                                                                                                                                                                                                                                                                                                   |                                |  |                                        |  |                                                                                                   |             |                                                                                                                     |           |                              |
|  DCIProtection1En<br>0x261D   9757                                                                                                                                                                                                                                                                                                                                                                                                                                                                                                                                                                                                                                                                                                                                                                                                                                                                                                                                                                                                                                                                                                                                                                                                                                                                                                                                                         | Enable >                           |  |                                        |  |                                                                                                                     |           |                                                                                                                     |           |                                                                                                                     |           |                                                                                                                     |           |                                                                                                                   |          |                                                                                                                   |          |                                                                                                                         |           |                   |  |             |  |                                                                                                                                                                                                                                                                                                                                                                                                                                                                                                                                                                                                                                                                                                                                                                                                                                                                                                                                                                                                                                                                                                                                                                                                                                                                                                                                                                                                                                                                                                                                                                                                                               |                                |  |                                        |  |                                                                                                                     |           |                                                                                                                     |          |                                                                                                                     |           |                                                                                                                         |          |                                                                                                                   |           |                                                                                                                  |           |                                                                                                                            |           |                                                                                                                      |          |                   |  |                                                                                                                                                                                                                                                                                                                                                                                                                                                                                                                                                                                                                                                                                                                                                                                                                                                                                                                                                                                                                                                                                                                                                                                                                                                                                                                                                                                                                                                                                                                                                                                                                                                                       |                                |                                                                                                                                                                                                                                                                                                                                                                                                                                                                                                                                                                                                                                                                                                                                                                                                                                                                                                                                                                                                                                                                                                                                                                                                                                                                                                                                                                                                                                                                                                                                                                                                                                          |                                        |  |                                                                                                 |          |                                                                                                                    |                                    |                                                                                                                     |           |                                                                                                                       |           |                                                                                                                       |                                  |                                                                                                                        |           |                                                                                                                           |           |                                                                                                                    |           |                                                                                                                     |           |                   |  |                                                                                                                                                                                                                                                                                                                                                                                                                                                                                                                                                                                                                                                                                                                                                                                                                                                                                                                                                                                                                                                                                                                                                                                                                                                                                                                                                                                                                                                                                                                                                                                                                        |                                |                                                                                                                                                                                                                                                                                                                                                                                                                                                                                                                                                                                                                                                                                                                                                                                                                                                                                                                                                                                                                                                                                                                                                                                                                                                                                                                                                                                                                                                                                                                                                                                                                                                              |                                        |  |                                                                                                   |          |                                                                                                                     |           |                                                                                                                           |           |                                                                                                                     |           |                                                                                                                      |           |                                                                                                                       |           |                                                                                                                       |           |                                                                                                                     |           |                                                                                                                 |           |                   |  |             |  |                                                                                                                                                                                                                                                                                                                                                                                                                                                                                                                                                                                                                                                                                                                                                                                                                                                                                                                                                                                                                                                                                                                                                                                                                                                                                                                                                                                                                                                                                                                                                                                                                            |                                |  |                                        |  |                                                                                                   |             |                                                                                                                     |           |                                                                                                                     |           |                                                                                                                     |           |                                                                                                                     |           |                                                                                                                   |           |                                                                                                               |           |                                                                                                                   |           |                   |  |             |  |                                                                                                                                                                                                                                                                                                                                                                                                                                                                                                                                                                                                                                                                                                                                                                                                                                                                                                                                                                                                                                                                                                                                                                                                                                                                                                                                                                                                                                                                                                                                                                                                                            |                                |  |                                        |  |                                                                                                   |             |                                                                                                                     |           |                                                                                                                     |           |                                                                                                                     |           |                                                                                                                     |           |                                                                                                                   |           |                                                                                                               |           |                                                                                                                   |           |                   |  |             |  |                                                                                                                                                                                                                                                                                                                                                                                                                                                                                                                                                                                                                                                                                                                                                                                                                                                                                                                                                                                                                                                                                                                                                                                                                                                                                                                                                                                                                                                                                                                                                                                                                            |                                |  |                                        |  |                                                                                                   |             |                                                                                                                     |           |                                                                                                                     |           |                                                                                                                     |           |                                                                                                                     |           |                                                                                                                   |           |                                                                                                               |           |                                                                                                                   |           |                   |  |             |  |                                                                                                                                                                                                                                                                                                                                                                                                                                                                                                                                                                                                                                                                                                                                                                                                                                                                                                                                                                                                                                                                                                                                                                                                                                                                                                                                                                                                                                                                                                                                                                                                                            |                                |  |                                        |  |                                                                                                   |             |                                                                                                                     |           |                                                                                                                     |           |                                                                                                                     |           |                                                                                                                     |           |                                                                                                                   |           |                                                                                                               |           |                                                                                                                   |           |                   |  |             |  |                                                                                                                                                                                                                                                                                                                                                                                                                                                                                                                                                                                                                                                                                                                                                                                                                                                                                                                                                                                                                                                                                                                                                                                                                                                                                                                                                                                                                                                                                                                                                                                                                            |                                |  |                                        |  |                                                                                                   |             |                                                                                                                     |           |                                                                                                                     |           |                                                                                                                     |           |                                                                                                                     |           |                                                                                                                   |           |                                                                                                               |           |                                                                                                                   |           |                   |  |             |  |                                                                                                                                                                                                                                                                                                                                                                                                                                                                                                                                                                   |                                |  |                                        |  |                                                                                                   |             |                                                                                                                     |           |                              |
|  DCIProtection2En<br>0x261E   9758                                                                                                                                                                                                                                                                                                                                                                                                                                                                                                                                                                                                                                                                                                                                                                                                                                                                                                                                                                                                                                                                                                                                                                                                                                                                                                                                                         | Disable >                          |  |                                        |  |                                                                                                                     |           |                                                                                                                     |           |                                                                                                                     |           |                                                                                                                     |           |                                                                                                                   |          |                                                                                                                   |          |                                                                                                                         |           |                   |  |             |  |                                                                                                                                                                                                                                                                                                                                                                                                                                                                                                                                                                                                                                                                                                                                                                                                                                                                                                                                                                                                                                                                                                                                                                                                                                                                                                                                                                                                                                                                                                                                                                                                                               |                                |  |                                        |  |                                                                                                                     |           |                                                                                                                     |          |                                                                                                                     |           |                                                                                                                         |          |                                                                                                                   |           |                                                                                                                  |           |                                                                                                                            |           |                                                                                                                      |          |                   |  |                                                                                                                                                                                                                                                                                                                                                                                                                                                                                                                                                                                                                                                                                                                                                                                                                                                                                                                                                                                                                                                                                                                                                                                                                                                                                                                                                                                                                                                                                                                                                                                                                                                                       |                                |                                                                                                                                                                                                                                                                                                                                                                                                                                                                                                                                                                                                                                                                                                                                                                                                                                                                                                                                                                                                                                                                                                                                                                                                                                                                                                                                                                                                                                                                                                                                                                                                                                          |                                        |  |                                                                                                 |          |                                                                                                                    |                                    |                                                                                                                     |           |                                                                                                                       |           |                                                                                                                       |                                  |                                                                                                                        |           |                                                                                                                           |           |                                                                                                                    |           |                                                                                                                     |           |                   |  |                                                                                                                                                                                                                                                                                                                                                                                                                                                                                                                                                                                                                                                                                                                                                                                                                                                                                                                                                                                                                                                                                                                                                                                                                                                                                                                                                                                                                                                                                                                                                                                                                        |                                |                                                                                                                                                                                                                                                                                                                                                                                                                                                                                                                                                                                                                                                                                                                                                                                                                                                                                                                                                                                                                                                                                                                                                                                                                                                                                                                                                                                                                                                                                                                                                                                                                                                              |                                        |  |                                                                                                   |          |                                                                                                                     |           |                                                                                                                           |           |                                                                                                                     |           |                                                                                                                      |           |                                                                                                                       |           |                                                                                                                       |           |                                                                                                                     |           |                                                                                                                 |           |                   |  |             |  |                                                                                                                                                                                                                                                                                                                                                                                                                                                                                                                                                                                                                                                                                                                                                                                                                                                                                                                                                                                                                                                                                                                                                                                                                                                                                                                                                                                                                                                                                                                                                                                                                            |                                |  |                                        |  |                                                                                                   |             |                                                                                                                     |           |                                                                                                                     |           |                                                                                                                     |           |                                                                                                                     |           |                                                                                                                   |           |                                                                                                               |           |                                                                                                                   |           |                   |  |             |  |                                                                                                                                                                                                                                                                                                                                                                                                                                                                                                                                                                                                                                                                                                                                                                                                                                                                                                                                                                                                                                                                                                                                                                                                                                                                                                                                                                                                                                                                                                                                                                                                                            |                                |  |                                        |  |                                                                                                   |             |                                                                                                                     |           |                                                                                                                     |           |                                                                                                                     |           |                                                                                                                     |           |                                                                                                                   |           |                                                                                                               |           |                                                                                                                   |           |                   |  |             |  |                                                                                                                                                                                                                                                                                                                                                                                                                                                                                                                                                                                                                                                                                                                                                                                                                                                                                                                                                                                                                                                                                                                                                                                                                                                                                                                                                                                                                                                                                                                                                                                                                            |                                |  |                                        |  |                                                                                                   |             |                                                                                                                     |           |                                                                                                                     |           |                                                                                                                     |           |                                                                                                                     |           |                                                                                                                   |           |                                                                                                               |           |                                                                                                                   |           |                   |  |             |  |                                                                                                                                                                                                                                                                                                                                                                                                                                                                                                                                                                                                                                                                                                                                                                                                                                                                                                                                                                                                                                                                                                                                                                                                                                                                                                                                                                                                                                                                                                                                                                                                                            |                                |  |                                        |  |                                                                                                   |             |                                                                                                                     |           |                                                                                                                     |           |                                                                                                                     |           |                                                                                                                     |           |                                                                                                                   |           |                                                                                                               |           |                                                                                                                   |           |                   |  |             |  |                                                                                                                                                                                                                                                                                                                                                                                                                                                                                                                                                                                                                                                                                                                                                                                                                                                                                                                                                                                                                                                                                                                                                                                                                                                                                                                                                                                                                                                                                                                                                                                                                            |                                |  |                                        |  |                                                                                                   |             |                                                                                                                     |           |                                                                                                                     |           |                                                                                                                     |           |                                                                                                                     |           |                                                                                                                   |           |                                                                                                               |           |                                                                                                                   |           |                   |  |             |  |                                                                                                                                                                                                                                                                                                                                                                                                                                                                                                                                                                   |                                |  |                                        |  |                                                                                                   |             |                                                                                                                     |           |                              |
|  GridVoltUnbalanceEn<br>0x261F   9759                                                                                                                                                                                                                                                                                                                                                                                                                                                                                                                                                                                                                                                                                                                                                                                                                                                                                                                                                                                                                                                                                                                                                                                                                                                                                                                                                     | Enable >                           |  |                                        |  |                                                                                                                     |           |                                                                                                                     |           |                                                                                                                     |           |                                                                                                                     |           |                                                                                                                   |          |                                                                                                                   |          |                                                                                                                         |           |                   |  |             |  |                                                                                                                                                                                                                                                                                                                                                                                                                                                                                                                                                                                                                                                                                                                                                                                                                                                                                                                                                                                                                                                                                                                                                                                                                                                                                                                                                                                                                                                                                                                                                                                                                               |                                |  |                                        |  |                                                                                                                     |           |                                                                                                                     |          |                                                                                                                     |           |                                                                                                                         |          |                                                                                                                   |           |                                                                                                                  |           |                                                                                                                            |           |                                                                                                                      |          |                   |  |                                                                                                                                                                                                                                                                                                                                                                                                                                                                                                                                                                                                                                                                                                                                                                                                                                                                                                                                                                                                                                                                                                                                                                                                                                                                                                                                                                                                                                                                                                                                                                                                                                                                       |                                |                                                                                                                                                                                                                                                                                                                                                                                                                                                                                                                                                                                                                                                                                                                                                                                                                                                                                                                                                                                                                                                                                                                                                                                                                                                                                                                                                                                                                                                                                                                                                                                                                                          |                                        |  |                                                                                                 |          |                                                                                                                    |                                    |                                                                                                                     |           |                                                                                                                       |           |                                                                                                                       |                                  |                                                                                                                        |           |                                                                                                                           |           |                                                                                                                    |           |                                                                                                                     |           |                   |  |                                                                                                                                                                                                                                                                                                                                                                                                                                                                                                                                                                                                                                                                                                                                                                                                                                                                                                                                                                                                                                                                                                                                                                                                                                                                                                                                                                                                                                                                                                                                                                                                                        |                                |                                                                                                                                                                                                                                                                                                                                                                                                                                                                                                                                                                                                                                                                                                                                                                                                                                                                                                                                                                                                                                                                                                                                                                                                                                                                                                                                                                                                                                                                                                                                                                                                                                                              |                                        |  |                                                                                                   |          |                                                                                                                     |           |                                                                                                                           |           |                                                                                                                     |           |                                                                                                                      |           |                                                                                                                       |           |                                                                                                                       |           |                                                                                                                     |           |                                                                                                                 |           |                   |  |             |  |                                                                                                                                                                                                                                                                                                                                                                                                                                                                                                                                                                                                                                                                                                                                                                                                                                                                                                                                                                                                                                                                                                                                                                                                                                                                                                                                                                                                                                                                                                                                                                                                                            |                                |  |                                        |  |                                                                                                   |             |                                                                                                                     |           |                                                                                                                     |           |                                                                                                                     |           |                                                                                                                     |           |                                                                                                                   |           |                                                                                                               |           |                                                                                                                   |           |                   |  |             |  |                                                                                                                                                                                                                                                                                                                                                                                                                                                                                                                                                                                                                                                                                                                                                                                                                                                                                                                                                                                                                                                                                                                                                                                                                                                                                                                                                                                                                                                                                                                                                                                                                            |                                |  |                                        |  |                                                                                                   |             |                                                                                                                     |           |                                                                                                                     |           |                                                                                                                     |           |                                                                                                                     |           |                                                                                                                   |           |                                                                                                               |           |                                                                                                                   |           |                   |  |             |  |                                                                                                                                                                                                                                                                                                                                                                                                                                                                                                                                                                                                                                                                                                                                                                                                                                                                                                                                                                                                                                                                                                                                                                                                                                                                                                                                                                                                                                                                                                                                                                                                                            |                                |  |                                        |  |                                                                                                   |             |                                                                                                                     |           |                                                                                                                     |           |                                                                                                                     |           |                                                                                                                     |           |                                                                                                                   |           |                                                                                                               |           |                                                                                                                   |           |                   |  |             |  |                                                                                                                                                                                                                                                                                                                                                                                                                                                                                                                                                                                                                                                                                                                                                                                                                                                                                                                                                                                                                                                                                                                                                                                                                                                                                                                                                                                                                                                                                                                                                                                                                            |                                |  |                                        |  |                                                                                                   |             |                                                                                                                     |           |                                                                                                                     |           |                                                                                                                     |           |                                                                                                                     |           |                                                                                                                   |           |                                                                                                               |           |                                                                                                                   |           |                   |  |             |  |                                                                                                                                                                                                                                                                                                                                                                                                                                                                                                                                                                                                                                                                                                                                                                                                                                                                                                                                                                                                                                                                                                                                                                                                                                                                                                                                                                                                                                                                                                                                                                                                                            |                                |  |                                        |  |                                                                                                   |             |                                                                                                                     |           |                                                                                                                     |           |                                                                                                                     |           |                                                                                                                     |           |                                                                                                                   |           |                                                                                                               |           |                                                                                                                   |           |                   |  |             |  |                                                                                                                                                                                                                                                                                                                                                                                                                                                                                                                                                                   |                                |  |                                        |  |                                                                                                   |             |                                                                                                                     |           |                              |
|  UFDerEn<br>0x2620   9760                                                                                                                                                                                                                                                                                                                                                                                                                                                                                                                                                                                                                                                                                                                                                                                                                                                                                                                                                                                                                                                                                                                                                                                                                                                                                                                                                                | Disable >                          |  |                                        |  |                                                                                                                     |           |                                                                                                                     |           |                                                                                                                     |           |                                                                                                                     |           |                                                                                                                   |          |                                                                                                                   |          |                                                                                                                         |           |                   |  |             |  |                                                                                                                                                                                                                                                                                                                                                                                                                                                                                                                                                                                                                                                                                                                                                                                                                                                                                                                                                                                                                                                                                                                                                                                                                                                                                                                                                                                                                                                                                                                                                                                                                               |                                |  |                                        |  |                                                                                                                     |           |                                                                                                                     |          |                                                                                                                     |           |                                                                                                                         |          |                                                                                                                   |           |                                                                                                                  |           |                                                                                                                            |           |                                                                                                                      |          |                   |  |                                                                                                                                                                                                                                                                                                                                                                                                                                                                                                                                                                                                                                                                                                                                                                                                                                                                                                                                                                                                                                                                                                                                                                                                                                                                                                                                                                                                                                                                                                                                                                                                                                                                       |                                |                                                                                                                                                                                                                                                                                                                                                                                                                                                                                                                                                                                                                                                                                                                                                                                                                                                                                                                                                                                                                                                                                                                                                                                                                                                                                                                                                                                                                                                                                                                                                                                                                                          |                                        |  |                                                                                                 |          |                                                                                                                    |                                    |                                                                                                                     |           |                                                                                                                       |           |                                                                                                                       |                                  |                                                                                                                        |           |                                                                                                                           |           |                                                                                                                    |           |                                                                                                                     |           |                   |  |                                                                                                                                                                                                                                                                                                                                                                                                                                                                                                                                                                                                                                                                                                                                                                                                                                                                                                                                                                                                                                                                                                                                                                                                                                                                                                                                                                                                                                                                                                                                                                                                                        |                                |                                                                                                                                                                                                                                                                                                                                                                                                                                                                                                                                                                                                                                                                                                                                                                                                                                                                                                                                                                                                                                                                                                                                                                                                                                                                                                                                                                                                                                                                                                                                                                                                                                                              |                                        |  |                                                                                                   |          |                                                                                                                     |           |                                                                                                                           |           |                                                                                                                     |           |                                                                                                                      |           |                                                                                                                       |           |                                                                                                                       |           |                                                                                                                     |           |                                                                                                                 |           |                   |  |             |  |                                                                                                                                                                                                                                                                                                                                                                                                                                                                                                                                                                                                                                                                                                                                                                                                                                                                                                                                                                                                                                                                                                                                                                                                                                                                                                                                                                                                                                                                                                                                                                                                                            |                                |  |                                        |  |                                                                                                   |             |                                                                                                                     |           |                                                                                                                     |           |                                                                                                                     |           |                                                                                                                     |           |                                                                                                                   |           |                                                                                                               |           |                                                                                                                   |           |                   |  |             |  |                                                                                                                                                                                                                                                                                                                                                                                                                                                                                                                                                                                                                                                                                                                                                                                                                                                                                                                                                                                                                                                                                                                                                                                                                                                                                                                                                                                                                                                                                                                                                                                                                            |                                |  |                                        |  |                                                                                                   |             |                                                                                                                     |           |                                                                                                                     |           |                                                                                                                     |           |                                                                                                                     |           |                                                                                                                   |           |                                                                                                               |           |                                                                                                                   |           |                   |  |             |  |                                                                                                                                                                                                                                                                                                                                                                                                                                                                                                                                                                                                                                                                                                                                                                                                                                                                                                                                                                                                                                                                                                                                                                                                                                                                                                                                                                                                                                                                                                                                                                                                                            |                                |  |                                        |  |                                                                                                   |             |                                                                                                                     |           |                                                                                                                     |           |                                                                                                                     |           |                                                                                                                     |           |                                                                                                                   |           |                                                                                                               |           |                                                                                                                   |           |                   |  |             |  |                                                                                                                                                                                                                                                                                                                                                                                                                                                                                                                                                                                                                                                                                                                                                                                                                                                                                                                                                                                                                                                                                                                                                                                                                                                                                                                                                                                                                                                                                                                                                                                                                            |                                |  |                                        |  |                                                                                                   |             |                                                                                                                     |           |                                                                                                                     |           |                                                                                                                     |           |                                                                                                                     |           |                                                                                                                   |           |                                                                                                               |           |                                                                                                                   |           |                   |  |             |  |                                                                                                                                                                                                                                                                                                                                                                                                                                                                                                                                                                                                                                                                                                                                                                                                                                                                                                                                                                                                                                                                                                                                                                                                                                                                                                                                                                                                                                                                                                                                                                                                                            |                                |  |                                        |  |                                                                                                   |             |                                                                                                                     |           |                                                                                                                     |           |                                                                                                                     |           |                                                                                                                     |           |                                                                                                                   |           |                                                                                                               |           |                                                                                                                   |           |                   |  |             |  |                                                                                                                                                                                                                                                                                                                                                                                                                                                                                                                                                                   |                                |  |                                        |  |                                                                                                   |             |                                                                                                                     |           |                              |
|  OvrVolDerEn<br>0x2621   9761                                                                                                                                                                                                                                                                                                                                                                                                                                                                                                                                                                                                                                                                                                                                                                                                                                                                                                                                                                                                                                                                                                                                                                                                                                                                                                                                                            | Disable >                          |  |                                        |  |                                                                                                                     |           |                                                                                                                     |           |                                                                                                                     |           |                                                                                                                     |           |                                                                                                                   |          |                                                                                                                   |          |                                                                                                                         |           |                   |  |             |  |                                                                                                                                                                                                                                                                                                                                                                                                                                                                                                                                                                                                                                                                                                                                                                                                                                                                                                                                                                                                                                                                                                                                                                                                                                                                                                                                                                                                                                                                                                                                                                                                                               |                                |  |                                        |  |                                                                                                                     |           |                                                                                                                     |          |                                                                                                                     |           |                                                                                                                         |          |                                                                                                                   |           |                                                                                                                  |           |                                                                                                                            |           |                                                                                                                      |          |                   |  |                                                                                                                                                                                                                                                                                                                                                                                                                                                                                                                                                                                                                                                                                                                                                                                                                                                                                                                                                                                                                                                                                                                                                                                                                                                                                                                                                                                                                                                                                                                                                                                                                                                                       |                                |                                                                                                                                                                                                                                                                                                                                                                                                                                                                                                                                                                                                                                                                                                                                                                                                                                                                                                                                                                                                                                                                                                                                                                                                                                                                                                                                                                                                                                                                                                                                                                                                                                          |                                        |  |                                                                                                 |          |                                                                                                                    |                                    |                                                                                                                     |           |                                                                                                                       |           |                                                                                                                       |                                  |                                                                                                                        |           |                                                                                                                           |           |                                                                                                                    |           |                                                                                                                     |           |                   |  |                                                                                                                                                                                                                                                                                                                                                                                                                                                                                                                                                                                                                                                                                                                                                                                                                                                                                                                                                                                                                                                                                                                                                                                                                                                                                                                                                                                                                                                                                                                                                                                                                        |                                |                                                                                                                                                                                                                                                                                                                                                                                                                                                                                                                                                                                                                                                                                                                                                                                                                                                                                                                                                                                                                                                                                                                                                                                                                                                                                                                                                                                                                                                                                                                                                                                                                                                              |                                        |  |                                                                                                   |          |                                                                                                                     |           |                                                                                                                           |           |                                                                                                                     |           |                                                                                                                      |           |                                                                                                                       |           |                                                                                                                       |           |                                                                                                                     |           |                                                                                                                 |           |                   |  |             |  |                                                                                                                                                                                                                                                                                                                                                                                                                                                                                                                                                                                                                                                                                                                                                                                                                                                                                                                                                                                                                                                                                                                                                                                                                                                                                                                                                                                                                                                                                                                                                                                                                            |                                |  |                                        |  |                                                                                                   |             |                                                                                                                     |           |                                                                                                                     |           |                                                                                                                     |           |                                                                                                                     |           |                                                                                                                   |           |                                                                                                               |           |                                                                                                                   |           |                   |  |             |  |                                                                                                                                                                                                                                                                                                                                                                                                                                                                                                                                                                                                                                                                                                                                                                                                                                                                                                                                                                                                                                                                                                                                                                                                                                                                                                                                                                                                                                                                                                                                                                                                                            |                                |  |                                        |  |                                                                                                   |             |                                                                                                                     |           |                                                                                                                     |           |                                                                                                                     |           |                                                                                                                     |           |                                                                                                                   |           |                                                                                                               |           |                                                                                                                   |           |                   |  |             |  |                                                                                                                                                                                                                                                                                                                                                                                                                                                                                                                                                                                                                                                                                                                                                                                                                                                                                                                                                                                                                                                                                                                                                                                                                                                                                                                                                                                                                                                                                                                                                                                                                            |                                |  |                                        |  |                                                                                                   |             |                                                                                                                     |           |                                                                                                                     |           |                                                                                                                     |           |                                                                                                                     |           |                                                                                                                   |           |                                                                                                               |           |                                                                                                                   |           |                   |  |             |  |                                                                                                                                                                                                                                                                                                                                                                                                                                                                                                                                                                                                                                                                                                                                                                                                                                                                                                                                                                                                                                                                                                                                                                                                                                                                                                                                                                                                                                                                                                                                                                                                                            |                                |  |                                        |  |                                                                                                   |             |                                                                                                                     |           |                                                                                                                     |           |                                                                                                                     |           |                                                                                                                     |           |                                                                                                                   |           |                                                                                                               |           |                                                                                                                   |           |                   |  |             |  |                                                                                                                                                                                                                                                                                                                                                                                                                                                                                                                                                                                                                                                                                                                                                                                                                                                                                                                                                                                                                                                                                                                                                                                                                                                                                                                                                                                                                                                                                                                                                                                                                            |                                |  |                                        |  |                                                                                                   |             |                                                                                                                     |           |                                                                                                                     |           |                                                                                                                     |           |                                                                                                                     |           |                                                                                                                   |           |                                                                                                               |           |                                                                                                                   |           |                   |  |             |  |                                                                                                                                                                                                                                                                                                                                                                                                                                                                                                                                                                   |                                |  |                                        |  |                                                                                                   |             |                                                                                                                     |           |                              |
|  PVSlowStartSEn (HECO)<br>0x2622   9762                                                                                                                                                                                                                                                                                                                                                                                                                                                                                                                                                                                                                                                                                                                                                                                                                                                                                                                                                                                                                                                                                                                                                                                                                                                                                                                                                  | Enable >                           |  |                                        |  |                                                                                                                     |           |                                                                                                                     |           |                                                                                                                     |           |                                                                                                                     |           |                                                                                                                   |          |                                                                                                                   |          |                                                                                                                         |           |                   |  |             |  |                                                                                                                                                                                                                                                                                                                                                                                                                                                                                                                                                                                                                                                                                                                                                                                                                                                                                                                                                                                                                                                                                                                                                                                                                                                                                                                                                                                                                                                                                                                                                                                                                               |                                |  |                                        |  |                                                                                                                     |           |                                                                                                                     |          |                                                                                                                     |           |                                                                                                                         |          |                                                                                                                   |           |                                                                                                                  |           |                                                                                                                            |           |                                                                                                                      |          |                   |  |                                                                                                                                                                                                                                                                                                                                                                                                                                                                                                                                                                                                                                                                                                                                                                                                                                                                                                                                                                                                                                                                                                                                                                                                                                                                                                                                                                                                                                                                                                                                                                                                                                                                       |                                |                                                                                                                                                                                                                                                                                                                                                                                                                                                                                                                                                                                                                                                                                                                                                                                                                                                                                                                                                                                                                                                                                                                                                                                                                                                                                                                                                                                                                                                                                                                                                                                                                                          |                                        |  |                                                                                                 |          |                                                                                                                    |                                    |                                                                                                                     |           |                                                                                                                       |           |                                                                                                                       |                                  |                                                                                                                        |           |                                                                                                                           |           |                                                                                                                    |           |                                                                                                                     |           |                   |  |                                                                                                                                                                                                                                                                                                                                                                                                                                                                                                                                                                                                                                                                                                                                                                                                                                                                                                                                                                                                                                                                                                                                                                                                                                                                                                                                                                                                                                                                                                                                                                                                                        |                                |                                                                                                                                                                                                                                                                                                                                                                                                                                                                                                                                                                                                                                                                                                                                                                                                                                                                                                                                                                                                                                                                                                                                                                                                                                                                                                                                                                                                                                                                                                                                                                                                                                                              |                                        |  |                                                                                                   |          |                                                                                                                     |           |                                                                                                                           |           |                                                                                                                     |           |                                                                                                                      |           |                                                                                                                       |           |                                                                                                                       |           |                                                                                                                     |           |                                                                                                                 |           |                   |  |             |  |                                                                                                                                                                                                                                                                                                                                                                                                                                                                                                                                                                                                                                                                                                                                                                                                                                                                                                                                                                                                                                                                                                                                                                                                                                                                                                                                                                                                                                                                                                                                                                                                                            |                                |  |                                        |  |                                                                                                   |             |                                                                                                                     |           |                                                                                                                     |           |                                                                                                                     |           |                                                                                                                     |           |                                                                                                                   |           |                                                                                                               |           |                                                                                                                   |           |                   |  |             |  |                                                                                                                                                                                                                                                                                                                                                                                                                                                                                                                                                                                                                                                                                                                                                                                                                                                                                                                                                                                                                                                                                                                                                                                                                                                                                                                                                                                                                                                                                                                                                                                                                            |                                |  |                                        |  |                                                                                                   |             |                                                                                                                     |           |                                                                                                                     |           |                                                                                                                     |           |                                                                                                                     |           |                                                                                                                   |           |                                                                                                               |           |                                                                                                                   |           |                   |  |             |  |                                                                                                                                                                                                                                                                                                                                                                                                                                                                                                                                                                                                                                                                                                                                                                                                                                                                                                                                                                                                                                                                                                                                                                                                                                                                                                                                                                                                                                                                                                                                                                                                                            |                                |  |                                        |  |                                                                                                   |             |                                                                                                                     |           |                                                                                                                     |           |                                                                                                                     |           |                                                                                                                     |           |                                                                                                                   |           |                                                                                                               |           |                                                                                                                   |           |                   |  |             |  |                                                                                                                                                                                                                                                                                                                                                                                                                                                                                                                                                                                                                                                                                                                                                                                                                                                                                                                                                                                                                                                                                                                                                                                                                                                                                                                                                                                                                                                                                                                                                                                                                            |                                |  |                                        |  |                                                                                                   |             |                                                                                                                     |           |                                                                                                                     |           |                                                                                                                     |           |                                                                                                                     |           |                                                                                                                   |           |                                                                                                               |           |                                                                                                                   |           |                   |  |             |  |                                                                                                                                                                                                                                                                                                                                                                                                                                                                                                                                                                                                                                                                                                                                                                                                                                                                                                                                                                                                                                                                                                                                                                                                                                                                                                                                                                                                                                                                                                                                                                                                                            |                                |  |                                        |  |                                                                                                   |             |                                                                                                                     |           |                                                                                                                     |           |                                                                                                                     |           |                                                                                                                     |           |                                                                                                                   |           |                                                                                                               |           |                                                                                                                   |           |                   |  |             |  |                                                                                                                                                                                                                                                                                                                                                                                                                                                                                                                                                                   |                                |  |                                        |  |                                                                                                   |             |                                                                                                                     |           |                              |
|  ISOProtectionEn<br>0x2623   9763                                                                                                                                                                                                                                                                                                                                                                                                                                                                                                                                                                                                                                                                                                                                                                                                                                                                                                                                                                                                                                                                                                                                                                                                                                                                                                                                                        | Enable >                           |  |                                        |  |                                                                                                                     |           |                                                                                                                     |           |                                                                                                                     |           |                                                                                                                     |           |                                                                                                                   |          |                                                                                                                   |          |                                                                                                                         |           |                   |  |             |  |                                                                                                                                                                                                                                                                                                                                                                                                                                                                                                                                                                                                                                                                                                                                                                                                                                                                                                                                                                                                                                                                                                                                                                                                                                                                                                                                                                                                                                                                                                                                                                                                                               |                                |  |                                        |  |                                                                                                                     |           |                                                                                                                     |          |                                                                                                                     |           |                                                                                                                         |          |                                                                                                                   |           |                                                                                                                  |           |                                                                                                                            |           |                                                                                                                      |          |                   |  |                                                                                                                                                                                                                                                                                                                                                                                                                                                                                                                                                                                                                                                                                                                                                                                                                                                                                                                                                                                                                                                                                                                                                                                                                                                                                                                                                                                                                                                                                                                                                                                                                                                                       |                                |                                                                                                                                                                                                                                                                                                                                                                                                                                                                                                                                                                                                                                                                                                                                                                                                                                                                                                                                                                                                                                                                                                                                                                                                                                                                                                                                                                                                                                                                                                                                                                                                                                          |                                        |  |                                                                                                 |          |                                                                                                                    |                                    |                                                                                                                     |           |                                                                                                                       |           |                                                                                                                       |                                  |                                                                                                                        |           |                                                                                                                           |           |                                                                                                                    |           |                                                                                                                     |           |                   |  |                                                                                                                                                                                                                                                                                                                                                                                                                                                                                                                                                                                                                                                                                                                                                                                                                                                                                                                                                                                                                                                                                                                                                                                                                                                                                                                                                                                                                                                                                                                                                                                                                        |                                |                                                                                                                                                                                                                                                                                                                                                                                                                                                                                                                                                                                                                                                                                                                                                                                                                                                                                                                                                                                                                                                                                                                                                                                                                                                                                                                                                                                                                                                                                                                                                                                                                                                              |                                        |  |                                                                                                   |          |                                                                                                                     |           |                                                                                                                           |           |                                                                                                                     |           |                                                                                                                      |           |                                                                                                                       |           |                                                                                                                       |           |                                                                                                                     |           |                                                                                                                 |           |                   |  |             |  |                                                                                                                                                                                                                                                                                                                                                                                                                                                                                                                                                                                                                                                                                                                                                                                                                                                                                                                                                                                                                                                                                                                                                                                                                                                                                                                                                                                                                                                                                                                                                                                                                            |                                |  |                                        |  |                                                                                                   |             |                                                                                                                     |           |                                                                                                                     |           |                                                                                                                     |           |                                                                                                                     |           |                                                                                                                   |           |                                                                                                               |           |                                                                                                                   |           |                   |  |             |  |                                                                                                                                                                                                                                                                                                                                                                                                                                                                                                                                                                                                                                                                                                                                                                                                                                                                                                                                                                                                                                                                                                                                                                                                                                                                                                                                                                                                                                                                                                                                                                                                                            |                                |  |                                        |  |                                                                                                   |             |                                                                                                                     |           |                                                                                                                     |           |                                                                                                                     |           |                                                                                                                     |           |                                                                                                                   |           |                                                                                                               |           |                                                                                                                   |           |                   |  |             |  |                                                                                                                                                                                                                                                                                                                                                                                                                                                                                                                                                                                                                                                                                                                                                                                                                                                                                                                                                                                                                                                                                                                                                                                                                                                                                                                                                                                                                                                                                                                                                                                                                            |                                |  |                                        |  |                                                                                                   |             |                                                                                                                     |           |                                                                                                                     |           |                                                                                                                     |           |                                                                                                                     |           |                                                                                                                   |           |                                                                                                               |           |                                                                                                                   |           |                   |  |             |  |                                                                                                                                                                                                                                                                                                                                                                                                                                                                                                                                                                                                                                                                                                                                                                                                                                                                                                                                                                                                                                                                                                                                                                                                                                                                                                                                                                                                                                                                                                                                                                                                                            |                                |  |                                        |  |                                                                                                   |             |                                                                                                                     |           |                                                                                                                     |           |                                                                                                                     |           |                                                                                                                     |           |                                                                                                                   |           |                                                                                                               |           |                                                                                                                   |           |                   |  |             |  |                                                                                                                                                                                                                                                                                                                                                                                                                                                                                                                                                                                                                                                                                                                                                                                                                                                                                                                                                                                                                                                                                                                                                                                                                                                                                                                                                                                                                                                                                                                                                                                                                            |                                |  |                                        |  |                                                                                                   |             |                                                                                                                     |           |                                                                                                                     |           |                                                                                                                     |           |                                                                                                                     |           |                                                                                                                   |           |                                                                                                               |           |                                                                                                                   |           |                   |  |             |  |                                                                                                                                                                                                                                                                                                                                                                                                                                                                                                                                                                   |                                |  |                                        |  |                                                                                                   |             |                                                                                                                     |           |                              |
| ResProtectCapCurr                                                                                                                                                                                                                                                                                                                                                                                                                                                                                                                                                                                                                                                                                                                                                                                                                                                                                                                                                                                                                                                                                                                                                                                                                                                                                                                                                                                                                                                           |                                    |  |                                        |  |                                                                                                                     |           |                                                                                                                     |           |                                                                                                                     |           |                                                                                                                     |           |                                                                                                                   |          |                                                                                                                   |          |                                                                                                                         |           |                   |  |             |  |                                                                                                                                                                                                                                                                                                                                                                                                                                                                                                                                                                                                                                                                                                                                                                                                                                                                                                                                                                                                                                                                                                                                                                                                                                                                                                                                                                                                                                                                                                                                                                                                                               |                                |  |                                        |  |                                                                                                                     |           |                                                                                                                     |          |                                                                                                                     |           |                                                                                                                         |          |                                                                                                                   |           |                                                                                                                  |           |                                                                                                                            |           |                                                                                                                      |          |                   |  |                                                                                                                                                                                                                                                                                                                                                                                                                                                                                                                                                                                                                                                                                                                                                                                                                                                                                                                                                                                                                                                                                                                                                                                                                                                                                                                                                                                                                                                                                                                                                                                                                                                                       |                                |                                                                                                                                                                                                                                                                                                                                                                                                                                                                                                                                                                                                                                                                                                                                                                                                                                                                                                                                                                                                                                                                                                                                                                                                                                                                                                                                                                                                                                                                                                                                                                                                                                          |                                        |  |                                                                                                 |          |                                                                                                                    |                                    |                                                                                                                     |           |                                                                                                                       |           |                                                                                                                       |                                  |                                                                                                                        |           |                                                                                                                           |           |                                                                                                                    |           |                                                                                                                     |           |                   |  |                                                                                                                                                                                                                                                                                                                                                                                                                                                                                                                                                                                                                                                                                                                                                                                                                                                                                                                                                                                                                                                                                                                                                                                                                                                                                                                                                                                                                                                                                                                                                                                                                        |                                |                                                                                                                                                                                                                                                                                                                                                                                                                                                                                                                                                                                                                                                                                                                                                                                                                                                                                                                                                                                                                                                                                                                                                                                                                                                                                                                                                                                                                                                                                                                                                                                                                                                              |                                        |  |                                                                                                   |          |                                                                                                                     |           |                                                                                                                           |           |                                                                                                                     |           |                                                                                                                      |           |                                                                                                                       |           |                                                                                                                       |           |                                                                                                                     |           |                                                                                                                 |           |                   |  |             |  |                                                                                                                                                                                                                                                                                                                                                                                                                                                                                                                                                                                                                                                                                                                                                                                                                                                                                                                                                                                                                                                                                                                                                                                                                                                                                                                                                                                                                                                                                                                                                                                                                            |                                |  |                                        |  |                                                                                                   |             |                                                                                                                     |           |                                                                                                                     |           |                                                                                                                     |           |                                                                                                                     |           |                                                                                                                   |           |                                                                                                               |           |                                                                                                                   |           |                   |  |             |  |                                                                                                                                                                                                                                                                                                                                                                                                                                                                                                                                                                                                                                                                                                                                                                                                                                                                                                                                                                                                                                                                                                                                                                                                                                                                                                                                                                                                                                                                                                                                                                                                                            |                                |  |                                        |  |                                                                                                   |             |                                                                                                                     |           |                                                                                                                     |           |                                                                                                                     |           |                                                                                                                     |           |                                                                                                                   |           |                                                                                                               |           |                                                                                                                   |           |                   |  |             |  |                                                                                                                                                                                                                                                                                                                                                                                                                                                                                                                                                                                                                                                                                                                                                                                                                                                                                                                                                                                                                                                                                                                                                                                                                                                                                                                                                                                                                                                                                                                                                                                                                            |                                |  |                                        |  |                                                                                                   |             |                                                                                                                     |           |                                                                                                                     |           |                                                                                                                     |           |                                                                                                                     |           |                                                                                                                   |           |                                                                                                               |           |                                                                                                                   |           |                   |  |             |  |                                                                                                                                                                                                                                                                                                                                                                                                                                                                                                                                                                                                                                                                                                                                                                                                                                                                                                                                                                                                                                                                                                                                                                                                                                                                                                                                                                                                                                                                                                                                                                                                                            |                                |  |                                        |  |                                                                                                   |             |                                                                                                                     |           |                                                                                                                     |           |                                                                                                                     |           |                                                                                                                     |           |                                                                                                                   |           |                                                                                                               |           |                                                                                                                   |           |                   |  |             |  |                                                                                                                                                                                                                                                                                                                                                                                                                                                                                                                                                                                                                                                                                                                                                                                                                                                                                                                                                                                                                                                                                                                                                                                                                                                                                                                                                                                                                                                                                                                                                                                                                            |                                |  |                                        |  |                                                                                                   |             |                                                                                                                     |           |                                                                                                                     |           |                                                                                                                     |           |                                                                                                                     |           |                                                                                                                   |           |                                                                                                               |           |                                                                                                                   |           |                   |  |             |  |                                                                                                                                                                                                                                                                                                                                                                                                                                                                                                                                                                   |                                |  |                                        |  |                                                                                                   |             |                                                                                                                     |           |                              |
| <b>Read</b>                                                                                                                                                                                                                                                                                                                                                                                                                                                                                                                                                                                                                                                                                                                                                                                                                                                                                                                                                                                                                                                                                                                                                                                                                                                                                                                                                                                                                                                                 |                                    |  |                                        |  |                                                                                                                     |           |                                                                                                                     |           |                                                                                                                     |           |                                                                                                                     |           |                                                                                                                   |          |                                                                                                                   |          |                                                                                                                         |           |                   |  |             |  |                                                                                                                                                                                                                                                                                                                                                                                                                                                                                                                                                                                                                                                                                                                                                                                                                                                                                                                                                                                                                                                                                                                                                                                                                                                                                                                                                                                                                                                                                                                                                                                                                               |                                |  |                                        |  |                                                                                                                     |           |                                                                                                                     |          |                                                                                                                     |           |                                                                                                                         |          |                                                                                                                   |           |                                                                                                                  |           |                                                                                                                            |           |                                                                                                                      |          |                   |  |                                                                                                                                                                                                                                                                                                                                                                                                                                                                                                                                                                                                                                                                                                                                                                                                                                                                                                                                                                                                                                                                                                                                                                                                                                                                                                                                                                                                                                                                                                                                                                                                                                                                       |                                |                                                                                                                                                                                                                                                                                                                                                                                                                                                                                                                                                                                                                                                                                                                                                                                                                                                                                                                                                                                                                                                                                                                                                                                                                                                                                                                                                                                                                                                                                                                                                                                                                                          |                                        |  |                                                                                                 |          |                                                                                                                    |                                    |                                                                                                                     |           |                                                                                                                       |           |                                                                                                                       |                                  |                                                                                                                        |           |                                                                                                                           |           |                                                                                                                    |           |                                                                                                                     |           |                   |  |                                                                                                                                                                                                                                                                                                                                                                                                                                                                                                                                                                                                                                                                                                                                                                                                                                                                                                                                                                                                                                                                                                                                                                                                                                                                                                                                                                                                                                                                                                                                                                                                                        |                                |                                                                                                                                                                                                                                                                                                                                                                                                                                                                                                                                                                                                                                                                                                                                                                                                                                                                                                                                                                                                                                                                                                                                                                                                                                                                                                                                                                                                                                                                                                                                                                                                                                                              |                                        |  |                                                                                                   |          |                                                                                                                     |           |                                                                                                                           |           |                                                                                                                     |           |                                                                                                                      |           |                                                                                                                       |           |                                                                                                                       |           |                                                                                                                     |           |                                                                                                                 |           |                   |  |             |  |                                                                                                                                                                                                                                                                                                                                                                                                                                                                                                                                                                                                                                                                                                                                                                                                                                                                                                                                                                                                                                                                                                                                                                                                                                                                                                                                                                                                                                                                                                                                                                                                                            |                                |  |                                        |  |                                                                                                   |             |                                                                                                                     |           |                                                                                                                     |           |                                                                                                                     |           |                                                                                                                     |           |                                                                                                                   |           |                                                                                                               |           |                                                                                                                   |           |                   |  |             |  |                                                                                                                                                                                                                                                                                                                                                                                                                                                                                                                                                                                                                                                                                                                                                                                                                                                                                                                                                                                                                                                                                                                                                                                                                                                                                                                                                                                                                                                                                                                                                                                                                            |                                |  |                                        |  |                                                                                                   |             |                                                                                                                     |           |                                                                                                                     |           |                                                                                                                     |           |                                                                                                                     |           |                                                                                                                   |           |                                                                                                               |           |                                                                                                                   |           |                   |  |             |  |                                                                                                                                                                                                                                                                                                                                                                                                                                                                                                                                                                                                                                                                                                                                                                                                                                                                                                                                                                                                                                                                                                                                                                                                                                                                                                                                                                                                                                                                                                                                                                                                                            |                                |  |                                        |  |                                                                                                   |             |                                                                                                                     |           |                                                                                                                     |           |                                                                                                                     |           |                                                                                                                     |           |                                                                                                                   |           |                                                                                                               |           |                                                                                                                   |           |                   |  |             |  |                                                                                                                                                                                                                                                                                                                                                                                                                                                                                                                                                                                                                                                                                                                                                                                                                                                                                                                                                                                                                                                                                                                                                                                                                                                                                                                                                                                                                                                                                                                                                                                                                            |                                |  |                                        |  |                                                                                                   |             |                                                                                                                     |           |                                                                                                                     |           |                                                                                                                     |           |                                                                                                                     |           |                                                                                                                   |           |                                                                                                               |           |                                                                                                                   |           |                   |  |             |  |                                                                                                                                                                                                                                                                                                                                                                                                                                                                                                                                                                                                                                                                                                                                                                                                                                                                                                                                                                                                                                                                                                                                                                                                                                                                                                                                                                                                                                                                                                                                                                                                                            |                                |  |                                        |  |                                                                                                   |             |                                                                                                                     |           |                                                                                                                     |           |                                                                                                                     |           |                                                                                                                     |           |                                                                                                                   |           |                                                                                                               |           |                                                                                                                   |           |                   |  |             |  |                                                                                                                                                                                                                                                                                                                                                                                                                                                                                                                                                                   |                                |  |                                        |  |                                                                                                   |             |                                                                                                                     |           |                              |
| Enable/disable control Para...                                                                                                                                                                                                                                                                                                                                                                                                                                                                                                                                                                                                                                                                                                                                                                                                                                                                                                                                                                                                                                                                                                                                                                                                                                                                                                                                                                                                                                              |                                    |  |                                        |  |                                                                                                                     |           |                                                                                                                     |           |                                                                                                                     |           |                                                                                                                     |           |                                                                                                                   |          |                                                                                                                   |          |                                                                                                                         |           |                   |  |             |  |                                                                                                                                                                                                                                                                                                                                                                                                                                                                                                                                                                                                                                                                                                                                                                                                                                                                                                                                                                                                                                                                                                                                                                                                                                                                                                                                                                                                                                                                                                                                                                                                                               |                                |  |                                        |  |                                                                                                                     |           |                                                                                                                     |          |                                                                                                                     |           |                                                                                                                         |          |                                                                                                                   |           |                                                                                                                  |           |                                                                                                                            |           |                                                                                                                      |          |                   |  |                                                                                                                                                                                                                                                                                                                                                                                                                                                                                                                                                                                                                                                                                                                                                                                                                                                                                                                                                                                                                                                                                                                                                                                                                                                                                                                                                                                                                                                                                                                                                                                                                                                                       |                                |                                                                                                                                                                                                                                                                                                                                                                                                                                                                                                                                                                                                                                                                                                                                                                                                                                                                                                                                                                                                                                                                                                                                                                                                                                                                                                                                                                                                                                                                                                                                                                                                                                          |                                        |  |                                                                                                 |          |                                                                                                                    |                                    |                                                                                                                     |           |                                                                                                                       |           |                                                                                                                       |                                  |                                                                                                                        |           |                                                                                                                           |           |                                                                                                                    |           |                                                                                                                     |           |                   |  |                                                                                                                                                                                                                                                                                                                                                                                                                                                                                                                                                                                                                                                                                                                                                                                                                                                                                                                                                                                                                                                                                                                                                                                                                                                                                                                                                                                                                                                                                                                                                                                                                        |                                |                                                                                                                                                                                                                                                                                                                                                                                                                                                                                                                                                                                                                                                                                                                                                                                                                                                                                                                                                                                                                                                                                                                                                                                                                                                                                                                                                                                                                                                                                                                                                                                                                                                              |                                        |  |                                                                                                   |          |                                                                                                                     |           |                                                                                                                           |           |                                                                                                                     |           |                                                                                                                      |           |                                                                                                                       |           |                                                                                                                       |           |                                                                                                                     |           |                                                                                                                 |           |                   |  |             |  |                                                                                                                                                                                                                                                                                                                                                                                                                                                                                                                                                                                                                                                                                                                                                                                                                                                                                                                                                                                                                                                                                                                                                                                                                                                                                                                                                                                                                                                                                                                                                                                                                            |                                |  |                                        |  |                                                                                                   |             |                                                                                                                     |           |                                                                                                                     |           |                                                                                                                     |           |                                                                                                                     |           |                                                                                                                   |           |                                                                                                               |           |                                                                                                                   |           |                   |  |             |  |                                                                                                                                                                                                                                                                                                                                                                                                                                                                                                                                                                                                                                                                                                                                                                                                                                                                                                                                                                                                                                                                                                                                                                                                                                                                                                                                                                                                                                                                                                                                                                                                                            |                                |  |                                        |  |                                                                                                   |             |                                                                                                                     |           |                                                                                                                     |           |                                                                                                                     |           |                                                                                                                     |           |                                                                                                                   |           |                                                                                                               |           |                                                                                                                   |           |                   |  |             |  |                                                                                                                                                                                                                                                                                                                                                                                                                                                                                                                                                                                                                                                                                                                                                                                                                                                                                                                                                                                                                                                                                                                                                                                                                                                                                                                                                                                                                                                                                                                                                                                                                            |                                |  |                                        |  |                                                                                                   |             |                                                                                                                     |           |                                                                                                                     |           |                                                                                                                     |           |                                                                                                                     |           |                                                                                                                   |           |                                                                                                               |           |                                                                                                                   |           |                   |  |             |  |                                                                                                                                                                                                                                                                                                                                                                                                                                                                                                                                                                                                                                                                                                                                                                                                                                                                                                                                                                                                                                                                                                                                                                                                                                                                                                                                                                                                                                                                                                                                                                                                                            |                                |  |                                        |  |                                                                                                   |             |                                                                                                                     |           |                                                                                                                     |           |                                                                                                                     |           |                                                                                                                     |           |                                                                                                                   |           |                                                                                                               |           |                                                                                                                   |           |                   |  |             |  |                                                                                                                                                                                                                                                                                                                                                                                                                                                                                                                                                                                                                                                                                                                                                                                                                                                                                                                                                                                                                                                                                                                                                                                                                                                                                                                                                                                                                                                                                                                                                                                                                            |                                |  |                                        |  |                                                                                                   |             |                                                                                                                     |           |                                                                                                                     |           |                                                                                                                     |           |                                                                                                                     |           |                                                                                                                   |           |                                                                                                               |           |                                                                                                                   |           |                   |  |             |  |                                                                                                                                                                                                                                                                                                                                                                                                                                                                                                                                                                   |                                |  |                                        |  |                                                                                                   |             |                                                                                                                     |           |                              |
| Last Updated: 2/24/2025 15:55:34 +0800                                                                                                                                                                                                                                                                                                                                                                                                                                                                                                                                                                                                                                                                                                                                                                                                                                                                                                                                                                                                                                                                                                                                                                                                                                                                                                                                                                                                                                      |                                    |  |                                        |  |                                                                                                                     |           |                                                                                                                     |           |                                                                                                                     |           |                                                                                                                     |           |                                                                                                                   |          |                                                                                                                   |          |                                                                                                                         |           |                   |  |             |  |                                                                                                                                                                                                                                                                                                                                                                                                                                                                                                                                                                                                                                                                                                                                                                                                                                                                                                                                                                                                                                                                                                                                                                                                                                                                                                                                                                                                                                                                                                                                                                                                                               |                                |  |                                        |  |                                                                                                                     |           |                                                                                                                     |          |                                                                                                                     |           |                                                                                                                         |          |                                                                                                                   |           |                                                                                                                  |           |                                                                                                                            |           |                                                                                                                      |          |                   |  |                                                                                                                                                                                                                                                                                                                                                                                                                                                                                                                                                                                                                                                                                                                                                                                                                                                                                                                                                                                                                                                                                                                                                                                                                                                                                                                                                                                                                                                                                                                                                                                                                                                                       |                                |                                                                                                                                                                                                                                                                                                                                                                                                                                                                                                                                                                                                                                                                                                                                                                                                                                                                                                                                                                                                                                                                                                                                                                                                                                                                                                                                                                                                                                                                                                                                                                                                                                          |                                        |  |                                                                                                 |          |                                                                                                                    |                                    |                                                                                                                     |           |                                                                                                                       |           |                                                                                                                       |                                  |                                                                                                                        |           |                                                                                                                           |           |                                                                                                                    |           |                                                                                                                     |           |                   |  |                                                                                                                                                                                                                                                                                                                                                                                                                                                                                                                                                                                                                                                                                                                                                                                                                                                                                                                                                                                                                                                                                                                                                                                                                                                                                                                                                                                                                                                                                                                                                                                                                        |                                |                                                                                                                                                                                                                                                                                                                                                                                                                                                                                                                                                                                                                                                                                                                                                                                                                                                                                                                                                                                                                                                                                                                                                                                                                                                                                                                                                                                                                                                                                                                                                                                                                                                              |                                        |  |                                                                                                   |          |                                                                                                                     |           |                                                                                                                           |           |                                                                                                                     |           |                                                                                                                      |           |                                                                                                                       |           |                                                                                                                       |           |                                                                                                                     |           |                                                                                                                 |           |                   |  |             |  |                                                                                                                                                                                                                                                                                                                                                                                                                                                                                                                                                                                                                                                                                                                                                                                                                                                                                                                                                                                                                                                                                                                                                                                                                                                                                                                                                                                                                                                                                                                                                                                                                            |                                |  |                                        |  |                                                                                                   |             |                                                                                                                     |           |                                                                                                                     |           |                                                                                                                     |           |                                                                                                                     |           |                                                                                                                   |           |                                                                                                               |           |                                                                                                                   |           |                   |  |             |  |                                                                                                                                                                                                                                                                                                                                                                                                                                                                                                                                                                                                                                                                                                                                                                                                                                                                                                                                                                                                                                                                                                                                                                                                                                                                                                                                                                                                                                                                                                                                                                                                                            |                                |  |                                        |  |                                                                                                   |             |                                                                                                                     |           |                                                                                                                     |           |                                                                                                                     |           |                                                                                                                     |           |                                                                                                                   |           |                                                                                                               |           |                                                                                                                   |           |                   |  |             |  |                                                                                                                                                                                                                                                                                                                                                                                                                                                                                                                                                                                                                                                                                                                                                                                                                                                                                                                                                                                                                                                                                                                                                                                                                                                                                                                                                                                                                                                                                                                                                                                                                            |                                |  |                                        |  |                                                                                                   |             |                                                                                                                     |           |                                                                                                                     |           |                                                                                                                     |           |                                                                                                                     |           |                                                                                                                   |           |                                                                                                               |           |                                                                                                                   |           |                   |  |             |  |                                                                                                                                                                                                                                                                                                                                                                                                                                                                                                                                                                                                                                                                                                                                                                                                                                                                                                                                                                                                                                                                                                                                                                                                                                                                                                                                                                                                                                                                                                                                                                                                                            |                                |  |                                        |  |                                                                                                   |             |                                                                                                                     |           |                                                                                                                     |           |                                                                                                                     |           |                                                                                                                     |           |                                                                                                                   |           |                                                                                                               |           |                                                                                                                   |           |                   |  |             |  |                                                                                                                                                                                                                                                                                                                                                                                                                                                                                                                                                                                                                                                                                                                                                                                                                                                                                                                                                                                                                                                                                                                                                                                                                                                                                                                                                                                                                                                                                                                                                                                                                            |                                |  |                                        |  |                                                                                                   |             |                                                                                                                     |           |                                                                                                                     |           |                                                                                                                     |           |                                                                                                                     |           |                                                                                                                   |           |                                                                                                               |           |                                                                                                                   |           |                   |  |             |  |                                                                                                                                                                                                                                                                                                                                                                                                                                                                                                                                                                   |                                |  |                                        |  |                                                                                                   |             |                                                                                                                     |           |                              |
|  0x2624   9764                                                                                                                                                                                                                                                                                                                                                                                                                                                                                                                                                                                                                                                                                                                                                                                                                                                                                                                                                                                                                                                                                                                                                                                                                                                                                                                                                                             | Enable >                           |  |                                        |  |                                                                                                                     |           |                                                                                                                     |           |                                                                                                                     |           |                                                                                                                     |           |                                                                                                                   |          |                                                                                                                   |          |                                                                                                                         |           |                   |  |             |  |                                                                                                                                                                                                                                                                                                                                                                                                                                                                                                                                                                                                                                                                                                                                                                                                                                                                                                                                                                                                                                                                                                                                                                                                                                                                                                                                                                                                                                                                                                                                                                                                                               |                                |  |                                        |  |                                                                                                                     |           |                                                                                                                     |          |                                                                                                                     |           |                                                                                                                         |          |                                                                                                                   |           |                                                                                                                  |           |                                                                                                                            |           |                                                                                                                      |          |                   |  |                                                                                                                                                                                                                                                                                                                                                                                                                                                                                                                                                                                                                                                                                                                                                                                                                                                                                                                                                                                                                                                                                                                                                                                                                                                                                                                                                                                                                                                                                                                                                                                                                                                                       |                                |                                                                                                                                                                                                                                                                                                                                                                                                                                                                                                                                                                                                                                                                                                                                                                                                                                                                                                                                                                                                                                                                                                                                                                                                                                                                                                                                                                                                                                                                                                                                                                                                                                          |                                        |  |                                                                                                 |          |                                                                                                                    |                                    |                                                                                                                     |           |                                                                                                                       |           |                                                                                                                       |                                  |                                                                                                                        |           |                                                                                                                           |           |                                                                                                                    |           |                                                                                                                     |           |                   |  |                                                                                                                                                                                                                                                                                                                                                                                                                                                                                                                                                                                                                                                                                                                                                                                                                                                                                                                                                                                                                                                                                                                                                                                                                                                                                                                                                                                                                                                                                                                                                                                                                        |                                |                                                                                                                                                                                                                                                                                                                                                                                                                                                                                                                                                                                                                                                                                                                                                                                                                                                                                                                                                                                                                                                                                                                                                                                                                                                                                                                                                                                                                                                                                                                                                                                                                                                              |                                        |  |                                                                                                   |          |                                                                                                                     |           |                                                                                                                           |           |                                                                                                                     |           |                                                                                                                      |           |                                                                                                                       |           |                                                                                                                       |           |                                                                                                                     |           |                                                                                                                 |           |                   |  |             |  |                                                                                                                                                                                                                                                                                                                                                                                                                                                                                                                                                                                                                                                                                                                                                                                                                                                                                                                                                                                                                                                                                                                                                                                                                                                                                                                                                                                                                                                                                                                                                                                                                            |                                |  |                                        |  |                                                                                                   |             |                                                                                                                     |           |                                                                                                                     |           |                                                                                                                     |           |                                                                                                                     |           |                                                                                                                   |           |                                                                                                               |           |                                                                                                                   |           |                   |  |             |  |                                                                                                                                                                                                                                                                                                                                                                                                                                                                                                                                                                                                                                                                                                                                                                                                                                                                                                                                                                                                                                                                                                                                                                                                                                                                                                                                                                                                                                                                                                                                                                                                                            |                                |  |                                        |  |                                                                                                   |             |                                                                                                                     |           |                                                                                                                     |           |                                                                                                                     |           |                                                                                                                     |           |                                                                                                                   |           |                                                                                                               |           |                                                                                                                   |           |                   |  |             |  |                                                                                                                                                                                                                                                                                                                                                                                                                                                                                                                                                                                                                                                                                                                                                                                                                                                                                                                                                                                                                                                                                                                                                                                                                                                                                                                                                                                                                                                                                                                                                                                                                            |                                |  |                                        |  |                                                                                                   |             |                                                                                                                     |           |                                                                                                                     |           |                                                                                                                     |           |                                                                                                                     |           |                                                                                                                   |           |                                                                                                               |           |                                                                                                                   |           |                   |  |             |  |                                                                                                                                                                                                                                                                                                                                                                                                                                                                                                                                                                                                                                                                                                                                                                                                                                                                                                                                                                                                                                                                                                                                                                                                                                                                                                                                                                                                                                                                                                                                                                                                                            |                                |  |                                        |  |                                                                                                   |             |                                                                                                                     |           |                                                                                                                     |           |                                                                                                                     |           |                                                                                                                     |           |                                                                                                                   |           |                                                                                                               |           |                                                                                                                   |           |                   |  |             |  |                                                                                                                                                                                                                                                                                                                                                                                                                                                                                                                                                                                                                                                                                                                                                                                                                                                                                                                                                                                                                                                                                                                                                                                                                                                                                                                                                                                                                                                                                                                                                                                                                            |                                |  |                                        |  |                                                                                                   |             |                                                                                                                     |           |                                                                                                                     |           |                                                                                                                     |           |                                                                                                                     |           |                                                                                                                   |           |                                                                                                               |           |                                                                                                                   |           |                   |  |             |  |                                                                                                                                                                                                                                                                                                                                                                                                                                                                                                                                                                   |                                |  |                                        |  |                                                                                                   |             |                                                                                                                     |           |                              |
|  ACSPDDetectEnSet<br>0x2625   9765                                                                                                                                                                                                                                                                                                                                                                                                                                                                                                                                                                                                                                                                                                                                                                                                                                                                                                                                                                                                                                                                                                                                                                                                                                                                                                                                                         | Disable >                          |  |                                        |  |                                                                                                                     |           |                                                                                                                     |           |                                                                                                                     |           |                                                                                                                     |           |                                                                                                                   |          |                                                                                                                   |          |                                                                                                                         |           |                   |  |             |  |                                                                                                                                                                                                                                                                                                                                                                                                                                                                                                                                                                                                                                                                                                                                                                                                                                                                                                                                                                                                                                                                                                                                                                                                                                                                                                                                                                                                                                                                                                                                                                                                                               |                                |  |                                        |  |                                                                                                                     |           |                                                                                                                     |          |                                                                                                                     |           |                                                                                                                         |          |                                                                                                                   |           |                                                                                                                  |           |                                                                                                                            |           |                                                                                                                      |          |                   |  |                                                                                                                                                                                                                                                                                                                                                                                                                                                                                                                                                                                                                                                                                                                                                                                                                                                                                                                                                                                                                                                                                                                                                                                                                                                                                                                                                                                                                                                                                                                                                                                                                                                                       |                                |                                                                                                                                                                                                                                                                                                                                                                                                                                                                                                                                                                                                                                                                                                                                                                                                                                                                                                                                                                                                                                                                                                                                                                                                                                                                                                                                                                                                                                                                                                                                                                                                                                          |                                        |  |                                                                                                 |          |                                                                                                                    |                                    |                                                                                                                     |           |                                                                                                                       |           |                                                                                                                       |                                  |                                                                                                                        |           |                                                                                                                           |           |                                                                                                                    |           |                                                                                                                     |           |                   |  |                                                                                                                                                                                                                                                                                                                                                                                                                                                                                                                                                                                                                                                                                                                                                                                                                                                                                                                                                                                                                                                                                                                                                                                                                                                                                                                                                                                                                                                                                                                                                                                                                        |                                |                                                                                                                                                                                                                                                                                                                                                                                                                                                                                                                                                                                                                                                                                                                                                                                                                                                                                                                                                                                                                                                                                                                                                                                                                                                                                                                                                                                                                                                                                                                                                                                                                                                              |                                        |  |                                                                                                   |          |                                                                                                                     |           |                                                                                                                           |           |                                                                                                                     |           |                                                                                                                      |           |                                                                                                                       |           |                                                                                                                       |           |                                                                                                                     |           |                                                                                                                 |           |                   |  |             |  |                                                                                                                                                                                                                                                                                                                                                                                                                                                                                                                                                                                                                                                                                                                                                                                                                                                                                                                                                                                                                                                                                                                                                                                                                                                                                                                                                                                                                                                                                                                                                                                                                            |                                |  |                                        |  |                                                                                                   |             |                                                                                                                     |           |                                                                                                                     |           |                                                                                                                     |           |                                                                                                                     |           |                                                                                                                   |           |                                                                                                               |           |                                                                                                                   |           |                   |  |             |  |                                                                                                                                                                                                                                                                                                                                                                                                                                                                                                                                                                                                                                                                                                                                                                                                                                                                                                                                                                                                                                                                                                                                                                                                                                                                                                                                                                                                                                                                                                                                                                                                                            |                                |  |                                        |  |                                                                                                   |             |                                                                                                                     |           |                                                                                                                     |           |                                                                                                                     |           |                                                                                                                     |           |                                                                                                                   |           |                                                                                                               |           |                                                                                                                   |           |                   |  |             |  |                                                                                                                                                                                                                                                                                                                                                                                                                                                                                                                                                                                                                                                                                                                                                                                                                                                                                                                                                                                                                                                                                                                                                                                                                                                                                                                                                                                                                                                                                                                                                                                                                            |                                |  |                                        |  |                                                                                                   |             |                                                                                                                     |           |                                                                                                                     |           |                                                                                                                     |           |                                                                                                                     |           |                                                                                                                   |           |                                                                                                               |           |                                                                                                                   |           |                   |  |             |  |                                                                                                                                                                                                                                                                                                                                                                                                                                                                                                                                                                                                                                                                                                                                                                                                                                                                                                                                                                                                                                                                                                                                                                                                                                                                                                                                                                                                                                                                                                                                                                                                                            |                                |  |                                        |  |                                                                                                   |             |                                                                                                                     |           |                                                                                                                     |           |                                                                                                                     |           |                                                                                                                     |           |                                                                                                                   |           |                                                                                                               |           |                                                                                                                   |           |                   |  |             |  |                                                                                                                                                                                                                                                                                                                                                                                                                                                                                                                                                                                                                                                                                                                                                                                                                                                                                                                                                                                                                                                                                                                                                                                                                                                                                                                                                                                                                                                                                                                                                                                                                            |                                |  |                                        |  |                                                                                                   |             |                                                                                                                     |           |                                                                                                                     |           |                                                                                                                     |           |                                                                                                                     |           |                                                                                                                   |           |                                                                                                               |           |                                                                                                                   |           |                   |  |             |  |                                                                                                                                                                                                                                                                                                                                                                                                                                                                                                                                                                   |                                |  |                                        |  |                                                                                                   |             |                                                                                                                     |           |                              |
|  OperationOverVolEn<br>0x2626   9766                                                                                                                                                                                                                                                                                                                                                                                                                                                                                                                                                                                                                                                                                                                                                                                                                                                                                                                                                                                                                                                                                                                                                                                                                                                                                                                                                       | Disable >                          |  |                                        |  |                                                                                                                     |           |                                                                                                                     |           |                                                                                                                     |           |                                                                                                                     |           |                                                                                                                   |          |                                                                                                                   |          |                                                                                                                         |           |                   |  |             |  |                                                                                                                                                                                                                                                                                                                                                                                                                                                                                                                                                                                                                                                                                                                                                                                                                                                                                                                                                                                                                                                                                                                                                                                                                                                                                                                                                                                                                                                                                                                                                                                                                               |                                |  |                                        |  |                                                                                                                     |           |                                                                                                                     |          |                                                                                                                     |           |                                                                                                                         |          |                                                                                                                   |           |                                                                                                                  |           |                                                                                                                            |           |                                                                                                                      |          |                   |  |                                                                                                                                                                                                                                                                                                                                                                                                                                                                                                                                                                                                                                                                                                                                                                                                                                                                                                                                                                                                                                                                                                                                                                                                                                                                                                                                                                                                                                                                                                                                                                                                                                                                       |                                |                                                                                                                                                                                                                                                                                                                                                                                                                                                                                                                                                                                                                                                                                                                                                                                                                                                                                                                                                                                                                                                                                                                                                                                                                                                                                                                                                                                                                                                                                                                                                                                                                                          |                                        |  |                                                                                                 |          |                                                                                                                    |                                    |                                                                                                                     |           |                                                                                                                       |           |                                                                                                                       |                                  |                                                                                                                        |           |                                                                                                                           |           |                                                                                                                    |           |                                                                                                                     |           |                   |  |                                                                                                                                                                                                                                                                                                                                                                                                                                                                                                                                                                                                                                                                                                                                                                                                                                                                                                                                                                                                                                                                                                                                                                                                                                                                                                                                                                                                                                                                                                                                                                                                                        |                                |                                                                                                                                                                                                                                                                                                                                                                                                                                                                                                                                                                                                                                                                                                                                                                                                                                                                                                                                                                                                                                                                                                                                                                                                                                                                                                                                                                                                                                                                                                                                                                                                                                                              |                                        |  |                                                                                                   |          |                                                                                                                     |           |                                                                                                                           |           |                                                                                                                     |           |                                                                                                                      |           |                                                                                                                       |           |                                                                                                                       |           |                                                                                                                     |           |                                                                                                                 |           |                   |  |             |  |                                                                                                                                                                                                                                                                                                                                                                                                                                                                                                                                                                                                                                                                                                                                                                                                                                                                                                                                                                                                                                                                                                                                                                                                                                                                                                                                                                                                                                                                                                                                                                                                                            |                                |  |                                        |  |                                                                                                   |             |                                                                                                                     |           |                                                                                                                     |           |                                                                                                                     |           |                                                                                                                     |           |                                                                                                                   |           |                                                                                                               |           |                                                                                                                   |           |                   |  |             |  |                                                                                                                                                                                                                                                                                                                                                                                                                                                                                                                                                                                                                                                                                                                                                                                                                                                                                                                                                                                                                                                                                                                                                                                                                                                                                                                                                                                                                                                                                                                                                                                                                            |                                |  |                                        |  |                                                                                                   |             |                                                                                                                     |           |                                                                                                                     |           |                                                                                                                     |           |                                                                                                                     |           |                                                                                                                   |           |                                                                                                               |           |                                                                                                                   |           |                   |  |             |  |                                                                                                                                                                                                                                                                                                                                                                                                                                                                                                                                                                                                                                                                                                                                                                                                                                                                                                                                                                                                                                                                                                                                                                                                                                                                                                                                                                                                                                                                                                                                                                                                                            |                                |  |                                        |  |                                                                                                   |             |                                                                                                                     |           |                                                                                                                     |           |                                                                                                                     |           |                                                                                                                     |           |                                                                                                                   |           |                                                                                                               |           |                                                                                                                   |           |                   |  |             |  |                                                                                                                                                                                                                                                                                                                                                                                                                                                                                                                                                                                                                                                                                                                                                                                                                                                                                                                                                                                                                                                                                                                                                                                                                                                                                                                                                                                                                                                                                                                                                                                                                            |                                |  |                                        |  |                                                                                                   |             |                                                                                                                     |           |                                                                                                                     |           |                                                                                                                     |           |                                                                                                                     |           |                                                                                                                   |           |                                                                                                               |           |                                                                                                                   |           |                   |  |             |  |                                                                                                                                                                                                                                                                                                                                                                                                                                                                                                                                                                                                                                                                                                                                                                                                                                                                                                                                                                                                                                                                                                                                                                                                                                                                                                                                                                                                                                                                                                                                                                                                                            |                                |  |                                        |  |                                                                                                   |             |                                                                                                                     |           |                                                                                                                     |           |                                                                                                                     |           |                                                                                                                     |           |                                                                                                                   |           |                                                                                                               |           |                                                                                                                   |           |                   |  |             |  |                                                                                                                                                                                                                                                                                                                                                                                                                                                                                                                                                                   |                                |  |                                        |  |                                                                                                   |             |                                                                                                                     |           |                              |
|  ActivePowerOver<br>0x2627   9767                                                                                                                                                                                                                                                                                                                                                                                                                                                                                                                                                                                                                                                                                                                                                                                                                                                                                                                                                                                                                                                                                                                                                                                                                                                                                                                                                         | Enable >                           |  |                                        |  |                                                                                                                     |           |                                                                                                                     |           |                                                                                                                     |           |                                                                                                                     |           |                                                                                                                   |          |                                                                                                                   |          |                                                                                                                         |           |                   |  |             |  |                                                                                                                                                                                                                                                                                                                                                                                                                                                                                                                                                                                                                                                                                                                                                                                                                                                                                                                                                                                                                                                                                                                                                                                                                                                                                                                                                                                                                                                                                                                                                                                                                               |                                |  |                                        |  |                                                                                                                     |           |                                                                                                                     |          |                                                                                                                     |           |                                                                                                                         |          |                                                                                                                   |           |                                                                                                                  |           |                                                                                                                            |           |                                                                                                                      |          |                   |  |                                                                                                                                                                                                                                                                                                                                                                                                                                                                                                                                                                                                                                                                                                                                                                                                                                                                                                                                                                                                                                                                                                                                                                                                                                                                                                                                                                                                                                                                                                                                                                                                                                                                       |                                |                                                                                                                                                                                                                                                                                                                                                                                                                                                                                                                                                                                                                                                                                                                                                                                                                                                                                                                                                                                                                                                                                                                                                                                                                                                                                                                                                                                                                                                                                                                                                                                                                                          |                                        |  |                                                                                                 |          |                                                                                                                    |                                    |                                                                                                                     |           |                                                                                                                       |           |                                                                                                                       |                                  |                                                                                                                        |           |                                                                                                                           |           |                                                                                                                    |           |                                                                                                                     |           |                   |  |                                                                                                                                                                                                                                                                                                                                                                                                                                                                                                                                                                                                                                                                                                                                                                                                                                                                                                                                                                                                                                                                                                                                                                                                                                                                                                                                                                                                                                                                                                                                                                                                                        |                                |                                                                                                                                                                                                                                                                                                                                                                                                                                                                                                                                                                                                                                                                                                                                                                                                                                                                                                                                                                                                                                                                                                                                                                                                                                                                                                                                                                                                                                                                                                                                                                                                                                                              |                                        |  |                                                                                                   |          |                                                                                                                     |           |                                                                                                                           |           |                                                                                                                     |           |                                                                                                                      |           |                                                                                                                       |           |                                                                                                                       |           |                                                                                                                     |           |                                                                                                                 |           |                   |  |             |  |                                                                                                                                                                                                                                                                                                                                                                                                                                                                                                                                                                                                                                                                                                                                                                                                                                                                                                                                                                                                                                                                                                                                                                                                                                                                                                                                                                                                                                                                                                                                                                                                                            |                                |  |                                        |  |                                                                                                   |             |                                                                                                                     |           |                                                                                                                     |           |                                                                                                                     |           |                                                                                                                     |           |                                                                                                                   |           |                                                                                                               |           |                                                                                                                   |           |                   |  |             |  |                                                                                                                                                                                                                                                                                                                                                                                                                                                                                                                                                                                                                                                                                                                                                                                                                                                                                                                                                                                                                                                                                                                                                                                                                                                                                                                                                                                                                                                                                                                                                                                                                            |                                |  |                                        |  |                                                                                                   |             |                                                                                                                     |           |                                                                                                                     |           |                                                                                                                     |           |                                                                                                                     |           |                                                                                                                   |           |                                                                                                               |           |                                                                                                                   |           |                   |  |             |  |                                                                                                                                                                                                                                                                                                                                                                                                                                                                                                                                                                                                                                                                                                                                                                                                                                                                                                                                                                                                                                                                                                                                                                                                                                                                                                                                                                                                                                                                                                                                                                                                                            |                                |  |                                        |  |                                                                                                   |             |                                                                                                                     |           |                                                                                                                     |           |                                                                                                                     |           |                                                                                                                     |           |                                                                                                                   |           |                                                                                                               |           |                                                                                                                   |           |                   |  |             |  |                                                                                                                                                                                                                                                                                                                                                                                                                                                                                                                                                                                                                                                                                                                                                                                                                                                                                                                                                                                                                                                                                                                                                                                                                                                                                                                                                                                                                                                                                                                                                                                                                            |                                |  |                                        |  |                                                                                                   |             |                                                                                                                     |           |                                                                                                                     |           |                                                                                                                     |           |                                                                                                                     |           |                                                                                                                   |           |                                                                                                               |           |                                                                                                                   |           |                   |  |             |  |                                                                                                                                                                                                                                                                                                                                                                                                                                                                                                                                                                                                                                                                                                                                                                                                                                                                                                                                                                                                                                                                                                                                                                                                                                                                                                                                                                                                                                                                                                                                                                                                                            |                                |  |                                        |  |                                                                                                   |             |                                                                                                                     |           |                                                                                                                     |           |                                                                                                                     |           |                                                                                                                     |           |                                                                                                                   |           |                                                                                                               |           |                                                                                                                   |           |                   |  |             |  |                                                                                                                                                                                                                                                                                                                                                                                                                                                                                                                                                                   |                                |  |                                        |  |                                                                                                   |             |                                                                                                                     |           |                              |
|  ReactivePowerOver<br>0x2628   9768                                                                                                                                                                                                                                                                                                                                                                                                                                                                                                                                                                                                                                                                                                                                                                                                                                                                                                                                                                                                                                                                                                                                                                                                                                                                                                                                                      | Disable >                          |  |                                        |  |                                                                                                                     |           |                                                                                                                     |           |                                                                                                                     |           |                                                                                                                     |           |                                                                                                                   |          |                                                                                                                   |          |                                                                                                                         |           |                   |  |             |  |                                                                                                                                                                                                                                                                                                                                                                                                                                                                                                                                                                                                                                                                                                                                                                                                                                                                                                                                                                                                                                                                                                                                                                                                                                                                                                                                                                                                                                                                                                                                                                                                                               |                                |  |                                        |  |                                                                                                                     |           |                                                                                                                     |          |                                                                                                                     |           |                                                                                                                         |          |                                                                                                                   |           |                                                                                                                  |           |                                                                                                                            |           |                                                                                                                      |          |                   |  |                                                                                                                                                                                                                                                                                                                                                                                                                                                                                                                                                                                                                                                                                                                                                                                                                                                                                                                                                                                                                                                                                                                                                                                                                                                                                                                                                                                                                                                                                                                                                                                                                                                                       |                                |                                                                                                                                                                                                                                                                                                                                                                                                                                                                                                                                                                                                                                                                                                                                                                                                                                                                                                                                                                                                                                                                                                                                                                                                                                                                                                                                                                                                                                                                                                                                                                                                                                          |                                        |  |                                                                                                 |          |                                                                                                                    |                                    |                                                                                                                     |           |                                                                                                                       |           |                                                                                                                       |                                  |                                                                                                                        |           |                                                                                                                           |           |                                                                                                                    |           |                                                                                                                     |           |                   |  |                                                                                                                                                                                                                                                                                                                                                                                                                                                                                                                                                                                                                                                                                                                                                                                                                                                                                                                                                                                                                                                                                                                                                                                                                                                                                                                                                                                                                                                                                                                                                                                                                        |                                |                                                                                                                                                                                                                                                                                                                                                                                                                                                                                                                                                                                                                                                                                                                                                                                                                                                                                                                                                                                                                                                                                                                                                                                                                                                                                                                                                                                                                                                                                                                                                                                                                                                              |                                        |  |                                                                                                   |          |                                                                                                                     |           |                                                                                                                           |           |                                                                                                                     |           |                                                                                                                      |           |                                                                                                                       |           |                                                                                                                       |           |                                                                                                                     |           |                                                                                                                 |           |                   |  |             |  |                                                                                                                                                                                                                                                                                                                                                                                                                                                                                                                                                                                                                                                                                                                                                                                                                                                                                                                                                                                                                                                                                                                                                                                                                                                                                                                                                                                                                                                                                                                                                                                                                            |                                |  |                                        |  |                                                                                                   |             |                                                                                                                     |           |                                                                                                                     |           |                                                                                                                     |           |                                                                                                                     |           |                                                                                                                   |           |                                                                                                               |           |                                                                                                                   |           |                   |  |             |  |                                                                                                                                                                                                                                                                                                                                                                                                                                                                                                                                                                                                                                                                                                                                                                                                                                                                                                                                                                                                                                                                                                                                                                                                                                                                                                                                                                                                                                                                                                                                                                                                                            |                                |  |                                        |  |                                                                                                   |             |                                                                                                                     |           |                                                                                                                     |           |                                                                                                                     |           |                                                                                                                     |           |                                                                                                                   |           |                                                                                                               |           |                                                                                                                   |           |                   |  |             |  |                                                                                                                                                                                                                                                                                                                                                                                                                                                                                                                                                                                                                                                                                                                                                                                                                                                                                                                                                                                                                                                                                                                                                                                                                                                                                                                                                                                                                                                                                                                                                                                                                            |                                |  |                                        |  |                                                                                                   |             |                                                                                                                     |           |                                                                                                                     |           |                                                                                                                     |           |                                                                                                                     |           |                                                                                                                   |           |                                                                                                               |           |                                                                                                                   |           |                   |  |             |  |                                                                                                                                                                                                                                                                                                                                                                                                                                                                                                                                                                                                                                                                                                                                                                                                                                                                                                                                                                                                                                                                                                                                                                                                                                                                                                                                                                                                                                                                                                                                                                                                                            |                                |  |                                        |  |                                                                                                   |             |                                                                                                                     |           |                                                                                                                     |           |                                                                                                                     |           |                                                                                                                     |           |                                                                                                                   |           |                                                                                                               |           |                                                                                                                   |           |                   |  |             |  |                                                                                                                                                                                                                                                                                                                                                                                                                                                                                                                                                                                                                                                                                                                                                                                                                                                                                                                                                                                                                                                                                                                                                                                                                                                                                                                                                                                                                                                                                                                                                                                                                            |                                |  |                                        |  |                                                                                                   |             |                                                                                                                     |           |                                                                                                                     |           |                                                                                                                     |           |                                                                                                                     |           |                                                                                                                   |           |                                                                                                               |           |                                                                                                                   |           |                   |  |             |  |                                                                                                                                                                                                                                                                                                                                                                                                                                                                                                                                                                   |                                |  |                                        |  |                                                                                                   |             |                                                                                                                     |           |                              |
|  PhaseLoseCoeffEnable<br>0x2629   9769                                                                                                                                                                                                                                                                                                                                                                                                                                                                                                                                                                                                                                                                                                                                                                                                                                                                                                                                                                                                                                                                                                                                                                                                                                                                                                                                                   | Disable >                          |  |                                        |  |                                                                                                                     |           |                                                                                                                     |           |                                                                                                                     |           |                                                                                                                     |           |                                                                                                                   |          |                                                                                                                   |          |                                                                                                                         |           |                   |  |             |  |                                                                                                                                                                                                                                                                                                                                                                                                                                                                                                                                                                                                                                                                                                                                                                                                                                                                                                                                                                                                                                                                                                                                                                                                                                                                                                                                                                                                                                                                                                                                                                                                                               |                                |  |                                        |  |                                                                                                                     |           |                                                                                                                     |          |                                                                                                                     |           |                                                                                                                         |          |                                                                                                                   |           |                                                                                                                  |           |                                                                                                                            |           |                                                                                                                      |          |                   |  |                                                                                                                                                                                                                                                                                                                                                                                                                                                                                                                                                                                                                                                                                                                                                                                                                                                                                                                                                                                                                                                                                                                                                                                                                                                                                                                                                                                                                                                                                                                                                                                                                                                                       |                                |                                                                                                                                                                                                                                                                                                                                                                                                                                                                                                                                                                                                                                                                                                                                                                                                                                                                                                                                                                                                                                                                                                                                                                                                                                                                                                                                                                                                                                                                                                                                                                                                                                          |                                        |  |                                                                                                 |          |                                                                                                                    |                                    |                                                                                                                     |           |                                                                                                                       |           |                                                                                                                       |                                  |                                                                                                                        |           |                                                                                                                           |           |                                                                                                                    |           |                                                                                                                     |           |                   |  |                                                                                                                                                                                                                                                                                                                                                                                                                                                                                                                                                                                                                                                                                                                                                                                                                                                                                                                                                                                                                                                                                                                                                                                                                                                                                                                                                                                                                                                                                                                                                                                                                        |                                |                                                                                                                                                                                                                                                                                                                                                                                                                                                                                                                                                                                                                                                                                                                                                                                                                                                                                                                                                                                                                                                                                                                                                                                                                                                                                                                                                                                                                                                                                                                                                                                                                                                              |                                        |  |                                                                                                   |          |                                                                                                                     |           |                                                                                                                           |           |                                                                                                                     |           |                                                                                                                      |           |                                                                                                                       |           |                                                                                                                       |           |                                                                                                                     |           |                                                                                                                 |           |                   |  |             |  |                                                                                                                                                                                                                                                                                                                                                                                                                                                                                                                                                                                                                                                                                                                                                                                                                                                                                                                                                                                                                                                                                                                                                                                                                                                                                                                                                                                                                                                                                                                                                                                                                            |                                |  |                                        |  |                                                                                                   |             |                                                                                                                     |           |                                                                                                                     |           |                                                                                                                     |           |                                                                                                                     |           |                                                                                                                   |           |                                                                                                               |           |                                                                                                                   |           |                   |  |             |  |                                                                                                                                                                                                                                                                                                                                                                                                                                                                                                                                                                                                                                                                                                                                                                                                                                                                                                                                                                                                                                                                                                                                                                                                                                                                                                                                                                                                                                                                                                                                                                                                                            |                                |  |                                        |  |                                                                                                   |             |                                                                                                                     |           |                                                                                                                     |           |                                                                                                                     |           |                                                                                                                     |           |                                                                                                                   |           |                                                                                                               |           |                                                                                                                   |           |                   |  |             |  |                                                                                                                                                                                                                                                                                                                                                                                                                                                                                                                                                                                                                                                                                                                                                                                                                                                                                                                                                                                                                                                                                                                                                                                                                                                                                                                                                                                                                                                                                                                                                                                                                            |                                |  |                                        |  |                                                                                                   |             |                                                                                                                     |           |                                                                                                                     |           |                                                                                                                     |           |                                                                                                                     |           |                                                                                                                   |           |                                                                                                               |           |                                                                                                                   |           |                   |  |             |  |                                                                                                                                                                                                                                                                                                                                                                                                                                                                                                                                                                                                                                                                                                                                                                                                                                                                                                                                                                                                                                                                                                                                                                                                                                                                                                                                                                                                                                                                                                                                                                                                                            |                                |  |                                        |  |                                                                                                   |             |                                                                                                                     |           |                                                                                                                     |           |                                                                                                                     |           |                                                                                                                     |           |                                                                                                                   |           |                                                                                                               |           |                                                                                                                   |           |                   |  |             |  |                                                                                                                                                                                                                                                                                                                                                                                                                                                                                                                                                                                                                                                                                                                                                                                                                                                                                                                                                                                                                                                                                                                                                                                                                                                                                                                                                                                                                                                                                                                                                                                                                            |                                |  |                                        |  |                                                                                                   |             |                                                                                                                     |           |                                                                                                                     |           |                                                                                                                     |           |                                                                                                                     |           |                                                                                                                   |           |                                                                                                               |           |                                                                                                                   |           |                   |  |             |  |                                                                                                                                                                                                                                                                                                                                                                                                                                                                                                                                                                   |                                |  |                                        |  |                                                                                                   |             |                                                                                                                     |           |                              |
|  Phase-PEnable<br>0x262A   9770                                                                                                                                                                                                                                                                                                                                                                                                                                                                                                                                                                                                                                                                                                                                                                                                                                                                                                                                                                                                                                                                                                                                                                                                                                                                                                                                                          | Disable >                          |  |                                        |  |                                                                                                                     |           |                                                                                                                     |           |                                                                                                                     |           |                                                                                                                     |           |                                                                                                                   |          |                                                                                                                   |          |                                                                                                                         |           |                   |  |             |  |                                                                                                                                                                                                                                                                                                                                                                                                                                                                                                                                                                                                                                                                                                                                                                                                                                                                                                                                                                                                                                                                                                                                                                                                                                                                                                                                                                                                                                                                                                                                                                                                                               |                                |  |                                        |  |                                                                                                                     |           |                                                                                                                     |          |                                                                                                                     |           |                                                                                                                         |          |                                                                                                                   |           |                                                                                                                  |           |                                                                                                                            |           |                                                                                                                      |          |                   |  |                                                                                                                                                                                                                                                                                                                                                                                                                                                                                                                                                                                                                                                                                                                                                                                                                                                                                                                                                                                                                                                                                                                                                                                                                                                                                                                                                                                                                                                                                                                                                                                                                                                                       |                                |                                                                                                                                                                                                                                                                                                                                                                                                                                                                                                                                                                                                                                                                                                                                                                                                                                                                                                                                                                                                                                                                                                                                                                                                                                                                                                                                                                                                                                                                                                                                                                                                                                          |                                        |  |                                                                                                 |          |                                                                                                                    |                                    |                                                                                                                     |           |                                                                                                                       |           |                                                                                                                       |                                  |                                                                                                                        |           |                                                                                                                           |           |                                                                                                                    |           |                                                                                                                     |           |                   |  |                                                                                                                                                                                                                                                                                                                                                                                                                                                                                                                                                                                                                                                                                                                                                                                                                                                                                                                                                                                                                                                                                                                                                                                                                                                                                                                                                                                                                                                                                                                                                                                                                        |                                |                                                                                                                                                                                                                                                                                                                                                                                                                                                                                                                                                                                                                                                                                                                                                                                                                                                                                                                                                                                                                                                                                                                                                                                                                                                                                                                                                                                                                                                                                                                                                                                                                                                              |                                        |  |                                                                                                   |          |                                                                                                                     |           |                                                                                                                           |           |                                                                                                                     |           |                                                                                                                      |           |                                                                                                                       |           |                                                                                                                       |           |                                                                                                                     |           |                                                                                                                 |           |                   |  |             |  |                                                                                                                                                                                                                                                                                                                                                                                                                                                                                                                                                                                                                                                                                                                                                                                                                                                                                                                                                                                                                                                                                                                                                                                                                                                                                                                                                                                                                                                                                                                                                                                                                            |                                |  |                                        |  |                                                                                                   |             |                                                                                                                     |           |                                                                                                                     |           |                                                                                                                     |           |                                                                                                                     |           |                                                                                                                   |           |                                                                                                               |           |                                                                                                                   |           |                   |  |             |  |                                                                                                                                                                                                                                                                                                                                                                                                                                                                                                                                                                                                                                                                                                                                                                                                                                                                                                                                                                                                                                                                                                                                                                                                                                                                                                                                                                                                                                                                                                                                                                                                                            |                                |  |                                        |  |                                                                                                   |             |                                                                                                                     |           |                                                                                                                     |           |                                                                                                                     |           |                                                                                                                     |           |                                                                                                                   |           |                                                                                                               |           |                                                                                                                   |           |                   |  |             |  |                                                                                                                                                                                                                                                                                                                                                                                                                                                                                                                                                                                                                                                                                                                                                                                                                                                                                                                                                                                                                                                                                                                                                                                                                                                                                                                                                                                                                                                                                                                                                                                                                            |                                |  |                                        |  |                                                                                                   |             |                                                                                                                     |           |                                                                                                                     |           |                                                                                                                     |           |                                                                                                                     |           |                                                                                                                   |           |                                                                                                               |           |                                                                                                                   |           |                   |  |             |  |                                                                                                                                                                                                                                                                                                                                                                                                                                                                                                                                                                                                                                                                                                                                                                                                                                                                                                                                                                                                                                                                                                                                                                                                                                                                                                                                                                                                                                                                                                                                                                                                                            |                                |  |                                        |  |                                                                                                   |             |                                                                                                                     |           |                                                                                                                     |           |                                                                                                                     |           |                                                                                                                     |           |                                                                                                                   |           |                                                                                                               |           |                                                                                                                   |           |                   |  |             |  |                                                                                                                                                                                                                                                                                                                                                                                                                                                                                                                                                                                                                                                                                                                                                                                                                                                                                                                                                                                                                                                                                                                                                                                                                                                                                                                                                                                                                                                                                                                                                                                                                            |                                |  |                                        |  |                                                                                                   |             |                                                                                                                     |           |                                                                                                                     |           |                                                                                                                     |           |                                                                                                                     |           |                                                                                                                   |           |                                                                                                               |           |                                                                                                                   |           |                   |  |             |  |                                                                                                                                                                                                                                                                                                                                                                                                                                                                                                                                                                   |                                |  |                                        |  |                                                                                                   |             |                                                                                                                     |           |                              |
|  MPPTRangEnable<br>0x262B   9771                                                                                                                                                                                                                                                                                                                                                                                                                                                                                                                                                                                                                                                                                                                                                                                                                                                                                                                                                                                                                                                                                                                                                                                                                                                                                                                                                         | Disable >                          |  |                                        |  |                                                                                                                     |           |                                                                                                                     |           |                                                                                                                     |           |                                                                                                                     |           |                                                                                                                   |          |                                                                                                                   |          |                                                                                                                         |           |                   |  |             |  |                                                                                                                                                                                                                                                                                                                                                                                                                                                                                                                                                                                                                                                                                                                                                                                                                                                                                                                                                                                                                                                                                                                                                                                                                                                                                                                                                                                                                                                                                                                                                                                                                               |                                |  |                                        |  |                                                                                                                     |           |                                                                                                                     |          |                                                                                                                     |           |                                                                                                                         |          |                                                                                                                   |           |                                                                                                                  |           |                                                                                                                            |           |                                                                                                                      |          |                   |  |                                                                                                                                                                                                                                                                                                                                                                                                                                                                                                                                                                                                                                                                                                                                                                                                                                                                                                                                                                                                                                                                                                                                                                                                                                                                                                                                                                                                                                                                                                                                                                                                                                                                       |                                |                                                                                                                                                                                                                                                                                                                                                                                                                                                                                                                                                                                                                                                                                                                                                                                                                                                                                                                                                                                                                                                                                                                                                                                                                                                                                                                                                                                                                                                                                                                                                                                                                                          |                                        |  |                                                                                                 |          |                                                                                                                    |                                    |                                                                                                                     |           |                                                                                                                       |           |                                                                                                                       |                                  |                                                                                                                        |           |                                                                                                                           |           |                                                                                                                    |           |                                                                                                                     |           |                   |  |                                                                                                                                                                                                                                                                                                                                                                                                                                                                                                                                                                                                                                                                                                                                                                                                                                                                                                                                                                                                                                                                                                                                                                                                                                                                                                                                                                                                                                                                                                                                                                                                                        |                                |                                                                                                                                                                                                                                                                                                                                                                                                                                                                                                                                                                                                                                                                                                                                                                                                                                                                                                                                                                                                                                                                                                                                                                                                                                                                                                                                                                                                                                                                                                                                                                                                                                                              |                                        |  |                                                                                                   |          |                                                                                                                     |           |                                                                                                                           |           |                                                                                                                     |           |                                                                                                                      |           |                                                                                                                       |           |                                                                                                                       |           |                                                                                                                     |           |                                                                                                                 |           |                   |  |             |  |                                                                                                                                                                                                                                                                                                                                                                                                                                                                                                                                                                                                                                                                                                                                                                                                                                                                                                                                                                                                                                                                                                                                                                                                                                                                                                                                                                                                                                                                                                                                                                                                                            |                                |  |                                        |  |                                                                                                   |             |                                                                                                                     |           |                                                                                                                     |           |                                                                                                                     |           |                                                                                                                     |           |                                                                                                                   |           |                                                                                                               |           |                                                                                                                   |           |                   |  |             |  |                                                                                                                                                                                                                                                                                                                                                                                                                                                                                                                                                                                                                                                                                                                                                                                                                                                                                                                                                                                                                                                                                                                                                                                                                                                                                                                                                                                                                                                                                                                                                                                                                            |                                |  |                                        |  |                                                                                                   |             |                                                                                                                     |           |                                                                                                                     |           |                                                                                                                     |           |                                                                                                                     |           |                                                                                                                   |           |                                                                                                               |           |                                                                                                                   |           |                   |  |             |  |                                                                                                                                                                                                                                                                                                                                                                                                                                                                                                                                                                                                                                                                                                                                                                                                                                                                                                                                                                                                                                                                                                                                                                                                                                                                                                                                                                                                                                                                                                                                                                                                                            |                                |  |                                        |  |                                                                                                   |             |                                                                                                                     |           |                                                                                                                     |           |                                                                                                                     |           |                                                                                                                     |           |                                                                                                                   |           |                                                                                                               |           |                                                                                                                   |           |                   |  |             |  |                                                                                                                                                                                                                                                                                                                                                                                                                                                                                                                                                                                                                                                                                                                                                                                                                                                                                                                                                                                                                                                                                                                                                                                                                                                                                                                                                                                                                                                                                                                                                                                                                            |                                |  |                                        |  |                                                                                                   |             |                                                                                                                     |           |                                                                                                                     |           |                                                                                                                     |           |                                                                                                                     |           |                                                                                                                   |           |                                                                                                               |           |                                                                                                                   |           |                   |  |             |  |                                                                                                                                                                                                                                                                                                                                                                                                                                                                                                                                                                                                                                                                                                                                                                                                                                                                                                                                                                                                                                                                                                                                                                                                                                                                                                                                                                                                                                                                                                                                                                                                                            |                                |  |                                        |  |                                                                                                   |             |                                                                                                                     |           |                                                                                                                     |           |                                                                                                                     |           |                                                                                                                     |           |                                                                                                                   |           |                                                                                                               |           |                                                                                                                   |           |                   |  |             |  |                                                                                                                                                                                                                                                                                                                                                                                                                                                                                                                                                                   |                                |  |                                        |  |                                                                                                   |             |                                                                                                                     |           |                              |
| ResProtectCapCurr                                                                                                                                                                                                                                                                                                                                                                                                                                                                                                                                                                                                                                                                                                                                                                                                                                                                                                                                                                                                                                                                                                                                                                                                                                                                                                                                                                                                                                                           |                                    |  |                                        |  |                                                                                                                     |           |                                                                                                                     |           |                                                                                                                     |           |                                                                                                                     |           |                                                                                                                   |          |                                                                                                                   |          |                                                                                                                         |           |                   |  |             |  |                                                                                                                                                                                                                                                                                                                                                                                                                                                                                                                                                                                                                                                                                                                                                                                                                                                                                                                                                                                                                                                                                                                                                                                                                                                                                                                                                                                                                                                                                                                                                                                                                               |                                |  |                                        |  |                                                                                                                     |           |                                                                                                                     |          |                                                                                                                     |           |                                                                                                                         |          |                                                                                                                   |           |                                                                                                                  |           |                                                                                                                            |           |                                                                                                                      |          |                   |  |                                                                                                                                                                                                                                                                                                                                                                                                                                                                                                                                                                                                                                                                                                                                                                                                                                                                                                                                                                                                                                                                                                                                                                                                                                                                                                                                                                                                                                                                                                                                                                                                                                                                       |                                |                                                                                                                                                                                                                                                                                                                                                                                                                                                                                                                                                                                                                                                                                                                                                                                                                                                                                                                                                                                                                                                                                                                                                                                                                                                                                                                                                                                                                                                                                                                                                                                                                                          |                                        |  |                                                                                                 |          |                                                                                                                    |                                    |                                                                                                                     |           |                                                                                                                       |           |                                                                                                                       |                                  |                                                                                                                        |           |                                                                                                                           |           |                                                                                                                    |           |                                                                                                                     |           |                   |  |                                                                                                                                                                                                                                                                                                                                                                                                                                                                                                                                                                                                                                                                                                                                                                                                                                                                                                                                                                                                                                                                                                                                                                                                                                                                                                                                                                                                                                                                                                                                                                                                                        |                                |                                                                                                                                                                                                                                                                                                                                                                                                                                                                                                                                                                                                                                                                                                                                                                                                                                                                                                                                                                                                                                                                                                                                                                                                                                                                                                                                                                                                                                                                                                                                                                                                                                                              |                                        |  |                                                                                                   |          |                                                                                                                     |           |                                                                                                                           |           |                                                                                                                     |           |                                                                                                                      |           |                                                                                                                       |           |                                                                                                                       |           |                                                                                                                     |           |                                                                                                                 |           |                   |  |             |  |                                                                                                                                                                                                                                                                                                                                                                                                                                                                                                                                                                                                                                                                                                                                                                                                                                                                                                                                                                                                                                                                                                                                                                                                                                                                                                                                                                                                                                                                                                                                                                                                                            |                                |  |                                        |  |                                                                                                   |             |                                                                                                                     |           |                                                                                                                     |           |                                                                                                                     |           |                                                                                                                     |           |                                                                                                                   |           |                                                                                                               |           |                                                                                                                   |           |                   |  |             |  |                                                                                                                                                                                                                                                                                                                                                                                                                                                                                                                                                                                                                                                                                                                                                                                                                                                                                                                                                                                                                                                                                                                                                                                                                                                                                                                                                                                                                                                                                                                                                                                                                            |                                |  |                                        |  |                                                                                                   |             |                                                                                                                     |           |                                                                                                                     |           |                                                                                                                     |           |                                                                                                                     |           |                                                                                                                   |           |                                                                                                               |           |                                                                                                                   |           |                   |  |             |  |                                                                                                                                                                                                                                                                                                                                                                                                                                                                                                                                                                                                                                                                                                                                                                                                                                                                                                                                                                                                                                                                                                                                                                                                                                                                                                                                                                                                                                                                                                                                                                                                                            |                                |  |                                        |  |                                                                                                   |             |                                                                                                                     |           |                                                                                                                     |           |                                                                                                                     |           |                                                                                                                     |           |                                                                                                                   |           |                                                                                                               |           |                                                                                                                   |           |                   |  |             |  |                                                                                                                                                                                                                                                                                                                                                                                                                                                                                                                                                                                                                                                                                                                                                                                                                                                                                                                                                                                                                                                                                                                                                                                                                                                                                                                                                                                                                                                                                                                                                                                                                            |                                |  |                                        |  |                                                                                                   |             |                                                                                                                     |           |                                                                                                                     |           |                                                                                                                     |           |                                                                                                                     |           |                                                                                                                   |           |                                                                                                               |           |                                                                                                                   |           |                   |  |             |  |                                                                                                                                                                                                                                                                                                                                                                                                                                                                                                                                                                                                                                                                                                                                                                                                                                                                                                                                                                                                                                                                                                                                                                                                                                                                                                                                                                                                                                                                                                                                                                                                                            |                                |  |                                        |  |                                                                                                   |             |                                                                                                                     |           |                                                                                                                     |           |                                                                                                                     |           |                                                                                                                     |           |                                                                                                                   |           |                                                                                                               |           |                                                                                                                   |           |                   |  |             |  |                                                                                                                                                                                                                                                                                                                                                                                                                                                                                                                                                                   |                                |  |                                        |  |                                                                                                   |             |                                                                                                                     |           |                              |
| <b>Read</b>                                                                                                                                                                                                                                                                                                                                                                                                                                                                                                                                                                                                                                                                                                                                                                                                                                                                                                                                                                                                                                                                                                                                                                                                                                                                                                                                                                                                                                                                 |                                    |  |                                        |  |                                                                                                                     |           |                                                                                                                     |           |                                                                                                                     |           |                                                                                                                     |           |                                                                                                                   |          |                                                                                                                   |          |                                                                                                                         |           |                   |  |             |  |                                                                                                                                                                                                                                                                                                                                                                                                                                                                                                                                                                                                                                                                                                                                                                                                                                                                                                                                                                                                                                                                                                                                                                                                                                                                                                                                                                                                                                                                                                                                                                                                                               |                                |  |                                        |  |                                                                                                                     |           |                                                                                                                     |          |                                                                                                                     |           |                                                                                                                         |          |                                                                                                                   |           |                                                                                                                  |           |                                                                                                                            |           |                                                                                                                      |          |                   |  |                                                                                                                                                                                                                                                                                                                                                                                                                                                                                                                                                                                                                                                                                                                                                                                                                                                                                                                                                                                                                                                                                                                                                                                                                                                                                                                                                                                                                                                                                                                                                                                                                                                                       |                                |                                                                                                                                                                                                                                                                                                                                                                                                                                                                                                                                                                                                                                                                                                                                                                                                                                                                                                                                                                                                                                                                                                                                                                                                                                                                                                                                                                                                                                                                                                                                                                                                                                          |                                        |  |                                                                                                 |          |                                                                                                                    |                                    |                                                                                                                     |           |                                                                                                                       |           |                                                                                                                       |                                  |                                                                                                                        |           |                                                                                                                           |           |                                                                                                                    |           |                                                                                                                     |           |                   |  |                                                                                                                                                                                                                                                                                                                                                                                                                                                                                                                                                                                                                                                                                                                                                                                                                                                                                                                                                                                                                                                                                                                                                                                                                                                                                                                                                                                                                                                                                                                                                                                                                        |                                |                                                                                                                                                                                                                                                                                                                                                                                                                                                                                                                                                                                                                                                                                                                                                                                                                                                                                                                                                                                                                                                                                                                                                                                                                                                                                                                                                                                                                                                                                                                                                                                                                                                              |                                        |  |                                                                                                   |          |                                                                                                                     |           |                                                                                                                           |           |                                                                                                                     |           |                                                                                                                      |           |                                                                                                                       |           |                                                                                                                       |           |                                                                                                                     |           |                                                                                                                 |           |                   |  |             |  |                                                                                                                                                                                                                                                                                                                                                                                                                                                                                                                                                                                                                                                                                                                                                                                                                                                                                                                                                                                                                                                                                                                                                                                                                                                                                                                                                                                                                                                                                                                                                                                                                            |                                |  |                                        |  |                                                                                                   |             |                                                                                                                     |           |                                                                                                                     |           |                                                                                                                     |           |                                                                                                                     |           |                                                                                                                   |           |                                                                                                               |           |                                                                                                                   |           |                   |  |             |  |                                                                                                                                                                                                                                                                                                                                                                                                                                                                                                                                                                                                                                                                                                                                                                                                                                                                                                                                                                                                                                                                                                                                                                                                                                                                                                                                                                                                                                                                                                                                                                                                                            |                                |  |                                        |  |                                                                                                   |             |                                                                                                                     |           |                                                                                                                     |           |                                                                                                                     |           |                                                                                                                     |           |                                                                                                                   |           |                                                                                                               |           |                                                                                                                   |           |                   |  |             |  |                                                                                                                                                                                                                                                                                                                                                                                                                                                                                                                                                                                                                                                                                                                                                                                                                                                                                                                                                                                                                                                                                                                                                                                                                                                                                                                                                                                                                                                                                                                                                                                                                            |                                |  |                                        |  |                                                                                                   |             |                                                                                                                     |           |                                                                                                                     |           |                                                                                                                     |           |                                                                                                                     |           |                                                                                                                   |           |                                                                                                               |           |                                                                                                                   |           |                   |  |             |  |                                                                                                                                                                                                                                                                                                                                                                                                                                                                                                                                                                                                                                                                                                                                                                                                                                                                                                                                                                                                                                                                                                                                                                                                                                                                                                                                                                                                                                                                                                                                                                                                                            |                                |  |                                        |  |                                                                                                   |             |                                                                                                                     |           |                                                                                                                     |           |                                                                                                                     |           |                                                                                                                     |           |                                                                                                                   |           |                                                                                                               |           |                                                                                                                   |           |                   |  |             |  |                                                                                                                                                                                                                                                                                                                                                                                                                                                                                                                                                                                                                                                                                                                                                                                                                                                                                                                                                                                                                                                                                                                                                                                                                                                                                                                                                                                                                                                                                                                                                                                                                            |                                |  |                                        |  |                                                                                                   |             |                                                                                                                     |           |                                                                                                                     |           |                                                                                                                     |           |                                                                                                                     |           |                                                                                                                   |           |                                                                                                               |           |                                                                                                                   |           |                   |  |             |  |                                                                                                                                                                                                                                                                                                                                                                                                                                                                                                                                                                   |                                |  |                                        |  |                                                                                                   |             |                                                                                                                     |           |                              |
| Enable/disable control Para...                                                                                                                                                                                                                                                                                                                                                                                                                                                                                                                                                                                                                                                                                                                                                                                                                                                                                                                                                                                                                                                                                                                                                                                                                                                                                                                                                                                                                                              |                                    |  |                                        |  |                                                                                                                     |           |                                                                                                                     |           |                                                                                                                     |           |                                                                                                                     |           |                                                                                                                   |          |                                                                                                                   |          |                                                                                                                         |           |                   |  |             |  |                                                                                                                                                                                                                                                                                                                                                                                                                                                                                                                                                                                                                                                                                                                                                                                                                                                                                                                                                                                                                                                                                                                                                                                                                                                                                                                                                                                                                                                                                                                                                                                                                               |                                |  |                                        |  |                                                                                                                     |           |                                                                                                                     |          |                                                                                                                     |           |                                                                                                                         |          |                                                                                                                   |           |                                                                                                                  |           |                                                                                                                            |           |                                                                                                                      |          |                   |  |                                                                                                                                                                                                                                                                                                                                                                                                                                                                                                                                                                                                                                                                                                                                                                                                                                                                                                                                                                                                                                                                                                                                                                                                                                                                                                                                                                                                                                                                                                                                                                                                                                                                       |                                |                                                                                                                                                                                                                                                                                                                                                                                                                                                                                                                                                                                                                                                                                                                                                                                                                                                                                                                                                                                                                                                                                                                                                                                                                                                                                                                                                                                                                                                                                                                                                                                                                                          |                                        |  |                                                                                                 |          |                                                                                                                    |                                    |                                                                                                                     |           |                                                                                                                       |           |                                                                                                                       |                                  |                                                                                                                        |           |                                                                                                                           |           |                                                                                                                    |           |                                                                                                                     |           |                   |  |                                                                                                                                                                                                                                                                                                                                                                                                                                                                                                                                                                                                                                                                                                                                                                                                                                                                                                                                                                                                                                                                                                                                                                                                                                                                                                                                                                                                                                                                                                                                                                                                                        |                                |                                                                                                                                                                                                                                                                                                                                                                                                                                                                                                                                                                                                                                                                                                                                                                                                                                                                                                                                                                                                                                                                                                                                                                                                                                                                                                                                                                                                                                                                                                                                                                                                                                                              |                                        |  |                                                                                                   |          |                                                                                                                     |           |                                                                                                                           |           |                                                                                                                     |           |                                                                                                                      |           |                                                                                                                       |           |                                                                                                                       |           |                                                                                                                     |           |                                                                                                                 |           |                   |  |             |  |                                                                                                                                                                                                                                                                                                                                                                                                                                                                                                                                                                                                                                                                                                                                                                                                                                                                                                                                                                                                                                                                                                                                                                                                                                                                                                                                                                                                                                                                                                                                                                                                                            |                                |  |                                        |  |                                                                                                   |             |                                                                                                                     |           |                                                                                                                     |           |                                                                                                                     |           |                                                                                                                     |           |                                                                                                                   |           |                                                                                                               |           |                                                                                                                   |           |                   |  |             |  |                                                                                                                                                                                                                                                                                                                                                                                                                                                                                                                                                                                                                                                                                                                                                                                                                                                                                                                                                                                                                                                                                                                                                                                                                                                                                                                                                                                                                                                                                                                                                                                                                            |                                |  |                                        |  |                                                                                                   |             |                                                                                                                     |           |                                                                                                                     |           |                                                                                                                     |           |                                                                                                                     |           |                                                                                                                   |           |                                                                                                               |           |                                                                                                                   |           |                   |  |             |  |                                                                                                                                                                                                                                                                                                                                                                                                                                                                                                                                                                                                                                                                                                                                                                                                                                                                                                                                                                                                                                                                                                                                                                                                                                                                                                                                                                                                                                                                                                                                                                                                                            |                                |  |                                        |  |                                                                                                   |             |                                                                                                                     |           |                                                                                                                     |           |                                                                                                                     |           |                                                                                                                     |           |                                                                                                                   |           |                                                                                                               |           |                                                                                                                   |           |                   |  |             |  |                                                                                                                                                                                                                                                                                                                                                                                                                                                                                                                                                                                                                                                                                                                                                                                                                                                                                                                                                                                                                                                                                                                                                                                                                                                                                                                                                                                                                                                                                                                                                                                                                            |                                |  |                                        |  |                                                                                                   |             |                                                                                                                     |           |                                                                                                                     |           |                                                                                                                     |           |                                                                                                                     |           |                                                                                                                   |           |                                                                                                               |           |                                                                                                                   |           |                   |  |             |  |                                                                                                                                                                                                                                                                                                                                                                                                                                                                                                                                                                                                                                                                                                                                                                                                                                                                                                                                                                                                                                                                                                                                                                                                                                                                                                                                                                                                                                                                                                                                                                                                                            |                                |  |                                        |  |                                                                                                   |             |                                                                                                                     |           |                                                                                                                     |           |                                                                                                                     |           |                                                                                                                     |           |                                                                                                                   |           |                                                                                                               |           |                                                                                                                   |           |                   |  |             |  |                                                                                                                                                                                                                                                                                                                                                                                                                                                                                                                                                                   |                                |  |                                        |  |                                                                                                   |             |                                                                                                                     |           |                              |
| Last Updated: 2/24/2025 15:55:34 +0800                                                                                                                                                                                                                                                                                                                                                                                                                                                                                                                                                                                                                                                                                                                                                                                                                                                                                                                                                                                                                                                                                                                                                                                                                                                                                                                                                                                                                                      |                                    |  |                                        |  |                                                                                                                     |           |                                                                                                                     |           |                                                                                                                     |           |                                                                                                                     |           |                                                                                                                   |          |                                                                                                                   |          |                                                                                                                         |           |                   |  |             |  |                                                                                                                                                                                                                                                                                                                                                                                                                                                                                                                                                                                                                                                                                                                                                                                                                                                                                                                                                                                                                                                                                                                                                                                                                                                                                                                                                                                                                                                                                                                                                                                                                               |                                |  |                                        |  |                                                                                                                     |           |                                                                                                                     |          |                                                                                                                     |           |                                                                                                                         |          |                                                                                                                   |           |                                                                                                                  |           |                                                                                                                            |           |                                                                                                                      |          |                   |  |                                                                                                                                                                                                                                                                                                                                                                                                                                                                                                                                                                                                                                                                                                                                                                                                                                                                                                                                                                                                                                                                                                                                                                                                                                                                                                                                                                                                                                                                                                                                                                                                                                                                       |                                |                                                                                                                                                                                                                                                                                                                                                                                                                                                                                                                                                                                                                                                                                                                                                                                                                                                                                                                                                                                                                                                                                                                                                                                                                                                                                                                                                                                                                                                                                                                                                                                                                                          |                                        |  |                                                                                                 |          |                                                                                                                    |                                    |                                                                                                                     |           |                                                                                                                       |           |                                                                                                                       |                                  |                                                                                                                        |           |                                                                                                                           |           |                                                                                                                    |           |                                                                                                                     |           |                   |  |                                                                                                                                                                                                                                                                                                                                                                                                                                                                                                                                                                                                                                                                                                                                                                                                                                                                                                                                                                                                                                                                                                                                                                                                                                                                                                                                                                                                                                                                                                                                                                                                                        |                                |                                                                                                                                                                                                                                                                                                                                                                                                                                                                                                                                                                                                                                                                                                                                                                                                                                                                                                                                                                                                                                                                                                                                                                                                                                                                                                                                                                                                                                                                                                                                                                                                                                                              |                                        |  |                                                                                                   |          |                                                                                                                     |           |                                                                                                                           |           |                                                                                                                     |           |                                                                                                                      |           |                                                                                                                       |           |                                                                                                                       |           |                                                                                                                     |           |                                                                                                                 |           |                   |  |             |  |                                                                                                                                                                                                                                                                                                                                                                                                                                                                                                                                                                                                                                                                                                                                                                                                                                                                                                                                                                                                                                                                                                                                                                                                                                                                                                                                                                                                                                                                                                                                                                                                                            |                                |  |                                        |  |                                                                                                   |             |                                                                                                                     |           |                                                                                                                     |           |                                                                                                                     |           |                                                                                                                     |           |                                                                                                                   |           |                                                                                                               |           |                                                                                                                   |           |                   |  |             |  |                                                                                                                                                                                                                                                                                                                                                                                                                                                                                                                                                                                                                                                                                                                                                                                                                                                                                                                                                                                                                                                                                                                                                                                                                                                                                                                                                                                                                                                                                                                                                                                                                            |                                |  |                                        |  |                                                                                                   |             |                                                                                                                     |           |                                                                                                                     |           |                                                                                                                     |           |                                                                                                                     |           |                                                                                                                   |           |                                                                                                               |           |                                                                                                                   |           |                   |  |             |  |                                                                                                                                                                                                                                                                                                                                                                                                                                                                                                                                                                                                                                                                                                                                                                                                                                                                                                                                                                                                                                                                                                                                                                                                                                                                                                                                                                                                                                                                                                                                                                                                                            |                                |  |                                        |  |                                                                                                   |             |                                                                                                                     |           |                                                                                                                     |           |                                                                                                                     |           |                                                                                                                     |           |                                                                                                                   |           |                                                                                                               |           |                                                                                                                   |           |                   |  |             |  |                                                                                                                                                                                                                                                                                                                                                                                                                                                                                                                                                                                                                                                                                                                                                                                                                                                                                                                                                                                                                                                                                                                                                                                                                                                                                                                                                                                                                                                                                                                                                                                                                            |                                |  |                                        |  |                                                                                                   |             |                                                                                                                     |           |                                                                                                                     |           |                                                                                                                     |           |                                                                                                                     |           |                                                                                                                   |           |                                                                                                               |           |                                                                                                                   |           |                   |  |             |  |                                                                                                                                                                                                                                                                                                                                                                                                                                                                                                                                                                                                                                                                                                                                                                                                                                                                                                                                                                                                                                                                                                                                                                                                                                                                                                                                                                                                                                                                                                                                                                                                                            |                                |  |                                        |  |                                                                                                   |             |                                                                                                                     |           |                                                                                                                     |           |                                                                                                                     |           |                                                                                                                     |           |                                                                                                                   |           |                                                                                                               |           |                                                                                                                   |           |                   |  |             |  |                                                                                                                                                                                                                                                                                                                                                                                                                                                                                                                                                                   |                                |  |                                        |  |                                                                                                   |             |                                                                                                                     |           |                              |
|  MPPTRangEnable<br>0x262B   9771                                                                                                                                                                                                                                                                                                                                                                                                                                                                                                                                                                                                                                                                                                                                                                                                                                                                                                                                                                                                                                                                                                                                                                                                                                                                                                                                                         | Disable >                          |  |                                        |  |                                                                                                                     |           |                                                                                                                     |           |                                                                                                                     |           |                                                                                                                     |           |                                                                                                                   |          |                                                                                                                   |          |                                                                                                                         |           |                   |  |             |  |                                                                                                                                                                                                                                                                                                                                                                                                                                                                                                                                                                                                                                                                                                                                                                                                                                                                                                                                                                                                                                                                                                                                                                                                                                                                                                                                                                                                                                                                                                                                                                                                                               |                                |  |                                        |  |                                                                                                                     |           |                                                                                                                     |          |                                                                                                                     |           |                                                                                                                         |          |                                                                                                                   |           |                                                                                                                  |           |                                                                                                                            |           |                                                                                                                      |          |                   |  |                                                                                                                                                                                                                                                                                                                                                                                                                                                                                                                                                                                                                                                                                                                                                                                                                                                                                                                                                                                                                                                                                                                                                                                                                                                                                                                                                                                                                                                                                                                                                                                                                                                                       |                                |                                                                                                                                                                                                                                                                                                                                                                                                                                                                                                                                                                                                                                                                                                                                                                                                                                                                                                                                                                                                                                                                                                                                                                                                                                                                                                                                                                                                                                                                                                                                                                                                                                          |                                        |  |                                                                                                 |          |                                                                                                                    |                                    |                                                                                                                     |           |                                                                                                                       |           |                                                                                                                       |                                  |                                                                                                                        |           |                                                                                                                           |           |                                                                                                                    |           |                                                                                                                     |           |                   |  |                                                                                                                                                                                                                                                                                                                                                                                                                                                                                                                                                                                                                                                                                                                                                                                                                                                                                                                                                                                                                                                                                                                                                                                                                                                                                                                                                                                                                                                                                                                                                                                                                        |                                |                                                                                                                                                                                                                                                                                                                                                                                                                                                                                                                                                                                                                                                                                                                                                                                                                                                                                                                                                                                                                                                                                                                                                                                                                                                                                                                                                                                                                                                                                                                                                                                                                                                              |                                        |  |                                                                                                   |          |                                                                                                                     |           |                                                                                                                           |           |                                                                                                                     |           |                                                                                                                      |           |                                                                                                                       |           |                                                                                                                       |           |                                                                                                                     |           |                                                                                                                 |           |                   |  |             |  |                                                                                                                                                                                                                                                                                                                                                                                                                                                                                                                                                                                                                                                                                                                                                                                                                                                                                                                                                                                                                                                                                                                                                                                                                                                                                                                                                                                                                                                                                                                                                                                                                            |                                |  |                                        |  |                                                                                                   |             |                                                                                                                     |           |                                                                                                                     |           |                                                                                                                     |           |                                                                                                                     |           |                                                                                                                   |           |                                                                                                               |           |                                                                                                                   |           |                   |  |             |  |                                                                                                                                                                                                                                                                                                                                                                                                                                                                                                                                                                                                                                                                                                                                                                                                                                                                                                                                                                                                                                                                                                                                                                                                                                                                                                                                                                                                                                                                                                                                                                                                                            |                                |  |                                        |  |                                                                                                   |             |                                                                                                                     |           |                                                                                                                     |           |                                                                                                                     |           |                                                                                                                     |           |                                                                                                                   |           |                                                                                                               |           |                                                                                                                   |           |                   |  |             |  |                                                                                                                                                                                                                                                                                                                                                                                                                                                                                                                                                                                                                                                                                                                                                                                                                                                                                                                                                                                                                                                                                                                                                                                                                                                                                                                                                                                                                                                                                                                                                                                                                            |                                |  |                                        |  |                                                                                                   |             |                                                                                                                     |           |                                                                                                                     |           |                                                                                                                     |           |                                                                                                                     |           |                                                                                                                   |           |                                                                                                               |           |                                                                                                                   |           |                   |  |             |  |                                                                                                                                                                                                                                                                                                                                                                                                                                                                                                                                                                                                                                                                                                                                                                                                                                                                                                                                                                                                                                                                                                                                                                                                                                                                                                                                                                                                                                                                                                                                                                                                                            |                                |  |                                        |  |                                                                                                   |             |                                                                                                                     |           |                                                                                                                     |           |                                                                                                                     |           |                                                                                                                     |           |                                                                                                                   |           |                                                                                                               |           |                                                                                                                   |           |                   |  |             |  |                                                                                                                                                                                                                                                                                                                                                                                                                                                                                                                                                                                                                                                                                                                                                                                                                                                                                                                                                                                                                                                                                                                                                                                                                                                                                                                                                                                                                                                                                                                                                                                                                            |                                |  |                                        |  |                                                                                                   |             |                                                                                                                     |           |                                                                                                                     |           |                                                                                                                     |           |                                                                                                                     |           |                                                                                                                   |           |                                                                                                               |           |                                                                                                                   |           |                   |  |             |  |                                                                                                                                                                                                                                                                                                                                                                                                                                                                                                                                                                   |                                |  |                                        |  |                                                                                                   |             |                                                                                                                     |           |                              |
|  RapidShutdownEnabBit<br>0x262C   9772                                                                                                                                                                                                                                                                                                                                                                                                                                                                                                                                                                                                                                                                                                                                                                                                                                                                                                                                                                                                                                                                                                                                                                                                                                                                                                                                                   | Disable >                          |  |                                        |  |                                                                                                                     |           |                                                                                                                     |           |                                                                                                                     |           |                                                                                                                     |           |                                                                                                                   |          |                                                                                                                   |          |                                                                                                                         |           |                   |  |             |  |                                                                                                                                                                                                                                                                                                                                                                                                                                                                                                                                                                                                                                                                                                                                                                                                                                                                                                                                                                                                                                                                                                                                                                                                                                                                                                                                                                                                                                                                                                                                                                                                                               |                                |  |                                        |  |                                                                                                                     |           |                                                                                                                     |          |                                                                                                                     |           |                                                                                                                         |          |                                                                                                                   |           |                                                                                                                  |           |                                                                                                                            |           |                                                                                                                      |          |                   |  |                                                                                                                                                                                                                                                                                                                                                                                                                                                                                                                                                                                                                                                                                                                                                                                                                                                                                                                                                                                                                                                                                                                                                                                                                                                                                                                                                                                                                                                                                                                                                                                                                                                                       |                                |                                                                                                                                                                                                                                                                                                                                                                                                                                                                                                                                                                                                                                                                                                                                                                                                                                                                                                                                                                                                                                                                                                                                                                                                                                                                                                                                                                                                                                                                                                                                                                                                                                          |                                        |  |                                                                                                 |          |                                                                                                                    |                                    |                                                                                                                     |           |                                                                                                                       |           |                                                                                                                       |                                  |                                                                                                                        |           |                                                                                                                           |           |                                                                                                                    |           |                                                                                                                     |           |                   |  |                                                                                                                                                                                                                                                                                                                                                                                                                                                                                                                                                                                                                                                                                                                                                                                                                                                                                                                                                                                                                                                                                                                                                                                                                                                                                                                                                                                                                                                                                                                                                                                                                        |                                |                                                                                                                                                                                                                                                                                                                                                                                                                                                                                                                                                                                                                                                                                                                                                                                                                                                                                                                                                                                                                                                                                                                                                                                                                                                                                                                                                                                                                                                                                                                                                                                                                                                              |                                        |  |                                                                                                   |          |                                                                                                                     |           |                                                                                                                           |           |                                                                                                                     |           |                                                                                                                      |           |                                                                                                                       |           |                                                                                                                       |           |                                                                                                                     |           |                                                                                                                 |           |                   |  |             |  |                                                                                                                                                                                                                                                                                                                                                                                                                                                                                                                                                                                                                                                                                                                                                                                                                                                                                                                                                                                                                                                                                                                                                                                                                                                                                                                                                                                                                                                                                                                                                                                                                            |                                |  |                                        |  |                                                                                                   |             |                                                                                                                     |           |                                                                                                                     |           |                                                                                                                     |           |                                                                                                                     |           |                                                                                                                   |           |                                                                                                               |           |                                                                                                                   |           |                   |  |             |  |                                                                                                                                                                                                                                                                                                                                                                                                                                                                                                                                                                                                                                                                                                                                                                                                                                                                                                                                                                                                                                                                                                                                                                                                                                                                                                                                                                                                                                                                                                                                                                                                                            |                                |  |                                        |  |                                                                                                   |             |                                                                                                                     |           |                                                                                                                     |           |                                                                                                                     |           |                                                                                                                     |           |                                                                                                                   |           |                                                                                                               |           |                                                                                                                   |           |                   |  |             |  |                                                                                                                                                                                                                                                                                                                                                                                                                                                                                                                                                                                                                                                                                                                                                                                                                                                                                                                                                                                                                                                                                                                                                                                                                                                                                                                                                                                                                                                                                                                                                                                                                            |                                |  |                                        |  |                                                                                                   |             |                                                                                                                     |           |                                                                                                                     |           |                                                                                                                     |           |                                                                                                                     |           |                                                                                                                   |           |                                                                                                               |           |                                                                                                                   |           |                   |  |             |  |                                                                                                                                                                                                                                                                                                                                                                                                                                                                                                                                                                                                                                                                                                                                                                                                                                                                                                                                                                                                                                                                                                                                                                                                                                                                                                                                                                                                                                                                                                                                                                                                                            |                                |  |                                        |  |                                                                                                   |             |                                                                                                                     |           |                                                                                                                     |           |                                                                                                                     |           |                                                                                                                     |           |                                                                                                                   |           |                                                                                                               |           |                                                                                                                   |           |                   |  |             |  |                                                                                                                                                                                                                                                                                                                                                                                                                                                                                                                                                                                                                                                                                                                                                                                                                                                                                                                                                                                                                                                                                                                                                                                                                                                                                                                                                                                                                                                                                                                                                                                                                            |                                |  |                                        |  |                                                                                                   |             |                                                                                                                     |           |                                                                                                                     |           |                                                                                                                     |           |                                                                                                                     |           |                                                                                                                   |           |                                                                                                               |           |                                                                                                                   |           |                   |  |             |  |                                                                                                                                                                                                                                                                                                                                                                                                                                                                                                                                                                   |                                |  |                                        |  |                                                                                                   |             |                                                                                                                     |           |                              |
|  PV1FuseCheckEn<br>0x262F   9775                                                                                                                                                                                                                                                                                                                                                                                                                                                                                                                                                                                                                                                                                                                                                                                                                                                                                                                                                                                                                                                                                                                                                                                                                                                                                                                                                         | Disable >                          |  |                                        |  |                                                                                                                     |           |                                                                                                                     |           |                                                                                                                     |           |                                                                                                                     |           |                                                                                                                   |          |                                                                                                                   |          |                                                                                                                         |           |                   |  |             |  |                                                                                                                                                                                                                                                                                                                                                                                                                                                                                                                                                                                                                                                                                                                                                                                                                                                                                                                                                                                                                                                                                                                                                                                                                                                                                                                                                                                                                                                                                                                                                                                                                               |                                |  |                                        |  |                                                                                                                     |           |                                                                                                                     |          |                                                                                                                     |           |                                                                                                                         |          |                                                                                                                   |           |                                                                                                                  |           |                                                                                                                            |           |                                                                                                                      |          |                   |  |                                                                                                                                                                                                                                                                                                                                                                                                                                                                                                                                                                                                                                                                                                                                                                                                                                                                                                                                                                                                                                                                                                                                                                                                                                                                                                                                                                                                                                                                                                                                                                                                                                                                       |                                |                                                                                                                                                                                                                                                                                                                                                                                                                                                                                                                                                                                                                                                                                                                                                                                                                                                                                                                                                                                                                                                                                                                                                                                                                                                                                                                                                                                                                                                                                                                                                                                                                                          |                                        |  |                                                                                                 |          |                                                                                                                    |                                    |                                                                                                                     |           |                                                                                                                       |           |                                                                                                                       |                                  |                                                                                                                        |           |                                                                                                                           |           |                                                                                                                    |           |                                                                                                                     |           |                   |  |                                                                                                                                                                                                                                                                                                                                                                                                                                                                                                                                                                                                                                                                                                                                                                                                                                                                                                                                                                                                                                                                                                                                                                                                                                                                                                                                                                                                                                                                                                                                                                                                                        |                                |                                                                                                                                                                                                                                                                                                                                                                                                                                                                                                                                                                                                                                                                                                                                                                                                                                                                                                                                                                                                                                                                                                                                                                                                                                                                                                                                                                                                                                                                                                                                                                                                                                                              |                                        |  |                                                                                                   |          |                                                                                                                     |           |                                                                                                                           |           |                                                                                                                     |           |                                                                                                                      |           |                                                                                                                       |           |                                                                                                                       |           |                                                                                                                     |           |                                                                                                                 |           |                   |  |             |  |                                                                                                                                                                                                                                                                                                                                                                                                                                                                                                                                                                                                                                                                                                                                                                                                                                                                                                                                                                                                                                                                                                                                                                                                                                                                                                                                                                                                                                                                                                                                                                                                                            |                                |  |                                        |  |                                                                                                   |             |                                                                                                                     |           |                                                                                                                     |           |                                                                                                                     |           |                                                                                                                     |           |                                                                                                                   |           |                                                                                                               |           |                                                                                                                   |           |                   |  |             |  |                                                                                                                                                                                                                                                                                                                                                                                                                                                                                                                                                                                                                                                                                                                                                                                                                                                                                                                                                                                                                                                                                                                                                                                                                                                                                                                                                                                                                                                                                                                                                                                                                            |                                |  |                                        |  |                                                                                                   |             |                                                                                                                     |           |                                                                                                                     |           |                                                                                                                     |           |                                                                                                                     |           |                                                                                                                   |           |                                                                                                               |           |                                                                                                                   |           |                   |  |             |  |                                                                                                                                                                                                                                                                                                                                                                                                                                                                                                                                                                                                                                                                                                                                                                                                                                                                                                                                                                                                                                                                                                                                                                                                                                                                                                                                                                                                                                                                                                                                                                                                                            |                                |  |                                        |  |                                                                                                   |             |                                                                                                                     |           |                                                                                                                     |           |                                                                                                                     |           |                                                                                                                     |           |                                                                                                                   |           |                                                                                                               |           |                                                                                                                   |           |                   |  |             |  |                                                                                                                                                                                                                                                                                                                                                                                                                                                                                                                                                                                                                                                                                                                                                                                                                                                                                                                                                                                                                                                                                                                                                                                                                                                                                                                                                                                                                                                                                                                                                                                                                            |                                |  |                                        |  |                                                                                                   |             |                                                                                                                     |           |                                                                                                                     |           |                                                                                                                     |           |                                                                                                                     |           |                                                                                                                   |           |                                                                                                               |           |                                                                                                                   |           |                   |  |             |  |                                                                                                                                                                                                                                                                                                                                                                                                                                                                                                                                                                                                                                                                                                                                                                                                                                                                                                                                                                                                                                                                                                                                                                                                                                                                                                                                                                                                                                                                                                                                                                                                                            |                                |  |                                        |  |                                                                                                   |             |                                                                                                                     |           |                                                                                                                     |           |                                                                                                                     |           |                                                                                                                     |           |                                                                                                                   |           |                                                                                                               |           |                                                                                                                   |           |                   |  |             |  |                                                                                                                                                                                                                                                                                                                                                                                                                                                                                                                                                                   |                                |  |                                        |  |                                                                                                   |             |                                                                                                                     |           |                              |
|  PV2FuseCheckEn<br>0x2630   9776                                                                                                                                                                                                                                                                                                                                                                                                                                                                                                                                                                                                                                                                                                                                                                                                                                                                                                                                                                                                                                                                                                                                                                                                                                                                                                                                                        | Disable >                          |  |                                        |  |                                                                                                                     |           |                                                                                                                     |           |                                                                                                                     |           |                                                                                                                     |           |                                                                                                                   |          |                                                                                                                   |          |                                                                                                                         |           |                   |  |             |  |                                                                                                                                                                                                                                                                                                                                                                                                                                                                                                                                                                                                                                                                                                                                                                                                                                                                                                                                                                                                                                                                                                                                                                                                                                                                                                                                                                                                                                                                                                                                                                                                                               |                                |  |                                        |  |                                                                                                                     |           |                                                                                                                     |          |                                                                                                                     |           |                                                                                                                         |          |                                                                                                                   |           |                                                                                                                  |           |                                                                                                                            |           |                                                                                                                      |          |                   |  |                                                                                                                                                                                                                                                                                                                                                                                                                                                                                                                                                                                                                                                                                                                                                                                                                                                                                                                                                                                                                                                                                                                                                                                                                                                                                                                                                                                                                                                                                                                                                                                                                                                                       |                                |                                                                                                                                                                                                                                                                                                                                                                                                                                                                                                                                                                                                                                                                                                                                                                                                                                                                                                                                                                                                                                                                                                                                                                                                                                                                                                                                                                                                                                                                                                                                                                                                                                          |                                        |  |                                                                                                 |          |                                                                                                                    |                                    |                                                                                                                     |           |                                                                                                                       |           |                                                                                                                       |                                  |                                                                                                                        |           |                                                                                                                           |           |                                                                                                                    |           |                                                                                                                     |           |                   |  |                                                                                                                                                                                                                                                                                                                                                                                                                                                                                                                                                                                                                                                                                                                                                                                                                                                                                                                                                                                                                                                                                                                                                                                                                                                                                                                                                                                                                                                                                                                                                                                                                        |                                |                                                                                                                                                                                                                                                                                                                                                                                                                                                                                                                                                                                                                                                                                                                                                                                                                                                                                                                                                                                                                                                                                                                                                                                                                                                                                                                                                                                                                                                                                                                                                                                                                                                              |                                        |  |                                                                                                   |          |                                                                                                                     |           |                                                                                                                           |           |                                                                                                                     |           |                                                                                                                      |           |                                                                                                                       |           |                                                                                                                       |           |                                                                                                                     |           |                                                                                                                 |           |                   |  |             |  |                                                                                                                                                                                                                                                                                                                                                                                                                                                                                                                                                                                                                                                                                                                                                                                                                                                                                                                                                                                                                                                                                                                                                                                                                                                                                                                                                                                                                                                                                                                                                                                                                            |                                |  |                                        |  |                                                                                                   |             |                                                                                                                     |           |                                                                                                                     |           |                                                                                                                     |           |                                                                                                                     |           |                                                                                                                   |           |                                                                                                               |           |                                                                                                                   |           |                   |  |             |  |                                                                                                                                                                                                                                                                                                                                                                                                                                                                                                                                                                                                                                                                                                                                                                                                                                                                                                                                                                                                                                                                                                                                                                                                                                                                                                                                                                                                                                                                                                                                                                                                                            |                                |  |                                        |  |                                                                                                   |             |                                                                                                                     |           |                                                                                                                     |           |                                                                                                                     |           |                                                                                                                     |           |                                                                                                                   |           |                                                                                                               |           |                                                                                                                   |           |                   |  |             |  |                                                                                                                                                                                                                                                                                                                                                                                                                                                                                                                                                                                                                                                                                                                                                                                                                                                                                                                                                                                                                                                                                                                                                                                                                                                                                                                                                                                                                                                                                                                                                                                                                            |                                |  |                                        |  |                                                                                                   |             |                                                                                                                     |           |                                                                                                                     |           |                                                                                                                     |           |                                                                                                                     |           |                                                                                                                   |           |                                                                                                               |           |                                                                                                                   |           |                   |  |             |  |                                                                                                                                                                                                                                                                                                                                                                                                                                                                                                                                                                                                                                                                                                                                                                                                                                                                                                                                                                                                                                                                                                                                                                                                                                                                                                                                                                                                                                                                                                                                                                                                                            |                                |  |                                        |  |                                                                                                   |             |                                                                                                                     |           |                                                                                                                     |           |                                                                                                                     |           |                                                                                                                     |           |                                                                                                                   |           |                                                                                                               |           |                                                                                                                   |           |                   |  |             |  |                                                                                                                                                                                                                                                                                                                                                                                                                                                                                                                                                                                                                                                                                                                                                                                                                                                                                                                                                                                                                                                                                                                                                                                                                                                                                                                                                                                                                                                                                                                                                                                                                            |                                |  |                                        |  |                                                                                                   |             |                                                                                                                     |           |                                                                                                                     |           |                                                                                                                     |           |                                                                                                                     |           |                                                                                                                   |           |                                                                                                               |           |                                                                                                                   |           |                   |  |             |  |                                                                                                                                                                                                                                                                                                                                                                                                                                                                                                                                                                   |                                |  |                                        |  |                                                                                                   |             |                                                                                                                     |           |                              |
|  PV3FuseCheckEn<br>0x2631   9777                                                                                                                                                                                                                                                                                                                                                                                                                                                                                                                                                                                                                                                                                                                                                                                                                                                                                                                                                                                                                                                                                                                                                                                                                                                                                                                                                       | Disable >                          |  |                                        |  |                                                                                                                     |           |                                                                                                                     |           |                                                                                                                     |           |                                                                                                                     |           |                                                                                                                   |          |                                                                                                                   |          |                                                                                                                         |           |                   |  |             |  |                                                                                                                                                                                                                                                                                                                                                                                                                                                                                                                                                                                                                                                                                                                                                                                                                                                                                                                                                                                                                                                                                                                                                                                                                                                                                                                                                                                                                                                                                                                                                                                                                               |                                |  |                                        |  |                                                                                                                     |           |                                                                                                                     |          |                                                                                                                     |           |                                                                                                                         |          |                                                                                                                   |           |                                                                                                                  |           |                                                                                                                            |           |                                                                                                                      |          |                   |  |                                                                                                                                                                                                                                                                                                                                                                                                                                                                                                                                                                                                                                                                                                                                                                                                                                                                                                                                                                                                                                                                                                                                                                                                                                                                                                                                                                                                                                                                                                                                                                                                                                                                       |                                |                                                                                                                                                                                                                                                                                                                                                                                                                                                                                                                                                                                                                                                                                                                                                                                                                                                                                                                                                                                                                                                                                                                                                                                                                                                                                                                                                                                                                                                                                                                                                                                                                                          |                                        |  |                                                                                                 |          |                                                                                                                    |                                    |                                                                                                                     |           |                                                                                                                       |           |                                                                                                                       |                                  |                                                                                                                        |           |                                                                                                                           |           |                                                                                                                    |           |                                                                                                                     |           |                   |  |                                                                                                                                                                                                                                                                                                                                                                                                                                                                                                                                                                                                                                                                                                                                                                                                                                                                                                                                                                                                                                                                                                                                                                                                                                                                                                                                                                                                                                                                                                                                                                                                                        |                                |                                                                                                                                                                                                                                                                                                                                                                                                                                                                                                                                                                                                                                                                                                                                                                                                                                                                                                                                                                                                                                                                                                                                                                                                                                                                                                                                                                                                                                                                                                                                                                                                                                                              |                                        |  |                                                                                                   |          |                                                                                                                     |           |                                                                                                                           |           |                                                                                                                     |           |                                                                                                                      |           |                                                                                                                       |           |                                                                                                                       |           |                                                                                                                     |           |                                                                                                                 |           |                   |  |             |  |                                                                                                                                                                                                                                                                                                                                                                                                                                                                                                                                                                                                                                                                                                                                                                                                                                                                                                                                                                                                                                                                                                                                                                                                                                                                                                                                                                                                                                                                                                                                                                                                                            |                                |  |                                        |  |                                                                                                   |             |                                                                                                                     |           |                                                                                                                     |           |                                                                                                                     |           |                                                                                                                     |           |                                                                                                                   |           |                                                                                                               |           |                                                                                                                   |           |                   |  |             |  |                                                                                                                                                                                                                                                                                                                                                                                                                                                                                                                                                                                                                                                                                                                                                                                                                                                                                                                                                                                                                                                                                                                                                                                                                                                                                                                                                                                                                                                                                                                                                                                                                            |                                |  |                                        |  |                                                                                                   |             |                                                                                                                     |           |                                                                                                                     |           |                                                                                                                     |           |                                                                                                                     |           |                                                                                                                   |           |                                                                                                               |           |                                                                                                                   |           |                   |  |             |  |                                                                                                                                                                                                                                                                                                                                                                                                                                                                                                                                                                                                                                                                                                                                                                                                                                                                                                                                                                                                                                                                                                                                                                                                                                                                                                                                                                                                                                                                                                                                                                                                                            |                                |  |                                        |  |                                                                                                   |             |                                                                                                                     |           |                                                                                                                     |           |                                                                                                                     |           |                                                                                                                     |           |                                                                                                                   |           |                                                                                                               |           |                                                                                                                   |           |                   |  |             |  |                                                                                                                                                                                                                                                                                                                                                                                                                                                                                                                                                                                                                                                                                                                                                                                                                                                                                                                                                                                                                                                                                                                                                                                                                                                                                                                                                                                                                                                                                                                                                                                                                            |                                |  |                                        |  |                                                                                                   |             |                                                                                                                     |           |                                                                                                                     |           |                                                                                                                     |           |                                                                                                                     |           |                                                                                                                   |           |                                                                                                               |           |                                                                                                                   |           |                   |  |             |  |                                                                                                                                                                                                                                                                                                                                                                                                                                                                                                                                                                                                                                                                                                                                                                                                                                                                                                                                                                                                                                                                                                                                                                                                                                                                                                                                                                                                                                                                                                                                                                                                                            |                                |  |                                        |  |                                                                                                   |             |                                                                                                                     |           |                                                                                                                     |           |                                                                                                                     |           |                                                                                                                     |           |                                                                                                                   |           |                                                                                                               |           |                                                                                                                   |           |                   |  |             |  |                                                                                                                                                                                                                                                                                                                                                                                                                                                                                                                                                                   |                                |  |                                        |  |                                                                                                   |             |                                                                                                                     |           |                              |
|  PV4FuseCheckEn<br>0x2632   9778                                                                                                                                                                                                                                                                                                                                                                                                                                                                                                                                                                                                                                                                                                                                                                                                                                                                                                                                                                                                                                                                                                                                                                                                                                                                                                                                                       | Disable >                          |  |                                        |  |                                                                                                                     |           |                                                                                                                     |           |                                                                                                                     |           |                                                                                                                     |           |                                                                                                                   |          |                                                                                                                   |          |                                                                                                                         |           |                   |  |             |  |                                                                                                                                                                                                                                                                                                                                                                                                                                                                                                                                                                                                                                                                                                                                                                                                                                                                                                                                                                                                                                                                                                                                                                                                                                                                                                                                                                                                                                                                                                                                                                                                                               |                                |  |                                        |  |                                                                                                                     |           |                                                                                                                     |          |                                                                                                                     |           |                                                                                                                         |          |                                                                                                                   |           |                                                                                                                  |           |                                                                                                                            |           |                                                                                                                      |          |                   |  |                                                                                                                                                                                                                                                                                                                                                                                                                                                                                                                                                                                                                                                                                                                                                                                                                                                                                                                                                                                                                                                                                                                                                                                                                                                                                                                                                                                                                                                                                                                                                                                                                                                                       |                                |                                                                                                                                                                                                                                                                                                                                                                                                                                                                                                                                                                                                                                                                                                                                                                                                                                                                                                                                                                                                                                                                                                                                                                                                                                                                                                                                                                                                                                                                                                                                                                                                                                          |                                        |  |                                                                                                 |          |                                                                                                                    |                                    |                                                                                                                     |           |                                                                                                                       |           |                                                                                                                       |                                  |                                                                                                                        |           |                                                                                                                           |           |                                                                                                                    |           |                                                                                                                     |           |                   |  |                                                                                                                                                                                                                                                                                                                                                                                                                                                                                                                                                                                                                                                                                                                                                                                                                                                                                                                                                                                                                                                                                                                                                                                                                                                                                                                                                                                                                                                                                                                                                                                                                        |                                |                                                                                                                                                                                                                                                                                                                                                                                                                                                                                                                                                                                                                                                                                                                                                                                                                                                                                                                                                                                                                                                                                                                                                                                                                                                                                                                                                                                                                                                                                                                                                                                                                                                              |                                        |  |                                                                                                   |          |                                                                                                                     |           |                                                                                                                           |           |                                                                                                                     |           |                                                                                                                      |           |                                                                                                                       |           |                                                                                                                       |           |                                                                                                                     |           |                                                                                                                 |           |                   |  |             |  |                                                                                                                                                                                                                                                                                                                                                                                                                                                                                                                                                                                                                                                                                                                                                                                                                                                                                                                                                                                                                                                                                                                                                                                                                                                                                                                                                                                                                                                                                                                                                                                                                            |                                |  |                                        |  |                                                                                                   |             |                                                                                                                     |           |                                                                                                                     |           |                                                                                                                     |           |                                                                                                                     |           |                                                                                                                   |           |                                                                                                               |           |                                                                                                                   |           |                   |  |             |  |                                                                                                                                                                                                                                                                                                                                                                                                                                                                                                                                                                                                                                                                                                                                                                                                                                                                                                                                                                                                                                                                                                                                                                                                                                                                                                                                                                                                                                                                                                                                                                                                                            |                                |  |                                        |  |                                                                                                   |             |                                                                                                                     |           |                                                                                                                     |           |                                                                                                                     |           |                                                                                                                     |           |                                                                                                                   |           |                                                                                                               |           |                                                                                                                   |           |                   |  |             |  |                                                                                                                                                                                                                                                                                                                                                                                                                                                                                                                                                                                                                                                                                                                                                                                                                                                                                                                                                                                                                                                                                                                                                                                                                                                                                                                                                                                                                                                                                                                                                                                                                            |                                |  |                                        |  |                                                                                                   |             |                                                                                                                     |           |                                                                                                                     |           |                                                                                                                     |           |                                                                                                                     |           |                                                                                                                   |           |                                                                                                               |           |                                                                                                                   |           |                   |  |             |  |                                                                                                                                                                                                                                                                                                                                                                                                                                                                                                                                                                                                                                                                                                                                                                                                                                                                                                                                                                                                                                                                                                                                                                                                                                                                                                                                                                                                                                                                                                                                                                                                                            |                                |  |                                        |  |                                                                                                   |             |                                                                                                                     |           |                                                                                                                     |           |                                                                                                                     |           |                                                                                                                     |           |                                                                                                                   |           |                                                                                                               |           |                                                                                                                   |           |                   |  |             |  |                                                                                                                                                                                                                                                                                                                                                                                                                                                                                                                                                                                                                                                                                                                                                                                                                                                                                                                                                                                                                                                                                                                                                                                                                                                                                                                                                                                                                                                                                                                                                                                                                            |                                |  |                                        |  |                                                                                                   |             |                                                                                                                     |           |                                                                                                                     |           |                                                                                                                     |           |                                                                                                                     |           |                                                                                                                   |           |                                                                                                               |           |                                                                                                                   |           |                   |  |             |  |                                                                                                                                                                                                                                                                                                                                                                                                                                                                                                                                                                   |                                |  |                                        |  |                                                                                                   |             |                                                                                                                     |           |                              |
|  ResProtectEn<br>0x2655   9813                                                                                                                                                                                                                                                                                                                                                                                                                                                                                                                                                                                                                                                                                                                                                                                                                                                                                                                                                                                                                                                                                                                                                                                                                                                                                                                                                         | Disable >                          |  |                                        |  |                                                                                                                     |           |                                                                                                                     |           |                                                                                                                     |           |                                                                                                                     |           |                                                                                                                   |          |                                                                                                                   |          |                                                                                                                         |           |                   |  |             |  |                                                                                                                                                                                                                                                                                                                                                                                                                                                                                                                                                                                                                                                                                                                                                                                                                                                                                                                                                                                                                                                                                                                                                                                                                                                                                                                                                                                                                                                                                                                                                                                                                               |                                |  |                                        |  |                                                                                                                     |           |                                                                                                                     |          |                                                                                                                     |           |                                                                                                                         |          |                                                                                                                   |           |                                                                                                                  |           |                                                                                                                            |           |                                                                                                                      |          |                   |  |                                                                                                                                                                                                                                                                                                                                                                                                                                                                                                                                                                                                                                                                                                                                                                                                                                                                                                                                                                                                                                                                                                                                                                                                                                                                                                                                                                                                                                                                                                                                                                                                                                                                       |                                |                                                                                                                                                                                                                                                                                                                                                                                                                                                                                                                                                                                                                                                                                                                                                                                                                                                                                                                                                                                                                                                                                                                                                                                                                                                                                                                                                                                                                                                                                                                                                                                                                                          |                                        |  |                                                                                                 |          |                                                                                                                    |                                    |                                                                                                                     |           |                                                                                                                       |           |                                                                                                                       |                                  |                                                                                                                        |           |                                                                                                                           |           |                                                                                                                    |           |                                                                                                                     |           |                   |  |                                                                                                                                                                                                                                                                                                                                                                                                                                                                                                                                                                                                                                                                                                                                                                                                                                                                                                                                                                                                                                                                                                                                                                                                                                                                                                                                                                                                                                                                                                                                                                                                                        |                                |                                                                                                                                                                                                                                                                                                                                                                                                                                                                                                                                                                                                                                                                                                                                                                                                                                                                                                                                                                                                                                                                                                                                                                                                                                                                                                                                                                                                                                                                                                                                                                                                                                                              |                                        |  |                                                                                                   |          |                                                                                                                     |           |                                                                                                                           |           |                                                                                                                     |           |                                                                                                                      |           |                                                                                                                       |           |                                                                                                                       |           |                                                                                                                     |           |                                                                                                                 |           |                   |  |             |  |                                                                                                                                                                                                                                                                                                                                                                                                                                                                                                                                                                                                                                                                                                                                                                                                                                                                                                                                                                                                                                                                                                                                                                                                                                                                                                                                                                                                                                                                                                                                                                                                                            |                                |  |                                        |  |                                                                                                   |             |                                                                                                                     |           |                                                                                                                     |           |                                                                                                                     |           |                                                                                                                     |           |                                                                                                                   |           |                                                                                                               |           |                                                                                                                   |           |                   |  |             |  |                                                                                                                                                                                                                                                                                                                                                                                                                                                                                                                                                                                                                                                                                                                                                                                                                                                                                                                                                                                                                                                                                                                                                                                                                                                                                                                                                                                                                                                                                                                                                                                                                            |                                |  |                                        |  |                                                                                                   |             |                                                                                                                     |           |                                                                                                                     |           |                                                                                                                     |           |                                                                                                                     |           |                                                                                                                   |           |                                                                                                               |           |                                                                                                                   |           |                   |  |             |  |                                                                                                                                                                                                                                                                                                                                                                                                                                                                                                                                                                                                                                                                                                                                                                                                                                                                                                                                                                                                                                                                                                                                                                                                                                                                                                                                                                                                                                                                                                                                                                                                                            |                                |  |                                        |  |                                                                                                   |             |                                                                                                                     |           |                                                                                                                     |           |                                                                                                                     |           |                                                                                                                     |           |                                                                                                                   |           |                                                                                                               |           |                                                                                                                   |           |                   |  |             |  |                                                                                                                                                                                                                                                                                                                                                                                                                                                                                                                                                                                                                                                                                                                                                                                                                                                                                                                                                                                                                                                                                                                                                                                                                                                                                                                                                                                                                                                                                                                                                                                                                            |                                |  |                                        |  |                                                                                                   |             |                                                                                                                     |           |                                                                                                                     |           |                                                                                                                     |           |                                                                                                                     |           |                                                                                                                   |           |                                                                                                               |           |                                                                                                                   |           |                   |  |             |  |                                                                                                                                                                                                                                                                                                                                                                                                                                                                                                                                                                                                                                                                                                                                                                                                                                                                                                                                                                                                                                                                                                                                                                                                                                                                                                                                                                                                                                                                                                                                                                                                                            |                                |  |                                        |  |                                                                                                   |             |                                                                                                                     |           |                                                                                                                     |           |                                                                                                                     |           |                                                                                                                     |           |                                                                                                                   |           |                                                                                                               |           |                                                                                                                   |           |                   |  |             |  |                                                                                                                                                                                                                                                                                                                                                                                                                                                                                                                                                                   |                                |  |                                        |  |                                                                                                   |             |                                                                                                                     |           |                              |
|  PF = 0,4<br>0x2659   9817                                                                                                                                                                                                                                                                                                                                                                                                                                                                                                                                                                                                                                                                                                                                                                                                                                                                                                                                                                                                                                                                                                                                                                                                                                                                                                                                                             | Disable >                          |  |                                        |  |                                                                                                                     |           |                                                                                                                     |           |                                                                                                                     |           |                                                                                                                     |           |                                                                                                                   |          |                                                                                                                   |          |                                                                                                                         |           |                   |  |             |  |                                                                                                                                                                                                                                                                                                                                                                                                                                                                                                                                                                                                                                                                                                                                                                                                                                                                                                                                                                                                                                                                                                                                                                                                                                                                                                                                                                                                                                                                                                                                                                                                                               |                                |  |                                        |  |                                                                                                                     |           |                                                                                                                     |          |                                                                                                                     |           |                                                                                                                         |          |                                                                                                                   |           |                                                                                                                  |           |                                                                                                                            |           |                                                                                                                      |          |                   |  |                                                                                                                                                                                                                                                                                                                                                                                                                                                                                                                                                                                                                                                                                                                                                                                                                                                                                                                                                                                                                                                                                                                                                                                                                                                                                                                                                                                                                                                                                                                                                                                                                                                                       |                                |                                                                                                                                                                                                                                                                                                                                                                                                                                                                                                                                                                                                                                                                                                                                                                                                                                                                                                                                                                                                                                                                                                                                                                                                                                                                                                                                                                                                                                                                                                                                                                                                                                          |                                        |  |                                                                                                 |          |                                                                                                                    |                                    |                                                                                                                     |           |                                                                                                                       |           |                                                                                                                       |                                  |                                                                                                                        |           |                                                                                                                           |           |                                                                                                                    |           |                                                                                                                     |           |                   |  |                                                                                                                                                                                                                                                                                                                                                                                                                                                                                                                                                                                                                                                                                                                                                                                                                                                                                                                                                                                                                                                                                                                                                                                                                                                                                                                                                                                                                                                                                                                                                                                                                        |                                |                                                                                                                                                                                                                                                                                                                                                                                                                                                                                                                                                                                                                                                                                                                                                                                                                                                                                                                                                                                                                                                                                                                                                                                                                                                                                                                                                                                                                                                                                                                                                                                                                                                              |                                        |  |                                                                                                   |          |                                                                                                                     |           |                                                                                                                           |           |                                                                                                                     |           |                                                                                                                      |           |                                                                                                                       |           |                                                                                                                       |           |                                                                                                                     |           |                                                                                                                 |           |                   |  |             |  |                                                                                                                                                                                                                                                                                                                                                                                                                                                                                                                                                                                                                                                                                                                                                                                                                                                                                                                                                                                                                                                                                                                                                                                                                                                                                                                                                                                                                                                                                                                                                                                                                            |                                |  |                                        |  |                                                                                                   |             |                                                                                                                     |           |                                                                                                                     |           |                                                                                                                     |           |                                                                                                                     |           |                                                                                                                   |           |                                                                                                               |           |                                                                                                                   |           |                   |  |             |  |                                                                                                                                                                                                                                                                                                                                                                                                                                                                                                                                                                                                                                                                                                                                                                                                                                                                                                                                                                                                                                                                                                                                                                                                                                                                                                                                                                                                                                                                                                                                                                                                                            |                                |  |                                        |  |                                                                                                   |             |                                                                                                                     |           |                                                                                                                     |           |                                                                                                                     |           |                                                                                                                     |           |                                                                                                                   |           |                                                                                                               |           |                                                                                                                   |           |                   |  |             |  |                                                                                                                                                                                                                                                                                                                                                                                                                                                                                                                                                                                                                                                                                                                                                                                                                                                                                                                                                                                                                                                                                                                                                                                                                                                                                                                                                                                                                                                                                                                                                                                                                            |                                |  |                                        |  |                                                                                                   |             |                                                                                                                     |           |                                                                                                                     |           |                                                                                                                     |           |                                                                                                                     |           |                                                                                                                   |           |                                                                                                               |           |                                                                                                                   |           |                   |  |             |  |                                                                                                                                                                                                                                                                                                                                                                                                                                                                                                                                                                                                                                                                                                                                                                                                                                                                                                                                                                                                                                                                                                                                                                                                                                                                                                                                                                                                                                                                                                                                                                                                                            |                                |  |                                        |  |                                                                                                   |             |                                                                                                                     |           |                                                                                                                     |           |                                                                                                                     |           |                                                                                                                     |           |                                                                                                                   |           |                                                                                                               |           |                                                                                                                   |           |                   |  |             |  |                                                                                                                                                                                                                                                                                                                                                                                                                                                                                                                                                                                                                                                                                                                                                                                                                                                                                                                                                                                                                                                                                                                                                                                                                                                                                                                                                                                                                                                                                                                                                                                                                            |                                |  |                                        |  |                                                                                                   |             |                                                                                                                     |           |                                                                                                                     |           |                                                                                                                     |           |                                                                                                                     |           |                                                                                                                   |           |                                                                                                               |           |                                                                                                                   |           |                   |  |             |  |                                                                                                                                                                                                                                                                                                                                                                                                                                                                                                                                                                   |                                |  |                                        |  |                                                                                                   |             |                                                                                                                     |           |                              |
| ResProtectCapCurr                                                                                                                                                                                                                                                                                                                                                                                                                                                                                                                                                                                                                                                                                                                                                                                                                                                                                                                                                                                                                                                                                                                                                                                                                                                                                                                                                                                                                                                           |                                    |  |                                        |  |                                                                                                                     |           |                                                                                                                     |           |                                                                                                                     |           |                                                                                                                     |           |                                                                                                                   |          |                                                                                                                   |          |                                                                                                                         |           |                   |  |             |  |                                                                                                                                                                                                                                                                                                                                                                                                                                                                                                                                                                                                                                                                                                                                                                                                                                                                                                                                                                                                                                                                                                                                                                                                                                                                                                                                                                                                                                                                                                                                                                                                                               |                                |  |                                        |  |                                                                                                                     |           |                                                                                                                     |          |                                                                                                                     |           |                                                                                                                         |          |                                                                                                                   |           |                                                                                                                  |           |                                                                                                                            |           |                                                                                                                      |          |                   |  |                                                                                                                                                                                                                                                                                                                                                                                                                                                                                                                                                                                                                                                                                                                                                                                                                                                                                                                                                                                                                                                                                                                                                                                                                                                                                                                                                                                                                                                                                                                                                                                                                                                                       |                                |                                                                                                                                                                                                                                                                                                                                                                                                                                                                                                                                                                                                                                                                                                                                                                                                                                                                                                                                                                                                                                                                                                                                                                                                                                                                                                                                                                                                                                                                                                                                                                                                                                          |                                        |  |                                                                                                 |          |                                                                                                                    |                                    |                                                                                                                     |           |                                                                                                                       |           |                                                                                                                       |                                  |                                                                                                                        |           |                                                                                                                           |           |                                                                                                                    |           |                                                                                                                     |           |                   |  |                                                                                                                                                                                                                                                                                                                                                                                                                                                                                                                                                                                                                                                                                                                                                                                                                                                                                                                                                                                                                                                                                                                                                                                                                                                                                                                                                                                                                                                                                                                                                                                                                        |                                |                                                                                                                                                                                                                                                                                                                                                                                                                                                                                                                                                                                                                                                                                                                                                                                                                                                                                                                                                                                                                                                                                                                                                                                                                                                                                                                                                                                                                                                                                                                                                                                                                                                              |                                        |  |                                                                                                   |          |                                                                                                                     |           |                                                                                                                           |           |                                                                                                                     |           |                                                                                                                      |           |                                                                                                                       |           |                                                                                                                       |           |                                                                                                                     |           |                                                                                                                 |           |                   |  |             |  |                                                                                                                                                                                                                                                                                                                                                                                                                                                                                                                                                                                                                                                                                                                                                                                                                                                                                                                                                                                                                                                                                                                                                                                                                                                                                                                                                                                                                                                                                                                                                                                                                            |                                |  |                                        |  |                                                                                                   |             |                                                                                                                     |           |                                                                                                                     |           |                                                                                                                     |           |                                                                                                                     |           |                                                                                                                   |           |                                                                                                               |           |                                                                                                                   |           |                   |  |             |  |                                                                                                                                                                                                                                                                                                                                                                                                                                                                                                                                                                                                                                                                                                                                                                                                                                                                                                                                                                                                                                                                                                                                                                                                                                                                                                                                                                                                                                                                                                                                                                                                                            |                                |  |                                        |  |                                                                                                   |             |                                                                                                                     |           |                                                                                                                     |           |                                                                                                                     |           |                                                                                                                     |           |                                                                                                                   |           |                                                                                                               |           |                                                                                                                   |           |                   |  |             |  |                                                                                                                                                                                                                                                                                                                                                                                                                                                                                                                                                                                                                                                                                                                                                                                                                                                                                                                                                                                                                                                                                                                                                                                                                                                                                                                                                                                                                                                                                                                                                                                                                            |                                |  |                                        |  |                                                                                                   |             |                                                                                                                     |           |                                                                                                                     |           |                                                                                                                     |           |                                                                                                                     |           |                                                                                                                   |           |                                                                                                               |           |                                                                                                                   |           |                   |  |             |  |                                                                                                                                                                                                                                                                                                                                                                                                                                                                                                                                                                                                                                                                                                                                                                                                                                                                                                                                                                                                                                                                                                                                                                                                                                                                                                                                                                                                                                                                                                                                                                                                                            |                                |  |                                        |  |                                                                                                   |             |                                                                                                                     |           |                                                                                                                     |           |                                                                                                                     |           |                                                                                                                     |           |                                                                                                                   |           |                                                                                                               |           |                                                                                                                   |           |                   |  |             |  |                                                                                                                                                                                                                                                                                                                                                                                                                                                                                                                                                                                                                                                                                                                                                                                                                                                                                                                                                                                                                                                                                                                                                                                                                                                                                                                                                                                                                                                                                                                                                                                                                            |                                |  |                                        |  |                                                                                                   |             |                                                                                                                     |           |                                                                                                                     |           |                                                                                                                     |           |                                                                                                                     |           |                                                                                                                   |           |                                                                                                               |           |                                                                                                                   |           |                   |  |             |  |                                                                                                                                                                                                                                                                                                                                                                                                                                                                                                                                                                   |                                |  |                                        |  |                                                                                                   |             |                                                                                                                     |           |                              |
| <b>Read</b>                                                                                                                                                                                                                                                                                                                                                                                                                                                                                                                                                                                                                                                                                                                                                                                                                                                                                                                                                                                                                                                                                                                                                                                                                                                                                                                                                                                                                                                                 |                                    |  |                                        |  |                                                                                                                     |           |                                                                                                                     |           |                                                                                                                     |           |                                                                                                                     |           |                                                                                                                   |          |                                                                                                                   |          |                                                                                                                         |           |                   |  |             |  |                                                                                                                                                                                                                                                                                                                                                                                                                                                                                                                                                                                                                                                                                                                                                                                                                                                                                                                                                                                                                                                                                                                                                                                                                                                                                                                                                                                                                                                                                                                                                                                                                               |                                |  |                                        |  |                                                                                                                     |           |                                                                                                                     |          |                                                                                                                     |           |                                                                                                                         |          |                                                                                                                   |           |                                                                                                                  |           |                                                                                                                            |           |                                                                                                                      |          |                   |  |                                                                                                                                                                                                                                                                                                                                                                                                                                                                                                                                                                                                                                                                                                                                                                                                                                                                                                                                                                                                                                                                                                                                                                                                                                                                                                                                                                                                                                                                                                                                                                                                                                                                       |                                |                                                                                                                                                                                                                                                                                                                                                                                                                                                                                                                                                                                                                                                                                                                                                                                                                                                                                                                                                                                                                                                                                                                                                                                                                                                                                                                                                                                                                                                                                                                                                                                                                                          |                                        |  |                                                                                                 |          |                                                                                                                    |                                    |                                                                                                                     |           |                                                                                                                       |           |                                                                                                                       |                                  |                                                                                                                        |           |                                                                                                                           |           |                                                                                                                    |           |                                                                                                                     |           |                   |  |                                                                                                                                                                                                                                                                                                                                                                                                                                                                                                                                                                                                                                                                                                                                                                                                                                                                                                                                                                                                                                                                                                                                                                                                                                                                                                                                                                                                                                                                                                                                                                                                                        |                                |                                                                                                                                                                                                                                                                                                                                                                                                                                                                                                                                                                                                                                                                                                                                                                                                                                                                                                                                                                                                                                                                                                                                                                                                                                                                                                                                                                                                                                                                                                                                                                                                                                                              |                                        |  |                                                                                                   |          |                                                                                                                     |           |                                                                                                                           |           |                                                                                                                     |           |                                                                                                                      |           |                                                                                                                       |           |                                                                                                                       |           |                                                                                                                     |           |                                                                                                                 |           |                   |  |             |  |                                                                                                                                                                                                                                                                                                                                                                                                                                                                                                                                                                                                                                                                                                                                                                                                                                                                                                                                                                                                                                                                                                                                                                                                                                                                                                                                                                                                                                                                                                                                                                                                                            |                                |  |                                        |  |                                                                                                   |             |                                                                                                                     |           |                                                                                                                     |           |                                                                                                                     |           |                                                                                                                     |           |                                                                                                                   |           |                                                                                                               |           |                                                                                                                   |           |                   |  |             |  |                                                                                                                                                                                                                                                                                                                                                                                                                                                                                                                                                                                                                                                                                                                                                                                                                                                                                                                                                                                                                                                                                                                                                                                                                                                                                                                                                                                                                                                                                                                                                                                                                            |                                |  |                                        |  |                                                                                                   |             |                                                                                                                     |           |                                                                                                                     |           |                                                                                                                     |           |                                                                                                                     |           |                                                                                                                   |           |                                                                                                               |           |                                                                                                                   |           |                   |  |             |  |                                                                                                                                                                                                                                                                                                                                                                                                                                                                                                                                                                                                                                                                                                                                                                                                                                                                                                                                                                                                                                                                                                                                                                                                                                                                                                                                                                                                                                                                                                                                                                                                                            |                                |  |                                        |  |                                                                                                   |             |                                                                                                                     |           |                                                                                                                     |           |                                                                                                                     |           |                                                                                                                     |           |                                                                                                                   |           |                                                                                                               |           |                                                                                                                   |           |                   |  |             |  |                                                                                                                                                                                                                                                                                                                                                                                                                                                                                                                                                                                                                                                                                                                                                                                                                                                                                                                                                                                                                                                                                                                                                                                                                                                                                                                                                                                                                                                                                                                                                                                                                            |                                |  |                                        |  |                                                                                                   |             |                                                                                                                     |           |                                                                                                                     |           |                                                                                                                     |           |                                                                                                                     |           |                                                                                                                   |           |                                                                                                               |           |                                                                                                                   |           |                   |  |             |  |                                                                                                                                                                                                                                                                                                                                                                                                                                                                                                                                                                                                                                                                                                                                                                                                                                                                                                                                                                                                                                                                                                                                                                                                                                                                                                                                                                                                                                                                                                                                                                                                                            |                                |  |                                        |  |                                                                                                   |             |                                                                                                                     |           |                                                                                                                     |           |                                                                                                                     |           |                                                                                                                     |           |                                                                                                                   |           |                                                                                                               |           |                                                                                                                   |           |                   |  |             |  |                                                                                                                                                                                                                                                                                                                                                                                                                                                                                                                                                                   |                                |  |                                        |  |                                                                                                   |             |                                                                                                                     |           |                              |
| Enable/disable control Para...                                                                                                                                                                                                                                                                                                                                                                                                                                                                                                                                                                                                                                                                                                                                                                                                                                                                                                                                                                                                                                                                                                                                                                                                                                                                                                                                                                                                                                              |                                    |  |                                        |  |                                                                                                                     |           |                                                                                                                     |           |                                                                                                                     |           |                                                                                                                     |           |                                                                                                                   |          |                                                                                                                   |          |                                                                                                                         |           |                   |  |             |  |                                                                                                                                                                                                                                                                                                                                                                                                                                                                                                                                                                                                                                                                                                                                                                                                                                                                                                                                                                                                                                                                                                                                                                                                                                                                                                                                                                                                                                                                                                                                                                                                                               |                                |  |                                        |  |                                                                                                                     |           |                                                                                                                     |          |                                                                                                                     |           |                                                                                                                         |          |                                                                                                                   |           |                                                                                                                  |           |                                                                                                                            |           |                                                                                                                      |          |                   |  |                                                                                                                                                                                                                                                                                                                                                                                                                                                                                                                                                                                                                                                                                                                                                                                                                                                                                                                                                                                                                                                                                                                                                                                                                                                                                                                                                                                                                                                                                                                                                                                                                                                                       |                                |                                                                                                                                                                                                                                                                                                                                                                                                                                                                                                                                                                                                                                                                                                                                                                                                                                                                                                                                                                                                                                                                                                                                                                                                                                                                                                                                                                                                                                                                                                                                                                                                                                          |                                        |  |                                                                                                 |          |                                                                                                                    |                                    |                                                                                                                     |           |                                                                                                                       |           |                                                                                                                       |                                  |                                                                                                                        |           |                                                                                                                           |           |                                                                                                                    |           |                                                                                                                     |           |                   |  |                                                                                                                                                                                                                                                                                                                                                                                                                                                                                                                                                                                                                                                                                                                                                                                                                                                                                                                                                                                                                                                                                                                                                                                                                                                                                                                                                                                                                                                                                                                                                                                                                        |                                |                                                                                                                                                                                                                                                                                                                                                                                                                                                                                                                                                                                                                                                                                                                                                                                                                                                                                                                                                                                                                                                                                                                                                                                                                                                                                                                                                                                                                                                                                                                                                                                                                                                              |                                        |  |                                                                                                   |          |                                                                                                                     |           |                                                                                                                           |           |                                                                                                                     |           |                                                                                                                      |           |                                                                                                                       |           |                                                                                                                       |           |                                                                                                                     |           |                                                                                                                 |           |                   |  |             |  |                                                                                                                                                                                                                                                                                                                                                                                                                                                                                                                                                                                                                                                                                                                                                                                                                                                                                                                                                                                                                                                                                                                                                                                                                                                                                                                                                                                                                                                                                                                                                                                                                            |                                |  |                                        |  |                                                                                                   |             |                                                                                                                     |           |                                                                                                                     |           |                                                                                                                     |           |                                                                                                                     |           |                                                                                                                   |           |                                                                                                               |           |                                                                                                                   |           |                   |  |             |  |                                                                                                                                                                                                                                                                                                                                                                                                                                                                                                                                                                                                                                                                                                                                                                                                                                                                                                                                                                                                                                                                                                                                                                                                                                                                                                                                                                                                                                                                                                                                                                                                                            |                                |  |                                        |  |                                                                                                   |             |                                                                                                                     |           |                                                                                                                     |           |                                                                                                                     |           |                                                                                                                     |           |                                                                                                                   |           |                                                                                                               |           |                                                                                                                   |           |                   |  |             |  |                                                                                                                                                                                                                                                                                                                                                                                                                                                                                                                                                                                                                                                                                                                                                                                                                                                                                                                                                                                                                                                                                                                                                                                                                                                                                                                                                                                                                                                                                                                                                                                                                            |                                |  |                                        |  |                                                                                                   |             |                                                                                                                     |           |                                                                                                                     |           |                                                                                                                     |           |                                                                                                                     |           |                                                                                                                   |           |                                                                                                               |           |                                                                                                                   |           |                   |  |             |  |                                                                                                                                                                                                                                                                                                                                                                                                                                                                                                                                                                                                                                                                                                                                                                                                                                                                                                                                                                                                                                                                                                                                                                                                                                                                                                                                                                                                                                                                                                                                                                                                                            |                                |  |                                        |  |                                                                                                   |             |                                                                                                                     |           |                                                                                                                     |           |                                                                                                                     |           |                                                                                                                     |           |                                                                                                                   |           |                                                                                                               |           |                                                                                                                   |           |                   |  |             |  |                                                                                                                                                                                                                                                                                                                                                                                                                                                                                                                                                                                                                                                                                                                                                                                                                                                                                                                                                                                                                                                                                                                                                                                                                                                                                                                                                                                                                                                                                                                                                                                                                            |                                |  |                                        |  |                                                                                                   |             |                                                                                                                     |           |                                                                                                                     |           |                                                                                                                     |           |                                                                                                                     |           |                                                                                                                   |           |                                                                                                               |           |                                                                                                                   |           |                   |  |             |  |                                                                                                                                                                                                                                                                                                                                                                                                                                                                                                                                                                   |                                |  |                                        |  |                                                                                                   |             |                                                                                                                     |           |                              |
| Last Updated: 2/24/2025 15:55:34 +0800                                                                                                                                                                                                                                                                                                                                                                                                                                                                                                                                                                                                                                                                                                                                                                                                                                                                                                                                                                                                                                                                                                                                                                                                                                                                                                                                                                                                                                      |                                    |  |                                        |  |                                                                                                                     |           |                                                                                                                     |           |                                                                                                                     |           |                                                                                                                     |           |                                                                                                                   |          |                                                                                                                   |          |                                                                                                                         |           |                   |  |             |  |                                                                                                                                                                                                                                                                                                                                                                                                                                                                                                                                                                                                                                                                                                                                                                                                                                                                                                                                                                                                                                                                                                                                                                                                                                                                                                                                                                                                                                                                                                                                                                                                                               |                                |  |                                        |  |                                                                                                                     |           |                                                                                                                     |          |                                                                                                                     |           |                                                                                                                         |          |                                                                                                                   |           |                                                                                                                  |           |                                                                                                                            |           |                                                                                                                      |          |                   |  |                                                                                                                                                                                                                                                                                                                                                                                                                                                                                                                                                                                                                                                                                                                                                                                                                                                                                                                                                                                                                                                                                                                                                                                                                                                                                                                                                                                                                                                                                                                                                                                                                                                                       |                                |                                                                                                                                                                                                                                                                                                                                                                                                                                                                                                                                                                                                                                                                                                                                                                                                                                                                                                                                                                                                                                                                                                                                                                                                                                                                                                                                                                                                                                                                                                                                                                                                                                          |                                        |  |                                                                                                 |          |                                                                                                                    |                                    |                                                                                                                     |           |                                                                                                                       |           |                                                                                                                       |                                  |                                                                                                                        |           |                                                                                                                           |           |                                                                                                                    |           |                                                                                                                     |           |                   |  |                                                                                                                                                                                                                                                                                                                                                                                                                                                                                                                                                                                                                                                                                                                                                                                                                                                                                                                                                                                                                                                                                                                                                                                                                                                                                                                                                                                                                                                                                                                                                                                                                        |                                |                                                                                                                                                                                                                                                                                                                                                                                                                                                                                                                                                                                                                                                                                                                                                                                                                                                                                                                                                                                                                                                                                                                                                                                                                                                                                                                                                                                                                                                                                                                                                                                                                                                              |                                        |  |                                                                                                   |          |                                                                                                                     |           |                                                                                                                           |           |                                                                                                                     |           |                                                                                                                      |           |                                                                                                                       |           |                                                                                                                       |           |                                                                                                                     |           |                                                                                                                 |           |                   |  |             |  |                                                                                                                                                                                                                                                                                                                                                                                                                                                                                                                                                                                                                                                                                                                                                                                                                                                                                                                                                                                                                                                                                                                                                                                                                                                                                                                                                                                                                                                                                                                                                                                                                            |                                |  |                                        |  |                                                                                                   |             |                                                                                                                     |           |                                                                                                                     |           |                                                                                                                     |           |                                                                                                                     |           |                                                                                                                   |           |                                                                                                               |           |                                                                                                                   |           |                   |  |             |  |                                                                                                                                                                                                                                                                                                                                                                                                                                                                                                                                                                                                                                                                                                                                                                                                                                                                                                                                                                                                                                                                                                                                                                                                                                                                                                                                                                                                                                                                                                                                                                                                                            |                                |  |                                        |  |                                                                                                   |             |                                                                                                                     |           |                                                                                                                     |           |                                                                                                                     |           |                                                                                                                     |           |                                                                                                                   |           |                                                                                                               |           |                                                                                                                   |           |                   |  |             |  |                                                                                                                                                                                                                                                                                                                                                                                                                                                                                                                                                                                                                                                                                                                                                                                                                                                                                                                                                                                                                                                                                                                                                                                                                                                                                                                                                                                                                                                                                                                                                                                                                            |                                |  |                                        |  |                                                                                                   |             |                                                                                                                     |           |                                                                                                                     |           |                                                                                                                     |           |                                                                                                                     |           |                                                                                                                   |           |                                                                                                               |           |                                                                                                                   |           |                   |  |             |  |                                                                                                                                                                                                                                                                                                                                                                                                                                                                                                                                                                                                                                                                                                                                                                                                                                                                                                                                                                                                                                                                                                                                                                                                                                                                                                                                                                                                                                                                                                                                                                                                                            |                                |  |                                        |  |                                                                                                   |             |                                                                                                                     |           |                                                                                                                     |           |                                                                                                                     |           |                                                                                                                     |           |                                                                                                                   |           |                                                                                                               |           |                                                                                                                   |           |                   |  |             |  |                                                                                                                                                                                                                                                                                                                                                                                                                                                                                                                                                                                                                                                                                                                                                                                                                                                                                                                                                                                                                                                                                                                                                                                                                                                                                                                                                                                                                                                                                                                                                                                                                            |                                |  |                                        |  |                                                                                                   |             |                                                                                                                     |           |                                                                                                                     |           |                                                                                                                     |           |                                                                                                                     |           |                                                                                                                   |           |                                                                                                               |           |                                                                                                                   |           |                   |  |             |  |                                                                                                                                                                                                                                                                                                                                                                                                                                                                                                                                                                   |                                |  |                                        |  |                                                                                                   |             |                                                                                                                     |           |                              |
|  0x262C   9772                                                                                                                                                                                                                                                                                                                                                                                                                                                                                                                                                                                                                                                                                                                                                                                                                                                                                                                                                                                                                                                                                                                                                                                                                                                                                                                                                                           | Procedure >                        |  |                                        |  |                                                                                                                     |           |                                                                                                                     |           |                                                                                                                     |           |                                                                                                                     |           |                                                                                                                   |          |                                                                                                                   |          |                                                                                                                         |           |                   |  |             |  |                                                                                                                                                                                                                                                                                                                                                                                                                                                                                                                                                                                                                                                                                                                                                                                                                                                                                                                                                                                                                                                                                                                                                                                                                                                                                                                                                                                                                                                                                                                                                                                                                               |                                |  |                                        |  |                                                                                                                     |           |                                                                                                                     |          |                                                                                                                     |           |                                                                                                                         |          |                                                                                                                   |           |                                                                                                                  |           |                                                                                                                            |           |                                                                                                                      |          |                   |  |                                                                                                                                                                                                                                                                                                                                                                                                                                                                                                                                                                                                                                                                                                                                                                                                                                                                                                                                                                                                                                                                                                                                                                                                                                                                                                                                                                                                                                                                                                                                                                                                                                                                       |                                |                                                                                                                                                                                                                                                                                                                                                                                                                                                                                                                                                                                                                                                                                                                                                                                                                                                                                                                                                                                                                                                                                                                                                                                                                                                                                                                                                                                                                                                                                                                                                                                                                                          |                                        |  |                                                                                                 |          |                                                                                                                    |                                    |                                                                                                                     |           |                                                                                                                       |           |                                                                                                                       |                                  |                                                                                                                        |           |                                                                                                                           |           |                                                                                                                    |           |                                                                                                                     |           |                   |  |                                                                                                                                                                                                                                                                                                                                                                                                                                                                                                                                                                                                                                                                                                                                                                                                                                                                                                                                                                                                                                                                                                                                                                                                                                                                                                                                                                                                                                                                                                                                                                                                                        |                                |                                                                                                                                                                                                                                                                                                                                                                                                                                                                                                                                                                                                                                                                                                                                                                                                                                                                                                                                                                                                                                                                                                                                                                                                                                                                                                                                                                                                                                                                                                                                                                                                                                                              |                                        |  |                                                                                                   |          |                                                                                                                     |           |                                                                                                                           |           |                                                                                                                     |           |                                                                                                                      |           |                                                                                                                       |           |                                                                                                                       |           |                                                                                                                     |           |                                                                                                                 |           |                   |  |             |  |                                                                                                                                                                                                                                                                                                                                                                                                                                                                                                                                                                                                                                                                                                                                                                                                                                                                                                                                                                                                                                                                                                                                                                                                                                                                                                                                                                                                                                                                                                                                                                                                                            |                                |  |                                        |  |                                                                                                   |             |                                                                                                                     |           |                                                                                                                     |           |                                                                                                                     |           |                                                                                                                     |           |                                                                                                                   |           |                                                                                                               |           |                                                                                                                   |           |                   |  |             |  |                                                                                                                                                                                                                                                                                                                                                                                                                                                                                                                                                                                                                                                                                                                                                                                                                                                                                                                                                                                                                                                                                                                                                                                                                                                                                                                                                                                                                                                                                                                                                                                                                            |                                |  |                                        |  |                                                                                                   |             |                                                                                                                     |           |                                                                                                                     |           |                                                                                                                     |           |                                                                                                                     |           |                                                                                                                   |           |                                                                                                               |           |                                                                                                                   |           |                   |  |             |  |                                                                                                                                                                                                                                                                                                                                                                                                                                                                                                                                                                                                                                                                                                                                                                                                                                                                                                                                                                                                                                                                                                                                                                                                                                                                                                                                                                                                                                                                                                                                                                                                                            |                                |  |                                        |  |                                                                                                   |             |                                                                                                                     |           |                                                                                                                     |           |                                                                                                                     |           |                                                                                                                     |           |                                                                                                                   |           |                                                                                                               |           |                                                                                                                   |           |                   |  |             |  |                                                                                                                                                                                                                                                                                                                                                                                                                                                                                                                                                                                                                                                                                                                                                                                                                                                                                                                                                                                                                                                                                                                                                                                                                                                                                                                                                                                                                                                                                                                                                                                                                            |                                |  |                                        |  |                                                                                                   |             |                                                                                                                     |           |                                                                                                                     |           |                                                                                                                     |           |                                                                                                                     |           |                                                                                                                   |           |                                                                                                               |           |                                                                                                                   |           |                   |  |             |  |                                                                                                                                                                                                                                                                                                                                                                                                                                                                                                                                                                                                                                                                                                                                                                                                                                                                                                                                                                                                                                                                                                                                                                                                                                                                                                                                                                                                                                                                                                                                                                                                                            |                                |  |                                        |  |                                                                                                   |             |                                                                                                                     |           |                                                                                                                     |           |                                                                                                                     |           |                                                                                                                     |           |                                                                                                                   |           |                                                                                                               |           |                                                                                                                   |           |                   |  |             |  |                                                                                                                                                                                                                                                                                                                                                                                                                                                                                                                                                                   |                                |  |                                        |  |                                                                                                   |             |                                                                                                                     |           |                              |
|  PV1FuseCheckEn<br>0x262F   9775                                                                                                                                                                                                                                                                                                                                                                                                                                                                                                                                                                                                                                                                                                                                                                                                                                                                                                                                                                                                                                                                                                                                                                                                                                                                                                                                                         | Disable >                          |  |                                        |  |                                                                                                                     |           |                                                                                                                     |           |                                                                                                                     |           |                                                                                                                     |           |                                                                                                                   |          |                                                                                                                   |          |                                                                                                                         |           |                   |  |             |  |                                                                                                                                                                                                                                                                                                                                                                                                                                                                                                                                                                                                                                                                                                                                                                                                                                                                                                                                                                                                                                                                                                                                                                                                                                                                                                                                                                                                                                                                                                                                                                                                                               |                                |  |                                        |  |                                                                                                                     |           |                                                                                                                     |          |                                                                                                                     |           |                                                                                                                         |          |                                                                                                                   |           |                                                                                                                  |           |                                                                                                                            |           |                                                                                                                      |          |                   |  |                                                                                                                                                                                                                                                                                                                                                                                                                                                                                                                                                                                                                                                                                                                                                                                                                                                                                                                                                                                                                                                                                                                                                                                                                                                                                                                                                                                                                                                                                                                                                                                                                                                                       |                                |                                                                                                                                                                                                                                                                                                                                                                                                                                                                                                                                                                                                                                                                                                                                                                                                                                                                                                                                                                                                                                                                                                                                                                                                                                                                                                                                                                                                                                                                                                                                                                                                                                          |                                        |  |                                                                                                 |          |                                                                                                                    |                                    |                                                                                                                     |           |                                                                                                                       |           |                                                                                                                       |                                  |                                                                                                                        |           |                                                                                                                           |           |                                                                                                                    |           |                                                                                                                     |           |                   |  |                                                                                                                                                                                                                                                                                                                                                                                                                                                                                                                                                                                                                                                                                                                                                                                                                                                                                                                                                                                                                                                                                                                                                                                                                                                                                                                                                                                                                                                                                                                                                                                                                        |                                |                                                                                                                                                                                                                                                                                                                                                                                                                                                                                                                                                                                                                                                                                                                                                                                                                                                                                                                                                                                                                                                                                                                                                                                                                                                                                                                                                                                                                                                                                                                                                                                                                                                              |                                        |  |                                                                                                   |          |                                                                                                                     |           |                                                                                                                           |           |                                                                                                                     |           |                                                                                                                      |           |                                                                                                                       |           |                                                                                                                       |           |                                                                                                                     |           |                                                                                                                 |           |                   |  |             |  |                                                                                                                                                                                                                                                                                                                                                                                                                                                                                                                                                                                                                                                                                                                                                                                                                                                                                                                                                                                                                                                                                                                                                                                                                                                                                                                                                                                                                                                                                                                                                                                                                            |                                |  |                                        |  |                                                                                                   |             |                                                                                                                     |           |                                                                                                                     |           |                                                                                                                     |           |                                                                                                                     |           |                                                                                                                   |           |                                                                                                               |           |                                                                                                                   |           |                   |  |             |  |                                                                                                                                                                                                                                                                                                                                                                                                                                                                                                                                                                                                                                                                                                                                                                                                                                                                                                                                                                                                                                                                                                                                                                                                                                                                                                                                                                                                                                                                                                                                                                                                                            |                                |  |                                        |  |                                                                                                   |             |                                                                                                                     |           |                                                                                                                     |           |                                                                                                                     |           |                                                                                                                     |           |                                                                                                                   |           |                                                                                                               |           |                                                                                                                   |           |                   |  |             |  |                                                                                                                                                                                                                                                                                                                                                                                                                                                                                                                                                                                                                                                                                                                                                                                                                                                                                                                                                                                                                                                                                                                                                                                                                                                                                                                                                                                                                                                                                                                                                                                                                            |                                |  |                                        |  |                                                                                                   |             |                                                                                                                     |           |                                                                                                                     |           |                                                                                                                     |           |                                                                                                                     |           |                                                                                                                   |           |                                                                                                               |           |                                                                                                                   |           |                   |  |             |  |                                                                                                                                                                                                                                                                                                                                                                                                                                                                                                                                                                                                                                                                                                                                                                                                                                                                                                                                                                                                                                                                                                                                                                                                                                                                                                                                                                                                                                                                                                                                                                                                                            |                                |  |                                        |  |                                                                                                   |             |                                                                                                                     |           |                                                                                                                     |           |                                                                                                                     |           |                                                                                                                     |           |                                                                                                                   |           |                                                                                                               |           |                                                                                                                   |           |                   |  |             |  |                                                                                                                                                                                                                                                                                                                                                                                                                                                                                                                                                                                                                                                                                                                                                                                                                                                                                                                                                                                                                                                                                                                                                                                                                                                                                                                                                                                                                                                                                                                                                                                                                            |                                |  |                                        |  |                                                                                                   |             |                                                                                                                     |           |                                                                                                                     |           |                                                                                                                     |           |                                                                                                                     |           |                                                                                                                   |           |                                                                                                               |           |                                                                                                                   |           |                   |  |             |  |                                                                                                                                                                                                                                                                                                                                                                                                                                                                                                                                                                   |                                |  |                                        |  |                                                                                                   |             |                                                                                                                     |           |                              |
|  PV2FuseCheckEn<br>0x2630   9776                                                                                                                                                                                                                                                                                                                                                                                                                                                                                                                                                                                                                                                                                                                                                                                                                                                                                                                                                                                                                                                                                                                                                                                                                                                                                                                                                         | Disable >                          |  |                                        |  |                                                                                                                     |           |                                                                                                                     |           |                                                                                                                     |           |                                                                                                                     |           |                                                                                                                   |          |                                                                                                                   |          |                                                                                                                         |           |                   |  |             |  |                                                                                                                                                                                                                                                                                                                                                                                                                                                                                                                                                                                                                                                                                                                                                                                                                                                                                                                                                                                                                                                                                                                                                                                                                                                                                                                                                                                                                                                                                                                                                                                                                               |                                |  |                                        |  |                                                                                                                     |           |                                                                                                                     |          |                                                                                                                     |           |                                                                                                                         |          |                                                                                                                   |           |                                                                                                                  |           |                                                                                                                            |           |                                                                                                                      |          |                   |  |                                                                                                                                                                                                                                                                                                                                                                                                                                                                                                                                                                                                                                                                                                                                                                                                                                                                                                                                                                                                                                                                                                                                                                                                                                                                                                                                                                                                                                                                                                                                                                                                                                                                       |                                |                                                                                                                                                                                                                                                                                                                                                                                                                                                                                                                                                                                                                                                                                                                                                                                                                                                                                                                                                                                                                                                                                                                                                                                                                                                                                                                                                                                                                                                                                                                                                                                                                                          |                                        |  |                                                                                                 |          |                                                                                                                    |                                    |                                                                                                                     |           |                                                                                                                       |           |                                                                                                                       |                                  |                                                                                                                        |           |                                                                                                                           |           |                                                                                                                    |           |                                                                                                                     |           |                   |  |                                                                                                                                                                                                                                                                                                                                                                                                                                                                                                                                                                                                                                                                                                                                                                                                                                                                                                                                                                                                                                                                                                                                                                                                                                                                                                                                                                                                                                                                                                                                                                                                                        |                                |                                                                                                                                                                                                                                                                                                                                                                                                                                                                                                                                                                                                                                                                                                                                                                                                                                                                                                                                                                                                                                                                                                                                                                                                                                                                                                                                                                                                                                                                                                                                                                                                                                                              |                                        |  |                                                                                                   |          |                                                                                                                     |           |                                                                                                                           |           |                                                                                                                     |           |                                                                                                                      |           |                                                                                                                       |           |                                                                                                                       |           |                                                                                                                     |           |                                                                                                                 |           |                   |  |             |  |                                                                                                                                                                                                                                                                                                                                                                                                                                                                                                                                                                                                                                                                                                                                                                                                                                                                                                                                                                                                                                                                                                                                                                                                                                                                                                                                                                                                                                                                                                                                                                                                                            |                                |  |                                        |  |                                                                                                   |             |                                                                                                                     |           |                                                                                                                     |           |                                                                                                                     |           |                                                                                                                     |           |                                                                                                                   |           |                                                                                                               |           |                                                                                                                   |           |                   |  |             |  |                                                                                                                                                                                                                                                                                                                                                                                                                                                                                                                                                                                                                                                                                                                                                                                                                                                                                                                                                                                                                                                                                                                                                                                                                                                                                                                                                                                                                                                                                                                                                                                                                            |                                |  |                                        |  |                                                                                                   |             |                                                                                                                     |           |                                                                                                                     |           |                                                                                                                     |           |                                                                                                                     |           |                                                                                                                   |           |                                                                                                               |           |                                                                                                                   |           |                   |  |             |  |                                                                                                                                                                                                                                                                                                                                                                                                                                                                                                                                                                                                                                                                                                                                                                                                                                                                                                                                                                                                                                                                                                                                                                                                                                                                                                                                                                                                                                                                                                                                                                                                                            |                                |  |                                        |  |                                                                                                   |             |                                                                                                                     |           |                                                                                                                     |           |                                                                                                                     |           |                                                                                                                     |           |                                                                                                                   |           |                                                                                                               |           |                                                                                                                   |           |                   |  |             |  |                                                                                                                                                                                                                                                                                                                                                                                                                                                                                                                                                                                                                                                                                                                                                                                                                                                                                                                                                                                                                                                                                                                                                                                                                                                                                                                                                                                                                                                                                                                                                                                                                            |                                |  |                                        |  |                                                                                                   |             |                                                                                                                     |           |                                                                                                                     |           |                                                                                                                     |           |                                                                                                                     |           |                                                                                                                   |           |                                                                                                               |           |                                                                                                                   |           |                   |  |             |  |                                                                                                                                                                                                                                                                                                                                                                                                                                                                                                                                                                                                                                                                                                                                                                                                                                                                                                                                                                                                                                                                                                                                                                                                                                                                                                                                                                                                                                                                                                                                                                                                                            |                                |  |                                        |  |                                                                                                   |             |                                                                                                                     |           |                                                                                                                     |           |                                                                                                                     |           |                                                                                                                     |           |                                                                                                                   |           |                                                                                                               |           |                                                                                                                   |           |                   |  |             |  |                                                                                                                                                                                                                                                                                                                                                                                                                                                                                                                                                                   |                                |  |                                        |  |                                                                                                   |             |                                                                                                                     |           |                              |
|  PV3FuseCheckEn<br>0x2631   9777                                                                                                                                                                                                                                                                                                                                                                                                                                                                                                                                                                                                                                                                                                                                                                                                                                                                                                                                                                                                                                                                                                                                                                                                                                                                                                                                                         | Disable >                          |  |                                        |  |                                                                                                                     |           |                                                                                                                     |           |                                                                                                                     |           |                                                                                                                     |           |                                                                                                                   |          |                                                                                                                   |          |                                                                                                                         |           |                   |  |             |  |                                                                                                                                                                                                                                                                                                                                                                                                                                                                                                                                                                                                                                                                                                                                                                                                                                                                                                                                                                                                                                                                                                                                                                                                                                                                                                                                                                                                                                                                                                                                                                                                                               |                                |  |                                        |  |                                                                                                                     |           |                                                                                                                     |          |                                                                                                                     |           |                                                                                                                         |          |                                                                                                                   |           |                                                                                                                  |           |                                                                                                                            |           |                                                                                                                      |          |                   |  |                                                                                                                                                                                                                                                                                                                                                                                                                                                                                                                                                                                                                                                                                                                                                                                                                                                                                                                                                                                                                                                                                                                                                                                                                                                                                                                                                                                                                                                                                                                                                                                                                                                                       |                                |                                                                                                                                                                                                                                                                                                                                                                                                                                                                                                                                                                                                                                                                                                                                                                                                                                                                                                                                                                                                                                                                                                                                                                                                                                                                                                                                                                                                                                                                                                                                                                                                                                          |                                        |  |                                                                                                 |          |                                                                                                                    |                                    |                                                                                                                     |           |                                                                                                                       |           |                                                                                                                       |                                  |                                                                                                                        |           |                                                                                                                           |           |                                                                                                                    |           |                                                                                                                     |           |                   |  |                                                                                                                                                                                                                                                                                                                                                                                                                                                                                                                                                                                                                                                                                                                                                                                                                                                                                                                                                                                                                                                                                                                                                                                                                                                                                                                                                                                                                                                                                                                                                                                                                        |                                |                                                                                                                                                                                                                                                                                                                                                                                                                                                                                                                                                                                                                                                                                                                                                                                                                                                                                                                                                                                                                                                                                                                                                                                                                                                                                                                                                                                                                                                                                                                                                                                                                                                              |                                        |  |                                                                                                   |          |                                                                                                                     |           |                                                                                                                           |           |                                                                                                                     |           |                                                                                                                      |           |                                                                                                                       |           |                                                                                                                       |           |                                                                                                                     |           |                                                                                                                 |           |                   |  |             |  |                                                                                                                                                                                                                                                                                                                                                                                                                                                                                                                                                                                                                                                                                                                                                                                                                                                                                                                                                                                                                                                                                                                                                                                                                                                                                                                                                                                                                                                                                                                                                                                                                            |                                |  |                                        |  |                                                                                                   |             |                                                                                                                     |           |                                                                                                                     |           |                                                                                                                     |           |                                                                                                                     |           |                                                                                                                   |           |                                                                                                               |           |                                                                                                                   |           |                   |  |             |  |                                                                                                                                                                                                                                                                                                                                                                                                                                                                                                                                                                                                                                                                                                                                                                                                                                                                                                                                                                                                                                                                                                                                                                                                                                                                                                                                                                                                                                                                                                                                                                                                                            |                                |  |                                        |  |                                                                                                   |             |                                                                                                                     |           |                                                                                                                     |           |                                                                                                                     |           |                                                                                                                     |           |                                                                                                                   |           |                                                                                                               |           |                                                                                                                   |           |                   |  |             |  |                                                                                                                                                                                                                                                                                                                                                                                                                                                                                                                                                                                                                                                                                                                                                                                                                                                                                                                                                                                                                                                                                                                                                                                                                                                                                                                                                                                                                                                                                                                                                                                                                            |                                |  |                                        |  |                                                                                                   |             |                                                                                                                     |           |                                                                                                                     |           |                                                                                                                     |           |                                                                                                                     |           |                                                                                                                   |           |                                                                                                               |           |                                                                                                                   |           |                   |  |             |  |                                                                                                                                                                                                                                                                                                                                                                                                                                                                                                                                                                                                                                                                                                                                                                                                                                                                                                                                                                                                                                                                                                                                                                                                                                                                                                                                                                                                                                                                                                                                                                                                                            |                                |  |                                        |  |                                                                                                   |             |                                                                                                                     |           |                                                                                                                     |           |                                                                                                                     |           |                                                                                                                     |           |                                                                                                                   |           |                                                                                                               |           |                                                                                                                   |           |                   |  |             |  |                                                                                                                                                                                                                                                                                                                                                                                                                                                                                                                                                                                                                                                                                                                                                                                                                                                                                                                                                                                                                                                                                                                                                                                                                                                                                                                                                                                                                                                                                                                                                                                                                            |                                |  |                                        |  |                                                                                                   |             |                                                                                                                     |           |                                                                                                                     |           |                                                                                                                     |           |                                                                                                                     |           |                                                                                                                   |           |                                                                                                               |           |                                                                                                                   |           |                   |  |             |  |                                                                                                                                                                                                                                                                                                                                                                                                                                                                                                                                                                   |                                |  |                                        |  |                                                                                                   |             |                                                                                                                     |           |                              |
|  PV4FuseCheckEn<br>0x2632   9778                                                                                                                                                                                                                                                                                                                                                                                                                                                                                                                                                                                                                                                                                                                                                                                                                                                                                                                                                                                                                                                                                                                                                                                                                                                                                                                                                         | Disable >                          |  |                                        |  |                                                                                                                     |           |                                                                                                                     |           |                                                                                                                     |           |                                                                                                                     |           |                                                                                                                   |          |                                                                                                                   |          |                                                                                                                         |           |                   |  |             |  |                                                                                                                                                                                                                                                                                                                                                                                                                                                                                                                                                                                                                                                                                                                                                                                                                                                                                                                                                                                                                                                                                                                                                                                                                                                                                                                                                                                                                                                                                                                                                                                                                               |                                |  |                                        |  |                                                                                                                     |           |                                                                                                                     |          |                                                                                                                     |           |                                                                                                                         |          |                                                                                                                   |           |                                                                                                                  |           |                                                                                                                            |           |                                                                                                                      |          |                   |  |                                                                                                                                                                                                                                                                                                                                                                                                                                                                                                                                                                                                                                                                                                                                                                                                                                                                                                                                                                                                                                                                                                                                                                                                                                                                                                                                                                                                                                                                                                                                                                                                                                                                       |                                |                                                                                                                                                                                                                                                                                                                                                                                                                                                                                                                                                                                                                                                                                                                                                                                                                                                                                                                                                                                                                                                                                                                                                                                                                                                                                                                                                                                                                                                                                                                                                                                                                                          |                                        |  |                                                                                                 |          |                                                                                                                    |                                    |                                                                                                                     |           |                                                                                                                       |           |                                                                                                                       |                                  |                                                                                                                        |           |                                                                                                                           |           |                                                                                                                    |           |                                                                                                                     |           |                   |  |                                                                                                                                                                                                                                                                                                                                                                                                                                                                                                                                                                                                                                                                                                                                                                                                                                                                                                                                                                                                                                                                                                                                                                                                                                                                                                                                                                                                                                                                                                                                                                                                                        |                                |                                                                                                                                                                                                                                                                                                                                                                                                                                                                                                                                                                                                                                                                                                                                                                                                                                                                                                                                                                                                                                                                                                                                                                                                                                                                                                                                                                                                                                                                                                                                                                                                                                                              |                                        |  |                                                                                                   |          |                                                                                                                     |           |                                                                                                                           |           |                                                                                                                     |           |                                                                                                                      |           |                                                                                                                       |           |                                                                                                                       |           |                                                                                                                     |           |                                                                                                                 |           |                   |  |             |  |                                                                                                                                                                                                                                                                                                                                                                                                                                                                                                                                                                                                                                                                                                                                                                                                                                                                                                                                                                                                                                                                                                                                                                                                                                                                                                                                                                                                                                                                                                                                                                                                                            |                                |  |                                        |  |                                                                                                   |             |                                                                                                                     |           |                                                                                                                     |           |                                                                                                                     |           |                                                                                                                     |           |                                                                                                                   |           |                                                                                                               |           |                                                                                                                   |           |                   |  |             |  |                                                                                                                                                                                                                                                                                                                                                                                                                                                                                                                                                                                                                                                                                                                                                                                                                                                                                                                                                                                                                                                                                                                                                                                                                                                                                                                                                                                                                                                                                                                                                                                                                            |                                |  |                                        |  |                                                                                                   |             |                                                                                                                     |           |                                                                                                                     |           |                                                                                                                     |           |                                                                                                                     |           |                                                                                                                   |           |                                                                                                               |           |                                                                                                                   |           |                   |  |             |  |                                                                                                                                                                                                                                                                                                                                                                                                                                                                                                                                                                                                                                                                                                                                                                                                                                                                                                                                                                                                                                                                                                                                                                                                                                                                                                                                                                                                                                                                                                                                                                                                                            |                                |  |                                        |  |                                                                                                   |             |                                                                                                                     |           |                                                                                                                     |           |                                                                                                                     |           |                                                                                                                     |           |                                                                                                                   |           |                                                                                                               |           |                                                                                                                   |           |                   |  |             |  |                                                                                                                                                                                                                                                                                                                                                                                                                                                                                                                                                                                                                                                                                                                                                                                                                                                                                                                                                                                                                                                                                                                                                                                                                                                                                                                                                                                                                                                                                                                                                                                                                            |                                |  |                                        |  |                                                                                                   |             |                                                                                                                     |           |                                                                                                                     |           |                                                                                                                     |           |                                                                                                                     |           |                                                                                                                   |           |                                                                                                               |           |                                                                                                                   |           |                   |  |             |  |                                                                                                                                                                                                                                                                                                                                                                                                                                                                                                                                                                                                                                                                                                                                                                                                                                                                                                                                                                                                                                                                                                                                                                                                                                                                                                                                                                                                                                                                                                                                                                                                                            |                                |  |                                        |  |                                                                                                   |             |                                                                                                                     |           |                                                                                                                     |           |                                                                                                                     |           |                                                                                                                     |           |                                                                                                                   |           |                                                                                                               |           |                                                                                                                   |           |                   |  |             |  |                                                                                                                                                                                                                                                                                                                                                                                                                                                                                                                                                                   |                                |  |                                        |  |                                                                                                   |             |                                                                                                                     |           |                              |
|  ResProtectEn<br>0x2655   9813                                                                                                                                                                                                                                                                                                                                                                                                                                                                                                                                                                                                                                                                                                                                                                                                                                                                                                                                                                                                                                                                                                                                                                                                                                                                                                                                                           | Disable >                          |  |                                        |  |                                                                                                                     |           |                                                                                                                     |           |                                                                                                                     |           |                                                                                                                     |           |                                                                                                                   |          |                                                                                                                   |          |                                                                                                                         |           |                   |  |             |  |                                                                                                                                                                                                                                                                                                                                                                                                                                                                                                                                                                                                                                                                                                                                                                                                                                                                                                                                                                                                                                                                                                                                                                                                                                                                                                                                                                                                                                                                                                                                                                                                                               |                                |  |                                        |  |                                                                                                                     |           |                                                                                                                     |          |                                                                                                                     |           |                                                                                                                         |          |                                                                                                                   |           |                                                                                                                  |           |                                                                                                                            |           |                                                                                                                      |          |                   |  |                                                                                                                                                                                                                                                                                                                                                                                                                                                                                                                                                                                                                                                                                                                                                                                                                                                                                                                                                                                                                                                                                                                                                                                                                                                                                                                                                                                                                                                                                                                                                                                                                                                                       |                                |                                                                                                                                                                                                                                                                                                                                                                                                                                                                                                                                                                                                                                                                                                                                                                                                                                                                                                                                                                                                                                                                                                                                                                                                                                                                                                                                                                                                                                                                                                                                                                                                                                          |                                        |  |                                                                                                 |          |                                                                                                                    |                                    |                                                                                                                     |           |                                                                                                                       |           |                                                                                                                       |                                  |                                                                                                                        |           |                                                                                                                           |           |                                                                                                                    |           |                                                                                                                     |           |                   |  |                                                                                                                                                                                                                                                                                                                                                                                                                                                                                                                                                                                                                                                                                                                                                                                                                                                                                                                                                                                                                                                                                                                                                                                                                                                                                                                                                                                                                                                                                                                                                                                                                        |                                |                                                                                                                                                                                                                                                                                                                                                                                                                                                                                                                                                                                                                                                                                                                                                                                                                                                                                                                                                                                                                                                                                                                                                                                                                                                                                                                                                                                                                                                                                                                                                                                                                                                              |                                        |  |                                                                                                   |          |                                                                                                                     |           |                                                                                                                           |           |                                                                                                                     |           |                                                                                                                      |           |                                                                                                                       |           |                                                                                                                       |           |                                                                                                                     |           |                                                                                                                 |           |                   |  |             |  |                                                                                                                                                                                                                                                                                                                                                                                                                                                                                                                                                                                                                                                                                                                                                                                                                                                                                                                                                                                                                                                                                                                                                                                                                                                                                                                                                                                                                                                                                                                                                                                                                            |                                |  |                                        |  |                                                                                                   |             |                                                                                                                     |           |                                                                                                                     |           |                                                                                                                     |           |                                                                                                                     |           |                                                                                                                   |           |                                                                                                               |           |                                                                                                                   |           |                   |  |             |  |                                                                                                                                                                                                                                                                                                                                                                                                                                                                                                                                                                                                                                                                                                                                                                                                                                                                                                                                                                                                                                                                                                                                                                                                                                                                                                                                                                                                                                                                                                                                                                                                                            |                                |  |                                        |  |                                                                                                   |             |                                                                                                                     |           |                                                                                                                     |           |                                                                                                                     |           |                                                                                                                     |           |                                                                                                                   |           |                                                                                                               |           |                                                                                                                   |           |                   |  |             |  |                                                                                                                                                                                                                                                                                                                                                                                                                                                                                                                                                                                                                                                                                                                                                                                                                                                                                                                                                                                                                                                                                                                                                                                                                                                                                                                                                                                                                                                                                                                                                                                                                            |                                |  |                                        |  |                                                                                                   |             |                                                                                                                     |           |                                                                                                                     |           |                                                                                                                     |           |                                                                                                                     |           |                                                                                                                   |           |                                                                                                               |           |                                                                                                                   |           |                   |  |             |  |                                                                                                                                                                                                                                                                                                                                                                                                                                                                                                                                                                                                                                                                                                                                                                                                                                                                                                                                                                                                                                                                                                                                                                                                                                                                                                                                                                                                                                                                                                                                                                                                                            |                                |  |                                        |  |                                                                                                   |             |                                                                                                                     |           |                                                                                                                     |           |                                                                                                                     |           |                                                                                                                     |           |                                                                                                                   |           |                                                                                                               |           |                                                                                                                   |           |                   |  |             |  |                                                                                                                                                                                                                                                                                                                                                                                                                                                                                                                                                                                                                                                                                                                                                                                                                                                                                                                                                                                                                                                                                                                                                                                                                                                                                                                                                                                                                                                                                                                                                                                                                            |                                |  |                                        |  |                                                                                                   |             |                                                                                                                     |           |                                                                                                                     |           |                                                                                                                     |           |                                                                                                                     |           |                                                                                                                   |           |                                                                                                               |           |                                                                                                                   |           |                   |  |             |  |                                                                                                                                                                                                                                                                                                                                                                                                                                                                                                                                                                   |                                |  |                                        |  |                                                                                                   |             |                                                                                                                     |           |                              |
|  PF = 0,4<br>0x2659   9817                                                                                                                                                                                                                                                                                                                                                                                                                                                                                                                                                                                                                                                                                                                                                                                                                                                                                                                                                                                                                                                                                                                                                                                                                                                                                                                                                               | Disable >                          |  |                                        |  |                                                                                                                     |           |                                                                                                                     |           |                                                                                                                     |           |                                                                                                                     |           |                                                                                                                   |          |                                                                                                                   |          |                                                                                                                         |           |                   |  |             |  |                                                                                                                                                                                                                                                                                                                                                                                                                                                                                                                                                                                                                                                                                                                                                                                                                                                                                                                                                                                                                                                                                                                                                                                                                                                                                                                                                                                                                                                                                                                                                                                                                               |                                |  |                                        |  |                                                                                                                     |           |                                                                                                                     |          |                                                                                                                     |           |                                                                                                                         |          |                                                                                                                   |           |                                                                                                                  |           |                                                                                                                            |           |                                                                                                                      |          |                   |  |                                                                                                                                                                                                                                                                                                                                                                                                                                                                                                                                                                                                                                                                                                                                                                                                                                                                                                                                                                                                                                                                                                                                                                                                                                                                                                                                                                                                                                                                                                                                                                                                                                                                       |                                |                                                                                                                                                                                                                                                                                                                                                                                                                                                                                                                                                                                                                                                                                                                                                                                                                                                                                                                                                                                                                                                                                                                                                                                                                                                                                                                                                                                                                                                                                                                                                                                                                                          |                                        |  |                                                                                                 |          |                                                                                                                    |                                    |                                                                                                                     |           |                                                                                                                       |           |                                                                                                                       |                                  |                                                                                                                        |           |                                                                                                                           |           |                                                                                                                    |           |                                                                                                                     |           |                   |  |                                                                                                                                                                                                                                                                                                                                                                                                                                                                                                                                                                                                                                                                                                                                                                                                                                                                                                                                                                                                                                                                                                                                                                                                                                                                                                                                                                                                                                                                                                                                                                                                                        |                                |                                                                                                                                                                                                                                                                                                                                                                                                                                                                                                                                                                                                                                                                                                                                                                                                                                                                                                                                                                                                                                                                                                                                                                                                                                                                                                                                                                                                                                                                                                                                                                                                                                                              |                                        |  |                                                                                                   |          |                                                                                                                     |           |                                                                                                                           |           |                                                                                                                     |           |                                                                                                                      |           |                                                                                                                       |           |                                                                                                                       |           |                                                                                                                     |           |                                                                                                                 |           |                   |  |             |  |                                                                                                                                                                                                                                                                                                                                                                                                                                                                                                                                                                                                                                                                                                                                                                                                                                                                                                                                                                                                                                                                                                                                                                                                                                                                                                                                                                                                                                                                                                                                                                                                                            |                                |  |                                        |  |                                                                                                   |             |                                                                                                                     |           |                                                                                                                     |           |                                                                                                                     |           |                                                                                                                     |           |                                                                                                                   |           |                                                                                                               |           |                                                                                                                   |           |                   |  |             |  |                                                                                                                                                                                                                                                                                                                                                                                                                                                                                                                                                                                                                                                                                                                                                                                                                                                                                                                                                                                                                                                                                                                                                                                                                                                                                                                                                                                                                                                                                                                                                                                                                            |                                |  |                                        |  |                                                                                                   |             |                                                                                                                     |           |                                                                                                                     |           |                                                                                                                     |           |                                                                                                                     |           |                                                                                                                   |           |                                                                                                               |           |                                                                                                                   |           |                   |  |             |  |                                                                                                                                                                                                                                                                                                                                                                                                                                                                                                                                                                                                                                                                                                                                                                                                                                                                                                                                                                                                                                                                                                                                                                                                                                                                                                                                                                                                                                                                                                                                                                                                                            |                                |  |                                        |  |                                                                                                   |             |                                                                                                                     |           |                                                                                                                     |           |                                                                                                                     |           |                                                                                                                     |           |                                                                                                                   |           |                                                                                                               |           |                                                                                                                   |           |                   |  |             |  |                                                                                                                                                                                                                                                                                                                                                                                                                                                                                                                                                                                                                                                                                                                                                                                                                                                                                                                                                                                                                                                                                                                                                                                                                                                                                                                                                                                                                                                                                                                                                                                                                            |                                |  |                                        |  |                                                                                                   |             |                                                                                                                     |           |                                                                                                                     |           |                                                                                                                     |           |                                                                                                                     |           |                                                                                                                   |           |                                                                                                               |           |                                                                                                                   |           |                   |  |             |  |                                                                                                                                                                                                                                                                                                                                                                                                                                                                                                                                                                                                                                                                                                                                                                                                                                                                                                                                                                                                                                                                                                                                                                                                                                                                                                                                                                                                                                                                                                                                                                                                                            |                                |  |                                        |  |                                                                                                   |             |                                                                                                                     |           |                                                                                                                     |           |                                                                                                                     |           |                                                                                                                     |           |                                                                                                                   |           |                                                                                                               |           |                                                                                                                   |           |                   |  |             |  |                                                                                                                                                                                                                                                                                                                                                                                                                                                                                                                                                                   |                                |  |                                        |  |                                                                                                   |             |                                                                                                                     |           |                              |
|  AntiRefluxEn<br>0x265F   9823                                                                                                                                                                                                                                                                                                                                                                                                                                                                                                                                                                                                                                                                                                                                                                                                                                                                                                                                                                                                                                                                                                                                                                                                                                                                                                                                                           | Disable >                          |  |                                        |  |                                                                                                                     |           |                                                                                                                     |           |                                                                                                                     |           |                                                                                                                     |           |                                                                                                                   |          |                                                                                                                   |          |                                                                                                                         |           |                   |  |             |  |                                                                                                                                                                                                                                                                                                                                                                                                                                                                                                                                                                                                                                                                                                                                                                                                                                                                                                                                                                                                                                                                                                                                                                                                                                                                                                                                                                                                                                                                                                                                                                                                                               |                                |  |                                        |  |                                                                                                                     |           |                                                                                                                     |          |                                                                                                                     |           |                                                                                                                         |          |                                                                                                                   |           |                                                                                                                  |           |                                                                                                                            |           |                                                                                                                      |          |                   |  |                                                                                                                                                                                                                                                                                                                                                                                                                                                                                                                                                                                                                                                                                                                                                                                                                                                                                                                                                                                                                                                                                                                                                                                                                                                                                                                                                                                                                                                                                                                                                                                                                                                                       |                                |                                                                                                                                                                                                                                                                                                                                                                                                                                                                                                                                                                                                                                                                                                                                                                                                                                                                                                                                                                                                                                                                                                                                                                                                                                                                                                                                                                                                                                                                                                                                                                                                                                          |                                        |  |                                                                                                 |          |                                                                                                                    |                                    |                                                                                                                     |           |                                                                                                                       |           |                                                                                                                       |                                  |                                                                                                                        |           |                                                                                                                           |           |                                                                                                                    |           |                                                                                                                     |           |                   |  |                                                                                                                                                                                                                                                                                                                                                                                                                                                                                                                                                                                                                                                                                                                                                                                                                                                                                                                                                                                                                                                                                                                                                                                                                                                                                                                                                                                                                                                                                                                                                                                                                        |                                |                                                                                                                                                                                                                                                                                                                                                                                                                                                                                                                                                                                                                                                                                                                                                                                                                                                                                                                                                                                                                                                                                                                                                                                                                                                                                                                                                                                                                                                                                                                                                                                                                                                              |                                        |  |                                                                                                   |          |                                                                                                                     |           |                                                                                                                           |           |                                                                                                                     |           |                                                                                                                      |           |                                                                                                                       |           |                                                                                                                       |           |                                                                                                                     |           |                                                                                                                 |           |                   |  |             |  |                                                                                                                                                                                                                                                                                                                                                                                                                                                                                                                                                                                                                                                                                                                                                                                                                                                                                                                                                                                                                                                                                                                                                                                                                                                                                                                                                                                                                                                                                                                                                                                                                            |                                |  |                                        |  |                                                                                                   |             |                                                                                                                     |           |                                                                                                                     |           |                                                                                                                     |           |                                                                                                                     |           |                                                                                                                   |           |                                                                                                               |           |                                                                                                                   |           |                   |  |             |  |                                                                                                                                                                                                                                                                                                                                                                                                                                                                                                                                                                                                                                                                                                                                                                                                                                                                                                                                                                                                                                                                                                                                                                                                                                                                                                                                                                                                                                                                                                                                                                                                                            |                                |  |                                        |  |                                                                                                   |             |                                                                                                                     |           |                                                                                                                     |           |                                                                                                                     |           |                                                                                                                     |           |                                                                                                                   |           |                                                                                                               |           |                                                                                                                   |           |                   |  |             |  |                                                                                                                                                                                                                                                                                                                                                                                                                                                                                                                                                                                                                                                                                                                                                                                                                                                                                                                                                                                                                                                                                                                                                                                                                                                                                                                                                                                                                                                                                                                                                                                                                            |                                |  |                                        |  |                                                                                                   |             |                                                                                                                     |           |                                                                                                                     |           |                                                                                                                     |           |                                                                                                                     |           |                                                                                                                   |           |                                                                                                               |           |                                                                                                                   |           |                   |  |             |  |                                                                                                                                                                                                                                                                                                                                                                                                                                                                                                                                                                                                                                                                                                                                                                                                                                                                                                                                                                                                                                                                                                                                                                                                                                                                                                                                                                                                                                                                                                                                                                                                                            |                                |  |                                        |  |                                                                                                   |             |                                                                                                                     |           |                                                                                                                     |           |                                                                                                                     |           |                                                                                                                     |           |                                                                                                                   |           |                                                                                                               |           |                                                                                                                   |           |                   |  |             |  |                                                                                                                                                                                                                                                                                                                                                                                                                                                                                                                                                                                                                                                                                                                                                                                                                                                                                                                                                                                                                                                                                                                                                                                                                                                                                                                                                                                                                                                                                                                                                                                                                            |                                |  |                                        |  |                                                                                                   |             |                                                                                                                     |           |                                                                                                                     |           |                                                                                                                     |           |                                                                                                                     |           |                                                                                                                   |           |                                                                                                               |           |                                                                                                                   |           |                   |  |             |  |                                                                                                                                                                                                                                                                                                                                                                                                                                                                                                                                                                   |                                |  |                                        |  |                                                                                                   |             |                                                                                                                     |           |                              |
| ResProtectCapCurr                                                                                                                                                                                                                                                                                                                                                                                                                                                                                                                                                                                                                                                                                                                                                                                                                                                                                                                                                                                                                                                                                                                                                                                                                                                                                                                                                                                                                                                           |                                    |  |                                        |  |                                                                                                                     |           |                                                                                                                     |           |                                                                                                                     |           |                                                                                                                     |           |                                                                                                                   |          |                                                                                                                   |          |                                                                                                                         |           |                   |  |             |  |                                                                                                                                                                                                                                                                                                                                                                                                                                                                                                                                                                                                                                                                                                                                                                                                                                                                                                                                                                                                                                                                                                                                                                                                                                                                                                                                                                                                                                                                                                                                                                                                                               |                                |  |                                        |  |                                                                                                                     |           |                                                                                                                     |          |                                                                                                                     |           |                                                                                                                         |          |                                                                                                                   |           |                                                                                                                  |           |                                                                                                                            |           |                                                                                                                      |          |                   |  |                                                                                                                                                                                                                                                                                                                                                                                                                                                                                                                                                                                                                                                                                                                                                                                                                                                                                                                                                                                                                                                                                                                                                                                                                                                                                                                                                                                                                                                                                                                                                                                                                                                                       |                                |                                                                                                                                                                                                                                                                                                                                                                                                                                                                                                                                                                                                                                                                                                                                                                                                                                                                                                                                                                                                                                                                                                                                                                                                                                                                                                                                                                                                                                                                                                                                                                                                                                          |                                        |  |                                                                                                 |          |                                                                                                                    |                                    |                                                                                                                     |           |                                                                                                                       |           |                                                                                                                       |                                  |                                                                                                                        |           |                                                                                                                           |           |                                                                                                                    |           |                                                                                                                     |           |                   |  |                                                                                                                                                                                                                                                                                                                                                                                                                                                                                                                                                                                                                                                                                                                                                                                                                                                                                                                                                                                                                                                                                                                                                                                                                                                                                                                                                                                                                                                                                                                                                                                                                        |                                |                                                                                                                                                                                                                                                                                                                                                                                                                                                                                                                                                                                                                                                                                                                                                                                                                                                                                                                                                                                                                                                                                                                                                                                                                                                                                                                                                                                                                                                                                                                                                                                                                                                              |                                        |  |                                                                                                   |          |                                                                                                                     |           |                                                                                                                           |           |                                                                                                                     |           |                                                                                                                      |           |                                                                                                                       |           |                                                                                                                       |           |                                                                                                                     |           |                                                                                                                 |           |                   |  |             |  |                                                                                                                                                                                                                                                                                                                                                                                                                                                                                                                                                                                                                                                                                                                                                                                                                                                                                                                                                                                                                                                                                                                                                                                                                                                                                                                                                                                                                                                                                                                                                                                                                            |                                |  |                                        |  |                                                                                                   |             |                                                                                                                     |           |                                                                                                                     |           |                                                                                                                     |           |                                                                                                                     |           |                                                                                                                   |           |                                                                                                               |           |                                                                                                                   |           |                   |  |             |  |                                                                                                                                                                                                                                                                                                                                                                                                                                                                                                                                                                                                                                                                                                                                                                                                                                                                                                                                                                                                                                                                                                                                                                                                                                                                                                                                                                                                                                                                                                                                                                                                                            |                                |  |                                        |  |                                                                                                   |             |                                                                                                                     |           |                                                                                                                     |           |                                                                                                                     |           |                                                                                                                     |           |                                                                                                                   |           |                                                                                                               |           |                                                                                                                   |           |                   |  |             |  |                                                                                                                                                                                                                                                                                                                                                                                                                                                                                                                                                                                                                                                                                                                                                                                                                                                                                                                                                                                                                                                                                                                                                                                                                                                                                                                                                                                                                                                                                                                                                                                                                            |                                |  |                                        |  |                                                                                                   |             |                                                                                                                     |           |                                                                                                                     |           |                                                                                                                     |           |                                                                                                                     |           |                                                                                                                   |           |                                                                                                               |           |                                                                                                                   |           |                   |  |             |  |                                                                                                                                                                                                                                                                                                                                                                                                                                                                                                                                                                                                                                                                                                                                                                                                                                                                                                                                                                                                                                                                                                                                                                                                                                                                                                                                                                                                                                                                                                                                                                                                                            |                                |  |                                        |  |                                                                                                   |             |                                                                                                                     |           |                                                                                                                     |           |                                                                                                                     |           |                                                                                                                     |           |                                                                                                                   |           |                                                                                                               |           |                                                                                                                   |           |                   |  |             |  |                                                                                                                                                                                                                                                                                                                                                                                                                                                                                                                                                                                                                                                                                                                                                                                                                                                                                                                                                                                                                                                                                                                                                                                                                                                                                                                                                                                                                                                                                                                                                                                                                            |                                |  |                                        |  |                                                                                                   |             |                                                                                                                     |           |                                                                                                                     |           |                                                                                                                     |           |                                                                                                                     |           |                                                                                                                   |           |                                                                                                               |           |                                                                                                                   |           |                   |  |             |  |                                                                                                                                                                                                                                                                                                                                                                                                                                                                                                                                                                   |                                |  |                                        |  |                                                                                                   |             |                                                                                                                     |           |                              |
| <b>Read</b>                                                                                                                                                                                                                                                                                                                                                                                                                                                                                                                                                                                                                                                                                                                                                                                                                                                                                                                                                                                                                                                                                                                                                                                                                                                                                                                                                                                                                                                                 |                                    |  |                                        |  |                                                                                                                     |           |                                                                                                                     |           |                                                                                                                     |           |                                                                                                                     |           |                                                                                                                   |          |                                                                                                                   |          |                                                                                                                         |           |                   |  |             |  |                                                                                                                                                                                                                                                                                                                                                                                                                                                                                                                                                                                                                                                                                                                                                                                                                                                                                                                                                                                                                                                                                                                                                                                                                                                                                                                                                                                                                                                                                                                                                                                                                               |                                |  |                                        |  |                                                                                                                     |           |                                                                                                                     |          |                                                                                                                     |           |                                                                                                                         |          |                                                                                                                   |           |                                                                                                                  |           |                                                                                                                            |           |                                                                                                                      |          |                   |  |                                                                                                                                                                                                                                                                                                                                                                                                                                                                                                                                                                                                                                                                                                                                                                                                                                                                                                                                                                                                                                                                                                                                                                                                                                                                                                                                                                                                                                                                                                                                                                                                                                                                       |                                |                                                                                                                                                                                                                                                                                                                                                                                                                                                                                                                                                                                                                                                                                                                                                                                                                                                                                                                                                                                                                                                                                                                                                                                                                                                                                                                                                                                                                                                                                                                                                                                                                                          |                                        |  |                                                                                                 |          |                                                                                                                    |                                    |                                                                                                                     |           |                                                                                                                       |           |                                                                                                                       |                                  |                                                                                                                        |           |                                                                                                                           |           |                                                                                                                    |           |                                                                                                                     |           |                   |  |                                                                                                                                                                                                                                                                                                                                                                                                                                                                                                                                                                                                                                                                                                                                                                                                                                                                                                                                                                                                                                                                                                                                                                                                                                                                                                                                                                                                                                                                                                                                                                                                                        |                                |                                                                                                                                                                                                                                                                                                                                                                                                                                                                                                                                                                                                                                                                                                                                                                                                                                                                                                                                                                                                                                                                                                                                                                                                                                                                                                                                                                                                                                                                                                                                                                                                                                                              |                                        |  |                                                                                                   |          |                                                                                                                     |           |                                                                                                                           |           |                                                                                                                     |           |                                                                                                                      |           |                                                                                                                       |           |                                                                                                                       |           |                                                                                                                     |           |                                                                                                                 |           |                   |  |             |  |                                                                                                                                                                                                                                                                                                                                                                                                                                                                                                                                                                                                                                                                                                                                                                                                                                                                                                                                                                                                                                                                                                                                                                                                                                                                                                                                                                                                                                                                                                                                                                                                                            |                                |  |                                        |  |                                                                                                   |             |                                                                                                                     |           |                                                                                                                     |           |                                                                                                                     |           |                                                                                                                     |           |                                                                                                                   |           |                                                                                                               |           |                                                                                                                   |           |                   |  |             |  |                                                                                                                                                                                                                                                                                                                                                                                                                                                                                                                                                                                                                                                                                                                                                                                                                                                                                                                                                                                                                                                                                                                                                                                                                                                                                                                                                                                                                                                                                                                                                                                                                            |                                |  |                                        |  |                                                                                                   |             |                                                                                                                     |           |                                                                                                                     |           |                                                                                                                     |           |                                                                                                                     |           |                                                                                                                   |           |                                                                                                               |           |                                                                                                                   |           |                   |  |             |  |                                                                                                                                                                                                                                                                                                                                                                                                                                                                                                                                                                                                                                                                                                                                                                                                                                                                                                                                                                                                                                                                                                                                                                                                                                                                                                                                                                                                                                                                                                                                                                                                                            |                                |  |                                        |  |                                                                                                   |             |                                                                                                                     |           |                                                                                                                     |           |                                                                                                                     |           |                                                                                                                     |           |                                                                                                                   |           |                                                                                                               |           |                                                                                                                   |           |                   |  |             |  |                                                                                                                                                                                                                                                                                                                                                                                                                                                                                                                                                                                                                                                                                                                                                                                                                                                                                                                                                                                                                                                                                                                                                                                                                                                                                                                                                                                                                                                                                                                                                                                                                            |                                |  |                                        |  |                                                                                                   |             |                                                                                                                     |           |                                                                                                                     |           |                                                                                                                     |           |                                                                                                                     |           |                                                                                                                   |           |                                                                                                               |           |                                                                                                                   |           |                   |  |             |  |                                                                                                                                                                                                                                                                                                                                                                                                                                                                                                                                                                                                                                                                                                                                                                                                                                                                                                                                                                                                                                                                                                                                                                                                                                                                                                                                                                                                                                                                                                                                                                                                                            |                                |  |                                        |  |                                                                                                   |             |                                                                                                                     |           |                                                                                                                     |           |                                                                                                                     |           |                                                                                                                     |           |                                                                                                                   |           |                                                                                                               |           |                                                                                                                   |           |                   |  |             |  |                                                                                                                                                                                                                                                                                                                                                                                                                                                                                                                                                                   |                                |  |                                        |  |                                                                                                   |             |                                                                                                                     |           |                              |
| Enable/disable control Para...                                                                                                                                                                                                                                                                                                                                                                                                                                                                                                                                                                                                                                                                                                                                                                                                                                                                                                                                                                                                                                                                                                                                                                                                                                                                                                                                                                                                                                              |                                    |  |                                        |  |                                                                                                                     |           |                                                                                                                     |           |                                                                                                                     |           |                                                                                                                     |           |                                                                                                                   |          |                                                                                                                   |          |                                                                                                                         |           |                   |  |             |  |                                                                                                                                                                                                                                                                                                                                                                                                                                                                                                                                                                                                                                                                                                                                                                                                                                                                                                                                                                                                                                                                                                                                                                                                                                                                                                                                                                                                                                                                                                                                                                                                                               |                                |  |                                        |  |                                                                                                                     |           |                                                                                                                     |          |                                                                                                                     |           |                                                                                                                         |          |                                                                                                                   |           |                                                                                                                  |           |                                                                                                                            |           |                                                                                                                      |          |                   |  |                                                                                                                                                                                                                                                                                                                                                                                                                                                                                                                                                                                                                                                                                                                                                                                                                                                                                                                                                                                                                                                                                                                                                                                                                                                                                                                                                                                                                                                                                                                                                                                                                                                                       |                                |                                                                                                                                                                                                                                                                                                                                                                                                                                                                                                                                                                                                                                                                                                                                                                                                                                                                                                                                                                                                                                                                                                                                                                                                                                                                                                                                                                                                                                                                                                                                                                                                                                          |                                        |  |                                                                                                 |          |                                                                                                                    |                                    |                                                                                                                     |           |                                                                                                                       |           |                                                                                                                       |                                  |                                                                                                                        |           |                                                                                                                           |           |                                                                                                                    |           |                                                                                                                     |           |                   |  |                                                                                                                                                                                                                                                                                                                                                                                                                                                                                                                                                                                                                                                                                                                                                                                                                                                                                                                                                                                                                                                                                                                                                                                                                                                                                                                                                                                                                                                                                                                                                                                                                        |                                |                                                                                                                                                                                                                                                                                                                                                                                                                                                                                                                                                                                                                                                                                                                                                                                                                                                                                                                                                                                                                                                                                                                                                                                                                                                                                                                                                                                                                                                                                                                                                                                                                                                              |                                        |  |                                                                                                   |          |                                                                                                                     |           |                                                                                                                           |           |                                                                                                                     |           |                                                                                                                      |           |                                                                                                                       |           |                                                                                                                       |           |                                                                                                                     |           |                                                                                                                 |           |                   |  |             |  |                                                                                                                                                                                                                                                                                                                                                                                                                                                                                                                                                                                                                                                                                                                                                                                                                                                                                                                                                                                                                                                                                                                                                                                                                                                                                                                                                                                                                                                                                                                                                                                                                            |                                |  |                                        |  |                                                                                                   |             |                                                                                                                     |           |                                                                                                                     |           |                                                                                                                     |           |                                                                                                                     |           |                                                                                                                   |           |                                                                                                               |           |                                                                                                                   |           |                   |  |             |  |                                                                                                                                                                                                                                                                                                                                                                                                                                                                                                                                                                                                                                                                                                                                                                                                                                                                                                                                                                                                                                                                                                                                                                                                                                                                                                                                                                                                                                                                                                                                                                                                                            |                                |  |                                        |  |                                                                                                   |             |                                                                                                                     |           |                                                                                                                     |           |                                                                                                                     |           |                                                                                                                     |           |                                                                                                                   |           |                                                                                                               |           |                                                                                                                   |           |                   |  |             |  |                                                                                                                                                                                                                                                                                                                                                                                                                                                                                                                                                                                                                                                                                                                                                                                                                                                                                                                                                                                                                                                                                                                                                                                                                                                                                                                                                                                                                                                                                                                                                                                                                            |                                |  |                                        |  |                                                                                                   |             |                                                                                                                     |           |                                                                                                                     |           |                                                                                                                     |           |                                                                                                                     |           |                                                                                                                   |           |                                                                                                               |           |                                                                                                                   |           |                   |  |             |  |                                                                                                                                                                                                                                                                                                                                                                                                                                                                                                                                                                                                                                                                                                                                                                                                                                                                                                                                                                                                                                                                                                                                                                                                                                                                                                                                                                                                                                                                                                                                                                                                                            |                                |  |                                        |  |                                                                                                   |             |                                                                                                                     |           |                                                                                                                     |           |                                                                                                                     |           |                                                                                                                     |           |                                                                                                                   |           |                                                                                                               |           |                                                                                                                   |           |                   |  |             |  |                                                                                                                                                                                                                                                                                                                                                                                                                                                                                                                                                                                                                                                                                                                                                                                                                                                                                                                                                                                                                                                                                                                                                                                                                                                                                                                                                                                                                                                                                                                                                                                                                            |                                |  |                                        |  |                                                                                                   |             |                                                                                                                     |           |                                                                                                                     |           |                                                                                                                     |           |                                                                                                                     |           |                                                                                                                   |           |                                                                                                               |           |                                                                                                                   |           |                   |  |             |  |                                                                                                                                                                                                                                                                                                                                                                                                                                                                                                                                                                   |                                |  |                                        |  |                                                                                                   |             |                                                                                                                     |           |                              |
| Last Updated: 2/24/2025 15:55:34 +0800                                                                                                                                                                                                                                                                                                                                                                                                                                                                                                                                                                                                                                                                                                                                                                                                                                                                                                                                                                                                                                                                                                                                                                                                                                                                                                                                                                                                                                      |                                    |  |                                        |  |                                                                                                                     |           |                                                                                                                     |           |                                                                                                                     |           |                                                                                                                     |           |                                                                                                                   |          |                                                                                                                   |          |                                                                                                                         |           |                   |  |             |  |                                                                                                                                                                                                                                                                                                                                                                                                                                                                                                                                                                                                                                                                                                                                                                                                                                                                                                                                                                                                                                                                                                                                                                                                                                                                                                                                                                                                                                                                                                                                                                                                                               |                                |  |                                        |  |                                                                                                                     |           |                                                                                                                     |          |                                                                                                                     |           |                                                                                                                         |          |                                                                                                                   |           |                                                                                                                  |           |                                                                                                                            |           |                                                                                                                      |          |                   |  |                                                                                                                                                                                                                                                                                                                                                                                                                                                                                                                                                                                                                                                                                                                                                                                                                                                                                                                                                                                                                                                                                                                                                                                                                                                                                                                                                                                                                                                                                                                                                                                                                                                                       |                                |                                                                                                                                                                                                                                                                                                                                                                                                                                                                                                                                                                                                                                                                                                                                                                                                                                                                                                                                                                                                                                                                                                                                                                                                                                                                                                                                                                                                                                                                                                                                                                                                                                          |                                        |  |                                                                                                 |          |                                                                                                                    |                                    |                                                                                                                     |           |                                                                                                                       |           |                                                                                                                       |                                  |                                                                                                                        |           |                                                                                                                           |           |                                                                                                                    |           |                                                                                                                     |           |                   |  |                                                                                                                                                                                                                                                                                                                                                                                                                                                                                                                                                                                                                                                                                                                                                                                                                                                                                                                                                                                                                                                                                                                                                                                                                                                                                                                                                                                                                                                                                                                                                                                                                        |                                |                                                                                                                                                                                                                                                                                                                                                                                                                                                                                                                                                                                                                                                                                                                                                                                                                                                                                                                                                                                                                                                                                                                                                                                                                                                                                                                                                                                                                                                                                                                                                                                                                                                              |                                        |  |                                                                                                   |          |                                                                                                                     |           |                                                                                                                           |           |                                                                                                                     |           |                                                                                                                      |           |                                                                                                                       |           |                                                                                                                       |           |                                                                                                                     |           |                                                                                                                 |           |                   |  |             |  |                                                                                                                                                                                                                                                                                                                                                                                                                                                                                                                                                                                                                                                                                                                                                                                                                                                                                                                                                                                                                                                                                                                                                                                                                                                                                                                                                                                                                                                                                                                                                                                                                            |                                |  |                                        |  |                                                                                                   |             |                                                                                                                     |           |                                                                                                                     |           |                                                                                                                     |           |                                                                                                                     |           |                                                                                                                   |           |                                                                                                               |           |                                                                                                                   |           |                   |  |             |  |                                                                                                                                                                                                                                                                                                                                                                                                                                                                                                                                                                                                                                                                                                                                                                                                                                                                                                                                                                                                                                                                                                                                                                                                                                                                                                                                                                                                                                                                                                                                                                                                                            |                                |  |                                        |  |                                                                                                   |             |                                                                                                                     |           |                                                                                                                     |           |                                                                                                                     |           |                                                                                                                     |           |                                                                                                                   |           |                                                                                                               |           |                                                                                                                   |           |                   |  |             |  |                                                                                                                                                                                                                                                                                                                                                                                                                                                                                                                                                                                                                                                                                                                                                                                                                                                                                                                                                                                                                                                                                                                                                                                                                                                                                                                                                                                                                                                                                                                                                                                                                            |                                |  |                                        |  |                                                                                                   |             |                                                                                                                     |           |                                                                                                                     |           |                                                                                                                     |           |                                                                                                                     |           |                                                                                                                   |           |                                                                                                               |           |                                                                                                                   |           |                   |  |             |  |                                                                                                                                                                                                                                                                                                                                                                                                                                                                                                                                                                                                                                                                                                                                                                                                                                                                                                                                                                                                                                                                                                                                                                                                                                                                                                                                                                                                                                                                                                                                                                                                                            |                                |  |                                        |  |                                                                                                   |             |                                                                                                                     |           |                                                                                                                     |           |                                                                                                                     |           |                                                                                                                     |           |                                                                                                                   |           |                                                                                                               |           |                                                                                                                   |           |                   |  |             |  |                                                                                                                                                                                                                                                                                                                                                                                                                                                                                                                                                                                                                                                                                                                                                                                                                                                                                                                                                                                                                                                                                                                                                                                                                                                                                                                                                                                                                                                                                                                                                                                                                            |                                |  |                                        |  |                                                                                                   |             |                                                                                                                     |           |                                                                                                                     |           |                                                                                                                     |           |                                                                                                                     |           |                                                                                                                   |           |                                                                                                               |           |                                                                                                                   |           |                   |  |             |  |                                                                                                                                                                                                                                                                                                                                                                                                                                                                                                                                                                   |                                |  |                                        |  |                                                                                                   |             |                                                                                                                     |           |                              |
|  0x262C   9772                                                                                                                                                                                                                                                                                                                                                                                                                                                                                                                                                                                                                                                                                                                                                                                                                                                                                                                                                                                                                                                                                                                                                                                                                                                                                                                                                                           | Procedure >                        |  |                                        |  |                                                                                                                     |           |                                                                                                                     |           |                                                                                                                     |           |                                                                                                                     |           |                                                                                                                   |          |                                                                                                                   |          |                                                                                                                         |           |                   |  |             |  |                                                                                                                                                                                                                                                                                                                                                                                                                                                                                                                                                                                                                                                                                                                                                                                                                                                                                                                                                                                                                                                                                                                                                                                                                                                                                                                                                                                                                                                                                                                                                                                                                               |                                |  |                                        |  |                                                                                                                     |           |                                                                                                                     |          |                                                                                                                     |           |                                                                                                                         |          |                                                                                                                   |           |                                                                                                                  |           |                                                                                                                            |           |                                                                                                                      |          |                   |  |                                                                                                                                                                                                                                                                                                                                                                                                                                                                                                                                                                                                                                                                                                                                                                                                                                                                                                                                                                                                                                                                                                                                                                                                                                                                                                                                                                                                                                                                                                                                                                                                                                                                       |                                |                                                                                                                                                                                                                                                                                                                                                                                                                                                                                                                                                                                                                                                                                                                                                                                                                                                                                                                                                                                                                                                                                                                                                                                                                                                                                                                                                                                                                                                                                                                                                                                                                                          |                                        |  |                                                                                                 |          |                                                                                                                    |                                    |                                                                                                                     |           |                                                                                                                       |           |                                                                                                                       |                                  |                                                                                                                        |           |                                                                                                                           |           |                                                                                                                    |           |                                                                                                                     |           |                   |  |                                                                                                                                                                                                                                                                                                                                                                                                                                                                                                                                                                                                                                                                                                                                                                                                                                                                                                                                                                                                                                                                                                                                                                                                                                                                                                                                                                                                                                                                                                                                                                                                                        |                                |                                                                                                                                                                                                                                                                                                                                                                                                                                                                                                                                                                                                                                                                                                                                                                                                                                                                                                                                                                                                                                                                                                                                                                                                                                                                                                                                                                                                                                                                                                                                                                                                                                                              |                                        |  |                                                                                                   |          |                                                                                                                     |           |                                                                                                                           |           |                                                                                                                     |           |                                                                                                                      |           |                                                                                                                       |           |                                                                                                                       |           |                                                                                                                     |           |                                                                                                                 |           |                   |  |             |  |                                                                                                                                                                                                                                                                                                                                                                                                                                                                                                                                                                                                                                                                                                                                                                                                                                                                                                                                                                                                                                                                                                                                                                                                                                                                                                                                                                                                                                                                                                                                                                                                                            |                                |  |                                        |  |                                                                                                   |             |                                                                                                                     |           |                                                                                                                     |           |                                                                                                                     |           |                                                                                                                     |           |                                                                                                                   |           |                                                                                                               |           |                                                                                                                   |           |                   |  |             |  |                                                                                                                                                                                                                                                                                                                                                                                                                                                                                                                                                                                                                                                                                                                                                                                                                                                                                                                                                                                                                                                                                                                                                                                                                                                                                                                                                                                                                                                                                                                                                                                                                            |                                |  |                                        |  |                                                                                                   |             |                                                                                                                     |           |                                                                                                                     |           |                                                                                                                     |           |                                                                                                                     |           |                                                                                                                   |           |                                                                                                               |           |                                                                                                                   |           |                   |  |             |  |                                                                                                                                                                                                                                                                                                                                                                                                                                                                                                                                                                                                                                                                                                                                                                                                                                                                                                                                                                                                                                                                                                                                                                                                                                                                                                                                                                                                                                                                                                                                                                                                                            |                                |  |                                        |  |                                                                                                   |             |                                                                                                                     |           |                                                                                                                     |           |                                                                                                                     |           |                                                                                                                     |           |                                                                                                                   |           |                                                                                                               |           |                                                                                                                   |           |                   |  |             |  |                                                                                                                                                                                                                                                                                                                                                                                                                                                                                                                                                                                                                                                                                                                                                                                                                                                                                                                                                                                                                                                                                                                                                                                                                                                                                                                                                                                                                                                                                                                                                                                                                            |                                |  |                                        |  |                                                                                                   |             |                                                                                                                     |           |                                                                                                                     |           |                                                                                                                     |           |                                                                                                                     |           |                                                                                                                   |           |                                                                                                               |           |                                                                                                                   |           |                   |  |             |  |                                                                                                                                                                                                                                                                                                                                                                                                                                                                                                                                                                                                                                                                                                                                                                                                                                                                                                                                                                                                                                                                                                                                                                                                                                                                                                                                                                                                                                                                                                                                                                                                                            |                                |  |                                        |  |                                                                                                   |             |                                                                                                                     |           |                                                                                                                     |           |                                                                                                                     |           |                                                                                                                     |           |                                                                                                                   |           |                                                                                                               |           |                                                                                                                   |           |                   |  |             |  |                                                                                                                                                                                                                                                                                                                                                                                                                                                                                                                                                                   |                                |  |                                        |  |                                                                                                   |             |                                                                                                                     |           |                              |
|  PV1FuseCheckEn<br>0x262F   9775                                                                                                                                                                                                                                                                                                                                                                                                                                                                                                                                                                                                                                                                                                                                                                                                                                                                                                                                                                                                                                                                                                                                                                                                                                                                                                                                                         | Disable >                          |  |                                        |  |                                                                                                                     |           |                                                                                                                     |           |                                                                                                                     |           |                                                                                                                     |           |                                                                                                                   |          |                                                                                                                   |          |                                                                                                                         |           |                   |  |             |  |                                                                                                                                                                                                                                                                                                                                                                                                                                                                                                                                                                                                                                                                                                                                                                                                                                                                                                                                                                                                                                                                                                                                                                                                                                                                                                                                                                                                                                                                                                                                                                                                                               |                                |  |                                        |  |                                                                                                                     |           |                                                                                                                     |          |                                                                                                                     |           |                                                                                                                         |          |                                                                                                                   |           |                                                                                                                  |           |                                                                                                                            |           |                                                                                                                      |          |                   |  |                                                                                                                                                                                                                                                                                                                                                                                                                                                                                                                                                                                                                                                                                                                                                                                                                                                                                                                                                                                                                                                                                                                                                                                                                                                                                                                                                                                                                                                                                                                                                                                                                                                                       |                                |                                                                                                                                                                                                                                                                                                                                                                                                                                                                                                                                                                                                                                                                                                                                                                                                                                                                                                                                                                                                                                                                                                                                                                                                                                                                                                                                                                                                                                                                                                                                                                                                                                          |                                        |  |                                                                                                 |          |                                                                                                                    |                                    |                                                                                                                     |           |                                                                                                                       |           |                                                                                                                       |                                  |                                                                                                                        |           |                                                                                                                           |           |                                                                                                                    |           |                                                                                                                     |           |                   |  |                                                                                                                                                                                                                                                                                                                                                                                                                                                                                                                                                                                                                                                                                                                                                                                                                                                                                                                                                                                                                                                                                                                                                                                                                                                                                                                                                                                                                                                                                                                                                                                                                        |                                |                                                                                                                                                                                                                                                                                                                                                                                                                                                                                                                                                                                                                                                                                                                                                                                                                                                                                                                                                                                                                                                                                                                                                                                                                                                                                                                                                                                                                                                                                                                                                                                                                                                              |                                        |  |                                                                                                   |          |                                                                                                                     |           |                                                                                                                           |           |                                                                                                                     |           |                                                                                                                      |           |                                                                                                                       |           |                                                                                                                       |           |                                                                                                                     |           |                                                                                                                 |           |                   |  |             |  |                                                                                                                                                                                                                                                                                                                                                                                                                                                                                                                                                                                                                                                                                                                                                                                                                                                                                                                                                                                                                                                                                                                                                                                                                                                                                                                                                                                                                                                                                                                                                                                                                            |                                |  |                                        |  |                                                                                                   |             |                                                                                                                     |           |                                                                                                                     |           |                                                                                                                     |           |                                                                                                                     |           |                                                                                                                   |           |                                                                                                               |           |                                                                                                                   |           |                   |  |             |  |                                                                                                                                                                                                                                                                                                                                                                                                                                                                                                                                                                                                                                                                                                                                                                                                                                                                                                                                                                                                                                                                                                                                                                                                                                                                                                                                                                                                                                                                                                                                                                                                                            |                                |  |                                        |  |                                                                                                   |             |                                                                                                                     |           |                                                                                                                     |           |                                                                                                                     |           |                                                                                                                     |           |                                                                                                                   |           |                                                                                                               |           |                                                                                                                   |           |                   |  |             |  |                                                                                                                                                                                                                                                                                                                                                                                                                                                                                                                                                                                                                                                                                                                                                                                                                                                                                                                                                                                                                                                                                                                                                                                                                                                                                                                                                                                                                                                                                                                                                                                                                            |                                |  |                                        |  |                                                                                                   |             |                                                                                                                     |           |                                                                                                                     |           |                                                                                                                     |           |                                                                                                                     |           |                                                                                                                   |           |                                                                                                               |           |                                                                                                                   |           |                   |  |             |  |                                                                                                                                                                                                                                                                                                                                                                                                                                                                                                                                                                                                                                                                                                                                                                                                                                                                                                                                                                                                                                                                                                                                                                                                                                                                                                                                                                                                                                                                                                                                                                                                                            |                                |  |                                        |  |                                                                                                   |             |                                                                                                                     |           |                                                                                                                     |           |                                                                                                                     |           |                                                                                                                     |           |                                                                                                                   |           |                                                                                                               |           |                                                                                                                   |           |                   |  |             |  |                                                                                                                                                                                                                                                                                                                                                                                                                                                                                                                                                                                                                                                                                                                                                                                                                                                                                                                                                                                                                                                                                                                                                                                                                                                                                                                                                                                                                                                                                                                                                                                                                            |                                |  |                                        |  |                                                                                                   |             |                                                                                                                     |           |                                                                                                                     |           |                                                                                                                     |           |                                                                                                                     |           |                                                                                                                   |           |                                                                                                               |           |                                                                                                                   |           |                   |  |             |  |                                                                                                                                                                                                                                                                                                                                                                                                                                                                                                                                                                   |                                |  |                                        |  |                                                                                                   |             |                                                                                                                     |           |                              |
|  PV2FuseCheckEn<br>0x2630   9776                                                                                                                                                                                                                                                                                                                                                                                                                                                                                                                                                                                                                                                                                                                                                                                                                                                                                                                                                                                                                                                                                                                                                                                                                                                                                                                                                         | Disable >                          |  |                                        |  |                                                                                                                     |           |                                                                                                                     |           |                                                                                                                     |           |                                                                                                                     |           |                                                                                                                   |          |                                                                                                                   |          |                                                                                                                         |           |                   |  |             |  |                                                                                                                                                                                                                                                                                                                                                                                                                                                                                                                                                                                                                                                                                                                                                                                                                                                                                                                                                                                                                                                                                                                                                                                                                                                                                                                                                                                                                                                                                                                                                                                                                               |                                |  |                                        |  |                                                                                                                     |           |                                                                                                                     |          |                                                                                                                     |           |                                                                                                                         |          |                                                                                                                   |           |                                                                                                                  |           |                                                                                                                            |           |                                                                                                                      |          |                   |  |                                                                                                                                                                                                                                                                                                                                                                                                                                                                                                                                                                                                                                                                                                                                                                                                                                                                                                                                                                                                                                                                                                                                                                                                                                                                                                                                                                                                                                                                                                                                                                                                                                                                       |                                |                                                                                                                                                                                                                                                                                                                                                                                                                                                                                                                                                                                                                                                                                                                                                                                                                                                                                                                                                                                                                                                                                                                                                                                                                                                                                                                                                                                                                                                                                                                                                                                                                                          |                                        |  |                                                                                                 |          |                                                                                                                    |                                    |                                                                                                                     |           |                                                                                                                       |           |                                                                                                                       |                                  |                                                                                                                        |           |                                                                                                                           |           |                                                                                                                    |           |                                                                                                                     |           |                   |  |                                                                                                                                                                                                                                                                                                                                                                                                                                                                                                                                                                                                                                                                                                                                                                                                                                                                                                                                                                                                                                                                                                                                                                                                                                                                                                                                                                                                                                                                                                                                                                                                                        |                                |                                                                                                                                                                                                                                                                                                                                                                                                                                                                                                                                                                                                                                                                                                                                                                                                                                                                                                                                                                                                                                                                                                                                                                                                                                                                                                                                                                                                                                                                                                                                                                                                                                                              |                                        |  |                                                                                                   |          |                                                                                                                     |           |                                                                                                                           |           |                                                                                                                     |           |                                                                                                                      |           |                                                                                                                       |           |                                                                                                                       |           |                                                                                                                     |           |                                                                                                                 |           |                   |  |             |  |                                                                                                                                                                                                                                                                                                                                                                                                                                                                                                                                                                                                                                                                                                                                                                                                                                                                                                                                                                                                                                                                                                                                                                                                                                                                                                                                                                                                                                                                                                                                                                                                                            |                                |  |                                        |  |                                                                                                   |             |                                                                                                                     |           |                                                                                                                     |           |                                                                                                                     |           |                                                                                                                     |           |                                                                                                                   |           |                                                                                                               |           |                                                                                                                   |           |                   |  |             |  |                                                                                                                                                                                                                                                                                                                                                                                                                                                                                                                                                                                                                                                                                                                                                                                                                                                                                                                                                                                                                                                                                                                                                                                                                                                                                                                                                                                                                                                                                                                                                                                                                            |                                |  |                                        |  |                                                                                                   |             |                                                                                                                     |           |                                                                                                                     |           |                                                                                                                     |           |                                                                                                                     |           |                                                                                                                   |           |                                                                                                               |           |                                                                                                                   |           |                   |  |             |  |                                                                                                                                                                                                                                                                                                                                                                                                                                                                                                                                                                                                                                                                                                                                                                                                                                                                                                                                                                                                                                                                                                                                                                                                                                                                                                                                                                                                                                                                                                                                                                                                                            |                                |  |                                        |  |                                                                                                   |             |                                                                                                                     |           |                                                                                                                     |           |                                                                                                                     |           |                                                                                                                     |           |                                                                                                                   |           |                                                                                                               |           |                                                                                                                   |           |                   |  |             |  |                                                                                                                                                                                                                                                                                                                                                                                                                                                                                                                                                                                                                                                                                                                                                                                                                                                                                                                                                                                                                                                                                                                                                                                                                                                                                                                                                                                                                                                                                                                                                                                                                            |                                |  |                                        |  |                                                                                                   |             |                                                                                                                     |           |                                                                                                                     |           |                                                                                                                     |           |                                                                                                                     |           |                                                                                                                   |           |                                                                                                               |           |                                                                                                                   |           |                   |  |             |  |                                                                                                                                                                                                                                                                                                                                                                                                                                                                                                                                                                                                                                                                                                                                                                                                                                                                                                                                                                                                                                                                                                                                                                                                                                                                                                                                                                                                                                                                                                                                                                                                                            |                                |  |                                        |  |                                                                                                   |             |                                                                                                                     |           |                                                                                                                     |           |                                                                                                                     |           |                                                                                                                     |           |                                                                                                                   |           |                                                                                                               |           |                                                                                                                   |           |                   |  |             |  |                                                                                                                                                                                                                                                                                                                                                                                                                                                                                                                                                                   |                                |  |                                        |  |                                                                                                   |             |                                                                                                                     |           |                              |
|  PV3FuseCheckEn<br>0x2631   9777                                                                                                                                                                                                                                                                                                                                                                                                                                                                                                                                                                                                                                                                                                                                                                                                                                                                                                                                                                                                                                                                                                                                                                                                                                                                                                                                                         | Disable >                          |  |                                        |  |                                                                                                                     |           |                                                                                                                     |           |                                                                                                                     |           |                                                                                                                     |           |                                                                                                                   |          |                                                                                                                   |          |                                                                                                                         |           |                   |  |             |  |                                                                                                                                                                                                                                                                                                                                                                                                                                                                                                                                                                                                                                                                                                                                                                                                                                                                                                                                                                                                                                                                                                                                                                                                                                                                                                                                                                                                                                                                                                                                                                                                                               |                                |  |                                        |  |                                                                                                                     |           |                                                                                                                     |          |                                                                                                                     |           |                                                                                                                         |          |                                                                                                                   |           |                                                                                                                  |           |                                                                                                                            |           |                                                                                                                      |          |                   |  |                                                                                                                                                                                                                                                                                                                                                                                                                                                                                                                                                                                                                                                                                                                                                                                                                                                                                                                                                                                                                                                                                                                                                                                                                                                                                                                                                                                                                                                                                                                                                                                                                                                                       |                                |                                                                                                                                                                                                                                                                                                                                                                                                                                                                                                                                                                                                                                                                                                                                                                                                                                                                                                                                                                                                                                                                                                                                                                                                                                                                                                                                                                                                                                                                                                                                                                                                                                          |                                        |  |                                                                                                 |          |                                                                                                                    |                                    |                                                                                                                     |           |                                                                                                                       |           |                                                                                                                       |                                  |                                                                                                                        |           |                                                                                                                           |           |                                                                                                                    |           |                                                                                                                     |           |                   |  |                                                                                                                                                                                                                                                                                                                                                                                                                                                                                                                                                                                                                                                                                                                                                                                                                                                                                                                                                                                                                                                                                                                                                                                                                                                                                                                                                                                                                                                                                                                                                                                                                        |                                |                                                                                                                                                                                                                                                                                                                                                                                                                                                                                                                                                                                                                                                                                                                                                                                                                                                                                                                                                                                                                                                                                                                                                                                                                                                                                                                                                                                                                                                                                                                                                                                                                                                              |                                        |  |                                                                                                   |          |                                                                                                                     |           |                                                                                                                           |           |                                                                                                                     |           |                                                                                                                      |           |                                                                                                                       |           |                                                                                                                       |           |                                                                                                                     |           |                                                                                                                 |           |                   |  |             |  |                                                                                                                                                                                                                                                                                                                                                                                                                                                                                                                                                                                                                                                                                                                                                                                                                                                                                                                                                                                                                                                                                                                                                                                                                                                                                                                                                                                                                                                                                                                                                                                                                            |                                |  |                                        |  |                                                                                                   |             |                                                                                                                     |           |                                                                                                                     |           |                                                                                                                     |           |                                                                                                                     |           |                                                                                                                   |           |                                                                                                               |           |                                                                                                                   |           |                   |  |             |  |                                                                                                                                                                                                                                                                                                                                                                                                                                                                                                                                                                                                                                                                                                                                                                                                                                                                                                                                                                                                                                                                                                                                                                                                                                                                                                                                                                                                                                                                                                                                                                                                                            |                                |  |                                        |  |                                                                                                   |             |                                                                                                                     |           |                                                                                                                     |           |                                                                                                                     |           |                                                                                                                     |           |                                                                                                                   |           |                                                                                                               |           |                                                                                                                   |           |                   |  |             |  |                                                                                                                                                                                                                                                                                                                                                                                                                                                                                                                                                                                                                                                                                                                                                                                                                                                                                                                                                                                                                                                                                                                                                                                                                                                                                                                                                                                                                                                                                                                                                                                                                            |                                |  |                                        |  |                                                                                                   |             |                                                                                                                     |           |                                                                                                                     |           |                                                                                                                     |           |                                                                                                                     |           |                                                                                                                   |           |                                                                                                               |           |                                                                                                                   |           |                   |  |             |  |                                                                                                                                                                                                                                                                                                                                                                                                                                                                                                                                                                                                                                                                                                                                                                                                                                                                                                                                                                                                                                                                                                                                                                                                                                                                                                                                                                                                                                                                                                                                                                                                                            |                                |  |                                        |  |                                                                                                   |             |                                                                                                                     |           |                                                                                                                     |           |                                                                                                                     |           |                                                                                                                     |           |                                                                                                                   |           |                                                                                                               |           |                                                                                                                   |           |                   |  |             |  |                                                                                                                                                                                                                                                                                                                                                                                                                                                                                                                                                                                                                                                                                                                                                                                                                                                                                                                                                                                                                                                                                                                                                                                                                                                                                                                                                                                                                                                                                                                                                                                                                            |                                |  |                                        |  |                                                                                                   |             |                                                                                                                     |           |                                                                                                                     |           |                                                                                                                     |           |                                                                                                                     |           |                                                                                                                   |           |                                                                                                               |           |                                                                                                                   |           |                   |  |             |  |                                                                                                                                                                                                                                                                                                                                                                                                                                                                                                                                                                   |                                |  |                                        |  |                                                                                                   |             |                                                                                                                     |           |                              |
|  PV4FuseCheckEn<br>0x2632   9778                                                                                                                                                                                                                                                                                                                                                                                                                                                                                                                                                                                                                                                                                                                                                                                                                                                                                                                                                                                                                                                                                                                                                                                                                                                                                                                                                         | Disable >                          |  |                                        |  |                                                                                                                     |           |                                                                                                                     |           |                                                                                                                     |           |                                                                                                                     |           |                                                                                                                   |          |                                                                                                                   |          |                                                                                                                         |           |                   |  |             |  |                                                                                                                                                                                                                                                                                                                                                                                                                                                                                                                                                                                                                                                                                                                                                                                                                                                                                                                                                                                                                                                                                                                                                                                                                                                                                                                                                                                                                                                                                                                                                                                                                               |                                |  |                                        |  |                                                                                                                     |           |                                                                                                                     |          |                                                                                                                     |           |                                                                                                                         |          |                                                                                                                   |           |                                                                                                                  |           |                                                                                                                            |           |                                                                                                                      |          |                   |  |                                                                                                                                                                                                                                                                                                                                                                                                                                                                                                                                                                                                                                                                                                                                                                                                                                                                                                                                                                                                                                                                                                                                                                                                                                                                                                                                                                                                                                                                                                                                                                                                                                                                       |                                |                                                                                                                                                                                                                                                                                                                                                                                                                                                                                                                                                                                                                                                                                                                                                                                                                                                                                                                                                                                                                                                                                                                                                                                                                                                                                                                                                                                                                                                                                                                                                                                                                                          |                                        |  |                                                                                                 |          |                                                                                                                    |                                    |                                                                                                                     |           |                                                                                                                       |           |                                                                                                                       |                                  |                                                                                                                        |           |                                                                                                                           |           |                                                                                                                    |           |                                                                                                                     |           |                   |  |                                                                                                                                                                                                                                                                                                                                                                                                                                                                                                                                                                                                                                                                                                                                                                                                                                                                                                                                                                                                                                                                                                                                                                                                                                                                                                                                                                                                                                                                                                                                                                                                                        |                                |                                                                                                                                                                                                                                                                                                                                                                                                                                                                                                                                                                                                                                                                                                                                                                                                                                                                                                                                                                                                                                                                                                                                                                                                                                                                                                                                                                                                                                                                                                                                                                                                                                                              |                                        |  |                                                                                                   |          |                                                                                                                     |           |                                                                                                                           |           |                                                                                                                     |           |                                                                                                                      |           |                                                                                                                       |           |                                                                                                                       |           |                                                                                                                     |           |                                                                                                                 |           |                   |  |             |  |                                                                                                                                                                                                                                                                                                                                                                                                                                                                                                                                                                                                                                                                                                                                                                                                                                                                                                                                                                                                                                                                                                                                                                                                                                                                                                                                                                                                                                                                                                                                                                                                                            |                                |  |                                        |  |                                                                                                   |             |                                                                                                                     |           |                                                                                                                     |           |                                                                                                                     |           |                                                                                                                     |           |                                                                                                                   |           |                                                                                                               |           |                                                                                                                   |           |                   |  |             |  |                                                                                                                                                                                                                                                                                                                                                                                                                                                                                                                                                                                                                                                                                                                                                                                                                                                                                                                                                                                                                                                                                                                                                                                                                                                                                                                                                                                                                                                                                                                                                                                                                            |                                |  |                                        |  |                                                                                                   |             |                                                                                                                     |           |                                                                                                                     |           |                                                                                                                     |           |                                                                                                                     |           |                                                                                                                   |           |                                                                                                               |           |                                                                                                                   |           |                   |  |             |  |                                                                                                                                                                                                                                                                                                                                                                                                                                                                                                                                                                                                                                                                                                                                                                                                                                                                                                                                                                                                                                                                                                                                                                                                                                                                                                                                                                                                                                                                                                                                                                                                                            |                                |  |                                        |  |                                                                                                   |             |                                                                                                                     |           |                                                                                                                     |           |                                                                                                                     |           |                                                                                                                     |           |                                                                                                                   |           |                                                                                                               |           |                                                                                                                   |           |                   |  |             |  |                                                                                                                                                                                                                                                                                                                                                                                                                                                                                                                                                                                                                                                                                                                                                                                                                                                                                                                                                                                                                                                                                                                                                                                                                                                                                                                                                                                                                                                                                                                                                                                                                            |                                |  |                                        |  |                                                                                                   |             |                                                                                                                     |           |                                                                                                                     |           |                                                                                                                     |           |                                                                                                                     |           |                                                                                                                   |           |                                                                                                               |           |                                                                                                                   |           |                   |  |             |  |                                                                                                                                                                                                                                                                                                                                                                                                                                                                                                                                                                                                                                                                                                                                                                                                                                                                                                                                                                                                                                                                                                                                                                                                                                                                                                                                                                                                                                                                                                                                                                                                                            |                                |  |                                        |  |                                                                                                   |             |                                                                                                                     |           |                                                                                                                     |           |                                                                                                                     |           |                                                                                                                     |           |                                                                                                                   |           |                                                                                                               |           |                                                                                                                   |           |                   |  |             |  |                                                                                                                                                                                                                                                                                                                                                                                                                                                                                                                                                                   |                                |  |                                        |  |                                                                                                   |             |                                                                                                                     |           |                              |
|  ResProtectEn<br>0x2655   9813                                                                                                                                                                                                                                                                                                                                                                                                                                                                                                                                                                                                                                                                                                                                                                                                                                                                                                                                                                                                                                                                                                                                                                                                                                                                                                                                                           | Disable >                          |  |                                        |  |                                                                                                                     |           |                                                                                                                     |           |                                                                                                                     |           |                                                                                                                     |           |                                                                                                                   |          |                                                                                                                   |          |                                                                                                                         |           |                   |  |             |  |                                                                                                                                                                                                                                                                                                                                                                                                                                                                                                                                                                                                                                                                                                                                                                                                                                                                                                                                                                                                                                                                                                                                                                                                                                                                                                                                                                                                                                                                                                                                                                                                                               |                                |  |                                        |  |                                                                                                                     |           |                                                                                                                     |          |                                                                                                                     |           |                                                                                                                         |          |                                                                                                                   |           |                                                                                                                  |           |                                                                                                                            |           |                                                                                                                      |          |                   |  |                                                                                                                                                                                                                                                                                                                                                                                                                                                                                                                                                                                                                                                                                                                                                                                                                                                                                                                                                                                                                                                                                                                                                                                                                                                                                                                                                                                                                                                                                                                                                                                                                                                                       |                                |                                                                                                                                                                                                                                                                                                                                                                                                                                                                                                                                                                                                                                                                                                                                                                                                                                                                                                                                                                                                                                                                                                                                                                                                                                                                                                                                                                                                                                                                                                                                                                                                                                          |                                        |  |                                                                                                 |          |                                                                                                                    |                                    |                                                                                                                     |           |                                                                                                                       |           |                                                                                                                       |                                  |                                                                                                                        |           |                                                                                                                           |           |                                                                                                                    |           |                                                                                                                     |           |                   |  |                                                                                                                                                                                                                                                                                                                                                                                                                                                                                                                                                                                                                                                                                                                                                                                                                                                                                                                                                                                                                                                                                                                                                                                                                                                                                                                                                                                                                                                                                                                                                                                                                        |                                |                                                                                                                                                                                                                                                                                                                                                                                                                                                                                                                                                                                                                                                                                                                                                                                                                                                                                                                                                                                                                                                                                                                                                                                                                                                                                                                                                                                                                                                                                                                                                                                                                                                              |                                        |  |                                                                                                   |          |                                                                                                                     |           |                                                                                                                           |           |                                                                                                                     |           |                                                                                                                      |           |                                                                                                                       |           |                                                                                                                       |           |                                                                                                                     |           |                                                                                                                 |           |                   |  |             |  |                                                                                                                                                                                                                                                                                                                                                                                                                                                                                                                                                                                                                                                                                                                                                                                                                                                                                                                                                                                                                                                                                                                                                                                                                                                                                                                                                                                                                                                                                                                                                                                                                            |                                |  |                                        |  |                                                                                                   |             |                                                                                                                     |           |                                                                                                                     |           |                                                                                                                     |           |                                                                                                                     |           |                                                                                                                   |           |                                                                                                               |           |                                                                                                                   |           |                   |  |             |  |                                                                                                                                                                                                                                                                                                                                                                                                                                                                                                                                                                                                                                                                                                                                                                                                                                                                                                                                                                                                                                                                                                                                                                                                                                                                                                                                                                                                                                                                                                                                                                                                                            |                                |  |                                        |  |                                                                                                   |             |                                                                                                                     |           |                                                                                                                     |           |                                                                                                                     |           |                                                                                                                     |           |                                                                                                                   |           |                                                                                                               |           |                                                                                                                   |           |                   |  |             |  |                                                                                                                                                                                                                                                                                                                                                                                                                                                                                                                                                                                                                                                                                                                                                                                                                                                                                                                                                                                                                                                                                                                                                                                                                                                                                                                                                                                                                                                                                                                                                                                                                            |                                |  |                                        |  |                                                                                                   |             |                                                                                                                     |           |                                                                                                                     |           |                                                                                                                     |           |                                                                                                                     |           |                                                                                                                   |           |                                                                                                               |           |                                                                                                                   |           |                   |  |             |  |                                                                                                                                                                                                                                                                                                                                                                                                                                                                                                                                                                                                                                                                                                                                                                                                                                                                                                                                                                                                                                                                                                                                                                                                                                                                                                                                                                                                                                                                                                                                                                                                                            |                                |  |                                        |  |                                                                                                   |             |                                                                                                                     |           |                                                                                                                     |           |                                                                                                                     |           |                                                                                                                     |           |                                                                                                                   |           |                                                                                                               |           |                                                                                                                   |           |                   |  |             |  |                                                                                                                                                                                                                                                                                                                                                                                                                                                                                                                                                                                                                                                                                                                                                                                                                                                                                                                                                                                                                                                                                                                                                                                                                                                                                                                                                                                                                                                                                                                                                                                                                            |                                |  |                                        |  |                                                                                                   |             |                                                                                                                     |           |                                                                                                                     |           |                                                                                                                     |           |                                                                                                                     |           |                                                                                                                   |           |                                                                                                               |           |                                                                                                                   |           |                   |  |             |  |                                                                                                                                                                                                                                                                                                                                                                                                                                                                                                                                                                   |                                |  |                                        |  |                                                                                                   |             |                                                                                                                     |           |                              |
|  PF = 0,4<br>0x2659   9817                                                                                                                                                                                                                                                                                                                                                                                                                                                                                                                                                                                                                                                                                                                                                                                                                                                                                                                                                                                                                                                                                                                                                                                                                                                                                                                                                               | Disable >                          |  |                                        |  |                                                                                                                     |           |                                                                                                                     |           |                                                                                                                     |           |                                                                                                                     |           |                                                                                                                   |          |                                                                                                                   |          |                                                                                                                         |           |                   |  |             |  |                                                                                                                                                                                                                                                                                                                                                                                                                                                                                                                                                                                                                                                                                                                                                                                                                                                                                                                                                                                                                                                                                                                                                                                                                                                                                                                                                                                                                                                                                                                                                                                                                               |                                |  |                                        |  |                                                                                                                     |           |                                                                                                                     |          |                                                                                                                     |           |                                                                                                                         |          |                                                                                                                   |           |                                                                                                                  |           |                                                                                                                            |           |                                                                                                                      |          |                   |  |                                                                                                                                                                                                                                                                                                                                                                                                                                                                                                                                                                                                                                                                                                                                                                                                                                                                                                                                                                                                                                                                                                                                                                                                                                                                                                                                                                                                                                                                                                                                                                                                                                                                       |                                |                                                                                                                                                                                                                                                                                                                                                                                                                                                                                                                                                                                                                                                                                                                                                                                                                                                                                                                                                                                                                                                                                                                                                                                                                                                                                                                                                                                                                                                                                                                                                                                                                                          |                                        |  |                                                                                                 |          |                                                                                                                    |                                    |                                                                                                                     |           |                                                                                                                       |           |                                                                                                                       |                                  |                                                                                                                        |           |                                                                                                                           |           |                                                                                                                    |           |                                                                                                                     |           |                   |  |                                                                                                                                                                                                                                                                                                                                                                                                                                                                                                                                                                                                                                                                                                                                                                                                                                                                                                                                                                                                                                                                                                                                                                                                                                                                                                                                                                                                                                                                                                                                                                                                                        |                                |                                                                                                                                                                                                                                                                                                                                                                                                                                                                                                                                                                                                                                                                                                                                                                                                                                                                                                                                                                                                                                                                                                                                                                                                                                                                                                                                                                                                                                                                                                                                                                                                                                                              |                                        |  |                                                                                                   |          |                                                                                                                     |           |                                                                                                                           |           |                                                                                                                     |           |                                                                                                                      |           |                                                                                                                       |           |                                                                                                                       |           |                                                                                                                     |           |                                                                                                                 |           |                   |  |             |  |                                                                                                                                                                                                                                                                                                                                                                                                                                                                                                                                                                                                                                                                                                                                                                                                                                                                                                                                                                                                                                                                                                                                                                                                                                                                                                                                                                                                                                                                                                                                                                                                                            |                                |  |                                        |  |                                                                                                   |             |                                                                                                                     |           |                                                                                                                     |           |                                                                                                                     |           |                                                                                                                     |           |                                                                                                                   |           |                                                                                                               |           |                                                                                                                   |           |                   |  |             |  |                                                                                                                                                                                                                                                                                                                                                                                                                                                                                                                                                                                                                                                                                                                                                                                                                                                                                                                                                                                                                                                                                                                                                                                                                                                                                                                                                                                                                                                                                                                                                                                                                            |                                |  |                                        |  |                                                                                                   |             |                                                                                                                     |           |                                                                                                                     |           |                                                                                                                     |           |                                                                                                                     |           |                                                                                                                   |           |                                                                                                               |           |                                                                                                                   |           |                   |  |             |  |                                                                                                                                                                                                                                                                                                                                                                                                                                                                                                                                                                                                                                                                                                                                                                                                                                                                                                                                                                                                                                                                                                                                                                                                                                                                                                                                                                                                                                                                                                                                                                                                                            |                                |  |                                        |  |                                                                                                   |             |                                                                                                                     |           |                                                                                                                     |           |                                                                                                                     |           |                                                                                                                     |           |                                                                                                                   |           |                                                                                                               |           |                                                                                                                   |           |                   |  |             |  |                                                                                                                                                                                                                                                                                                                                                                                                                                                                                                                                                                                                                                                                                                                                                                                                                                                                                                                                                                                                                                                                                                                                                                                                                                                                                                                                                                                                                                                                                                                                                                                                                            |                                |  |                                        |  |                                                                                                   |             |                                                                                                                     |           |                                                                                                                     |           |                                                                                                                     |           |                                                                                                                     |           |                                                                                                                   |           |                                                                                                               |           |                                                                                                                   |           |                   |  |             |  |                                                                                                                                                                                                                                                                                                                                                                                                                                                                                                                                                                                                                                                                                                                                                                                                                                                                                                                                                                                                                                                                                                                                                                                                                                                                                                                                                                                                                                                                                                                                                                                                                            |                                |  |                                        |  |                                                                                                   |             |                                                                                                                     |           |                                                                                                                     |           |                                                                                                                     |           |                                                                                                                     |           |                                                                                                                   |           |                                                                                                               |           |                                                                                                                   |           |                   |  |             |  |                                                                                                                                                                                                                                                                                                                                                                                                                                                                                                                                                                   |                                |  |                                        |  |                                                                                                   |             |                                                                                                                     |           |                              |
|  AntiRefluxEn<br>0x265F   9823                                                                                                                                                                                                                                                                                                                                                                                                                                                                                                                                                                                                                                                                                                                                                                                                                                                                                                                                                                                                                                                                                                                                                                                                                                                                                                                                                           | Disable >                          |  |                                        |  |                                                                                                                     |           |                                                                                                                     |           |                                                                                                                     |           |                                                                                                                     |           |                                                                                                                   |          |                                                                                                                   |          |                                                                                                                         |           |                   |  |             |  |                                                                                                                                                                                                                                                                                                                                                                                                                                                                                                                                                                                                                                                                                                                                                                                                                                                                                                                                                                                                                                                                                                                                                                                                                                                                                                                                                                                                                                                                                                                                                                                                                               |                                |  |                                        |  |                                                                                                                     |           |                                                                                                                     |          |                                                                                                                     |           |                                                                                                                         |          |                                                                                                                   |           |                                                                                                                  |           |                                                                                                                            |           |                                                                                                                      |          |                   |  |                                                                                                                                                                                                                                                                                                                                                                                                                                                                                                                                                                                                                                                                                                                                                                                                                                                                                                                                                                                                                                                                                                                                                                                                                                                                                                                                                                                                                                                                                                                                                                                                                                                                       |                                |                                                                                                                                                                                                                                                                                                                                                                                                                                                                                                                                                                                                                                                                                                                                                                                                                                                                                                                                                                                                                                                                                                                                                                                                                                                                                                                                                                                                                                                                                                                                                                                                                                          |                                        |  |                                                                                                 |          |                                                                                                                    |                                    |                                                                                                                     |           |                                                                                                                       |           |                                                                                                                       |                                  |                                                                                                                        |           |                                                                                                                           |           |                                                                                                                    |           |                                                                                                                     |           |                   |  |                                                                                                                                                                                                                                                                                                                                                                                                                                                                                                                                                                                                                                                                                                                                                                                                                                                                                                                                                                                                                                                                                                                                                                                                                                                                                                                                                                                                                                                                                                                                                                                                                        |                                |                                                                                                                                                                                                                                                                                                                                                                                                                                                                                                                                                                                                                                                                                                                                                                                                                                                                                                                                                                                                                                                                                                                                                                                                                                                                                                                                                                                                                                                                                                                                                                                                                                                              |                                        |  |                                                                                                   |          |                                                                                                                     |           |                                                                                                                           |           |                                                                                                                     |           |                                                                                                                      |           |                                                                                                                       |           |                                                                                                                       |           |                                                                                                                     |           |                                                                                                                 |           |                   |  |             |  |                                                                                                                                                                                                                                                                                                                                                                                                                                                                                                                                                                                                                                                                                                                                                                                                                                                                                                                                                                                                                                                                                                                                                                                                                                                                                                                                                                                                                                                                                                                                                                                                                            |                                |  |                                        |  |                                                                                                   |             |                                                                                                                     |           |                                                                                                                     |           |                                                                                                                     |           |                                                                                                                     |           |                                                                                                                   |           |                                                                                                               |           |                                                                                                                   |           |                   |  |             |  |                                                                                                                                                                                                                                                                                                                                                                                                                                                                                                                                                                                                                                                                                                                                                                                                                                                                                                                                                                                                                                                                                                                                                                                                                                                                                                                                                                                                                                                                                                                                                                                                                            |                                |  |                                        |  |                                                                                                   |             |                                                                                                                     |           |                                                                                                                     |           |                                                                                                                     |           |                                                                                                                     |           |                                                                                                                   |           |                                                                                                               |           |                                                                                                                   |           |                   |  |             |  |                                                                                                                                                                                                                                                                                                                                                                                                                                                                                                                                                                                                                                                                                                                                                                                                                                                                                                                                                                                                                                                                                                                                                                                                                                                                                                                                                                                                                                                                                                                                                                                                                            |                                |  |                                        |  |                                                                                                   |             |                                                                                                                     |           |                                                                                                                     |           |                                                                                                                     |           |                                                                                                                     |           |                                                                                                                   |           |                                                                                                               |           |                                                                                                                   |           |                   |  |             |  |                                                                                                                                                                                                                                                                                                                                                                                                                                                                                                                                                                                                                                                                                                                                                                                                                                                                                                                                                                                                                                                                                                                                                                                                                                                                                                                                                                                                                                                                                                                                                                                                                            |                                |  |                                        |  |                                                                                                   |             |                                                                                                                     |           |                                                                                                                     |           |                                                                                                                     |           |                                                                                                                     |           |                                                                                                                   |           |                                                                                                               |           |                                                                                                                   |           |                   |  |             |  |                                                                                                                                                                                                                                                                                                                                                                                                                                                                                                                                                                                                                                                                                                                                                                                                                                                                                                                                                                                                                                                                                                                                                                                                                                                                                                                                                                                                                                                                                                                                                                                                                            |                                |  |                                        |  |                                                                                                   |             |                                                                                                                     |           |                                                                                                                     |           |                                                                                                                     |           |                                                                                                                     |           |                                                                                                                   |           |                                                                                                               |           |                                                                                                                   |           |                   |  |             |  |                                                                                                                                                                                                                                                                                                                                                                                                                                                                                                                                                                   |                                |  |                                        |  |                                                                                                   |             |                                                                                                                     |           |                              |
| ResProtectCapCurr                                                                                                                                                                                                                                                                                                                                                                                                                                                                                                                                                                                                                                                                                                                                                                                                                                                                                                                                                                                                                                                                                                                                                                                                                                                                                                                                                                                                                                                           |                                    |  |                                        |  |                                                                                                                     |           |                                                                                                                     |           |                                                                                                                     |           |                                                                                                                     |           |                                                                                                                   |          |                                                                                                                   |          |                                                                                                                         |           |                   |  |             |  |                                                                                                                                                                                                                                                                                                                                                                                                                                                                                                                                                                                                                                                                                                                                                                                                                                                                                                                                                                                                                                                                                                                                                                                                                                                                                                                                                                                                                                                                                                                                                                                                                               |                                |  |                                        |  |                                                                                                                     |           |                                                                                                                     |          |                                                                                                                     |           |                                                                                                                         |          |                                                                                                                   |           |                                                                                                                  |           |                                                                                                                            |           |                                                                                                                      |          |                   |  |                                                                                                                                                                                                                                                                                                                                                                                                                                                                                                                                                                                                                                                                                                                                                                                                                                                                                                                                                                                                                                                                                                                                                                                                                                                                                                                                                                                                                                                                                                                                                                                                                                                                       |                                |                                                                                                                                                                                                                                                                                                                                                                                                                                                                                                                                                                                                                                                                                                                                                                                                                                                                                                                                                                                                                                                                                                                                                                                                                                                                                                                                                                                                                                                                                                                                                                                                                                          |                                        |  |                                                                                                 |          |                                                                                                                    |                                    |                                                                                                                     |           |                                                                                                                       |           |                                                                                                                       |                                  |                                                                                                                        |           |                                                                                                                           |           |                                                                                                                    |           |                                                                                                                     |           |                   |  |                                                                                                                                                                                                                                                                                                                                                                                                                                                                                                                                                                                                                                                                                                                                                                                                                                                                                                                                                                                                                                                                                                                                                                                                                                                                                                                                                                                                                                                                                                                                                                                                                        |                                |                                                                                                                                                                                                                                                                                                                                                                                                                                                                                                                                                                                                                                                                                                                                                                                                                                                                                                                                                                                                                                                                                                                                                                                                                                                                                                                                                                                                                                                                                                                                                                                                                                                              |                                        |  |                                                                                                   |          |                                                                                                                     |           |                                                                                                                           |           |                                                                                                                     |           |                                                                                                                      |           |                                                                                                                       |           |                                                                                                                       |           |                                                                                                                     |           |                                                                                                                 |           |                   |  |             |  |                                                                                                                                                                                                                                                                                                                                                                                                                                                                                                                                                                                                                                                                                                                                                                                                                                                                                                                                                                                                                                                                                                                                                                                                                                                                                                                                                                                                                                                                                                                                                                                                                            |                                |  |                                        |  |                                                                                                   |             |                                                                                                                     |           |                                                                                                                     |           |                                                                                                                     |           |                                                                                                                     |           |                                                                                                                   |           |                                                                                                               |           |                                                                                                                   |           |                   |  |             |  |                                                                                                                                                                                                                                                                                                                                                                                                                                                                                                                                                                                                                                                                                                                                                                                                                                                                                                                                                                                                                                                                                                                                                                                                                                                                                                                                                                                                                                                                                                                                                                                                                            |                                |  |                                        |  |                                                                                                   |             |                                                                                                                     |           |                                                                                                                     |           |                                                                                                                     |           |                                                                                                                     |           |                                                                                                                   |           |                                                                                                               |           |                                                                                                                   |           |                   |  |             |  |                                                                                                                                                                                                                                                                                                                                                                                                                                                                                                                                                                                                                                                                                                                                                                                                                                                                                                                                                                                                                                                                                                                                                                                                                                                                                                                                                                                                                                                                                                                                                                                                                            |                                |  |                                        |  |                                                                                                   |             |                                                                                                                     |           |                                                                                                                     |           |                                                                                                                     |           |                                                                                                                     |           |                                                                                                                   |           |                                                                                                               |           |                                                                                                                   |           |                   |  |             |  |                                                                                                                                                                                                                                                                                                                                                                                                                                                                                                                                                                                                                                                                                                                                                                                                                                                                                                                                                                                                                                                                                                                                                                                                                                                                                                                                                                                                                                                                                                                                                                                                                            |                                |  |                                        |  |                                                                                                   |             |                                                                                                                     |           |                                                                                                                     |           |                                                                                                                     |           |                                                                                                                     |           |                                                                                                                   |           |                                                                                                               |           |                                                                                                                   |           |                   |  |             |  |                                                                                                                                                                                                                                                                                                                                                                                                                                                                                                                                                                                                                                                                                                                                                                                                                                                                                                                                                                                                                                                                                                                                                                                                                                                                                                                                                                                                                                                                                                                                                                                                                            |                                |  |                                        |  |                                                                                                   |             |                                                                                                                     |           |                                                                                                                     |           |                                                                                                                     |           |                                                                                                                     |           |                                                                                                                   |           |                                                                                                               |           |                                                                                                                   |           |                   |  |             |  |                                                                                                                                                                                                                                                                                                                                                                                                                                                                                                                                                                   |                                |  |                                        |  |                                                                                                   |             |                                                                                                                     |           |                              |
| <b>Read</b>                                                                                                                                                                                                                                                                                                                                                                                                                                                                                                                                                                                                                                                                                                                                                                                                                                                                                                                                                                                                                                                                                                                                                                                                                                                                                                                                                                                                                                                                 |                                    |  |                                        |  |                                                                                                                     |           |                                                                                                                     |           |                                                                                                                     |           |                                                                                                                     |           |                                                                                                                   |          |                                                                                                                   |          |                                                                                                                         |           |                   |  |             |  |                                                                                                                                                                                                                                                                                                                                                                                                                                                                                                                                                                                                                                                                                                                                                                                                                                                                                                                                                                                                                                                                                                                                                                                                                                                                                                                                                                                                                                                                                                                                                                                                                               |                                |  |                                        |  |                                                                                                                     |           |                                                                                                                     |          |                                                                                                                     |           |                                                                                                                         |          |                                                                                                                   |           |                                                                                                                  |           |                                                                                                                            |           |                                                                                                                      |          |                   |  |                                                                                                                                                                                                                                                                                                                                                                                                                                                                                                                                                                                                                                                                                                                                                                                                                                                                                                                                                                                                                                                                                                                                                                                                                                                                                                                                                                                                                                                                                                                                                                                                                                                                       |                                |                                                                                                                                                                                                                                                                                                                                                                                                                                                                                                                                                                                                                                                                                                                                                                                                                                                                                                                                                                                                                                                                                                                                                                                                                                                                                                                                                                                                                                                                                                                                                                                                                                          |                                        |  |                                                                                                 |          |                                                                                                                    |                                    |                                                                                                                     |           |                                                                                                                       |           |                                                                                                                       |                                  |                                                                                                                        |           |                                                                                                                           |           |                                                                                                                    |           |                                                                                                                     |           |                   |  |                                                                                                                                                                                                                                                                                                                                                                                                                                                                                                                                                                                                                                                                                                                                                                                                                                                                                                                                                                                                                                                                                                                                                                                                                                                                                                                                                                                                                                                                                                                                                                                                                        |                                |                                                                                                                                                                                                                                                                                                                                                                                                                                                                                                                                                                                                                                                                                                                                                                                                                                                                                                                                                                                                                                                                                                                                                                                                                                                                                                                                                                                                                                                                                                                                                                                                                                                              |                                        |  |                                                                                                   |          |                                                                                                                     |           |                                                                                                                           |           |                                                                                                                     |           |                                                                                                                      |           |                                                                                                                       |           |                                                                                                                       |           |                                                                                                                     |           |                                                                                                                 |           |                   |  |             |  |                                                                                                                                                                                                                                                                                                                                                                                                                                                                                                                                                                                                                                                                                                                                                                                                                                                                                                                                                                                                                                                                                                                                                                                                                                                                                                                                                                                                                                                                                                                                                                                                                            |                                |  |                                        |  |                                                                                                   |             |                                                                                                                     |           |                                                                                                                     |           |                                                                                                                     |           |                                                                                                                     |           |                                                                                                                   |           |                                                                                                               |           |                                                                                                                   |           |                   |  |             |  |                                                                                                                                                                                                                                                                                                                                                                                                                                                                                                                                                                                                                                                                                                                                                                                                                                                                                                                                                                                                                                                                                                                                                                                                                                                                                                                                                                                                                                                                                                                                                                                                                            |                                |  |                                        |  |                                                                                                   |             |                                                                                                                     |           |                                                                                                                     |           |                                                                                                                     |           |                                                                                                                     |           |                                                                                                                   |           |                                                                                                               |           |                                                                                                                   |           |                   |  |             |  |                                                                                                                                                                                                                                                                                                                                                                                                                                                                                                                                                                                                                                                                                                                                                                                                                                                                                                                                                                                                                                                                                                                                                                                                                                                                                                                                                                                                                                                                                                                                                                                                                            |                                |  |                                        |  |                                                                                                   |             |                                                                                                                     |           |                                                                                                                     |           |                                                                                                                     |           |                                                                                                                     |           |                                                                                                                   |           |                                                                                                               |           |                                                                                                                   |           |                   |  |             |  |                                                                                                                                                                                                                                                                                                                                                                                                                                                                                                                                                                                                                                                                                                                                                                                                                                                                                                                                                                                                                                                                                                                                                                                                                                                                                                                                                                                                                                                                                                                                                                                                                            |                                |  |                                        |  |                                                                                                   |             |                                                                                                                     |           |                                                                                                                     |           |                                                                                                                     |           |                                                                                                                     |           |                                                                                                                   |           |                                                                                                               |           |                                                                                                                   |           |                   |  |             |  |                                                                                                                                                                                                                                                                                                                                                                                                                                                                                                                                                                                                                                                                                                                                                                                                                                                                                                                                                                                                                                                                                                                                                                                                                                                                                                                                                                                                                                                                                                                                                                                                                            |                                |  |                                        |  |                                                                                                   |             |                                                                                                                     |           |                                                                                                                     |           |                                                                                                                     |           |                                                                                                                     |           |                                                                                                                   |           |                                                                                                               |           |                                                                                                                   |           |                   |  |             |  |                                                                                                                                                                                                                                                                                                                                                                                                                                                                                                                                                                   |                                |  |                                        |  |                                                                                                   |             |                                                                                                                     |           |                              |
| Enable/disable control Para...                                                                                                                                                                                                                                                                                                                                                                                                                                                                                                                                                                                                                                                                                                                                                                                                                                                                                                                                                                                                                                                                                                                                                                                                                                                                                                                                                                                                                                              |                                    |  |                                        |  |                                                                                                                     |           |                                                                                                                     |           |                                                                                                                     |           |                                                                                                                     |           |                                                                                                                   |          |                                                                                                                   |          |                                                                                                                         |           |                   |  |             |  |                                                                                                                                                                                                                                                                                                                                                                                                                                                                                                                                                                                                                                                                                                                                                                                                                                                                                                                                                                                                                                                                                                                                                                                                                                                                                                                                                                                                                                                                                                                                                                                                                               |                                |  |                                        |  |                                                                                                                     |           |                                                                                                                     |          |                                                                                                                     |           |                                                                                                                         |          |                                                                                                                   |           |                                                                                                                  |           |                                                                                                                            |           |                                                                                                                      |          |                   |  |                                                                                                                                                                                                                                                                                                                                                                                                                                                                                                                                                                                                                                                                                                                                                                                                                                                                                                                                                                                                                                                                                                                                                                                                                                                                                                                                                                                                                                                                                                                                                                                                                                                                       |                                |                                                                                                                                                                                                                                                                                                                                                                                                                                                                                                                                                                                                                                                                                                                                                                                                                                                                                                                                                                                                                                                                                                                                                                                                                                                                                                                                                                                                                                                                                                                                                                                                                                          |                                        |  |                                                                                                 |          |                                                                                                                    |                                    |                                                                                                                     |           |                                                                                                                       |           |                                                                                                                       |                                  |                                                                                                                        |           |                                                                                                                           |           |                                                                                                                    |           |                                                                                                                     |           |                   |  |                                                                                                                                                                                                                                                                                                                                                                                                                                                                                                                                                                                                                                                                                                                                                                                                                                                                                                                                                                                                                                                                                                                                                                                                                                                                                                                                                                                                                                                                                                                                                                                                                        |                                |                                                                                                                                                                                                                                                                                                                                                                                                                                                                                                                                                                                                                                                                                                                                                                                                                                                                                                                                                                                                                                                                                                                                                                                                                                                                                                                                                                                                                                                                                                                                                                                                                                                              |                                        |  |                                                                                                   |          |                                                                                                                     |           |                                                                                                                           |           |                                                                                                                     |           |                                                                                                                      |           |                                                                                                                       |           |                                                                                                                       |           |                                                                                                                     |           |                                                                                                                 |           |                   |  |             |  |                                                                                                                                                                                                                                                                                                                                                                                                                                                                                                                                                                                                                                                                                                                                                                                                                                                                                                                                                                                                                                                                                                                                                                                                                                                                                                                                                                                                                                                                                                                                                                                                                            |                                |  |                                        |  |                                                                                                   |             |                                                                                                                     |           |                                                                                                                     |           |                                                                                                                     |           |                                                                                                                     |           |                                                                                                                   |           |                                                                                                               |           |                                                                                                                   |           |                   |  |             |  |                                                                                                                                                                                                                                                                                                                                                                                                                                                                                                                                                                                                                                                                                                                                                                                                                                                                                                                                                                                                                                                                                                                                                                                                                                                                                                                                                                                                                                                                                                                                                                                                                            |                                |  |                                        |  |                                                                                                   |             |                                                                                                                     |           |                                                                                                                     |           |                                                                                                                     |           |                                                                                                                     |           |                                                                                                                   |           |                                                                                                               |           |                                                                                                                   |           |                   |  |             |  |                                                                                                                                                                                                                                                                                                                                                                                                                                                                                                                                                                                                                                                                                                                                                                                                                                                                                                                                                                                                                                                                                                                                                                                                                                                                                                                                                                                                                                                                                                                                                                                                                            |                                |  |                                        |  |                                                                                                   |             |                                                                                                                     |           |                                                                                                                     |           |                                                                                                                     |           |                                                                                                                     |           |                                                                                                                   |           |                                                                                                               |           |                                                                                                                   |           |                   |  |             |  |                                                                                                                                                                                                                                                                                                                                                                                                                                                                                                                                                                                                                                                                                                                                                                                                                                                                                                                                                                                                                                                                                                                                                                                                                                                                                                                                                                                                                                                                                                                                                                                                                            |                                |  |                                        |  |                                                                                                   |             |                                                                                                                     |           |                                                                                                                     |           |                                                                                                                     |           |                                                                                                                     |           |                                                                                                                   |           |                                                                                                               |           |                                                                                                                   |           |                   |  |             |  |                                                                                                                                                                                                                                                                                                                                                                                                                                                                                                                                                                                                                                                                                                                                                                                                                                                                                                                                                                                                                                                                                                                                                                                                                                                                                                                                                                                                                                                                                                                                                                                                                            |                                |  |                                        |  |                                                                                                   |             |                                                                                                                     |           |                                                                                                                     |           |                                                                                                                     |           |                                                                                                                     |           |                                                                                                                   |           |                                                                                                               |           |                                                                                                                   |           |                   |  |             |  |                                                                                                                                                                                                                                                                                                                                                                                                                                                                                                                                                                   |                                |  |                                        |  |                                                                                                   |             |                                                                                                                     |           |                              |
| Last Updated: 2/24/2025 15:55:34 +0800                                                                                                                                                                                                                                                                                                                                                                                                                                                                                                                                                                                                                                                                                                                                                                                                                                                                                                                                                                                                                                                                                                                                                                                                                                                                                                                                                                                                                                      |                                    |  |                                        |  |                                                                                                                     |           |                                                                                                                     |           |                                                                                                                     |           |                                                                                                                     |           |                                                                                                                   |          |                                                                                                                   |          |                                                                                                                         |           |                   |  |             |  |                                                                                                                                                                                                                                                                                                                                                                                                                                                                                                                                                                                                                                                                                                                                                                                                                                                                                                                                                                                                                                                                                                                                                                                                                                                                                                                                                                                                                                                                                                                                                                                                                               |                                |  |                                        |  |                                                                                                                     |           |                                                                                                                     |          |                                                                                                                     |           |                                                                                                                         |          |                                                                                                                   |           |                                                                                                                  |           |                                                                                                                            |           |                                                                                                                      |          |                   |  |                                                                                                                                                                                                                                                                                                                                                                                                                                                                                                                                                                                                                                                                                                                                                                                                                                                                                                                                                                                                                                                                                                                                                                                                                                                                                                                                                                                                                                                                                                                                                                                                                                                                       |                                |                                                                                                                                                                                                                                                                                                                                                                                                                                                                                                                                                                                                                                                                                                                                                                                                                                                                                                                                                                                                                                                                                                                                                                                                                                                                                                                                                                                                                                                                                                                                                                                                                                          |                                        |  |                                                                                                 |          |                                                                                                                    |                                    |                                                                                                                     |           |                                                                                                                       |           |                                                                                                                       |                                  |                                                                                                                        |           |                                                                                                                           |           |                                                                                                                    |           |                                                                                                                     |           |                   |  |                                                                                                                                                                                                                                                                                                                                                                                                                                                                                                                                                                                                                                                                                                                                                                                                                                                                                                                                                                                                                                                                                                                                                                                                                                                                                                                                                                                                                                                                                                                                                                                                                        |                                |                                                                                                                                                                                                                                                                                                                                                                                                                                                                                                                                                                                                                                                                                                                                                                                                                                                                                                                                                                                                                                                                                                                                                                                                                                                                                                                                                                                                                                                                                                                                                                                                                                                              |                                        |  |                                                                                                   |          |                                                                                                                     |           |                                                                                                                           |           |                                                                                                                     |           |                                                                                                                      |           |                                                                                                                       |           |                                                                                                                       |           |                                                                                                                     |           |                                                                                                                 |           |                   |  |             |  |                                                                                                                                                                                                                                                                                                                                                                                                                                                                                                                                                                                                                                                                                                                                                                                                                                                                                                                                                                                                                                                                                                                                                                                                                                                                                                                                                                                                                                                                                                                                                                                                                            |                                |  |                                        |  |                                                                                                   |             |                                                                                                                     |           |                                                                                                                     |           |                                                                                                                     |           |                                                                                                                     |           |                                                                                                                   |           |                                                                                                               |           |                                                                                                                   |           |                   |  |             |  |                                                                                                                                                                                                                                                                                                                                                                                                                                                                                                                                                                                                                                                                                                                                                                                                                                                                                                                                                                                                                                                                                                                                                                                                                                                                                                                                                                                                                                                                                                                                                                                                                            |                                |  |                                        |  |                                                                                                   |             |                                                                                                                     |           |                                                                                                                     |           |                                                                                                                     |           |                                                                                                                     |           |                                                                                                                   |           |                                                                                                               |           |                                                                                                                   |           |                   |  |             |  |                                                                                                                                                                                                                                                                                                                                                                                                                                                                                                                                                                                                                                                                                                                                                                                                                                                                                                                                                                                                                                                                                                                                                                                                                                                                                                                                                                                                                                                                                                                                                                                                                            |                                |  |                                        |  |                                                                                                   |             |                                                                                                                     |           |                                                                                                                     |           |                                                                                                                     |           |                                                                                                                     |           |                                                                                                                   |           |                                                                                                               |           |                                                                                                                   |           |                   |  |             |  |                                                                                                                                                                                                                                                                                                                                                                                                                                                                                                                                                                                                                                                                                                                                                                                                                                                                                                                                                                                                                                                                                                                                                                                                                                                                                                                                                                                                                                                                                                                                                                                                                            |                                |  |                                        |  |                                                                                                   |             |                                                                                                                     |           |                                                                                                                     |           |                                                                                                                     |           |                                                                                                                     |           |                                                                                                                   |           |                                                                                                               |           |                                                                                                                   |           |                   |  |             |  |                                                                                                                                                                                                                                                                                                                                                                                                                                                                                                                                                                                                                                                                                                                                                                                                                                                                                                                                                                                                                                                                                                                                                                                                                                                                                                                                                                                                                                                                                                                                                                                                                            |                                |  |                                        |  |                                                                                                   |             |                                                                                                                     |           |                                                                                                                     |           |                                                                                                                     |           |                                                                                                                     |           |                                                                                                                   |           |                                                                                                               |           |                                                                                                                   |           |                   |  |             |  |                                                                                                                                                                                                                                                                                                                                                                                                                                                                                                                                                                   |                                |  |                                        |  |                                                                                                   |             |                                                                                                                     |           |                              |
|  0x262C   9772                                                                                                                                                                                                                                                                                                                                                                                                                                                                                                                                                                                                                                                                                                                                                                                                                                                                                                                                                                                                                                                                                                                                                                                                                                                                                                                                                                           | Procedure >                        |  |                                        |  |                                                                                                                     |           |                                                                                                                     |           |                                                                                                                     |           |                                                                                                                     |           |                                                                                                                   |          |                                                                                                                   |          |                                                                                                                         |           |                   |  |             |  |                                                                                                                                                                                                                                                                                                                                                                                                                                                                                                                                                                                                                                                                                                                                                                                                                                                                                                                                                                                                                                                                                                                                                                                                                                                                                                                                                                                                                                                                                                                                                                                                                               |                                |  |                                        |  |                                                                                                                     |           |                                                                                                                     |          |                                                                                                                     |           |                                                                                                                         |          |                                                                                                                   |           |                                                                                                                  |           |                                                                                                                            |           |                                                                                                                      |          |                   |  |                                                                                                                                                                                                                                                                                                                                                                                                                                                                                                                                                                                                                                                                                                                                                                                                                                                                                                                                                                                                                                                                                                                                                                                                                                                                                                                                                                                                                                                                                                                                                                                                                                                                       |                                |                                                                                                                                                                                                                                                                                                                                                                                                                                                                                                                                                                                                                                                                                                                                                                                                                                                                                                                                                                                                                                                                                                                                                                                                                                                                                                                                                                                                                                                                                                                                                                                                                                          |                                        |  |                                                                                                 |          |                                                                                                                    |                                    |                                                                                                                     |           |                                                                                                                       |           |                                                                                                                       |                                  |                                                                                                                        |           |                                                                                                                           |           |                                                                                                                    |           |                                                                                                                     |           |                   |  |                                                                                                                                                                                                                                                                                                                                                                                                                                                                                                                                                                                                                                                                                                                                                                                                                                                                                                                                                                                                                                                                                                                                                                                                                                                                                                                                                                                                                                                                                                                                                                                                                        |                                |                                                                                                                                                                                                                                                                                                                                                                                                                                                                                                                                                                                                                                                                                                                                                                                                                                                                                                                                                                                                                                                                                                                                                                                                                                                                                                                                                                                                                                                                                                                                                                                                                                                              |                                        |  |                                                                                                   |          |                                                                                                                     |           |                                                                                                                           |           |                                                                                                                     |           |                                                                                                                      |           |                                                                                                                       |           |                                                                                                                       |           |                                                                                                                     |           |                                                                                                                 |           |                   |  |             |  |                                                                                                                                                                                                                                                                                                                                                                                                                                                                                                                                                                                                                                                                                                                                                                                                                                                                                                                                                                                                                                                                                                                                                                                                                                                                                                                                                                                                                                                                                                                                                                                                                            |                                |  |                                        |  |                                                                                                   |             |                                                                                                                     |           |                                                                                                                     |           |                                                                                                                     |           |                                                                                                                     |           |                                                                                                                   |           |                                                                                                               |           |                                                                                                                   |           |                   |  |             |  |                                                                                                                                                                                                                                                                                                                                                                                                                                                                                                                                                                                                                                                                                                                                                                                                                                                                                                                                                                                                                                                                                                                                                                                                                                                                                                                                                                                                                                                                                                                                                                                                                            |                                |  |                                        |  |                                                                                                   |             |                                                                                                                     |           |                                                                                                                     |           |                                                                                                                     |           |                                                                                                                     |           |                                                                                                                   |           |                                                                                                               |           |                                                                                                                   |           |                   |  |             |  |                                                                                                                                                                                                                                                                                                                                                                                                                                                                                                                                                                                                                                                                                                                                                                                                                                                                                                                                                                                                                                                                                                                                                                                                                                                                                                                                                                                                                                                                                                                                                                                                                            |                                |  |                                        |  |                                                                                                   |             |                                                                                                                     |           |                                                                                                                     |           |                                                                                                                     |           |                                                                                                                     |           |                                                                                                                   |           |                                                                                                               |           |                                                                                                                   |           |                   |  |             |  |                                                                                                                                                                                                                                                                                                                                                                                                                                                                                                                                                                                                                                                                                                                                                                                                                                                                                                                                                                                                                                                                                                                                                                                                                                                                                                                                                                                                                                                                                                                                                                                                                            |                                |  |                                        |  |                                                                                                   |             |                                                                                                                     |           |                                                                                                                     |           |                                                                                                                     |           |                                                                                                                     |           |                                                                                                                   |           |                                                                                                               |           |                                                                                                                   |           |                   |  |             |  |                                                                                                                                                                                                                                                                                                                                                                                                                                                                                                                                                                                                                                                                                                                                                                                                                                                                                                                                                                                                                                                                                                                                                                                                                                                                                                                                                                                                                                                                                                                                                                                                                            |                                |  |                                        |  |                                                                                                   |             |                                                                                                                     |           |                                                                                                                     |           |                                                                                                                     |           |                                                                                                                     |           |                                                                                                                   |           |                                                                                                               |           |                                                                                                                   |           |                   |  |             |  |                                                                                                                                                                                                                                                                                                                                                                                                                                                                                                                                                                   |                                |  |                                        |  |                                                                                                   |             |                                                                                                                     |           |                              |
|  PV1FuseCheckEn<br>0x262F   9775                                                                                                                                                                                                                                                                                                                                                                                                                                                                                                                                                                                                                                                                                                                                                                                                                                                                                                                                                                                                                                                                                                                                                                                                                                                                                                                                                         | Disable >                          |  |                                        |  |                                                                                                                     |           |                                                                                                                     |           |                                                                                                                     |           |                                                                                                                     |           |                                                                                                                   |          |                                                                                                                   |          |                                                                                                                         |           |                   |  |             |  |                                                                                                                                                                                                                                                                                                                                                                                                                                                                                                                                                                                                                                                                                                                                                                                                                                                                                                                                                                                                                                                                                                                                                                                                                                                                                                                                                                                                                                                                                                                                                                                                                               |                                |  |                                        |  |                                                                                                                     |           |                                                                                                                     |          |                                                                                                                     |           |                                                                                                                         |          |                                                                                                                   |           |                                                                                                                  |           |                                                                                                                            |           |                                                                                                                      |          |                   |  |                                                                                                                                                                                                                                                                                                                                                                                                                                                                                                                                                                                                                                                                                                                                                                                                                                                                                                                                                                                                                                                                                                                                                                                                                                                                                                                                                                                                                                                                                                                                                                                                                                                                       |                                |                                                                                                                                                                                                                                                                                                                                                                                                                                                                                                                                                                                                                                                                                                                                                                                                                                                                                                                                                                                                                                                                                                                                                                                                                                                                                                                                                                                                                                                                                                                                                                                                                                          |                                        |  |                                                                                                 |          |                                                                                                                    |                                    |                                                                                                                     |           |                                                                                                                       |           |                                                                                                                       |                                  |                                                                                                                        |           |                                                                                                                           |           |                                                                                                                    |           |                                                                                                                     |           |                   |  |                                                                                                                                                                                                                                                                                                                                                                                                                                                                                                                                                                                                                                                                                                                                                                                                                                                                                                                                                                                                                                                                                                                                                                                                                                                                                                                                                                                                                                                                                                                                                                                                                        |                                |                                                                                                                                                                                                                                                                                                                                                                                                                                                                                                                                                                                                                                                                                                                                                                                                                                                                                                                                                                                                                                                                                                                                                                                                                                                                                                                                                                                                                                                                                                                                                                                                                                                              |                                        |  |                                                                                                   |          |                                                                                                                     |           |                                                                                                                           |           |                                                                                                                     |           |                                                                                                                      |           |                                                                                                                       |           |                                                                                                                       |           |                                                                                                                     |           |                                                                                                                 |           |                   |  |             |  |                                                                                                                                                                                                                                                                                                                                                                                                                                                                                                                                                                                                                                                                                                                                                                                                                                                                                                                                                                                                                                                                                                                                                                                                                                                                                                                                                                                                                                                                                                                                                                                                                            |                                |  |                                        |  |                                                                                                   |             |                                                                                                                     |           |                                                                                                                     |           |                                                                                                                     |           |                                                                                                                     |           |                                                                                                                   |           |                                                                                                               |           |                                                                                                                   |           |                   |  |             |  |                                                                                                                                                                                                                                                                                                                                                                                                                                                                                                                                                                                                                                                                                                                                                                                                                                                                                                                                                                                                                                                                                                                                                                                                                                                                                                                                                                                                                                                                                                                                                                                                                            |                                |  |                                        |  |                                                                                                   |             |                                                                                                                     |           |                                                                                                                     |           |                                                                                                                     |           |                                                                                                                     |           |                                                                                                                   |           |                                                                                                               |           |                                                                                                                   |           |                   |  |             |  |                                                                                                                                                                                                                                                                                                                                                                                                                                                                                                                                                                                                                                                                                                                                                                                                                                                                                                                                                                                                                                                                                                                                                                                                                                                                                                                                                                                                                                                                                                                                                                                                                            |                                |  |                                        |  |                                                                                                   |             |                                                                                                                     |           |                                                                                                                     |           |                                                                                                                     |           |                                                                                                                     |           |                                                                                                                   |           |                                                                                                               |           |                                                                                                                   |           |                   |  |             |  |                                                                                                                                                                                                                                                                                                                                                                                                                                                                                                                                                                                                                                                                                                                                                                                                                                                                                                                                                                                                                                                                                                                                                                                                                                                                                                                                                                                                                                                                                                                                                                                                                            |                                |  |                                        |  |                                                                                                   |             |                                                                                                                     |           |                                                                                                                     |           |                                                                                                                     |           |                                                                                                                     |           |                                                                                                                   |           |                                                                                                               |           |                                                                                                                   |           |                   |  |             |  |                                                                                                                                                                                                                                                                                                                                                                                                                                                                                                                                                                                                                                                                                                                                                                                                                                                                                                                                                                                                                                                                                                                                                                                                                                                                                                                                                                                                                                                                                                                                                                                                                            |                                |  |                                        |  |                                                                                                   |             |                                                                                                                     |           |                                                                                                                     |           |                                                                                                                     |           |                                                                                                                     |           |                                                                                                                   |           |                                                                                                               |           |                                                                                                                   |           |                   |  |             |  |                                                                                                                                                                                                                                                                                                                                                                                                                                                                                                                                                                   |                                |  |                                        |  |                                                                                                   |             |                                                                                                                     |           |                              |
|  PV2FuseCheckEn<br>0x2630   9776                                                                                                                                                                                                                                                                                                                                                                                                                                                                                                                                                                                                                                                                                                                                                                                                                                                                                                                                                                                                                                                                                                                                                                                                                                                                                                                                                         | Disable >                          |  |                                        |  |                                                                                                                     |           |                                                                                                                     |           |                                                                                                                     |           |                                                                                                                     |           |                                                                                                                   |          |                                                                                                                   |          |                                                                                                                         |           |                   |  |             |  |                                                                                                                                                                                                                                                                                                                                                                                                                                                                                                                                                                                                                                                                                                                                                                                                                                                                                                                                                                                                                                                                                                                                                                                                                                                                                                                                                                                                                                                                                                                                                                                                                               |                                |  |                                        |  |                                                                                                                     |           |                                                                                                                     |          |                                                                                                                     |           |                                                                                                                         |          |                                                                                                                   |           |                                                                                                                  |           |                                                                                                                            |           |                                                                                                                      |          |                   |  |                                                                                                                                                                                                                                                                                                                                                                                                                                                                                                                                                                                                                                                                                                                                                                                                                                                                                                                                                                                                                                                                                                                                                                                                                                                                                                                                                                                                                                                                                                                                                                                                                                                                       |                                |                                                                                                                                                                                                                                                                                                                                                                                                                                                                                                                                                                                                                                                                                                                                                                                                                                                                                                                                                                                                                                                                                                                                                                                                                                                                                                                                                                                                                                                                                                                                                                                                                                          |                                        |  |                                                                                                 |          |                                                                                                                    |                                    |                                                                                                                     |           |                                                                                                                       |           |                                                                                                                       |                                  |                                                                                                                        |           |                                                                                                                           |           |                                                                                                                    |           |                                                                                                                     |           |                   |  |                                                                                                                                                                                                                                                                                                                                                                                                                                                                                                                                                                                                                                                                                                                                                                                                                                                                                                                                                                                                                                                                                                                                                                                                                                                                                                                                                                                                                                                                                                                                                                                                                        |                                |                                                                                                                                                                                                                                                                                                                                                                                                                                                                                                                                                                                                                                                                                                                                                                                                                                                                                                                                                                                                                                                                                                                                                                                                                                                                                                                                                                                                                                                                                                                                                                                                                                                              |                                        |  |                                                                                                   |          |                                                                                                                     |           |                                                                                                                           |           |                                                                                                                     |           |                                                                                                                      |           |                                                                                                                       |           |                                                                                                                       |           |                                                                                                                     |           |                                                                                                                 |           |                   |  |             |  |                                                                                                                                                                                                                                                                                                                                                                                                                                                                                                                                                                                                                                                                                                                                                                                                                                                                                                                                                                                                                                                                                                                                                                                                                                                                                                                                                                                                                                                                                                                                                                                                                            |                                |  |                                        |  |                                                                                                   |             |                                                                                                                     |           |                                                                                                                     |           |                                                                                                                     |           |                                                                                                                     |           |                                                                                                                   |           |                                                                                                               |           |                                                                                                                   |           |                   |  |             |  |                                                                                                                                                                                                                                                                                                                                                                                                                                                                                                                                                                                                                                                                                                                                                                                                                                                                                                                                                                                                                                                                                                                                                                                                                                                                                                                                                                                                                                                                                                                                                                                                                            |                                |  |                                        |  |                                                                                                   |             |                                                                                                                     |           |                                                                                                                     |           |                                                                                                                     |           |                                                                                                                     |           |                                                                                                                   |           |                                                                                                               |           |                                                                                                                   |           |                   |  |             |  |                                                                                                                                                                                                                                                                                                                                                                                                                                                                                                                                                                                                                                                                                                                                                                                                                                                                                                                                                                                                                                                                                                                                                                                                                                                                                                                                                                                                                                                                                                                                                                                                                            |                                |  |                                        |  |                                                                                                   |             |                                                                                                                     |           |                                                                                                                     |           |                                                                                                                     |           |                                                                                                                     |           |                                                                                                                   |           |                                                                                                               |           |                                                                                                                   |           |                   |  |             |  |                                                                                                                                                                                                                                                                                                                                                                                                                                                                                                                                                                                                                                                                                                                                                                                                                                                                                                                                                                                                                                                                                                                                                                                                                                                                                                                                                                                                                                                                                                                                                                                                                            |                                |  |                                        |  |                                                                                                   |             |                                                                                                                     |           |                                                                                                                     |           |                                                                                                                     |           |                                                                                                                     |           |                                                                                                                   |           |                                                                                                               |           |                                                                                                                   |           |                   |  |             |  |                                                                                                                                                                                                                                                                                                                                                                                                                                                                                                                                                                                                                                                                                                                                                                                                                                                                                                                                                                                                                                                                                                                                                                                                                                                                                                                                                                                                                                                                                                                                                                                                                            |                                |  |                                        |  |                                                                                                   |             |                                                                                                                     |           |                                                                                                                     |           |                                                                                                                     |           |                                                                                                                     |           |                                                                                                                   |           |                                                                                                               |           |                                                                                                                   |           |                   |  |             |  |                                                                                                                                                                                                                                                                                                                                                                                                                                                                                                                                                                   |                                |  |                                        |  |                                                                                                   |             |                                                                                                                     |           |                              |
|  PV3FuseCheckEn<br>0x2631   9777                                                                                                                                                                                                                                                                                                                                                                                                                                                                                                                                                                                                                                                                                                                                                                                                                                                                                                                                                                                                                                                                                                                                                                                                                                                                                                                                                         | Disable >                          |  |                                        |  |                                                                                                                     |           |                                                                                                                     |           |                                                                                                                     |           |                                                                                                                     |           |                                                                                                                   |          |                                                                                                                   |          |                                                                                                                         |           |                   |  |             |  |                                                                                                                                                                                                                                                                                                                                                                                                                                                                                                                                                                                                                                                                                                                                                                                                                                                                                                                                                                                                                                                                                                                                                                                                                                                                                                                                                                                                                                                                                                                                                                                                                               |                                |  |                                        |  |                                                                                                                     |           |                                                                                                                     |          |                                                                                                                     |           |                                                                                                                         |          |                                                                                                                   |           |                                                                                                                  |           |                                                                                                                            |           |                                                                                                                      |          |                   |  |                                                                                                                                                                                                                                                                                                                                                                                                                                                                                                                                                                                                                                                                                                                                                                                                                                                                                                                                                                                                                                                                                                                                                                                                                                                                                                                                                                                                                                                                                                                                                                                                                                                                       |                                |                                                                                                                                                                                                                                                                                                                                                                                                                                                                                                                                                                                                                                                                                                                                                                                                                                                                                                                                                                                                                                                                                                                                                                                                                                                                                                                                                                                                                                                                                                                                                                                                                                          |                                        |  |                                                                                                 |          |                                                                                                                    |                                    |                                                                                                                     |           |                                                                                                                       |           |                                                                                                                       |                                  |                                                                                                                        |           |                                                                                                                           |           |                                                                                                                    |           |                                                                                                                     |           |                   |  |                                                                                                                                                                                                                                                                                                                                                                                                                                                                                                                                                                                                                                                                                                                                                                                                                                                                                                                                                                                                                                                                                                                                                                                                                                                                                                                                                                                                                                                                                                                                                                                                                        |                                |                                                                                                                                                                                                                                                                                                                                                                                                                                                                                                                                                                                                                                                                                                                                                                                                                                                                                                                                                                                                                                                                                                                                                                                                                                                                                                                                                                                                                                                                                                                                                                                                                                                              |                                        |  |                                                                                                   |          |                                                                                                                     |           |                                                                                                                           |           |                                                                                                                     |           |                                                                                                                      |           |                                                                                                                       |           |                                                                                                                       |           |                                                                                                                     |           |                                                                                                                 |           |                   |  |             |  |                                                                                                                                                                                                                                                                                                                                                                                                                                                                                                                                                                                                                                                                                                                                                                                                                                                                                                                                                                                                                                                                                                                                                                                                                                                                                                                                                                                                                                                                                                                                                                                                                            |                                |  |                                        |  |                                                                                                   |             |                                                                                                                     |           |                                                                                                                     |           |                                                                                                                     |           |                                                                                                                     |           |                                                                                                                   |           |                                                                                                               |           |                                                                                                                   |           |                   |  |             |  |                                                                                                                                                                                                                                                                                                                                                                                                                                                                                                                                                                                                                                                                                                                                                                                                                                                                                                                                                                                                                                                                                                                                                                                                                                                                                                                                                                                                                                                                                                                                                                                                                            |                                |  |                                        |  |                                                                                                   |             |                                                                                                                     |           |                                                                                                                     |           |                                                                                                                     |           |                                                                                                                     |           |                                                                                                                   |           |                                                                                                               |           |                                                                                                                   |           |                   |  |             |  |                                                                                                                                                                                                                                                                                                                                                                                                                                                                                                                                                                                                                                                                                                                                                                                                                                                                                                                                                                                                                                                                                                                                                                                                                                                                                                                                                                                                                                                                                                                                                                                                                            |                                |  |                                        |  |                                                                                                   |             |                                                                                                                     |           |                                                                                                                     |           |                                                                                                                     |           |                                                                                                                     |           |                                                                                                                   |           |                                                                                                               |           |                                                                                                                   |           |                   |  |             |  |                                                                                                                                                                                                                                                                                                                                                                                                                                                                                                                                                                                                                                                                                                                                                                                                                                                                                                                                                                                                                                                                                                                                                                                                                                                                                                                                                                                                                                                                                                                                                                                                                            |                                |  |                                        |  |                                                                                                   |             |                                                                                                                     |           |                                                                                                                     |           |                                                                                                                     |           |                                                                                                                     |           |                                                                                                                   |           |                                                                                                               |           |                                                                                                                   |           |                   |  |             |  |                                                                                                                                                                                                                                                                                                                                                                                                                                                                                                                                                                                                                                                                                                                                                                                                                                                                                                                                                                                                                                                                                                                                                                                                                                                                                                                                                                                                                                                                                                                                                                                                                            |                                |  |                                        |  |                                                                                                   |             |                                                                                                                     |           |                                                                                                                     |           |                                                                                                                     |           |                                                                                                                     |           |                                                                                                                   |           |                                                                                                               |           |                                                                                                                   |           |                   |  |             |  |                                                                                                                                                                                                                                                                                                                                                                                                                                                                                                                                                                   |                                |  |                                        |  |                                                                                                   |             |                                                                                                                     |           |                              |
|  PV4FuseCheckEn<br>0x2632   9778                                                                                                                                                                                                                                                                                                                                                                                                                                                                                                                                                                                                                                                                                                                                                                                                                                                                                                                                                                                                                                                                                                                                                                                                                                                                                                                                                         | Disable >                          |  |                                        |  |                                                                                                                     |           |                                                                                                                     |           |                                                                                                                     |           |                                                                                                                     |           |                                                                                                                   |          |                                                                                                                   |          |                                                                                                                         |           |                   |  |             |  |                                                                                                                                                                                                                                                                                                                                                                                                                                                                                                                                                                                                                                                                                                                                                                                                                                                                                                                                                                                                                                                                                                                                                                                                                                                                                                                                                                                                                                                                                                                                                                                                                               |                                |  |                                        |  |                                                                                                                     |           |                                                                                                                     |          |                                                                                                                     |           |                                                                                                                         |          |                                                                                                                   |           |                                                                                                                  |           |                                                                                                                            |           |                                                                                                                      |          |                   |  |                                                                                                                                                                                                                                                                                                                                                                                                                                                                                                                                                                                                                                                                                                                                                                                                                                                                                                                                                                                                                                                                                                                                                                                                                                                                                                                                                                                                                                                                                                                                                                                                                                                                       |                                |                                                                                                                                                                                                                                                                                                                                                                                                                                                                                                                                                                                                                                                                                                                                                                                                                                                                                                                                                                                                                                                                                                                                                                                                                                                                                                                                                                                                                                                                                                                                                                                                                                          |                                        |  |                                                                                                 |          |                                                                                                                    |                                    |                                                                                                                     |           |                                                                                                                       |           |                                                                                                                       |                                  |                                                                                                                        |           |                                                                                                                           |           |                                                                                                                    |           |                                                                                                                     |           |                   |  |                                                                                                                                                                                                                                                                                                                                                                                                                                                                                                                                                                                                                                                                                                                                                                                                                                                                                                                                                                                                                                                                                                                                                                                                                                                                                                                                                                                                                                                                                                                                                                                                                        |                                |                                                                                                                                                                                                                                                                                                                                                                                                                                                                                                                                                                                                                                                                                                                                                                                                                                                                                                                                                                                                                                                                                                                                                                                                                                                                                                                                                                                                                                                                                                                                                                                                                                                              |                                        |  |                                                                                                   |          |                                                                                                                     |           |                                                                                                                           |           |                                                                                                                     |           |                                                                                                                      |           |                                                                                                                       |           |                                                                                                                       |           |                                                                                                                     |           |                                                                                                                 |           |                   |  |             |  |                                                                                                                                                                                                                                                                                                                                                                                                                                                                                                                                                                                                                                                                                                                                                                                                                                                                                                                                                                                                                                                                                                                                                                                                                                                                                                                                                                                                                                                                                                                                                                                                                            |                                |  |                                        |  |                                                                                                   |             |                                                                                                                     |           |                                                                                                                     |           |                                                                                                                     |           |                                                                                                                     |           |                                                                                                                   |           |                                                                                                               |           |                                                                                                                   |           |                   |  |             |  |                                                                                                                                                                                                                                                                                                                                                                                                                                                                                                                                                                                                                                                                                                                                                                                                                                                                                                                                                                                                                                                                                                                                                                                                                                                                                                                                                                                                                                                                                                                                                                                                                            |                                |  |                                        |  |                                                                                                   |             |                                                                                                                     |           |                                                                                                                     |           |                                                                                                                     |           |                                                                                                                     |           |                                                                                                                   |           |                                                                                                               |           |                                                                                                                   |           |                   |  |             |  |                                                                                                                                                                                                                                                                                                                                                                                                                                                                                                                                                                                                                                                                                                                                                                                                                                                                                                                                                                                                                                                                                                                                                                                                                                                                                                                                                                                                                                                                                                                                                                                                                            |                                |  |                                        |  |                                                                                                   |             |                                                                                                                     |           |                                                                                                                     |           |                                                                                                                     |           |                                                                                                                     |           |                                                                                                                   |           |                                                                                                               |           |                                                                                                                   |           |                   |  |             |  |                                                                                                                                                                                                                                                                                                                                                                                                                                                                                                                                                                                                                                                                                                                                                                                                                                                                                                                                                                                                                                                                                                                                                                                                                                                                                                                                                                                                                                                                                                                                                                                                                            |                                |  |                                        |  |                                                                                                   |             |                                                                                                                     |           |                                                                                                                     |           |                                                                                                                     |           |                                                                                                                     |           |                                                                                                                   |           |                                                                                                               |           |                                                                                                                   |           |                   |  |             |  |                                                                                                                                                                                                                                                                                                                                                                                                                                                                                                                                                                                                                                                                                                                                                                                                                                                                                                                                                                                                                                                                                                                                                                                                                                                                                                                                                                                                                                                                                                                                                                                                                            |                                |  |                                        |  |                                                                                                   |             |                                                                                                                     |           |                                                                                                                     |           |                                                                                                                     |           |                                                                                                                     |           |                                                                                                                   |           |                                                                                                               |           |                                                                                                                   |           |                   |  |             |  |                                                                                                                                                                                                                                                                                                                                                                                                                                                                                                                                                                   |                                |  |                                        |  |                                                                                                   |             |                                                                                                                     |           |                              |
|  ResProtectEn<br>0x2655   9813                                                                                                                                                                                                                                                                                                                                                                                                                                                                                                                                                                                                                                                                                                                                                                                                                                                                                                                                                                                                                                                                                                                                                                                                                                                                                                                                                           | Disable >                          |  |                                        |  |                                                                                                                     |           |                                                                                                                     |           |                                                                                                                     |           |                                                                                                                     |           |                                                                                                                   |          |                                                                                                                   |          |                                                                                                                         |           |                   |  |             |  |                                                                                                                                                                                                                                                                                                                                                                                                                                                                                                                                                                                                                                                                                                                                                                                                                                                                                                                                                                                                                                                                                                                                                                                                                                                                                                                                                                                                                                                                                                                                                                                                                               |                                |  |                                        |  |                                                                                                                     |           |                                                                                                                     |          |                                                                                                                     |           |                                                                                                                         |          |                                                                                                                   |           |                                                                                                                  |           |                                                                                                                            |           |                                                                                                                      |          |                   |  |                                                                                                                                                                                                                                                                                                                                                                                                                                                                                                                                                                                                                                                                                                                                                                                                                                                                                                                                                                                                                                                                                                                                                                                                                                                                                                                                                                                                                                                                                                                                                                                                                                                                       |                                |                                                                                                                                                                                                                                                                                                                                                                                                                                                                                                                                                                                                                                                                                                                                                                                                                                                                                                                                                                                                                                                                                                                                                                                                                                                                                                                                                                                                                                                                                                                                                                                                                                          |                                        |  |                                                                                                 |          |                                                                                                                    |                                    |                                                                                                                     |           |                                                                                                                       |           |                                                                                                                       |                                  |                                                                                                                        |           |                                                                                                                           |           |                                                                                                                    |           |                                                                                                                     |           |                   |  |                                                                                                                                                                                                                                                                                                                                                                                                                                                                                                                                                                                                                                                                                                                                                                                                                                                                                                                                                                                                                                                                                                                                                                                                                                                                                                                                                                                                                                                                                                                                                                                                                        |                                |                                                                                                                                                                                                                                                                                                                                                                                                                                                                                                                                                                                                                                                                                                                                                                                                                                                                                                                                                                                                                                                                                                                                                                                                                                                                                                                                                                                                                                                                                                                                                                                                                                                              |                                        |  |                                                                                                   |          |                                                                                                                     |           |                                                                                                                           |           |                                                                                                                     |           |                                                                                                                      |           |                                                                                                                       |           |                                                                                                                       |           |                                                                                                                     |           |                                                                                                                 |           |                   |  |             |  |                                                                                                                                                                                                                                                                                                                                                                                                                                                                                                                                                                                                                                                                                                                                                                                                                                                                                                                                                                                                                                                                                                                                                                                                                                                                                                                                                                                                                                                                                                                                                                                                                            |                                |  |                                        |  |                                                                                                   |             |                                                                                                                     |           |                                                                                                                     |           |                                                                                                                     |           |                                                                                                                     |           |                                                                                                                   |           |                                                                                                               |           |                                                                                                                   |           |                   |  |             |  |                                                                                                                                                                                                                                                                                                                                                                                                                                                                                                                                                                                                                                                                                                                                                                                                                                                                                                                                                                                                                                                                                                                                                                                                                                                                                                                                                                                                                                                                                                                                                                                                                            |                                |  |                                        |  |                                                                                                   |             |                                                                                                                     |           |                                                                                                                     |           |                                                                                                                     |           |                                                                                                                     |           |                                                                                                                   |           |                                                                                                               |           |                                                                                                                   |           |                   |  |             |  |                                                                                                                                                                                                                                                                                                                                                                                                                                                                                                                                                                                                                                                                                                                                                                                                                                                                                                                                                                                                                                                                                                                                                                                                                                                                                                                                                                                                                                                                                                                                                                                                                            |                                |  |                                        |  |                                                                                                   |             |                                                                                                                     |           |                                                                                                                     |           |                                                                                                                     |           |                                                                                                                     |           |                                                                                                                   |           |                                                                                                               |           |                                                                                                                   |           |                   |  |             |  |                                                                                                                                                                                                                                                                                                                                                                                                                                                                                                                                                                                                                                                                                                                                                                                                                                                                                                                                                                                                                                                                                                                                                                                                                                                                                                                                                                                                                                                                                                                                                                                                                            |                                |  |                                        |  |                                                                                                   |             |                                                                                                                     |           |                                                                                                                     |           |                                                                                                                     |           |                                                                                                                     |           |                                                                                                                   |           |                                                                                                               |           |                                                                                                                   |           |                   |  |             |  |                                                                                                                                                                                                                                                                                                                                                                                                                                                                                                                                                                                                                                                                                                                                                                                                                                                                                                                                                                                                                                                                                                                                                                                                                                                                                                                                                                                                                                                                                                                                                                                                                            |                                |  |                                        |  |                                                                                                   |             |                                                                                                                     |           |                                                                                                                     |           |                                                                                                                     |           |                                                                                                                     |           |                                                                                                                   |           |                                                                                                               |           |                                                                                                                   |           |                   |  |             |  |                                                                                                                                                                                                                                                                                                                                                                                                                                                                                                                                                                   |                                |  |                                        |  |                                                                                                   |             |                                                                                                                     |           |                              |
|  PF = 0,4<br>0x2659   9817                                                                                                                                                                                                                                                                                                                                                                                                                                                                                                                                                                                                                                                                                                                                                                                                                                                                                                                                                                                                                                                                                                                                                                                                                                                                                                                                                               | Disable >                          |  |                                        |  |                                                                                                                     |           |                                                                                                                     |           |                                                                                                                     |           |                                                                                                                     |           |                                                                                                                   |          |                                                                                                                   |          |                                                                                                                         |           |                   |  |             |  |                                                                                                                                                                                                                                                                                                                                                                                                                                                                                                                                                                                                                                                                                                                                                                                                                                                                                                                                                                                                                                                                                                                                                                                                                                                                                                                                                                                                                                                                                                                                                                                                                               |                                |  |                                        |  |                                                                                                                     |           |                                                                                                                     |          |                                                                                                                     |           |                                                                                                                         |          |                                                                                                                   |           |                                                                                                                  |           |                                                                                                                            |           |                                                                                                                      |          |                   |  |                                                                                                                                                                                                                                                                                                                                                                                                                                                                                                                                                                                                                                                                                                                                                                                                                                                                                                                                                                                                                                                                                                                                                                                                                                                                                                                                                                                                                                                                                                                                                                                                                                                                       |                                |                                                                                                                                                                                                                                                                                                                                                                                                                                                                                                                                                                                                                                                                                                                                                                                                                                                                                                                                                                                                                                                                                                                                                                                                                                                                                                                                                                                                                                                                                                                                                                                                                                          |                                        |  |                                                                                                 |          |                                                                                                                    |                                    |                                                                                                                     |           |                                                                                                                       |           |                                                                                                                       |                                  |                                                                                                                        |           |                                                                                                                           |           |                                                                                                                    |           |                                                                                                                     |           |                   |  |                                                                                                                                                                                                                                                                                                                                                                                                                                                                                                                                                                                                                                                                                                                                                                                                                                                                                                                                                                                                                                                                                                                                                                                                                                                                                                                                                                                                                                                                                                                                                                                                                        |                                |                                                                                                                                                                                                                                                                                                                                                                                                                                                                                                                                                                                                                                                                                                                                                                                                                                                                                                                                                                                                                                                                                                                                                                                                                                                                                                                                                                                                                                                                                                                                                                                                                                                              |                                        |  |                                                                                                   |          |                                                                                                                     |           |                                                                                                                           |           |                                                                                                                     |           |                                                                                                                      |           |                                                                                                                       |           |                                                                                                                       |           |                                                                                                                     |           |                                                                                                                 |           |                   |  |             |  |                                                                                                                                                                                                                                                                                                                                                                                                                                                                                                                                                                                                                                                                                                                                                                                                                                                                                                                                                                                                                                                                                                                                                                                                                                                                                                                                                                                                                                                                                                                                                                                                                            |                                |  |                                        |  |                                                                                                   |             |                                                                                                                     |           |                                                                                                                     |           |                                                                                                                     |           |                                                                                                                     |           |                                                                                                                   |           |                                                                                                               |           |                                                                                                                   |           |                   |  |             |  |                                                                                                                                                                                                                                                                                                                                                                                                                                                                                                                                                                                                                                                                                                                                                                                                                                                                                                                                                                                                                                                                                                                                                                                                                                                                                                                                                                                                                                                                                                                                                                                                                            |                                |  |                                        |  |                                                                                                   |             |                                                                                                                     |           |                                                                                                                     |           |                                                                                                                     |           |                                                                                                                     |           |                                                                                                                   |           |                                                                                                               |           |                                                                                                                   |           |                   |  |             |  |                                                                                                                                                                                                                                                                                                                                                                                                                                                                                                                                                                                                                                                                                                                                                                                                                                                                                                                                                                                                                                                                                                                                                                                                                                                                                                                                                                                                                                                                                                                                                                                                                            |                                |  |                                        |  |                                                                                                   |             |                                                                                                                     |           |                                                                                                                     |           |                                                                                                                     |           |                                                                                                                     |           |                                                                                                                   |           |                                                                                                               |           |                                                                                                                   |           |                   |  |             |  |                                                                                                                                                                                                                                                                                                                                                                                                                                                                                                                                                                                                                                                                                                                                                                                                                                                                                                                                                                                                                                                                                                                                                                                                                                                                                                                                                                                                                                                                                                                                                                                                                            |                                |  |                                        |  |                                                                                                   |             |                                                                                                                     |           |                                                                                                                     |           |                                                                                                                     |           |                                                                                                                     |           |                                                                                                                   |           |                                                                                                               |           |                                                                                                                   |           |                   |  |             |  |                                                                                                                                                                                                                                                                                                                                                                                                                                                                                                                                                                                                                                                                                                                                                                                                                                                                                                                                                                                                                                                                                                                                                                                                                                                                                                                                                                                                                                                                                                                                                                                                                            |                                |  |                                        |  |                                                                                                   |             |                                                                                                                     |           |                                                                                                                     |           |                                                                                                                     |           |                                                                                                                     |           |                                                                                                                   |           |                                                                                                               |           |                                                                                                                   |           |                   |  |             |  |                                                                                                                                                                                                                                                                                                                                                                                                                                                                                                                                                                   |                                |  |                                        |  |                                                                                                   |             |                                                                                                                     |           |                              |
|  AntiRefluxEn<br>0x265F   9823                                                                                                                                                                                                                                                                                                                                                                                                                                                                                                                                                                                                                                                                                                                                                                                                                                                                                                                                                                                                                                                                                                                                                                                                                                                                                                                                                           | Disable >                          |  |                                        |  |                                                                                                                     |           |                                                                                                                     |           |                                                                                                                     |           |                                                                                                                     |           |                                                                                                                   |          |                                                                                                                   |          |                                                                                                                         |           |                   |  |             |  |                                                                                                                                                                                                                                                                                                                                                                                                                                                                                                                                                                                                                                                                                                                                                                                                                                                                                                                                                                                                                                                                                                                                                                                                                                                                                                                                                                                                                                                                                                                                                                                                                               |                                |  |                                        |  |                                                                                                                     |           |                                                                                                                     |          |                                                                                                                     |           |                                                                                                                         |          |                                                                                                                   |           |                                                                                                                  |           |                                                                                                                            |           |                                                                                                                      |          |                   |  |                                                                                                                                                                                                                                                                                                                                                                                                                                                                                                                                                                                                                                                                                                                                                                                                                                                                                                                                                                                                                                                                                                                                                                                                                                                                                                                                                                                                                                                                                                                                                                                                                                                                       |                                |                                                                                                                                                                                                                                                                                                                                                                                                                                                                                                                                                                                                                                                                                                                                                                                                                                                                                                                                                                                                                                                                                                                                                                                                                                                                                                                                                                                                                                                                                                                                                                                                                                          |                                        |  |                                                                                                 |          |                                                                                                                    |                                    |                                                                                                                     |           |                                                                                                                       |           |                                                                                                                       |                                  |                                                                                                                        |           |                                                                                                                           |           |                                                                                                                    |           |                                                                                                                     |           |                   |  |                                                                                                                                                                                                                                                                                                                                                                                                                                                                                                                                                                                                                                                                                                                                                                                                                                                                                                                                                                                                                                                                                                                                                                                                                                                                                                                                                                                                                                                                                                                                                                                                                        |                                |                                                                                                                                                                                                                                                                                                                                                                                                                                                                                                                                                                                                                                                                                                                                                                                                                                                                                                                                                                                                                                                                                                                                                                                                                                                                                                                                                                                                                                                                                                                                                                                                                                                              |                                        |  |                                                                                                   |          |                                                                                                                     |           |                                                                                                                           |           |                                                                                                                     |           |                                                                                                                      |           |                                                                                                                       |           |                                                                                                                       |           |                                                                                                                     |           |                                                                                                                 |           |                   |  |             |  |                                                                                                                                                                                                                                                                                                                                                                                                                                                                                                                                                                                                                                                                                                                                                                                                                                                                                                                                                                                                                                                                                                                                                                                                                                                                                                                                                                                                                                                                                                                                                                                                                            |                                |  |                                        |  |                                                                                                   |             |                                                                                                                     |           |                                                                                                                     |           |                                                                                                                     |           |                                                                                                                     |           |                                                                                                                   |           |                                                                                                               |           |                                                                                                                   |           |                   |  |             |  |                                                                                                                                                                                                                                                                                                                                                                                                                                                                                                                                                                                                                                                                                                                                                                                                                                                                                                                                                                                                                                                                                                                                                                                                                                                                                                                                                                                                                                                                                                                                                                                                                            |                                |  |                                        |  |                                                                                                   |             |                                                                                                                     |           |                                                                                                                     |           |                                                                                                                     |           |                                                                                                                     |           |                                                                                                                   |           |                                                                                                               |           |                                                                                                                   |           |                   |  |             |  |                                                                                                                                                                                                                                                                                                                                                                                                                                                                                                                                                                                                                                                                                                                                                                                                                                                                                                                                                                                                                                                                                                                                                                                                                                                                                                                                                                                                                                                                                                                                                                                                                            |                                |  |                                        |  |                                                                                                   |             |                                                                                                                     |           |                                                                                                                     |           |                                                                                                                     |           |                                                                                                                     |           |                                                                                                                   |           |                                                                                                               |           |                                                                                                                   |           |                   |  |             |  |                                                                                                                                                                                                                                                                                                                                                                                                                                                                                                                                                                                                                                                                                                                                                                                                                                                                                                                                                                                                                                                                                                                                                                                                                                                                                                                                                                                                                                                                                                                                                                                                                            |                                |  |                                        |  |                                                                                                   |             |                                                                                                                     |           |                                                                                                                     |           |                                                                                                                     |           |                                                                                                                     |           |                                                                                                                   |           |                                                                                                               |           |                                                                                                                   |           |                   |  |             |  |                                                                                                                                                                                                                                                                                                                                                                                                                                                                                                                                                                                                                                                                                                                                                                                                                                                                                                                                                                                                                                                                                                                                                                                                                                                                                                                                                                                                                                                                                                                                                                                                                            |                                |  |                                        |  |                                                                                                   |             |                                                                                                                     |           |                                                                                                                     |           |                                                                                                                     |           |                                                                                                                     |           |                                                                                                                   |           |                                                                                                               |           |                                                                                                                   |           |                   |  |             |  |                                                                                                                                                                                                                                                                                                                                                                                                                                                                                                                                                                   |                                |  |                                        |  |                                                                                                   |             |                                                                                                                     |           |                              |
| ResProtectCapCurr                                                                                                                                                                                                                                                                                                                                                                                                                                                                                                                                                                                                                                                                                                                                                                                                                                                                                                                                                                                                                                                                                                                                                                                                                                                                                                                                                                                                                                                           |                                    |  |                                        |  |                                                                                                                     |           |                                                                                                                     |           |                                                                                                                     |           |                                                                                                                     |           |                                                                                                                   |          |                                                                                                                   |          |                                                                                                                         |           |                   |  |             |  |                                                                                                                                                                                                                                                                                                                                                                                                                                                                                                                                                                                                                                                                                                                                                                                                                                                                                                                                                                                                                                                                                                                                                                                                                                                                                                                                                                                                                                                                                                                                                                                                                               |                                |  |                                        |  |                                                                                                                     |           |                                                                                                                     |          |                                                                                                                     |           |                                                                                                                         |          |                                                                                                                   |           |                                                                                                                  |           |                                                                                                                            |           |                                                                                                                      |          |                   |  |                                                                                                                                                                                                                                                                                                                                                                                                                                                                                                                                                                                                                                                                                                                                                                                                                                                                                                                                                                                                                                                                                                                                                                                                                                                                                                                                                                                                                                                                                                                                                                                                                                                                       |                                |                                                                                                                                                                                                                                                                                                                                                                                                                                                                                                                                                                                                                                                                                                                                                                                                                                                                                                                                                                                                                                                                                                                                                                                                                                                                                                                                                                                                                                                                                                                                                                                                                                          |                                        |  |                                                                                                 |          |                                                                                                                    |                                    |                                                                                                                     |           |                                                                                                                       |           |                                                                                                                       |                                  |                                                                                                                        |           |                                                                                                                           |           |                                                                                                                    |           |                                                                                                                     |           |                   |  |                                                                                                                                                                                                                                                                                                                                                                                                                                                                                                                                                                                                                                                                                                                                                                                                                                                                                                                                                                                                                                                                                                                                                                                                                                                                                                                                                                                                                                                                                                                                                                                                                        |                                |                                                                                                                                                                                                                                                                                                                                                                                                                                                                                                                                                                                                                                                                                                                                                                                                                                                                                                                                                                                                                                                                                                                                                                                                                                                                                                                                                                                                                                                                                                                                                                                                                                                              |                                        |  |                                                                                                   |          |                                                                                                                     |           |                                                                                                                           |           |                                                                                                                     |           |                                                                                                                      |           |                                                                                                                       |           |                                                                                                                       |           |                                                                                                                     |           |                                                                                                                 |           |                   |  |             |  |                                                                                                                                                                                                                                                                                                                                                                                                                                                                                                                                                                                                                                                                                                                                                                                                                                                                                                                                                                                                                                                                                                                                                                                                                                                                                                                                                                                                                                                                                                                                                                                                                            |                                |  |                                        |  |                                                                                                   |             |                                                                                                                     |           |                                                                                                                     |           |                                                                                                                     |           |                                                                                                                     |           |                                                                                                                   |           |                                                                                                               |           |                                                                                                                   |           |                   |  |             |  |                                                                                                                                                                                                                                                                                                                                                                                                                                                                                                                                                                                                                                                                                                                                                                                                                                                                                                                                                                                                                                                                                                                                                                                                                                                                                                                                                                                                                                                                                                                                                                                                                            |                                |  |                                        |  |                                                                                                   |             |                                                                                                                     |           |                                                                                                                     |           |                                                                                                                     |           |                                                                                                                     |           |                                                                                                                   |           |                                                                                                               |           |                                                                                                                   |           |                   |  |             |  |                                                                                                                                                                                                                                                                                                                                                                                                                                                                                                                                                                                                                                                                                                                                                                                                                                                                                                                                                                                                                                                                                                                                                                                                                                                                                                                                                                                                                                                                                                                                                                                                                            |                                |  |                                        |  |                                                                                                   |             |                                                                                                                     |           |                                                                                                                     |           |                                                                                                                     |           |                                                                                                                     |           |                                                                                                                   |           |                                                                                                               |           |                                                                                                                   |           |                   |  |             |  |                                                                                                                                                                                                                                                                                                                                                                                                                                                                                                                                                                                                                                                                                                                                                                                                                                                                                                                                                                                                                                                                                                                                                                                                                                                                                                                                                                                                                                                                                                                                                                                                                            |                                |  |                                        |  |                                                                                                   |             |                                                                                                                     |           |                                                                                                                     |           |                                                                                                                     |           |                                                                                                                     |           |                                                                                                                   |           |                                                                                                               |           |                                                                                                                   |           |                   |  |             |  |                                                                                                                                                                                                                                                                                                                                                                                                                                                                                                                                                                                                                                                                                                                                                                                                                                                                                                                                                                                                                                                                                                                                                                                                                                                                                                                                                                                                                                                                                                                                                                                                                            |                                |  |                                        |  |                                                                                                   |             |                                                                                                                     |           |                                                                                                                     |           |                                                                                                                     |           |                                                                                                                     |           |                                                                                                                   |           |                                                                                                               |           |                                                                                                                   |           |                   |  |             |  |                                                                                                                                                                                                                                                                                                                                                                                                                                                                                                                                                                   |                                |  |                                        |  |                                                                                                   |             |                                                                                                                     |           |                              |
| <b>Read</b>                                                                                                                                                                                                                                                                                                                                                                                                                                                                                                                                                                                                                                                                                                                                                                                                                                                                                                                                                                                                                                                                                                                                                                                                                                                                                                                                                                                                                                                                 |                                    |  |                                        |  |                                                                                                                     |           |                                                                                                                     |           |                                                                                                                     |           |                                                                                                                     |           |                                                                                                                   |          |                                                                                                                   |          |                                                                                                                         |           |                   |  |             |  |                                                                                                                                                                                                                                                                                                                                                                                                                                                                                                                                                                                                                                                                                                                                                                                                                                                                                                                                                                                                                                                                                                                                                                                                                                                                                                                                                                                                                                                                                                                                                                                                                               |                                |  |                                        |  |                                                                                                                     |           |                                                                                                                     |          |                                                                                                                     |           |                                                                                                                         |          |                                                                                                                   |           |                                                                                                                  |           |                                                                                                                            |           |                                                                                                                      |          |                   |  |                                                                                                                                                                                                                                                                                                                                                                                                                                                                                                                                                                                                                                                                                                                                                                                                                                                                                                                                                                                                                                                                                                                                                                                                                                                                                                                                                                                                                                                                                                                                                                                                                                                                       |                                |                                                                                                                                                                                                                                                                                                                                                                                                                                                                                                                                                                                                                                                                                                                                                                                                                                                                                                                                                                                                                                                                                                                                                                                                                                                                                                                                                                                                                                                                                                                                                                                                                                          |                                        |  |                                                                                                 |          |                                                                                                                    |                                    |                                                                                                                     |           |                                                                                                                       |           |                                                                                                                       |                                  |                                                                                                                        |           |                                                                                                                           |           |                                                                                                                    |           |                                                                                                                     |           |                   |  |                                                                                                                                                                                                                                                                                                                                                                                                                                                                                                                                                                                                                                                                                                                                                                                                                                                                                                                                                                                                                                                                                                                                                                                                                                                                                                                                                                                                                                                                                                                                                                                                                        |                                |                                                                                                                                                                                                                                                                                                                                                                                                                                                                                                                                                                                                                                                                                                                                                                                                                                                                                                                                                                                                                                                                                                                                                                                                                                                                                                                                                                                                                                                                                                                                                                                                                                                              |                                        |  |                                                                                                   |          |                                                                                                                     |           |                                                                                                                           |           |                                                                                                                     |           |                                                                                                                      |           |                                                                                                                       |           |                                                                                                                       |           |                                                                                                                     |           |                                                                                                                 |           |                   |  |             |  |                                                                                                                                                                                                                                                                                                                                                                                                                                                                                                                                                                                                                                                                                                                                                                                                                                                                                                                                                                                                                                                                                                                                                                                                                                                                                                                                                                                                                                                                                                                                                                                                                            |                                |  |                                        |  |                                                                                                   |             |                                                                                                                     |           |                                                                                                                     |           |                                                                                                                     |           |                                                                                                                     |           |                                                                                                                   |           |                                                                                                               |           |                                                                                                                   |           |                   |  |             |  |                                                                                                                                                                                                                                                                                                                                                                                                                                                                                                                                                                                                                                                                                                                                                                                                                                                                                                                                                                                                                                                                                                                                                                                                                                                                                                                                                                                                                                                                                                                                                                                                                            |                                |  |                                        |  |                                                                                                   |             |                                                                                                                     |           |                                                                                                                     |           |                                                                                                                     |           |                                                                                                                     |           |                                                                                                                   |           |                                                                                                               |           |                                                                                                                   |           |                   |  |             |  |                                                                                                                                                                                                                                                                                                                                                                                                                                                                                                                                                                                                                                                                                                                                                                                                                                                                                                                                                                                                                                                                                                                                                                                                                                                                                                                                                                                                                                                                                                                                                                                                                            |                                |  |                                        |  |                                                                                                   |             |                                                                                                                     |           |                                                                                                                     |           |                                                                                                                     |           |                                                                                                                     |           |                                                                                                                   |           |                                                                                                               |           |                                                                                                                   |           |                   |  |             |  |                                                                                                                                                                                                                                                                                                                                                                                                                                                                                                                                                                                                                                                                                                                                                                                                                                                                                                                                                                                                                                                                                                                                                                                                                                                                                                                                                                                                                                                                                                                                                                                                                            |                                |  |                                        |  |                                                                                                   |             |                                                                                                                     |           |                                                                                                                     |           |                                                                                                                     |           |                                                                                                                     |           |                                                                                                                   |           |                                                                                                               |           |                                                                                                                   |           |                   |  |             |  |                                                                                                                                                                                                                                                                                                                                                                                                                                                                                                                                                                                                                                                                                                                                                                                                                                                                                                                                                                                                                                                                                                                                                                                                                                                                                                                                                                                                                                                                                                                                                                                                                            |                                |  |                                        |  |                                                                                                   |             |                                                                                                                     |           |                                                                                                                     |           |                                                                                                                     |           |                                                                                                                     |           |                                                                                                                   |           |                                                                                                               |           |                                                                                                                   |           |                   |  |             |  |                                                                                                                                                                                                                                                                                                                                                                                                                                                                                                                                                                   |                                |  |                                        |  |                                                                                                   |             |                                                                                                                     |           |                              |
| Enable/disable control Para...                                                                                                                                                                                                                                                                                                                                                                                                                                                                                                                                                                                                                                                                                                                                                                                                                                                                                                                                                                                                                                                                                                                                                                                                                                                                                                                                                                                                                                              |                                    |  |                                        |  |                                                                                                                     |           |                                                                                                                     |           |                                                                                                                     |           |                                                                                                                     |           |                                                                                                                   |          |                                                                                                                   |          |                                                                                                                         |           |                   |  |             |  |                                                                                                                                                                                                                                                                                                                                                                                                                                                                                                                                                                                                                                                                                                                                                                                                                                                                                                                                                                                                                                                                                                                                                                                                                                                                                                                                                                                                                                                                                                                                                                                                                               |                                |  |                                        |  |                                                                                                                     |           |                                                                                                                     |          |                                                                                                                     |           |                                                                                                                         |          |                                                                                                                   |           |                                                                                                                  |           |                                                                                                                            |           |                                                                                                                      |          |                   |  |                                                                                                                                                                                                                                                                                                                                                                                                                                                                                                                                                                                                                                                                                                                                                                                                                                                                                                                                                                                                                                                                                                                                                                                                                                                                                                                                                                                                                                                                                                                                                                                                                                                                       |                                |                                                                                                                                                                                                                                                                                                                                                                                                                                                                                                                                                                                                                                                                                                                                                                                                                                                                                                                                                                                                                                                                                                                                                                                                                                                                                                                                                                                                                                                                                                                                                                                                                                          |                                        |  |                                                                                                 |          |                                                                                                                    |                                    |                                                                                                                     |           |                                                                                                                       |           |                                                                                                                       |                                  |                                                                                                                        |           |                                                                                                                           |           |                                                                                                                    |           |                                                                                                                     |           |                   |  |                                                                                                                                                                                                                                                                                                                                                                                                                                                                                                                                                                                                                                                                                                                                                                                                                                                                                                                                                                                                                                                                                                                                                                                                                                                                                                                                                                                                                                                                                                                                                                                                                        |                                |                                                                                                                                                                                                                                                                                                                                                                                                                                                                                                                                                                                                                                                                                                                                                                                                                                                                                                                                                                                                                                                                                                                                                                                                                                                                                                                                                                                                                                                                                                                                                                                                                                                              |                                        |  |                                                                                                   |          |                                                                                                                     |           |                                                                                                                           |           |                                                                                                                     |           |                                                                                                                      |           |                                                                                                                       |           |                                                                                                                       |           |                                                                                                                     |           |                                                                                                                 |           |                   |  |             |  |                                                                                                                                                                                                                                                                                                                                                                                                                                                                                                                                                                                                                                                                                                                                                                                                                                                                                                                                                                                                                                                                                                                                                                                                                                                                                                                                                                                                                                                                                                                                                                                                                            |                                |  |                                        |  |                                                                                                   |             |                                                                                                                     |           |                                                                                                                     |           |                                                                                                                     |           |                                                                                                                     |           |                                                                                                                   |           |                                                                                                               |           |                                                                                                                   |           |                   |  |             |  |                                                                                                                                                                                                                                                                                                                                                                                                                                                                                                                                                                                                                                                                                                                                                                                                                                                                                                                                                                                                                                                                                                                                                                                                                                                                                                                                                                                                                                                                                                                                                                                                                            |                                |  |                                        |  |                                                                                                   |             |                                                                                                                     |           |                                                                                                                     |           |                                                                                                                     |           |                                                                                                                     |           |                                                                                                                   |           |                                                                                                               |           |                                                                                                                   |           |                   |  |             |  |                                                                                                                                                                                                                                                                                                                                                                                                                                                                                                                                                                                                                                                                                                                                                                                                                                                                                                                                                                                                                                                                                                                                                                                                                                                                                                                                                                                                                                                                                                                                                                                                                            |                                |  |                                        |  |                                                                                                   |             |                                                                                                                     |           |                                                                                                                     |           |                                                                                                                     |           |                                                                                                                     |           |                                                                                                                   |           |                                                                                                               |           |                                                                                                                   |           |                   |  |             |  |                                                                                                                                                                                                                                                                                                                                                                                                                                                                                                                                                                                                                                                                                                                                                                                                                                                                                                                                                                                                                                                                                                                                                                                                                                                                                                                                                                                                                                                                                                                                                                                                                            |                                |  |                                        |  |                                                                                                   |             |                                                                                                                     |           |                                                                                                                     |           |                                                                                                                     |           |                                                                                                                     |           |                                                                                                                   |           |                                                                                                               |           |                                                                                                                   |           |                   |  |             |  |                                                                                                                                                                                                                                                                                                                                                                                                                                                                                                                                                                                                                                                                                                                                                                                                                                                                                                                                                                                                                                                                                                                                                                                                                                                                                                                                                                                                                                                                                                                                                                                                                            |                                |  |                                        |  |                                                                                                   |             |                                                                                                                     |           |                                                                                                                     |           |                                                                                                                     |           |                                                                                                                     |           |                                                                                                                   |           |                                                                                                               |           |                                                                                                                   |           |                   |  |             |  |                                                                                                                                                                                                                                                                                                                                                                                                                                                                                                                                                                   |                                |  |                                        |  |                                                                                                   |             |                                                                                                                     |           |                              |
| Last Updated: 2/24/2025 15:55:34 +0800                                                                                                                                                                                                                                                                                                                                                                                                                                                                                                                                                                                                                                                                                                                                                                                                                                                                                                                                                                                                                                                                                                                                                                                                                                                                                                                                                                                                                                      |                                    |  |                                        |  |                                                                                                                     |           |                                                                                                                     |           |                                                                                                                     |           |                                                                                                                     |           |                                                                                                                   |          |                                                                                                                   |          |                                                                                                                         |           |                   |  |             |  |                                                                                                                                                                                                                                                                                                                                                                                                                                                                                                                                                                                                                                                                                                                                                                                                                                                                                                                                                                                                                                                                                                                                                                                                                                                                                                                                                                                                                                                                                                                                                                                                                               |                                |  |                                        |  |                                                                                                                     |           |                                                                                                                     |          |                                                                                                                     |           |                                                                                                                         |          |                                                                                                                   |           |                                                                                                                  |           |                                                                                                                            |           |                                                                                                                      |          |                   |  |                                                                                                                                                                                                                                                                                                                                                                                                                                                                                                                                                                                                                                                                                                                                                                                                                                                                                                                                                                                                                                                                                                                                                                                                                                                                                                                                                                                                                                                                                                                                                                                                                                                                       |                                |                                                                                                                                                                                                                                                                                                                                                                                                                                                                                                                                                                                                                                                                                                                                                                                                                                                                                                                                                                                                                                                                                                                                                                                                                                                                                                                                                                                                                                                                                                                                                                                                                                          |                                        |  |                                                                                                 |          |                                                                                                                    |                                    |                                                                                                                     |           |                                                                                                                       |           |                                                                                                                       |                                  |                                                                                                                        |           |                                                                                                                           |           |                                                                                                                    |           |                                                                                                                     |           |                   |  |                                                                                                                                                                                                                                                                                                                                                                                                                                                                                                                                                                                                                                                                                                                                                                                                                                                                                                                                                                                                                                                                                                                                                                                                                                                                                                                                                                                                                                                                                                                                                                                                                        |                                |                                                                                                                                                                                                                                                                                                                                                                                                                                                                                                                                                                                                                                                                                                                                                                                                                                                                                                                                                                                                                                                                                                                                                                                                                                                                                                                                                                                                                                                                                                                                                                                                                                                              |                                        |  |                                                                                                   |          |                                                                                                                     |           |                                                                                                                           |           |                                                                                                                     |           |                                                                                                                      |           |                                                                                                                       |           |                                                                                                                       |           |                                                                                                                     |           |                                                                                                                 |           |                   |  |             |  |                                                                                                                                                                                                                                                                                                                                                                                                                                                                                                                                                                                                                                                                                                                                                                                                                                                                                                                                                                                                                                                                                                                                                                                                                                                                                                                                                                                                                                                                                                                                                                                                                            |                                |  |                                        |  |                                                                                                   |             |                                                                                                                     |           |                                                                                                                     |           |                                                                                                                     |           |                                                                                                                     |           |                                                                                                                   |           |                                                                                                               |           |                                                                                                                   |           |                   |  |             |  |                                                                                                                                                                                                                                                                                                                                                                                                                                                                                                                                                                                                                                                                                                                                                                                                                                                                                                                                                                                                                                                                                                                                                                                                                                                                                                                                                                                                                                                                                                                                                                                                                            |                                |  |                                        |  |                                                                                                   |             |                                                                                                                     |           |                                                                                                                     |           |                                                                                                                     |           |                                                                                                                     |           |                                                                                                                   |           |                                                                                                               |           |                                                                                                                   |           |                   |  |             |  |                                                                                                                                                                                                                                                                                                                                                                                                                                                                                                                                                                                                                                                                                                                                                                                                                                                                                                                                                                                                                                                                                                                                                                                                                                                                                                                                                                                                                                                                                                                                                                                                                            |                                |  |                                        |  |                                                                                                   |             |                                                                                                                     |           |                                                                                                                     |           |                                                                                                                     |           |                                                                                                                     |           |                                                                                                                   |           |                                                                                                               |           |                                                                                                                   |           |                   |  |             |  |                                                                                                                                                                                                                                                                                                                                                                                                                                                                                                                                                                                                                                                                                                                                                                                                                                                                                                                                                                                                                                                                                                                                                                                                                                                                                                                                                                                                                                                                                                                                                                                                                            |                                |  |                                        |  |                                                                                                   |             |                                                                                                                     |           |                                                                                                                     |           |                                                                                                                     |           |                                                                                                                     |           |                                                                                                                   |           |                                                                                                               |           |                                                                                                                   |           |                   |  |             |  |                                                                                                                                                                                                                                                                                                                                                                                                                                                                                                                                                                                                                                                                                                                                                                                                                                                                                                                                                                                                                                                                                                                                                                                                                                                                                                                                                                                                                                                                                                                                                                                                                            |                                |  |                                        |  |                                                                                                   |             |                                                                                                                     |           |                                                                                                                     |           |                                                                                                                     |           |                                                                                                                     |           |                                                                                                                   |           |                                                                                                               |           |                                                                                                                   |           |                   |  |             |  |                                                                                                                                                                                                                                                                                                                                                                                                                                                                                                                                                                   |                                |  |                                        |  |                                                                                                   |             |                                                                                                                     |           |                              |
|  0x262C   9772                                                                                                                                                                                                                                                                                                                                                                                                                                                                                                                                                                                                                                                                                                                                                                                                                                                                                                                                                                                                                                                                                                                                                                                                                                                                                                                                                                           | Procedure >                        |  |                                        |  |                                                                                                                     |           |                                                                                                                     |           |                                                                                                                     |           |                                                                                                                     |           |                                                                                                                   |          |                                                                                                                   |          |                                                                                                                         |           |                   |  |             |  |                                                                                                                                                                                                                                                                                                                                                                                                                                                                                                                                                                                                                                                                                                                                                                                                                                                                                                                                                                                                                                                                                                                                                                                                                                                                                                                                                                                                                                                                                                                                                                                                                               |                                |  |                                        |  |                                                                                                                     |           |                                                                                                                     |          |                                                                                                                     |           |                                                                                                                         |          |                                                                                                                   |           |                                                                                                                  |           |                                                                                                                            |           |                                                                                                                      |          |                   |  |                                                                                                                                                                                                                                                                                                                                                                                                                                                                                                                                                                                                                                                                                                                                                                                                                                                                                                                                                                                                                                                                                                                                                                                                                                                                                                                                                                                                                                                                                                                                                                                                                                                                       |                                |                                                                                                                                                                                                                                                                                                                                                                                                                                                                                                                                                                                                                                                                                                                                                                                                                                                                                                                                                                                                                                                                                                                                                                                                                                                                                                                                                                                                                                                                                                                                                                                                                                          |                                        |  |                                                                                                 |          |                                                                                                                    |                                    |                                                                                                                     |           |                                                                                                                       |           |                                                                                                                       |                                  |                                                                                                                        |           |                                                                                                                           |           |                                                                                                                    |           |                                                                                                                     |           |                   |  |                                                                                                                                                                                                                                                                                                                                                                                                                                                                                                                                                                                                                                                                                                                                                                                                                                                                                                                                                                                                                                                                                                                                                                                                                                                                                                                                                                                                                                                                                                                                                                                                                        |                                |                                                                                                                                                                                                                                                                                                                                                                                                                                                                                                                                                                                                                                                                                                                                                                                                                                                                                                                                                                                                                                                                                                                                                                                                                                                                                                                                                                                                                                                                                                                                                                                                                                                              |                                        |  |                                                                                                   |          |                                                                                                                     |           |                                                                                                                           |           |                                                                                                                     |           |                                                                                                                      |           |                                                                                                                       |           |                                                                                                                       |           |                                                                                                                     |           |                                                                                                                 |           |                   |  |             |  |                                                                                                                                                                                                                                                                                                                                                                                                                                                                                                                                                                                                                                                                                                                                                                                                                                                                                                                                                                                                                                                                                                                                                                                                                                                                                                                                                                                                                                                                                                                                                                                                                            |                                |  |                                        |  |                                                                                                   |             |                                                                                                                     |           |                                                                                                                     |           |                                                                                                                     |           |                                                                                                                     |           |                                                                                                                   |           |                                                                                                               |           |                                                                                                                   |           |                   |  |             |  |                                                                                                                                                                                                                                                                                                                                                                                                                                                                                                                                                                                                                                                                                                                                                                                                                                                                                                                                                                                                                                                                                                                                                                                                                                                                                                                                                                                                                                                                                                                                                                                                                            |                                |  |                                        |  |                                                                                                   |             |                                                                                                                     |           |                                                                                                                     |           |                                                                                                                     |           |                                                                                                                     |           |                                                                                                                   |           |                                                                                                               |           |                                                                                                                   |           |                   |  |             |  |                                                                                                                                                                                                                                                                                                                                                                                                                                                                                                                                                                                                                                                                                                                                                                                                                                                                                                                                                                                                                                                                                                                                                                                                                                                                                                                                                                                                                                                                                                                                                                                                                            |                                |  |                                        |  |                                                                                                   |             |                                                                                                                     |           |                                                                                                                     |           |                                                                                                                     |           |                                                                                                                     |           |                                                                                                                   |           |                                                                                                               |           |                                                                                                                   |           |                   |  |             |  |                                                                                                                                                                                                                                                                                                                                                                                                                                                                                                                                                                                                                                                                                                                                                                                                                                                                                                                                                                                                                                                                                                                                                                                                                                                                                                                                                                                                                                                                                                                                                                                                                            |                                |  |                                        |  |                                                                                                   |             |                                                                                                                     |           |                                                                                                                     |           |                                                                                                                     |           |                                                                                                                     |           |                                                                                                                   |           |                                                                                                               |           |                                                                                                                   |           |                   |  |             |  |                                                                                                                                                                                                                                                                                                                                                                                                                                                                                                                                                                                                                                                                                                                                                                                                                                                                                                                                                                                                                                                                                                                                                                                                                                                                                                                                                                                                                                                                                                                                                                                                                            |                                |  |                                        |  |                                                                                                   |             |                                                                                                                     |           |                                                                                                                     |           |                                                                                                                     |           |                                                                                                                     |           |                                                                                                                   |           |                                                                                                               |           |                                                                                                                   |           |                   |  |             |  |                                                                                                                                                                                                                                                                                                                                                                                                                                                                                                                                                                   |                                |  |                                        |  |                                                                                                   |             |                                                                                                                     |           |                              |
|  PV1FuseCheckEn<br>0x262F   9775                                                                                                                                                                                                                                                                                                                                                                                                                                                                                                                                                                                                                                                                                                                                                                                                                                                                                                                                                                                                                                                                                                                                                                                                                                                                                                                                                         | Disable >                          |  |                                        |  |                                                                                                                     |           |                                                                                                                     |           |                                                                                                                     |           |                                                                                                                     |           |                                                                                                                   |          |                                                                                                                   |          |                                                                                                                         |           |                   |  |             |  |                                                                                                                                                                                                                                                                                                                                                                                                                                                                                                                                                                                                                                                                                                                                                                                                                                                                                                                                                                                                                                                                                                                                                                                                                                                                                                                                                                                                                                                                                                                                                                                                                               |                                |  |                                        |  |                                                                                                                     |           |                                                                                                                     |          |                                                                                                                     |           |                                                                                                                         |          |                                                                                                                   |           |                                                                                                                  |           |                                                                                                                            |           |                                                                                                                      |          |                   |  |                                                                                                                                                                                                                                                                                                                                                                                                                                                                                                                                                                                                                                                                                                                                                                                                                                                                                                                                                                                                                                                                                                                                                                                                                                                                                                                                                                                                                                                                                                                                                                                                                                                                       |                                |                                                                                                                                                                                                                                                                                                                                                                                                                                                                                                                                                                                                                                                                                                                                                                                                                                                                                                                                                                                                                                                                                                                                                                                                                                                                                                                                                                                                                                                                                                                                                                                                                                          |                                        |  |                                                                                                 |          |                                                                                                                    |                                    |                                                                                                                     |           |                                                                                                                       |           |                                                                                                                       |                                  |                                                                                                                        |           |                                                                                                                           |           |                                                                                                                    |           |                                                                                                                     |           |                   |  |                                                                                                                                                                                                                                                                                                                                                                                                                                                                                                                                                                                                                                                                                                                                                                                                                                                                                                                                                                                                                                                                                                                                                                                                                                                                                                                                                                                                                                                                                                                                                                                                                        |                                |                                                                                                                                                                                                                                                                                                                                                                                                                                                                                                                                                                                                                                                                                                                                                                                                                                                                                                                                                                                                                                                                                                                                                                                                                                                                                                                                                                                                                                                                                                                                                                                                                                                              |                                        |  |                                                                                                   |          |                                                                                                                     |           |                                                                                                                           |           |                                                                                                                     |           |                                                                                                                      |           |                                                                                                                       |           |                                                                                                                       |           |                                                                                                                     |           |                                                                                                                 |           |                   |  |             |  |                                                                                                                                                                                                                                                                                                                                                                                                                                                                                                                                                                                                                                                                                                                                                                                                                                                                                                                                                                                                                                                                                                                                                                                                                                                                                                                                                                                                                                                                                                                                                                                                                            |                                |  |                                        |  |                                                                                                   |             |                                                                                                                     |           |                                                                                                                     |           |                                                                                                                     |           |                                                                                                                     |           |                                                                                                                   |           |                                                                                                               |           |                                                                                                                   |           |                   |  |             |  |                                                                                                                                                                                                                                                                                                                                                                                                                                                                                                                                                                                                                                                                                                                                                                                                                                                                                                                                                                                                                                                                                                                                                                                                                                                                                                                                                                                                                                                                                                                                                                                                                            |                                |  |                                        |  |                                                                                                   |             |                                                                                                                     |           |                                                                                                                     |           |                                                                                                                     |           |                                                                                                                     |           |                                                                                                                   |           |                                                                                                               |           |                                                                                                                   |           |                   |  |             |  |                                                                                                                                                                                                                                                                                                                                                                                                                                                                                                                                                                                                                                                                                                                                                                                                                                                                                                                                                                                                                                                                                                                                                                                                                                                                                                                                                                                                                                                                                                                                                                                                                            |                                |  |                                        |  |                                                                                                   |             |                                                                                                                     |           |                                                                                                                     |           |                                                                                                                     |           |                                                                                                                     |           |                                                                                                                   |           |                                                                                                               |           |                                                                                                                   |           |                   |  |             |  |                                                                                                                                                                                                                                                                                                                                                                                                                                                                                                                                                                                                                                                                                                                                                                                                                                                                                                                                                                                                                                                                                                                                                                                                                                                                                                                                                                                                                                                                                                                                                                                                                            |                                |  |                                        |  |                                                                                                   |             |                                                                                                                     |           |                                                                                                                     |           |                                                                                                                     |           |                                                                                                                     |           |                                                                                                                   |           |                                                                                                               |           |                                                                                                                   |           |                   |  |             |  |                                                                                                                                                                                                                                                                                                                                                                                                                                                                                                                                                                                                                                                                                                                                                                                                                                                                                                                                                                                                                                                                                                                                                                                                                                                                                                                                                                                                                                                                                                                                                                                                                            |                                |  |                                        |  |                                                                                                   |             |                                                                                                                     |           |                                                                                                                     |           |                                                                                                                     |           |                                                                                                                     |           |                                                                                                                   |           |                                                                                                               |           |                                                                                                                   |           |                   |  |             |  |                                                                                                                                                                                                                                                                                                                                                                                                                                                                                                                                                                   |                                |  |                                        |  |                                                                                                   |             |                                                                                                                     |           |                              |
|  PV2FuseCheckEn<br>0x2630   9776                                                                                                                                                                                                                                                                                                                                                                                                                                                                                                                                                                                                                                                                                                                                                                                                                                                                                                                                                                                                                                                                                                                                                                                                                                                                                                                                                         | Disable >                          |  |                                        |  |                                                                                                                     |           |                                                                                                                     |           |                                                                                                                     |           |                                                                                                                     |           |                                                                                                                   |          |                                                                                                                   |          |                                                                                                                         |           |                   |  |             |  |                                                                                                                                                                                                                                                                                                                                                                                                                                                                                                                                                                                                                                                                                                                                                                                                                                                                                                                                                                                                                                                                                                                                                                                                                                                                                                                                                                                                                                                                                                                                                                                                                               |                                |  |                                        |  |                                                                                                                     |           |                                                                                                                     |          |                                                                                                                     |           |                                                                                                                         |          |                                                                                                                   |           |                                                                                                                  |           |                                                                                                                            |           |                                                                                                                      |          |                   |  |                                                                                                                                                                                                                                                                                                                                                                                                                                                                                                                                                                                                                                                                                                                                                                                                                                                                                                                                                                                                                                                                                                                                                                                                                                                                                                                                                                                                                                                                                                                                                                                                                                                                       |                                |                                                                                                                                                                                                                                                                                                                                                                                                                                                                                                                                                                                                                                                                                                                                                                                                                                                                                                                                                                                                                                                                                                                                                                                                                                                                                                                                                                                                                                                                                                                                                                                                                                          |                                        |  |                                                                                                 |          |                                                                                                                    |                                    |                                                                                                                     |           |                                                                                                                       |           |                                                                                                                       |                                  |                                                                                                                        |           |                                                                                                                           |           |                                                                                                                    |           |                                                                                                                     |           |                   |  |                                                                                                                                                                                                                                                                                                                                                                                                                                                                                                                                                                                                                                                                                                                                                                                                                                                                                                                                                                                                                                                                                                                                                                                                                                                                                                                                                                                                                                                                                                                                                                                                                        |                                |                                                                                                                                                                                                                                                                                                                                                                                                                                                                                                                                                                                                                                                                                                                                                                                                                                                                                                                                                                                                                                                                                                                                                                                                                                                                                                                                                                                                                                                                                                                                                                                                                                                              |                                        |  |                                                                                                   |          |                                                                                                                     |           |                                                                                                                           |           |                                                                                                                     |           |                                                                                                                      |           |                                                                                                                       |           |                                                                                                                       |           |                                                                                                                     |           |                                                                                                                 |           |                   |  |             |  |                                                                                                                                                                                                                                                                                                                                                                                                                                                                                                                                                                                                                                                                                                                                                                                                                                                                                                                                                                                                                                                                                                                                                                                                                                                                                                                                                                                                                                                                                                                                                                                                                            |                                |  |                                        |  |                                                                                                   |             |                                                                                                                     |           |                                                                                                                     |           |                                                                                                                     |           |                                                                                                                     |           |                                                                                                                   |           |                                                                                                               |           |                                                                                                                   |           |                   |  |             |  |                                                                                                                                                                                                                                                                                                                                                                                                                                                                                                                                                                                                                                                                                                                                                                                                                                                                                                                                                                                                                                                                                                                                                                                                                                                                                                                                                                                                                                                                                                                                                                                                                            |                                |  |                                        |  |                                                                                                   |             |                                                                                                                     |           |                                                                                                                     |           |                                                                                                                     |           |                                                                                                                     |           |                                                                                                                   |           |                                                                                                               |           |                                                                                                                   |           |                   |  |             |  |                                                                                                                                                                                                                                                                                                                                                                                                                                                                                                                                                                                                                                                                                                                                                                                                                                                                                                                                                                                                                                                                                                                                                                                                                                                                                                                                                                                                                                                                                                                                                                                                                            |                                |  |                                        |  |                                                                                                   |             |                                                                                                                     |           |                                                                                                                     |           |                                                                                                                     |           |                                                                                                                     |           |                                                                                                                   |           |                                                                                                               |           |                                                                                                                   |           |                   |  |             |  |                                                                                                                                                                                                                                                                                                                                                                                                                                                                                                                                                                                                                                                                                                                                                                                                                                                                                                                                                                                                                                                                                                                                                                                                                                                                                                                                                                                                                                                                                                                                                                                                                            |                                |  |                                        |  |                                                                                                   |             |                                                                                                                     |           |                                                                                                                     |           |                                                                                                                     |           |                                                                                                                     |           |                                                                                                                   |           |                                                                                                               |           |                                                                                                                   |           |                   |  |             |  |                                                                                                                                                                                                                                                                                                                                                                                                                                                                                                                                                                                                                                                                                                                                                                                                                                                                                                                                                                                                                                                                                                                                                                                                                                                                                                                                                                                                                                                                                                                                                                                                                            |                                |  |                                        |  |                                                                                                   |             |                                                                                                                     |           |                                                                                                                     |           |                                                                                                                     |           |                                                                                                                     |           |                                                                                                                   |           |                                                                                                               |           |                                                                                                                   |           |                   |  |             |  |                                                                                                                                                                                                                                                                                                                                                                                                                                                                                                                                                                   |                                |  |                                        |  |                                                                                                   |             |                                                                                                                     |           |                              |
|  PV3FuseCheckEn<br>0x2631   9777                                                                                                                                                                                                                                                                                                                                                                                                                                                                                                                                                                                                                                                                                                                                                                                                                                                                                                                                                                                                                                                                                                                                                                                                                                                                                                                                                         | Disable >                          |  |                                        |  |                                                                                                                     |           |                                                                                                                     |           |                                                                                                                     |           |                                                                                                                     |           |                                                                                                                   |          |                                                                                                                   |          |                                                                                                                         |           |                   |  |             |  |                                                                                                                                                                                                                                                                                                                                                                                                                                                                                                                                                                                                                                                                                                                                                                                                                                                                                                                                                                                                                                                                                                                                                                                                                                                                                                                                                                                                                                                                                                                                                                                                                               |                                |  |                                        |  |                                                                                                                     |           |                                                                                                                     |          |                                                                                                                     |           |                                                                                                                         |          |                                                                                                                   |           |                                                                                                                  |           |                                                                                                                            |           |                                                                                                                      |          |                   |  |                                                                                                                                                                                                                                                                                                                                                                                                                                                                                                                                                                                                                                                                                                                                                                                                                                                                                                                                                                                                                                                                                                                                                                                                                                                                                                                                                                                                                                                                                                                                                                                                                                                                       |                                |                                                                                                                                                                                                                                                                                                                                                                                                                                                                                                                                                                                                                                                                                                                                                                                                                                                                                                                                                                                                                                                                                                                                                                                                                                                                                                                                                                                                                                                                                                                                                                                                                                          |                                        |  |                                                                                                 |          |                                                                                                                    |                                    |                                                                                                                     |           |                                                                                                                       |           |                                                                                                                       |                                  |                                                                                                                        |           |                                                                                                                           |           |                                                                                                                    |           |                                                                                                                     |           |                   |  |                                                                                                                                                                                                                                                                                                                                                                                                                                                                                                                                                                                                                                                                                                                                                                                                                                                                                                                                                                                                                                                                                                                                                                                                                                                                                                                                                                                                                                                                                                                                                                                                                        |                                |                                                                                                                                                                                                                                                                                                                                                                                                                                                                                                                                                                                                                                                                                                                                                                                                                                                                                                                                                                                                                                                                                                                                                                                                                                                                                                                                                                                                                                                                                                                                                                                                                                                              |                                        |  |                                                                                                   |          |                                                                                                                     |           |                                                                                                                           |           |                                                                                                                     |           |                                                                                                                      |           |                                                                                                                       |           |                                                                                                                       |           |                                                                                                                     |           |                                                                                                                 |           |                   |  |             |  |                                                                                                                                                                                                                                                                                                                                                                                                                                                                                                                                                                                                                                                                                                                                                                                                                                                                                                                                                                                                                                                                                                                                                                                                                                                                                                                                                                                                                                                                                                                                                                                                                            |                                |  |                                        |  |                                                                                                   |             |                                                                                                                     |           |                                                                                                                     |           |                                                                                                                     |           |                                                                                                                     |           |                                                                                                                   |           |                                                                                                               |           |                                                                                                                   |           |                   |  |             |  |                                                                                                                                                                                                                                                                                                                                                                                                                                                                                                                                                                                                                                                                                                                                                                                                                                                                                                                                                                                                                                                                                                                                                                                                                                                                                                                                                                                                                                                                                                                                                                                                                            |                                |  |                                        |  |                                                                                                   |             |                                                                                                                     |           |                                                                                                                     |           |                                                                                                                     |           |                                                                                                                     |           |                                                                                                                   |           |                                                                                                               |           |                                                                                                                   |           |                   |  |             |  |                                                                                                                                                                                                                                                                                                                                                                                                                                                                                                                                                                                                                                                                                                                                                                                                                                                                                                                                                                                                                                                                                                                                                                                                                                                                                                                                                                                                                                                                                                                                                                                                                            |                                |  |                                        |  |                                                                                                   |             |                                                                                                                     |           |                                                                                                                     |           |                                                                                                                     |           |                                                                                                                     |           |                                                                                                                   |           |                                                                                                               |           |                                                                                                                   |           |                   |  |             |  |                                                                                                                                                                                                                                                                                                                                                                                                                                                                                                                                                                                                                                                                                                                                                                                                                                                                                                                                                                                                                                                                                                                                                                                                                                                                                                                                                                                                                                                                                                                                                                                                                            |                                |  |                                        |  |                                                                                                   |             |                                                                                                                     |           |                                                                                                                     |           |                                                                                                                     |           |                                                                                                                     |           |                                                                                                                   |           |                                                                                                               |           |                                                                                                                   |           |                   |  |             |  |                                                                                                                                                                                                                                                                                                                                                                                                                                                                                                                                                                                                                                                                                                                                                                                                                                                                                                                                                                                                                                                                                                                                                                                                                                                                                                                                                                                                                                                                                                                                                                                                                            |                                |  |                                        |  |                                                                                                   |             |                                                                                                                     |           |                                                                                                                     |           |                                                                                                                     |           |                                                                                                                     |           |                                                                                                                   |           |                                                                                                               |           |                                                                                                                   |           |                   |  |             |  |                                                                                                                                                                                                                                                                                                                                                                                                                                                                                                                                                                   |                                |  |                                        |  |                                                                                                   |             |                                                                                                                     |           |                              |
|  PV4FuseCheckEn<br>0x2632   9778                                                                                                                                                                                                                                                                                                                                                                                                                                                                                                                                                                                                                                                                                                                                                                                                                                                                                                                                                                                                                                                                                                                                                                                                                                                                                                                                                         | Disable >                          |  |                                        |  |                                                                                                                     |           |                                                                                                                     |           |                                                                                                                     |           |                                                                                                                     |           |                                                                                                                   |          |                                                                                                                   |          |                                                                                                                         |           |                   |  |             |  |                                                                                                                                                                                                                                                                                                                                                                                                                                                                                                                                                                                                                                                                                                                                                                                                                                                                                                                                                                                                                                                                                                                                                                                                                                                                                                                                                                                                                                                                                                                                                                                                                               |                                |  |                                        |  |                                                                                                                     |           |                                                                                                                     |          |                                                                                                                     |           |                                                                                                                         |          |                                                                                                                   |           |                                                                                                                  |           |                                                                                                                            |           |                                                                                                                      |          |                   |  |                                                                                                                                                                                                                                                                                                                                                                                                                                                                                                                                                                                                                                                                                                                                                                                                                                                                                                                                                                                                                                                                                                                                                                                                                                                                                                                                                                                                                                                                                                                                                                                                                                                                       |                                |                                                                                                                                                                                                                                                                                                                                                                                                                                                                                                                                                                                                                                                                                                                                                                                                                                                                                                                                                                                                                                                                                                                                                                                                                                                                                                                                                                                                                                                                                                                                                                                                                                          |                                        |  |                                                                                                 |          |                                                                                                                    |                                    |                                                                                                                     |           |                                                                                                                       |           |                                                                                                                       |                                  |                                                                                                                        |           |                                                                                                                           |           |                                                                                                                    |           |                                                                                                                     |           |                   |  |                                                                                                                                                                                                                                                                                                                                                                                                                                                                                                                                                                                                                                                                                                                                                                                                                                                                                                                                                                                                                                                                                                                                                                                                                                                                                                                                                                                                                                                                                                                                                                                                                        |                                |                                                                                                                                                                                                                                                                                                                                                                                                                                                                                                                                                                                                                                                                                                                                                                                                                                                                                                                                                                                                                                                                                                                                                                                                                                                                                                                                                                                                                                                                                                                                                                                                                                                              |                                        |  |                                                                                                   |          |                                                                                                                     |           |                                                                                                                           |           |                                                                                                                     |           |                                                                                                                      |           |                                                                                                                       |           |                                                                                                                       |           |                                                                                                                     |           |                                                                                                                 |           |                   |  |             |  |                                                                                                                                                                                                                                                                                                                                                                                                                                                                                                                                                                                                                                                                                                                                                                                                                                                                                                                                                                                                                                                                                                                                                                                                                                                                                                                                                                                                                                                                                                                                                                                                                            |                                |  |                                        |  |                                                                                                   |             |                                                                                                                     |           |                                                                                                                     |           |                                                                                                                     |           |                                                                                                                     |           |                                                                                                                   |           |                                                                                                               |           |                                                                                                                   |           |                   |  |             |  |                                                                                                                                                                                                                                                                                                                                                                                                                                                                                                                                                                                                                                                                                                                                                                                                                                                                                                                                                                                                                                                                                                                                                                                                                                                                                                                                                                                                                                                                                                                                                                                                                            |                                |  |                                        |  |                                                                                                   |             |                                                                                                                     |           |                                                                                                                     |           |                                                                                                                     |           |                                                                                                                     |           |                                                                                                                   |           |                                                                                                               |           |                                                                                                                   |           |                   |  |             |  |                                                                                                                                                                                                                                                                                                                                                                                                                                                                                                                                                                                                                                                                                                                                                                                                                                                                                                                                                                                                                                                                                                                                                                                                                                                                                                                                                                                                                                                                                                                                                                                                                            |                                |  |                                        |  |                                                                                                   |             |                                                                                                                     |           |                                                                                                                     |           |                                                                                                                     |           |                                                                                                                     |           |                                                                                                                   |           |                                                                                                               |           |                                                                                                                   |           |                   |  |             |  |                                                                                                                                                                                                                                                                                                                                                                                                                                                                                                                                                                                                                                                                                                                                                                                                                                                                                                                                                                                                                                                                                                                                                                                                                                                                                                                                                                                                                                                                                                                                                                                                                            |                                |  |                                        |  |                                                                                                   |             |                                                                                                                     |           |                                                                                                                     |           |                                                                                                                     |           |                                                                                                                     |           |                                                                                                                   |           |                                                                                                               |           |                                                                                                                   |           |                   |  |             |  |                                                                                                                                                                                                                                                                                                                                                                                                                                                                                                                                                                                                                                                                                                                                                                                                                                                                                                                                                                                                                                                                                                                                                                                                                                                                                                                                                                                                                                                                                                                                                                                                                            |                                |  |                                        |  |                                                                                                   |             |                                                                                                                     |           |                                                                                                                     |           |                                                                                                                     |           |                                                                                                                     |           |                                                                                                                   |           |                                                                                                               |           |                                                                                                                   |           |                   |  |             |  |                                                                                                                                                                                                                                                                                                                                                                                                                                                                                                                                                                   |                                |  |                                        |  |                                                                                                   |             |                                                                                                                     |           |                              |
|  ResProtectEn<br>0x2655   9813                                                                                                                                                                                                                                                                                                                                                                                                                                                                                                                                                                                                                                                                                                                                                                                                                                                                                                                                                                                                                                                                                                                                                                                                                                                                                                                                                           | Disable >                          |  |                                        |  |                                                                                                                     |           |                                                                                                                     |           |                                                                                                                     |           |                                                                                                                     |           |                                                                                                                   |          |                                                                                                                   |          |                                                                                                                         |           |                   |  |             |  |                                                                                                                                                                                                                                                                                                                                                                                                                                                                                                                                                                                                                                                                                                                                                                                                                                                                                                                                                                                                                                                                                                                                                                                                                                                                                                                                                                                                                                                                                                                                                                                                                               |                                |  |                                        |  |                                                                                                                     |           |                                                                                                                     |          |                                                                                                                     |           |                                                                                                                         |          |                                                                                                                   |           |                                                                                                                  |           |                                                                                                                            |           |                                                                                                                      |          |                   |  |                                                                                                                                                                                                                                                                                                                                                                                                                                                                                                                                                                                                                                                                                                                                                                                                                                                                                                                                                                                                                                                                                                                                                                                                                                                                                                                                                                                                                                                                                                                                                                                                                                                                       |                                |                                                                                                                                                                                                                                                                                                                                                                                                                                                                                                                                                                                                                                                                                                                                                                                                                                                                                                                                                                                                                                                                                                                                                                                                                                                                                                                                                                                                                                                                                                                                                                                                                                          |                                        |  |                                                                                                 |          |                                                                                                                    |                                    |                                                                                                                     |           |                                                                                                                       |           |                                                                                                                       |                                  |                                                                                                                        |           |                                                                                                                           |           |                                                                                                                    |           |                                                                                                                     |           |                   |  |                                                                                                                                                                                                                                                                                                                                                                                                                                                                                                                                                                                                                                                                                                                                                                                                                                                                                                                                                                                                                                                                                                                                                                                                                                                                                                                                                                                                                                                                                                                                                                                                                        |                                |                                                                                                                                                                                                                                                                                                                                                                                                                                                                                                                                                                                                                                                                                                                                                                                                                                                                                                                                                                                                                                                                                                                                                                                                                                                                                                                                                                                                                                                                                                                                                                                                                                                              |                                        |  |                                                                                                   |          |                                                                                                                     |           |                                                                                                                           |           |                                                                                                                     |           |                                                                                                                      |           |                                                                                                                       |           |                                                                                                                       |           |                                                                                                                     |           |                                                                                                                 |           |                   |  |             |  |                                                                                                                                                                                                                                                                                                                                                                                                                                                                                                                                                                                                                                                                                                                                                                                                                                                                                                                                                                                                                                                                                                                                                                                                                                                                                                                                                                                                                                                                                                                                                                                                                            |                                |  |                                        |  |                                                                                                   |             |                                                                                                                     |           |                                                                                                                     |           |                                                                                                                     |           |                                                                                                                     |           |                                                                                                                   |           |                                                                                                               |           |                                                                                                                   |           |                   |  |             |  |                                                                                                                                                                                                                                                                                                                                                                                                                                                                                                                                                                                                                                                                                                                                                                                                                                                                                                                                                                                                                                                                                                                                                                                                                                                                                                                                                                                                                                                                                                                                                                                                                            |                                |  |                                        |  |                                                                                                   |             |                                                                                                                     |           |                                                                                                                     |           |                                                                                                                     |           |                                                                                                                     |           |                                                                                                                   |           |                                                                                                               |           |                                                                                                                   |           |                   |  |             |  |                                                                                                                                                                                                                                                                                                                                                                                                                                                                                                                                                                                                                                                                                                                                                                                                                                                                                                                                                                                                                                                                                                                                                                                                                                                                                                                                                                                                                                                                                                                                                                                                                            |                                |  |                                        |  |                                                                                                   |             |                                                                                                                     |           |                                                                                                                     |           |                                                                                                                     |           |                                                                                                                     |           |                                                                                                                   |           |                                                                                                               |           |                                                                                                                   |           |                   |  |             |  |                                                                                                                                                                                                                                                                                                                                                                                                                                                                                                                                                                                                                                                                                                                                                                                                                                                                                                                                                                                                                                                                                                                                                                                                                                                                                                                                                                                                                                                                                                                                                                                                                            |                                |  |                                        |  |                                                                                                   |             |                                                                                                                     |           |                                                                                                                     |           |                                                                                                                     |           |                                                                                                                     |           |                                                                                                                   |           |                                                                                                               |           |                                                                                                                   |           |                   |  |             |  |                                                                                                                                                                                                                                                                                                                                                                                                                                                                                                                                                                                                                                                                                                                                                                                                                                                                                                                                                                                                                                                                                                                                                                                                                                                                                                                                                                                                                                                                                                                                                                                                                            |                                |  |                                        |  |                                                                                                   |             |                                                                                                                     |           |                                                                                                                     |           |                                                                                                                     |           |                                                                                                                     |           |                                                                                                                   |           |                                                                                                               |           |                                                                                                                   |           |                   |  |             |  |                                                                                                                                                                                                                                                                                                                                                                                                                                                                                                                                                                   |                                |  |                                        |  |                                                                                                   |             |                                                                                                                     |           |                              |
|  PF = 0,4<br>0x2659   9817                                                                                                                                                                                                                                                                                                                                                                                                                                                                                                                                                                                                                                                                                                                                                                                                                                                                                                                                                                                                                                                                                                                                                                                                                                                                                                                                                               | Disable >                          |  |                                        |  |                                                                                                                     |           |                                                                                                                     |           |                                                                                                                     |           |                                                                                                                     |           |                                                                                                                   |          |                                                                                                                   |          |                                                                                                                         |           |                   |  |             |  |                                                                                                                                                                                                                                                                                                                                                                                                                                                                                                                                                                                                                                                                                                                                                                                                                                                                                                                                                                                                                                                                                                                                                                                                                                                                                                                                                                                                                                                                                                                                                                                                                               |                                |  |                                        |  |                                                                                                                     |           |                                                                                                                     |          |                                                                                                                     |           |                                                                                                                         |          |                                                                                                                   |           |                                                                                                                  |           |                                                                                                                            |           |                                                                                                                      |          |                   |  |                                                                                                                                                                                                                                                                                                                                                                                                                                                                                                                                                                                                                                                                                                                                                                                                                                                                                                                                                                                                                                                                                                                                                                                                                                                                                                                                                                                                                                                                                                                                                                                                                                                                       |                                |                                                                                                                                                                                                                                                                                                                                                                                                                                                                                                                                                                                                                                                                                                                                                                                                                                                                                                                                                                                                                                                                                                                                                                                                                                                                                                                                                                                                                                                                                                                                                                                                                                          |                                        |  |                                                                                                 |          |                                                                                                                    |                                    |                                                                                                                     |           |                                                                                                                       |           |                                                                                                                       |                                  |                                                                                                                        |           |                                                                                                                           |           |                                                                                                                    |           |                                                                                                                     |           |                   |  |                                                                                                                                                                                                                                                                                                                                                                                                                                                                                                                                                                                                                                                                                                                                                                                                                                                                                                                                                                                                                                                                                                                                                                                                                                                                                                                                                                                                                                                                                                                                                                                                                        |                                |                                                                                                                                                                                                                                                                                                                                                                                                                                                                                                                                                                                                                                                                                                                                                                                                                                                                                                                                                                                                                                                                                                                                                                                                                                                                                                                                                                                                                                                                                                                                                                                                                                                              |                                        |  |                                                                                                   |          |                                                                                                                     |           |                                                                                                                           |           |                                                                                                                     |           |                                                                                                                      |           |                                                                                                                       |           |                                                                                                                       |           |                                                                                                                     |           |                                                                                                                 |           |                   |  |             |  |                                                                                                                                                                                                                                                                                                                                                                                                                                                                                                                                                                                                                                                                                                                                                                                                                                                                                                                                                                                                                                                                                                                                                                                                                                                                                                                                                                                                                                                                                                                                                                                                                            |                                |  |                                        |  |                                                                                                   |             |                                                                                                                     |           |                                                                                                                     |           |                                                                                                                     |           |                                                                                                                     |           |                                                                                                                   |           |                                                                                                               |           |                                                                                                                   |           |                   |  |             |  |                                                                                                                                                                                                                                                                                                                                                                                                                                                                                                                                                                                                                                                                                                                                                                                                                                                                                                                                                                                                                                                                                                                                                                                                                                                                                                                                                                                                                                                                                                                                                                                                                            |                                |  |                                        |  |                                                                                                   |             |                                                                                                                     |           |                                                                                                                     |           |                                                                                                                     |           |                                                                                                                     |           |                                                                                                                   |           |                                                                                                               |           |                                                                                                                   |           |                   |  |             |  |                                                                                                                                                                                                                                                                                                                                                                                                                                                                                                                                                                                                                                                                                                                                                                                                                                                                                                                                                                                                                                                                                                                                                                                                                                                                                                                                                                                                                                                                                                                                                                                                                            |                                |  |                                        |  |                                                                                                   |             |                                                                                                                     |           |                                                                                                                     |           |                                                                                                                     |           |                                                                                                                     |           |                                                                                                                   |           |                                                                                                               |           |                                                                                                                   |           |                   |  |             |  |                                                                                                                                                                                                                                                                                                                                                                                                                                                                                                                                                                                                                                                                                                                                                                                                                                                                                                                                                                                                                                                                                                                                                                                                                                                                                                                                                                                                                                                                                                                                                                                                                            |                                |  |                                        |  |                                                                                                   |             |                                                                                                                     |           |                                                                                                                     |           |                                                                                                                     |           |                                                                                                                     |           |                                                                                                                   |           |                                                                                                               |           |                                                                                                                   |           |                   |  |             |  |                                                                                                                                                                                                                                                                                                                                                                                                                                                                                                                                                                                                                                                                                                                                                                                                                                                                                                                                                                                                                                                                                                                                                                                                                                                                                                                                                                                                                                                                                                                                                                                                                            |                                |  |                                        |  |                                                                                                   |             |                                                                                                                     |           |                                                                                                                     |           |                                                                                                                     |           |                                                                                                                     |           |                                                                                                                   |           |                                                                                                               |           |                                                                                                                   |           |                   |  |             |  |                                                                                                                                                                                                                                                                                                                                                                                                                                                                                                                                                                   |                                |  |                                        |  |                                                                                                   |             |                                                                                                                     |           |                              |
|  AntiRefluxEn<br>0x265F   9823                                                                                                                                                                                                                                                                                                                                                                                                                                                                                                                                                                                                                                                                                                                                                                                                                                                                                                                                                                                                                                                                                                                                                                                                                                                                                                                                                           | Disable >                          |  |                                        |  |                                                                                                                     |           |                                                                                                                     |           |                                                                                                                     |           |                                                                                                                     |           |                                                                                                                   |          |                                                                                                                   |          |                                                                                                                         |           |                   |  |             |  |                                                                                                                                                                                                                                                                                                                                                                                                                                                                                                                                                                                                                                                                                                                                                                                                                                                                                                                                                                                                                                                                                                                                                                                                                                                                                                                                                                                                                                                                                                                                                                                                                               |                                |  |                                        |  |                                                                                                                     |           |                                                                                                                     |          |                                                                                                                     |           |                                                                                                                         |          |                                                                                                                   |           |                                                                                                                  |           |                                                                                                                            |           |                                                                                                                      |          |                   |  |                                                                                                                                                                                                                                                                                                                                                                                                                                                                                                                                                                                                                                                                                                                                                                                                                                                                                                                                                                                                                                                                                                                                                                                                                                                                                                                                                                                                                                                                                                                                                                                                                                                                       |                                |                                                                                                                                                                                                                                                                                                                                                                                                                                                                                                                                                                                                                                                                                                                                                                                                                                                                                                                                                                                                                                                                                                                                                                                                                                                                                                                                                                                                                                                                                                                                                                                                                                          |                                        |  |                                                                                                 |          |                                                                                                                    |                                    |                                                                                                                     |           |                                                                                                                       |           |                                                                                                                       |                                  |                                                                                                                        |           |                                                                                                                           |           |                                                                                                                    |           |                                                                                                                     |           |                   |  |                                                                                                                                                                                                                                                                                                                                                                                                                                                                                                                                                                                                                                                                                                                                                                                                                                                                                                                                                                                                                                                                                                                                                                                                                                                                                                                                                                                                                                                                                                                                                                                                                        |                                |                                                                                                                                                                                                                                                                                                                                                                                                                                                                                                                                                                                                                                                                                                                                                                                                                                                                                                                                                                                                                                                                                                                                                                                                                                                                                                                                                                                                                                                                                                                                                                                                                                                              |                                        |  |                                                                                                   |          |                                                                                                                     |           |                                                                                                                           |           |                                                                                                                     |           |                                                                                                                      |           |                                                                                                                       |           |                                                                                                                       |           |                                                                                                                     |           |                                                                                                                 |           |                   |  |             |  |                                                                                                                                                                                                                                                                                                                                                                                                                                                                                                                                                                                                                                                                                                                                                                                                                                                                                                                                                                                                                                                                                                                                                                                                                                                                                                                                                                                                                                                                                                                                                                                                                            |                                |  |                                        |  |                                                                                                   |             |                                                                                                                     |           |                                                                                                                     |           |                                                                                                                     |           |                                                                                                                     |           |                                                                                                                   |           |                                                                                                               |           |                                                                                                                   |           |                   |  |             |  |                                                                                                                                                                                                                                                                                                                                                                                                                                                                                                                                                                                                                                                                                                                                                                                                                                                                                                                                                                                                                                                                                                                                                                                                                                                                                                                                                                                                                                                                                                                                                                                                                            |                                |  |                                        |  |                                                                                                   |             |                                                                                                                     |           |                                                                                                                     |           |                                                                                                                     |           |                                                                                                                     |           |                                                                                                                   |           |                                                                                                               |           |                                                                                                                   |           |                   |  |             |  |                                                                                                                                                                                                                                                                                                                                                                                                                                                                                                                                                                                                                                                                                                                                                                                                                                                                                                                                                                                                                                                                                                                                                                                                                                                                                                                                                                                                                                                                                                                                                                                                                            |                                |  |                                        |  |                                                                                                   |             |                                                                                                                     |           |                                                                                                                     |           |                                                                                                                     |           |                                                                                                                     |           |                                                                                                                   |           |                                                                                                               |           |                                                                                                                   |           |                   |  |             |  |                                                                                                                                                                                                                                                                                                                                                                                                                                                                                                                                                                                                                                                                                                                                                                                                                                                                                                                                                                                                                                                                                                                                                                                                                                                                                                                                                                                                                                                                                                                                                                                                                            |                                |  |                                        |  |                                                                                                   |             |                                                                                                                     |           |                                                                                                                     |           |                                                                                                                     |           |                                                                                                                     |           |                                                                                                                   |           |                                                                                                               |           |                                                                                                                   |           |                   |  |             |  |                                                                                                                                                                                                                                                                                                                                                                                                                                                                                                                                                                                                                                                                                                                                                                                                                                                                                                                                                                                                                                                                                                                                                                                                                                                                                                                                                                                                                                                                                                                                                                                                                            |                                |  |                                        |  |                                                                                                   |             |                                                                                                                     |           |                                                                                                                     |           |                                                                                                                     |           |                                                                                                                     |           |                                                                                                                   |           |                                                                                                               |           |                                                                                                                   |           |                   |  |             |  |                                                                                                                                                                                                                                                                                                                                                                                                                                                                                                                                                                   |                                |  |                                        |  |                                                                                                   |             |                                                                                                                     |           |                              |
| ResProtectCapCurr                                                                                                                                                                                                                                                                                                                                                                                                                                                                                                                                                                                                                                                                                                                                                                                                                                                                                                                                                                                                                                                                                                                                                                                                                                                                                                                                                                                                                                                           |                                    |  |                                        |  |                                                                                                                     |           |                                                                                                                     |           |                                                                                                                     |           |                                                                                                                     |           |                                                                                                                   |          |                                                                                                                   |          |                                                                                                                         |           |                   |  |             |  |                                                                                                                                                                                                                                                                                                                                                                                                                                                                                                                                                                                                                                                                                                                                                                                                                                                                                                                                                                                                                                                                                                                                                                                                                                                                                                                                                                                                                                                                                                                                                                                                                               |                                |  |                                        |  |                                                                                                                     |           |                                                                                                                     |          |                                                                                                                     |           |                                                                                                                         |          |                                                                                                                   |           |                                                                                                                  |           |                                                                                                                            |           |                                                                                                                      |          |                   |  |                                                                                                                                                                                                                                                                                                                                                                                                                                                                                                                                                                                                                                                                                                                                                                                                                                                                                                                                                                                                                                                                                                                                                                                                                                                                                                                                                                                                                                                                                                                                                                                                                                                                       |                                |                                                                                                                                                                                                                                                                                                                                                                                                                                                                                                                                                                                                                                                                                                                                                                                                                                                                                                                                                                                                                                                                                                                                                                                                                                                                                                                                                                                                                                                                                                                                                                                                                                          |                                        |  |                                                                                                 |          |                                                                                                                    |                                    |                                                                                                                     |           |                                                                                                                       |           |                                                                                                                       |                                  |                                                                                                                        |           |                                                                                                                           |           |                                                                                                                    |           |                                                                                                                     |           |                   |  |                                                                                                                                                                                                                                                                                                                                                                                                                                                                                                                                                                                                                                                                                                                                                                                                                                                                                                                                                                                                                                                                                                                                                                                                                                                                                                                                                                                                                                                                                                                                                                                                                        |                                |                                                                                                                                                                                                                                                                                                                                                                                                                                                                                                                                                                                                                                                                                                                                                                                                                                                                                                                                                                                                                                                                                                                                                                                                                                                                                                                                                                                                                                                                                                                                                                                                                                                              |                                        |  |                                                                                                   |          |                                                                                                                     |           |                                                                                                                           |           |                                                                                                                     |           |                                                                                                                      |           |                                                                                                                       |           |                                                                                                                       |           |                                                                                                                     |           |                                                                                                                 |           |                   |  |             |  |                                                                                                                                                                                                                                                                                                                                                                                                                                                                                                                                                                                                                                                                                                                                                                                                                                                                                                                                                                                                                                                                                                                                                                                                                                                                                                                                                                                                                                                                                                                                                                                                                            |                                |  |                                        |  |                                                                                                   |             |                                                                                                                     |           |                                                                                                                     |           |                                                                                                                     |           |                                                                                                                     |           |                                                                                                                   |           |                                                                                                               |           |                                                                                                                   |           |                   |  |             |  |                                                                                                                                                                                                                                                                                                                                                                                                                                                                                                                                                                                                                                                                                                                                                                                                                                                                                                                                                                                                                                                                                                                                                                                                                                                                                                                                                                                                                                                                                                                                                                                                                            |                                |  |                                        |  |                                                                                                   |             |                                                                                                                     |           |                                                                                                                     |           |                                                                                                                     |           |                                                                                                                     |           |                                                                                                                   |           |                                                                                                               |           |                                                                                                                   |           |                   |  |             |  |                                                                                                                                                                                                                                                                                                                                                                                                                                                                                                                                                                                                                                                                                                                                                                                                                                                                                                                                                                                                                                                                                                                                                                                                                                                                                                                                                                                                                                                                                                                                                                                                                            |                                |  |                                        |  |                                                                                                   |             |                                                                                                                     |           |                                                                                                                     |           |                                                                                                                     |           |                                                                                                                     |           |                                                                                                                   |           |                                                                                                               |           |                                                                                                                   |           |                   |  |             |  |                                                                                                                                                                                                                                                                                                                                                                                                                                                                                                                                                                                                                                                                                                                                                                                                                                                                                                                                                                                                                                                                                                                                                                                                                                                                                                                                                                                                                                                                                                                                                                                                                            |                                |  |                                        |  |                                                                                                   |             |                                                                                                                     |           |                                                                                                                     |           |                                                                                                                     |           |                                                                                                                     |           |                                                                                                                   |           |                                                                                                               |           |                                                                                                                   |           |                   |  |             |  |                                                                                                                                                                                                                                                                                                                                                                                                                                                                                                                                                                                                                                                                                                                                                                                                                                                                                                                                                                                                                                                                                                                                                                                                                                                                                                                                                                                                                                                                                                                                                                                                                            |                                |  |                                        |  |                                                                                                   |             |                                                                                                                     |           |                                                                                                                     |           |                                                                                                                     |           |                                                                                                                     |           |                                                                                                                   |           |                                                                                                               |           |                                                                                                                   |           |                   |  |             |  |                                                                                                                                                                                                                                                                                                                                                                                                                                                                                                                                                                   |                                |  |                                        |  |                                                                                                   |             |                                                                                                                     |           |                              |
| <b>Read</b>                                                                                                                                                                                                                                                                                                                                                                                                                                                                                                                                                                                                                                                                                                                                                                                                                                                                                                                                                                                                                                                                                                                                                                                                                                                                                                                                                                                                                                                                 |                                    |  |                                        |  |                                                                                                                     |           |                                                                                                                     |           |                                                                                                                     |           |                                                                                                                     |           |                                                                                                                   |          |                                                                                                                   |          |                                                                                                                         |           |                   |  |             |  |                                                                                                                                                                                                                                                                                                                                                                                                                                                                                                                                                                                                                                                                                                                                                                                                                                                                                                                                                                                                                                                                                                                                                                                                                                                                                                                                                                                                                                                                                                                                                                                                                               |                                |  |                                        |  |                                                                                                                     |           |                                                                                                                     |          |                                                                                                                     |           |                                                                                                                         |          |                                                                                                                   |           |                                                                                                                  |           |                                                                                                                            |           |                                                                                                                      |          |                   |  |                                                                                                                                                                                                                                                                                                                                                                                                                                                                                                                                                                                                                                                                                                                                                                                                                                                                                                                                                                                                                                                                                                                                                                                                                                                                                                                                                                                                                                                                                                                                                                                                                                                                       |                                |                                                                                                                                                                                                                                                                                                                                                                                                                                                                                                                                                                                                                                                                                                                                                                                                                                                                                                                                                                                                                                                                                                                                                                                                                                                                                                                                                                                                                                                                                                                                                                                                                                          |                                        |  |                                                                                                 |          |                                                                                                                    |                                    |                                                                                                                     |           |                                                                                                                       |           |                                                                                                                       |                                  |                                                                                                                        |           |                                                                                                                           |           |                                                                                                                    |           |                                                                                                                     |           |                   |  |                                                                                                                                                                                                                                                                                                                                                                                                                                                                                                                                                                                                                                                                                                                                                                                                                                                                                                                                                                                                                                                                                                                                                                                                                                                                                                                                                                                                                                                                                                                                                                                                                        |                                |                                                                                                                                                                                                                                                                                                                                                                                                                                                                                                                                                                                                                                                                                                                                                                                                                                                                                                                                                                                                                                                                                                                                                                                                                                                                                                                                                                                                                                                                                                                                                                                                                                                              |                                        |  |                                                                                                   |          |                                                                                                                     |           |                                                                                                                           |           |                                                                                                                     |           |                                                                                                                      |           |                                                                                                                       |           |                                                                                                                       |           |                                                                                                                     |           |                                                                                                                 |           |                   |  |             |  |                                                                                                                                                                                                                                                                                                                                                                                                                                                                                                                                                                                                                                                                                                                                                                                                                                                                                                                                                                                                                                                                                                                                                                                                                                                                                                                                                                                                                                                                                                                                                                                                                            |                                |  |                                        |  |                                                                                                   |             |                                                                                                                     |           |                                                                                                                     |           |                                                                                                                     |           |                                                                                                                     |           |                                                                                                                   |           |                                                                                                               |           |                                                                                                                   |           |                   |  |             |  |                                                                                                                                                                                                                                                                                                                                                                                                                                                                                                                                                                                                                                                                                                                                                                                                                                                                                                                                                                                                                                                                                                                                                                                                                                                                                                                                                                                                                                                                                                                                                                                                                            |                                |  |                                        |  |                                                                                                   |             |                                                                                                                     |           |                                                                                                                     |           |                                                                                                                     |           |                                                                                                                     |           |                                                                                                                   |           |                                                                                                               |           |                                                                                                                   |           |                   |  |             |  |                                                                                                                                                                                                                                                                                                                                                                                                                                                                                                                                                                                                                                                                                                                                                                                                                                                                                                                                                                                                                                                                                                                                                                                                                                                                                                                                                                                                                                                                                                                                                                                                                            |                                |  |                                        |  |                                                                                                   |             |                                                                                                                     |           |                                                                                                                     |           |                                                                                                                     |           |                                                                                                                     |           |                                                                                                                   |           |                                                                                                               |           |                                                                                                                   |           |                   |  |             |  |                                                                                                                                                                                                                                                                                                                                                                                                                                                                                                                                                                                                                                                                                                                                                                                                                                                                                                                                                                                                                                                                                                                                                                                                                                                                                                                                                                                                                                                                                                                                                                                                                            |                                |  |                                        |  |                                                                                                   |             |                                                                                                                     |           |                                                                                                                     |           |                                                                                                                     |           |                                                                                                                     |           |                                                                                                                   |           |                                                                                                               |           |                                                                                                                   |           |                   |  |             |  |                                                                                                                                                                                                                                                                                                                                                                                                                                                                                                                                                                                                                                                                                                                                                                                                                                                                                                                                                                                                                                                                                                                                                                                                                                                                                                                                                                                                                                                                                                                                                                                                                            |                                |  |                                        |  |                                                                                                   |             |                                                                                                                     |           |                                                                                                                     |           |                                                                                                                     |           |                                                                                                                     |           |                                                                                                                   |           |                                                                                                               |           |                                                                                                                   |           |                   |  |             |  |                                                                                                                                                                                                                                                                                                                                                                                                                                                                                                                                                                   |                                |  |                                        |  |                                                                                                   |             |                                                                                                                     |           |                              |
| Enable/disable control Para...                                                                                                                                                                                                                                                                                                                                                                                                                                                                                                                                                                                                                                                                                                                                                                                                                                                                                                                                                                                                                                                                                                                                                                                                                                                                                                                                                                                                                                              |                                    |  |                                        |  |                                                                                                                     |           |                                                                                                                     |           |                                                                                                                     |           |                                                                                                                     |           |                                                                                                                   |          |                                                                                                                   |          |                                                                                                                         |           |                   |  |             |  |                                                                                                                                                                                                                                                                                                                                                                                                                                                                                                                                                                                                                                                                                                                                                                                                                                                                                                                                                                                                                                                                                                                                                                                                                                                                                                                                                                                                                                                                                                                                                                                                                               |                                |  |                                        |  |                                                                                                                     |           |                                                                                                                     |          |                                                                                                                     |           |                                                                                                                         |          |                                                                                                                   |           |                                                                                                                  |           |                                                                                                                            |           |                                                                                                                      |          |                   |  |                                                                                                                                                                                                                                                                                                                                                                                                                                                                                                                                                                                                                                                                                                                                                                                                                                                                                                                                                                                                                                                                                                                                                                                                                                                                                                                                                                                                                                                                                                                                                                                                                                                                       |                                |                                                                                                                                                                                                                                                                                                                                                                                                                                                                                                                                                                                                                                                                                                                                                                                                                                                                                                                                                                                                                                                                                                                                                                                                                                                                                                                                                                                                                                                                                                                                                                                                                                          |                                        |  |                                                                                                 |          |                                                                                                                    |                                    |                                                                                                                     |           |                                                                                                                       |           |                                                                                                                       |                                  |                                                                                                                        |           |                                                                                                                           |           |                                                                                                                    |           |                                                                                                                     |           |                   |  |                                                                                                                                                                                                                                                                                                                                                                                                                                                                                                                                                                                                                                                                                                                                                                                                                                                                                                                                                                                                                                                                                                                                                                                                                                                                                                                                                                                                                                                                                                                                                                                                                        |                                |                                                                                                                                                                                                                                                                                                                                                                                                                                                                                                                                                                                                                                                                                                                                                                                                                                                                                                                                                                                                                                                                                                                                                                                                                                                                                                                                                                                                                                                                                                                                                                                                                                                              |                                        |  |                                                                                                   |          |                                                                                                                     |           |                                                                                                                           |           |                                                                                                                     |           |                                                                                                                      |           |                                                                                                                       |           |                                                                                                                       |           |                                                                                                                     |           |                                                                                                                 |           |                   |  |             |  |                                                                                                                                                                                                                                                                                                                                                                                                                                                                                                                                                                                                                                                                                                                                                                                                                                                                                                                                                                                                                                                                                                                                                                                                                                                                                                                                                                                                                                                                                                                                                                                                                            |                                |  |                                        |  |                                                                                                   |             |                                                                                                                     |           |                                                                                                                     |           |                                                                                                                     |           |                                                                                                                     |           |                                                                                                                   |           |                                                                                                               |           |                                                                                                                   |           |                   |  |             |  |                                                                                                                                                                                                                                                                                                                                                                                                                                                                                                                                                                                                                                                                                                                                                                                                                                                                                                                                                                                                                                                                                                                                                                                                                                                                                                                                                                                                                                                                                                                                                                                                                            |                                |  |                                        |  |                                                                                                   |             |                                                                                                                     |           |                                                                                                                     |           |                                                                                                                     |           |                                                                                                                     |           |                                                                                                                   |           |                                                                                                               |           |                                                                                                                   |           |                   |  |             |  |                                                                                                                                                                                                                                                                                                                                                                                                                                                                                                                                                                                                                                                                                                                                                                                                                                                                                                                                                                                                                                                                                                                                                                                                                                                                                                                                                                                                                                                                                                                                                                                                                            |                                |  |                                        |  |                                                                                                   |             |                                                                                                                     |           |                                                                                                                     |           |                                                                                                                     |           |                                                                                                                     |           |                                                                                                                   |           |                                                                                                               |           |                                                                                                                   |           |                   |  |             |  |                                                                                                                                                                                                                                                                                                                                                                                                                                                                                                                                                                                                                                                                                                                                                                                                                                                                                                                                                                                                                                                                                                                                                                                                                                                                                                                                                                                                                                                                                                                                                                                                                            |                                |  |                                        |  |                                                                                                   |             |                                                                                                                     |           |                                                                                                                     |           |                                                                                                                     |           |                                                                                                                     |           |                                                                                                                   |           |                                                                                                               |           |                                                                                                                   |           |                   |  |             |  |                                                                                                                                                                                                                                                                                                                                                                                                                                                                                                                                                                                                                                                                                                                                                                                                                                                                                                                                                                                                                                                                                                                                                                                                                                                                                                                                                                                                                                                                                                                                                                                                                            |                                |  |                                        |  |                                                                                                   |             |                                                                                                                     |           |                                                                                                                     |           |                                                                                                                     |           |                                                                                                                     |           |                                                                                                                   |           |                                                                                                               |           |                                                                                                                   |           |                   |  |             |  |                                                                                                                                                                                                                                                                                                                                                                                                                                                                                                                                                                   |                                |  |                                        |  |                                                                                                   |             |                                                                                                                     |           |                              |
| Last Updated: 2/24/2025 15:55:34 +0800                                                                                                                                                                                                                                                                                                                                                                                                                                                                                                                                                                                                                                                                                                                                                                                                                                                                                                                                                                                                                                                                                                                                                                                                                                                                                                                                                                                                                                      |                                    |  |                                        |  |                                                                                                                     |           |                                                                                                                     |           |                                                                                                                     |           |                                                                                                                     |           |                                                                                                                   |          |                                                                                                                   |          |                                                                                                                         |           |                   |  |             |  |                                                                                                                                                                                                                                                                                                                                                                                                                                                                                                                                                                                                                                                                                                                                                                                                                                                                                                                                                                                                                                                                                                                                                                                                                                                                                                                                                                                                                                                                                                                                                                                                                               |                                |  |                                        |  |                                                                                                                     |           |                                                                                                                     |          |                                                                                                                     |           |                                                                                                                         |          |                                                                                                                   |           |                                                                                                                  |           |                                                                                                                            |           |                                                                                                                      |          |                   |  |                                                                                                                                                                                                                                                                                                                                                                                                                                                                                                                                                                                                                                                                                                                                                                                                                                                                                                                                                                                                                                                                                                                                                                                                                                                                                                                                                                                                                                                                                                                                                                                                                                                                       |                                |                                                                                                                                                                                                                                                                                                                                                                                                                                                                                                                                                                                                                                                                                                                                                                                                                                                                                                                                                                                                                                                                                                                                                                                                                                                                                                                                                                                                                                                                                                                                                                                                                                          |                                        |  |                                                                                                 |          |                                                                                                                    |                                    |                                                                                                                     |           |                                                                                                                       |           |                                                                                                                       |                                  |                                                                                                                        |           |                                                                                                                           |           |                                                                                                                    |           |                                                                                                                     |           |                   |  |                                                                                                                                                                                                                                                                                                                                                                                                                                                                                                                                                                                                                                                                                                                                                                                                                                                                                                                                                                                                                                                                                                                                                                                                                                                                                                                                                                                                                                                                                                                                                                                                                        |                                |                                                                                                                                                                                                                                                                                                                                                                                                                                                                                                                                                                                                                                                                                                                                                                                                                                                                                                                                                                                                                                                                                                                                                                                                                                                                                                                                                                                                                                                                                                                                                                                                                                                              |                                        |  |                                                                                                   |          |                                                                                                                     |           |                                                                                                                           |           |                                                                                                                     |           |                                                                                                                      |           |                                                                                                                       |           |                                                                                                                       |           |                                                                                                                     |           |                                                                                                                 |           |                   |  |             |  |                                                                                                                                                                                                                                                                                                                                                                                                                                                                                                                                                                                                                                                                                                                                                                                                                                                                                                                                                                                                                                                                                                                                                                                                                                                                                                                                                                                                                                                                                                                                                                                                                            |                                |  |                                        |  |                                                                                                   |             |                                                                                                                     |           |                                                                                                                     |           |                                                                                                                     |           |                                                                                                                     |           |                                                                                                                   |           |                                                                                                               |           |                                                                                                                   |           |                   |  |             |  |                                                                                                                                                                                                                                                                                                                                                                                                                                                                                                                                                                                                                                                                                                                                                                                                                                                                                                                                                                                                                                                                                                                                                                                                                                                                                                                                                                                                                                                                                                                                                                                                                            |                                |  |                                        |  |                                                                                                   |             |                                                                                                                     |           |                                                                                                                     |           |                                                                                                                     |           |                                                                                                                     |           |                                                                                                                   |           |                                                                                                               |           |                                                                                                                   |           |                   |  |             |  |                                                                                                                                                                                                                                                                                                                                                                                                                                                                                                                                                                                                                                                                                                                                                                                                                                                                                                                                                                                                                                                                                                                                                                                                                                                                                                                                                                                                                                                                                                                                                                                                                            |                                |  |                                        |  |                                                                                                   |             |                                                                                                                     |           |                                                                                                                     |           |                                                                                                                     |           |                                                                                                                     |           |                                                                                                                   |           |                                                                                                               |           |                                                                                                                   |           |                   |  |             |  |                                                                                                                                                                                                                                                                                                                                                                                                                                                                                                                                                                                                                                                                                                                                                                                                                                                                                                                                                                                                                                                                                                                                                                                                                                                                                                                                                                                                                                                                                                                                                                                                                            |                                |  |                                        |  |                                                                                                   |             |                                                                                                                     |           |                                                                                                                     |           |                                                                                                                     |           |                                                                                                                     |           |                                                                                                                   |           |                                                                                                               |           |                                                                                                                   |           |                   |  |             |  |                                                                                                                                                                                                                                                                                                                                                                                                                                                                                                                                                                                                                                                                                                                                                                                                                                                                                                                                                                                                                                                                                                                                                                                                                                                                                                                                                                                                                                                                                                                                                                                                                            |                                |  |                                        |  |                                                                                                   |             |                                                                                                                     |           |                                                                                                                     |           |                                                                                                                     |           |                                                                                                                     |           |                                                                                                                   |           |                                                                                                               |           |                                                                                                                   |           |                   |  |             |  |                                                                                                                                                                                                                                                                                                                                                                                                                                                                                                                                                                   |                                |  |                                        |  |                                                                                                   |             |                                                                                                                     |           |                              |
|  0x262C   9772                                                                                                                                                                                                                                                                                                                                                                                                                                                                                                                                                                                                                                                                                                                                                                                                                                                                                                                                                                                                                                                                                                                                                                                                                                                                                                                                                                           | Procedure >                        |  |                                        |  |                                                                                                                     |           |                                                                                                                     |           |                                                                                                                     |           |                                                                                                                     |           |                                                                                                                   |          |                                                                                                                   |          |                                                                                                                         |           |                   |  |             |  |                                                                                                                                                                                                                                                                                                                                                                                                                                                                                                                                                                                                                                                                                                                                                                                                                                                                                                                                                                                                                                                                                                                                                                                                                                                                                                                                                                                                                                                                                                                                                                                                                               |                                |  |                                        |  |                                                                                                                     |           |                                                                                                                     |          |                                                                                                                     |           |                                                                                                                         |          |                                                                                                                   |           |                                                                                                                  |           |                                                                                                                            |           |                                                                                                                      |          |                   |  |                                                                                                                                                                                                                                                                                                                                                                                                                                                                                                                                                                                                                                                                                                                                                                                                                                                                                                                                                                                                                                                                                                                                                                                                                                                                                                                                                                                                                                                                                                                                                                                                                                                                       |                                |                                                                                                                                                                                                                                                                                                                                                                                                                                                                                                                                                                                                                                                                                                                                                                                                                                                                                                                                                                                                                                                                                                                                                                                                                                                                                                                                                                                                                                                                                                                                                                                                                                          |                                        |  |                                                                                                 |          |                                                                                                                    |                                    |                                                                                                                     |           |                                                                                                                       |           |                                                                                                                       |                                  |                                                                                                                        |           |                                                                                                                           |           |                                                                                                                    |           |                                                                                                                     |           |                   |  |                                                                                                                                                                                                                                                                                                                                                                                                                                                                                                                                                                                                                                                                                                                                                                                                                                                                                                                                                                                                                                                                                                                                                                                                                                                                                                                                                                                                                                                                                                                                                                                                                        |                                |                                                                                                                                                                                                                                                                                                                                                                                                                                                                                                                                                                                                                                                                                                                                                                                                                                                                                                                                                                                                                                                                                                                                                                                                                                                                                                                                                                                                                                                                                                                                                                                                                                                              |                                        |  |                                                                                                   |          |                                                                                                                     |           |                                                                                                                           |           |                                                                                                                     |           |                                                                                                                      |           |                                                                                                                       |           |                                                                                                                       |           |                                                                                                                     |           |                                                                                                                 |           |                   |  |             |  |                                                                                                                                                                                                                                                                                                                                                                                                                                                                                                                                                                                                                                                                                                                                                                                                                                                                                                                                                                                                                                                                                                                                                                                                                                                                                                                                                                                                                                                                                                                                                                                                                            |                                |  |                                        |  |                                                                                                   |             |                                                                                                                     |           |                                                                                                                     |           |                                                                                                                     |           |                                                                                                                     |           |                                                                                                                   |           |                                                                                                               |           |                                                                                                                   |           |                   |  |             |  |                                                                                                                                                                                                                                                                                                                                                                                                                                                                                                                                                                                                                                                                                                                                                                                                                                                                                                                                                                                                                                                                                                                                                                                                                                                                                                                                                                                                                                                                                                                                                                                                                            |                                |  |                                        |  |                                                                                                   |             |                                                                                                                     |           |                                                                                                                     |           |                                                                                                                     |           |                                                                                                                     |           |                                                                                                                   |           |                                                                                                               |           |                                                                                                                   |           |                   |  |             |  |                                                                                                                                                                                                                                                                                                                                                                                                                                                                                                                                                                                                                                                                                                                                                                                                                                                                                                                                                                                                                                                                                                                                                                                                                                                                                                                                                                                                                                                                                                                                                                                                                            |                                |  |                                        |  |                                                                                                   |             |                                                                                                                     |           |                                                                                                                     |           |                                                                                                                     |           |                                                                                                                     |           |                                                                                                                   |           |                                                                                                               |           |                                                                                                                   |           |                   |  |             |  |                                                                                                                                                                                                                                                                                                                                                                                                                                                                                                                                                                                                                                                                                                                                                                                                                                                                                                                                                                                                                                                                                                                                                                                                                                                                                                                                                                                                                                                                                                                                                                                                                            |                                |  |                                        |  |                                                                                                   |             |                                                                                                                     |           |                                                                                                                     |           |                                                                                                                     |           |                                                                                                                     |           |                                                                                                                   |           |                                                                                                               |           |                                                                                                                   |           |                   |  |             |  |                                                                                                                                                                                                                                                                                                                                                                                                                                                                                                                                                                                                                                                                                                                                                                                                                                                                                                                                                                                                                                                                                                                                                                                                                                                                                                                                                                                                                                                                                                                                                                                                                            |                                |  |                                        |  |                                                                                                   |             |                                                                                                                     |           |                                                                                                                     |           |                                                                                                                     |           |                                                                                                                     |           |                                                                                                                   |           |                                                                                                               |           |                                                                                                                   |           |                   |  |             |  |                                                                                                                                                                                                                                                                                                                                                                                                                                                                                                                                                                   |                                |  |                                        |  |                                                                                                   |             |                                                                                                                     |           |                              |
|  PV1FuseCheckEn<br>0x262F   9775                                                                                                                                                                                                                                                                                                                                                                                                                                                                                                                                                                                                                                                                                                                                                                                                                                                                                                                                                                                                                                                                                                                                                                                                                                                                                                                                                         | Disable >                          |  |                                        |  |                                                                                                                     |           |                                                                                                                     |           |                                                                                                                     |           |                                                                                                                     |           |                                                                                                                   |          |                                                                                                                   |          |                                                                                                                         |           |                   |  |             |  |                                                                                                                                                                                                                                                                                                                                                                                                                                                                                                                                                                                                                                                                                                                                                                                                                                                                                                                                                                                                                                                                                                                                                                                                                                                                                                                                                                                                                                                                                                                                                                                                                               |                                |  |                                        |  |                                                                                                                     |           |                                                                                                                     |          |                                                                                                                     |           |                                                                                                                         |          |                                                                                                                   |           |                                                                                                                  |           |                                                                                                                            |           |                                                                                                                      |          |                   |  |                                                                                                                                                                                                                                                                                                                                                                                                                                                                                                                                                                                                                                                                                                                                                                                                                                                                                                                                                                                                                                                                                                                                                                                                                                                                                                                                                                                                                                                                                                                                                                                                                                                                       |                                |                                                                                                                                                                                                                                                                                                                                                                                                                                                                                                                                                                                                                                                                                                                                                                                                                                                                                                                                                                                                                                                                                                                                                                                                                                                                                                                                                                                                                                                                                                                                                                                                                                          |                                        |  |                                                                                                 |          |                                                                                                                    |                                    |                                                                                                                     |           |                                                                                                                       |           |                                                                                                                       |                                  |                                                                                                                        |           |                                                                                                                           |           |                                                                                                                    |           |                                                                                                                     |           |                   |  |                                                                                                                                                                                                                                                                                                                                                                                                                                                                                                                                                                                                                                                                                                                                                                                                                                                                                                                                                                                                                                                                                                                                                                                                                                                                                                                                                                                                                                                                                                                                                                                                                        |                                |                                                                                                                                                                                                                                                                                                                                                                                                                                                                                                                                                                                                                                                                                                                                                                                                                                                                                                                                                                                                                                                                                                                                                                                                                                                                                                                                                                                                                                                                                                                                                                                                                                                              |                                        |  |                                                                                                   |          |                                                                                                                     |           |                                                                                                                           |           |                                                                                                                     |           |                                                                                                                      |           |                                                                                                                       |           |                                                                                                                       |           |                                                                                                                     |           |                                                                                                                 |           |                   |  |             |  |                                                                                                                                                                                                                                                                                                                                                                                                                                                                                                                                                                                                                                                                                                                                                                                                                                                                                                                                                                                                                                                                                                                                                                                                                                                                                                                                                                                                                                                                                                                                                                                                                            |                                |  |                                        |  |                                                                                                   |             |                                                                                                                     |           |                                                                                                                     |           |                                                                                                                     |           |                                                                                                                     |           |                                                                                                                   |           |                                                                                                               |           |                                                                                                                   |           |                   |  |             |  |                                                                                                                                                                                                                                                                                                                                                                                                                                                                                                                                                                                                                                                                                                                                                                                                                                                                                                                                                                                                                                                                                                                                                                                                                                                                                                                                                                                                                                                                                                                                                                                                                            |                                |  |                                        |  |                                                                                                   |             |                                                                                                                     |           |                                                                                                                     |           |                                                                                                                     |           |                                                                                                                     |           |                                                                                                                   |           |                                                                                                               |           |                                                                                                                   |           |                   |  |             |  |                                                                                                                                                                                                                                                                                                                                                                                                                                                                                                                                                                                                                                                                                                                                                                                                                                                                                                                                                                                                                                                                                                                                                                                                                                                                                                                                                                                                                                                                                                                                                                                                                            |                                |  |                                        |  |                                                                                                   |             |                                                                                                                     |           |                                                                                                                     |           |                                                                                                                     |           |                                                                                                                     |           |                                                                                                                   |           |                                                                                                               |           |                                                                                                                   |           |                   |  |             |  |                                                                                                                                                                                                                                                                                                                                                                                                                                                                                                                                                                                                                                                                                                                                                                                                                                                                                                                                                                                                                                                                                                                                                                                                                                                                                                                                                                                                                                                                                                                                                                                                                            |                                |  |                                        |  |                                                                                                   |             |                                                                                                                     |           |                                                                                                                     |           |                                                                                                                     |           |                                                                                                                     |           |                                                                                                                   |           |                                                                                                               |           |                                                                                                                   |           |                   |  |             |  |                                                                                                                                                                                                                                                                                                                                                                                                                                                                                                                                                                                                                                                                                                                                                                                                                                                                                                                                                                                                                                                                                                                                                                                                                                                                                                                                                                                                                                                                                                                                                                                                                            |                                |  |                                        |  |                                                                                                   |             |                                                                                                                     |           |                                                                                                                     |           |                                                                                                                     |           |                                                                                                                     |           |                                                                                                                   |           |                                                                                                               |           |                                                                                                                   |           |                   |  |             |  |                                                                                                                                                                                                                                                                                                                                                                                                                                                                                                                                                                   |                                |  |                                        |  |                                                                                                   |             |                                                                                                                     |           |                              |
|  PV2FuseCheckEn<br>0x2630   9776                                                                                                                                                                                                                                                                                                                                                                                                                                                                                                                                                                                                                                                                                                                                                                                                                                                                                                                                                                                                                                                                                                                                                                                                                                                                                                                                                         | Disable >                          |  |                                        |  |                                                                                                                     |           |                                                                                                                     |           |                                                                                                                     |           |                                                                                                                     |           |                                                                                                                   |          |                                                                                                                   |          |                                                                                                                         |           |                   |  |             |  |                                                                                                                                                                                                                                                                                                                                                                                                                                                                                                                                                                                                                                                                                                                                                                                                                                                                                                                                                                                                                                                                                                                                                                                                                                                                                                                                                                                                                                                                                                                                                                                                                               |                                |  |                                        |  |                                                                                                                     |           |                                                                                                                     |          |                                                                                                                     |           |                                                                                                                         |          |                                                                                                                   |           |                                                                                                                  |           |                                                                                                                            |           |                                                                                                                      |          |                   |  |                                                                                                                                                                                                                                                                                                                                                                                                                                                                                                                                                                                                                                                                                                                                                                                                                                                                                                                                                                                                                                                                                                                                                                                                                                                                                                                                                                                                                                                                                                                                                                                                                                                                       |                                |                                                                                                                                                                                                                                                                                                                                                                                                                                                                                                                                                                                                                                                                                                                                                                                                                                                                                                                                                                                                                                                                                                                                                                                                                                                                                                                                                                                                                                                                                                                                                                                                                                          |                                        |  |                                                                                                 |          |                                                                                                                    |                                    |                                                                                                                     |           |                                                                                                                       |           |                                                                                                                       |                                  |                                                                                                                        |           |                                                                                                                           |           |                                                                                                                    |           |                                                                                                                     |           |                   |  |                                                                                                                                                                                                                                                                                                                                                                                                                                                                                                                                                                                                                                                                                                                                                                                                                                                                                                                                                                                                                                                                                                                                                                                                                                                                                                                                                                                                                                                                                                                                                                                                                        |                                |                                                                                                                                                                                                                                                                                                                                                                                                                                                                                                                                                                                                                                                                                                                                                                                                                                                                                                                                                                                                                                                                                                                                                                                                                                                                                                                                                                                                                                                                                                                                                                                                                                                              |                                        |  |                                                                                                   |          |                                                                                                                     |           |                                                                                                                           |           |                                                                                                                     |           |                                                                                                                      |           |                                                                                                                       |           |                                                                                                                       |           |                                                                                                                     |           |                                                                                                                 |           |                   |  |             |  |                                                                                                                                                                                                                                                                                                                                                                                                                                                                                                                                                                                                                                                                                                                                                                                                                                                                                                                                                                                                                                                                                                                                                                                                                                                                                                                                                                                                                                                                                                                                                                                                                            |                                |  |                                        |  |                                                                                                   |             |                                                                                                                     |           |                                                                                                                     |           |                                                                                                                     |           |                                                                                                                     |           |                                                                                                                   |           |                                                                                                               |           |                                                                                                                   |           |                   |  |             |  |                                                                                                                                                                                                                                                                                                                                                                                                                                                                                                                                                                                                                                                                                                                                                                                                                                                                                                                                                                                                                                                                                                                                                                                                                                                                                                                                                                                                                                                                                                                                                                                                                            |                                |  |                                        |  |                                                                                                   |             |                                                                                                                     |           |                                                                                                                     |           |                                                                                                                     |           |                                                                                                                     |           |                                                                                                                   |           |                                                                                                               |           |                                                                                                                   |           |                   |  |             |  |                                                                                                                                                                                                                                                                                                                                                                                                                                                                                                                                                                                                                                                                                                                                                                                                                                                                                                                                                                                                                                                                                                                                                                                                                                                                                                                                                                                                                                                                                                                                                                                                                            |                                |  |                                        |  |                                                                                                   |             |                                                                                                                     |           |                                                                                                                     |           |                                                                                                                     |           |                                                                                                                     |           |                                                                                                                   |           |                                                                                                               |           |                                                                                                                   |           |                   |  |             |  |                                                                                                                                                                                                                                                                                                                                                                                                                                                                                                                                                                                                                                                                                                                                                                                                                                                                                                                                                                                                                                                                                                                                                                                                                                                                                                                                                                                                                                                                                                                                                                                                                            |                                |  |                                        |  |                                                                                                   |             |                                                                                                                     |           |                                                                                                                     |           |                                                                                                                     |           |                                                                                                                     |           |                                                                                                                   |           |                                                                                                               |           |                                                                                                                   |           |                   |  |             |  |                                                                                                                                                                                                                                                                                                                                                                                                                                                                                                                                                                                                                                                                                                                                                                                                                                                                                                                                                                                                                                                                                                                                                                                                                                                                                                                                                                                                                                                                                                                                                                                                                            |                                |  |                                        |  |                                                                                                   |             |                                                                                                                     |           |                                                                                                                     |           |                                                                                                                     |           |                                                                                                                     |           |                                                                                                                   |           |                                                                                                               |           |                                                                                                                   |           |                   |  |             |  |                                                                                                                                                                                                                                                                                                                                                                                                                                                                                                                                                                   |                                |  |                                        |  |                                                                                                   |             |                                                                                                                     |           |                              |
|  PV3FuseCheckEn<br>0x2631   9777                                                                                                                                                                                                                                                                                                                                                                                                                                                                                                                                                                                                                                                                                                                                                                                                                                                                                                                                                                                                                                                                                                                                                                                                                                                                                                                                                         | Disable >                          |  |                                        |  |                                                                                                                     |           |                                                                                                                     |           |                                                                                                                     |           |                                                                                                                     |           |                                                                                                                   |          |                                                                                                                   |          |                                                                                                                         |           |                   |  |             |  |                                                                                                                                                                                                                                                                                                                                                                                                                                                                                                                                                                                                                                                                                                                                                                                                                                                                                                                                                                                                                                                                                                                                                                                                                                                                                                                                                                                                                                                                                                                                                                                                                               |                                |  |                                        |  |                                                                                                                     |           |                                                                                                                     |          |                                                                                                                     |           |                                                                                                                         |          |                                                                                                                   |           |                                                                                                                  |           |                                                                                                                            |           |                                                                                                                      |          |                   |  |                                                                                                                                                                                                                                                                                                                                                                                                                                                                                                                                                                                                                                                                                                                                                                                                                                                                                                                                                                                                                                                                                                                                                                                                                                                                                                                                                                                                                                                                                                                                                                                                                                                                       |                                |                                                                                                                                                                                                                                                                                                                                                                                                                                                                                                                                                                                                                                                                                                                                                                                                                                                                                                                                                                                                                                                                                                                                                                                                                                                                                                                                                                                                                                                                                                                                                                                                                                          |                                        |  |                                                                                                 |          |                                                                                                                    |                                    |                                                                                                                     |           |                                                                                                                       |           |                                                                                                                       |                                  |                                                                                                                        |           |                                                                                                                           |           |                                                                                                                    |           |                                                                                                                     |           |                   |  |                                                                                                                                                                                                                                                                                                                                                                                                                                                                                                                                                                                                                                                                                                                                                                                                                                                                                                                                                                                                                                                                                                                                                                                                                                                                                                                                                                                                                                                                                                                                                                                                                        |                                |                                                                                                                                                                                                                                                                                                                                                                                                                                                                                                                                                                                                                                                                                                                                                                                                                                                                                                                                                                                                                                                                                                                                                                                                                                                                                                                                                                                                                                                                                                                                                                                                                                                              |                                        |  |                                                                                                   |          |                                                                                                                     |           |                                                                                                                           |           |                                                                                                                     |           |                                                                                                                      |           |                                                                                                                       |           |                                                                                                                       |           |                                                                                                                     |           |                                                                                                                 |           |                   |  |             |  |                                                                                                                                                                                                                                                                                                                                                                                                                                                                                                                                                                                                                                                                                                                                                                                                                                                                                                                                                                                                                                                                                                                                                                                                                                                                                                                                                                                                                                                                                                                                                                                                                            |                                |  |                                        |  |                                                                                                   |             |                                                                                                                     |           |                                                                                                                     |           |                                                                                                                     |           |                                                                                                                     |           |                                                                                                                   |           |                                                                                                               |           |                                                                                                                   |           |                   |  |             |  |                                                                                                                                                                                                                                                                                                                                                                                                                                                                                                                                                                                                                                                                                                                                                                                                                                                                                                                                                                                                                                                                                                                                                                                                                                                                                                                                                                                                                                                                                                                                                                                                                            |                                |  |                                        |  |                                                                                                   |             |                                                                                                                     |           |                                                                                                                     |           |                                                                                                                     |           |                                                                                                                     |           |                                                                                                                   |           |                                                                                                               |           |                                                                                                                   |           |                   |  |             |  |                                                                                                                                                                                                                                                                                                                                                                                                                                                                                                                                                                                                                                                                                                                                                                                                                                                                                                                                                                                                                                                                                                                                                                                                                                                                                                                                                                                                                                                                                                                                                                                                                            |                                |  |                                        |  |                                                                                                   |             |                                                                                                                     |           |                                                                                                                     |           |                                                                                                                     |           |                                                                                                                     |           |                                                                                                                   |           |                                                                                                               |           |                                                                                                                   |           |                   |  |             |  |                                                                                                                                                                                                                                                                                                                                                                                                                                                                                                                                                                                                                                                                                                                                                                                                                                                                                                                                                                                                                                                                                                                                                                                                                                                                                                                                                                                                                                                                                                                                                                                                                            |                                |  |                                        |  |                                                                                                   |             |                                                                                                                     |           |                                                                                                                     |           |                                                                                                                     |           |                                                                                                                     |           |                                                                                                                   |           |                                                                                                               |           |                                                                                                                   |           |                   |  |             |  |                                                                                                                                                                                                                                                                                                                                                                                                                                                                                                                                                                                                                                                                                                                                                                                                                                                                                                                                                                                                                                                                                                                                                                                                                                                                                                                                                                                                                                                                                                                                                                                                                            |                                |  |                                        |  |                                                                                                   |             |                                                                                                                     |           |                                                                                                                     |           |                                                                                                                     |           |                                                                                                                     |           |                                                                                                                   |           |                                                                                                               |           |                                                                                                                   |           |                   |  |             |  |                                                                                                                                                                                                                                                                                                                                                                                                                                                                                                                                                                   |                                |  |                                        |  |                                                                                                   |             |                                                                                                                     |           |                              |
|  PV4FuseCheckEn<br>0x2632   9778                                                                                                                                                                                                                                                                                                                                                                                                                                                                                                                                                                                                                                                                                                                                                                                                                                                                                                                                                                                                                                                                                                                                                                                                                                                                                                                                                         | Disable >                          |  |                                        |  |                                                                                                                     |           |                                                                                                                     |           |                                                                                                                     |           |                                                                                                                     |           |                                                                                                                   |          |                                                                                                                   |          |                                                                                                                         |           |                   |  |             |  |                                                                                                                                                                                                                                                                                                                                                                                                                                                                                                                                                                                                                                                                                                                                                                                                                                                                                                                                                                                                                                                                                                                                                                                                                                                                                                                                                                                                                                                                                                                                                                                                                               |                                |  |                                        |  |                                                                                                                     |           |                                                                                                                     |          |                                                                                                                     |           |                                                                                                                         |          |                                                                                                                   |           |                                                                                                                  |           |                                                                                                                            |           |                                                                                                                      |          |                   |  |                                                                                                                                                                                                                                                                                                                                                                                                                                                                                                                                                                                                                                                                                                                                                                                                                                                                                                                                                                                                                                                                                                                                                                                                                                                                                                                                                                                                                                                                                                                                                                                                                                                                       |                                |                                                                                                                                                                                                                                                                                                                                                                                                                                                                                                                                                                                                                                                                                                                                                                                                                                                                                                                                                                                                                                                                                                                                                                                                                                                                                                                                                                                                                                                                                                                                                                                                                                          |                                        |  |                                                                                                 |          |                                                                                                                    |                                    |                                                                                                                     |           |                                                                                                                       |           |                                                                                                                       |                                  |                                                                                                                        |           |                                                                                                                           |           |                                                                                                                    |           |                                                                                                                     |           |                   |  |                                                                                                                                                                                                                                                                                                                                                                                                                                                                                                                                                                                                                                                                                                                                                                                                                                                                                                                                                                                                                                                                                                                                                                                                                                                                                                                                                                                                                                                                                                                                                                                                                        |                                |                                                                                                                                                                                                                                                                                                                                                                                                                                                                                                                                                                                                                                                                                                                                                                                                                                                                                                                                                                                                                                                                                                                                                                                                                                                                                                                                                                                                                                                                                                                                                                                                                                                              |                                        |  |                                                                                                   |          |                                                                                                                     |           |                                                                                                                           |           |                                                                                                                     |           |                                                                                                                      |           |                                                                                                                       |           |                                                                                                                       |           |                                                                                                                     |           |                                                                                                                 |           |                   |  |             |  |                                                                                                                                                                                                                                                                                                                                                                                                                                                                                                                                                                                                                                                                                                                                                                                                                                                                                                                                                                                                                                                                                                                                                                                                                                                                                                                                                                                                                                                                                                                                                                                                                            |                                |  |                                        |  |                                                                                                   |             |                                                                                                                     |           |                                                                                                                     |           |                                                                                                                     |           |                                                                                                                     |           |                                                                                                                   |           |                                                                                                               |           |                                                                                                                   |           |                   |  |             |  |                                                                                                                                                                                                                                                                                                                                                                                                                                                                                                                                                                                                                                                                                                                                                                                                                                                                                                                                                                                                                                                                                                                                                                                                                                                                                                                                                                                                                                                                                                                                                                                                                            |                                |  |                                        |  |                                                                                                   |             |                                                                                                                     |           |                                                                                                                     |           |                                                                                                                     |           |                                                                                                                     |           |                                                                                                                   |           |                                                                                                               |           |                                                                                                                   |           |                   |  |             |  |                                                                                                                                                                                                                                                                                                                                                                                                                                                                                                                                                                                                                                                                                                                                                                                                                                                                                                                                                                                                                                                                                                                                                                                                                                                                                                                                                                                                                                                                                                                                                                                                                            |                                |  |                                        |  |                                                                                                   |             |                                                                                                                     |           |                                                                                                                     |           |                                                                                                                     |           |                                                                                                                     |           |                                                                                                                   |           |                                                                                                               |           |                                                                                                                   |           |                   |  |             |  |                                                                                                                                                                                                                                                                                                                                                                                                                                                                                                                                                                                                                                                                                                                                                                                                                                                                                                                                                                                                                                                                                                                                                                                                                                                                                                                                                                                                                                                                                                                                                                                                                            |                                |  |                                        |  |                                                                                                   |             |                                                                                                                     |           |                                                                                                                     |           |                                                                                                                     |           |                                                                                                                     |           |                                                                                                                   |           |                                                                                                               |           |                                                                                                                   |           |                   |  |             |  |                                                                                                                                                                                                                                                                                                                                                                                                                                                                                                                                                                                                                                                                                                                                                                                                                                                                                                                                                                                                                                                                                                                                                                                                                                                                                                                                                                                                                                                                                                                                                                                                                            |                                |  |                                        |  |                                                                                                   |             |                                                                                                                     |           |                                                                                                                     |           |                                                                                                                     |           |                                                                                                                     |           |                                                                                                                   |           |                                                                                                               |           |                                                                                                                   |           |                   |  |             |  |                                                                                                                                                                                                                                                                                                                                                                                                                                                                                                                                                                   |                                |  |                                        |  |                                                                                                   |             |                                                                                                                     |           |                              |
|  ResProtectEn<br>0x2655   9813                                                                                                                                                                                                                                                                                                                                                                                                                                                                                                                                                                                                                                                                                                                                                                                                                                                                                                                                                                                                                                                                                                                                                                                                                                                                                                                                                           | Disable >                          |  |                                        |  |                                                                                                                     |           |                                                                                                                     |           |                                                                                                                     |           |                                                                                                                     |           |                                                                                                                   |          |                                                                                                                   |          |                                                                                                                         |           |                   |  |             |  |                                                                                                                                                                                                                                                                                                                                                                                                                                                                                                                                                                                                                                                                                                                                                                                                                                                                                                                                                                                                                                                                                                                                                                                                                                                                                                                                                                                                                                                                                                                                                                                                                               |                                |  |                                        |  |                                                                                                                     |           |                                                                                                                     |          |                                                                                                                     |           |                                                                                                                         |          |                                                                                                                   |           |                                                                                                                  |           |                                                                                                                            |           |                                                                                                                      |          |                   |  |                                                                                                                                                                                                                                                                                                                                                                                                                                                                                                                                                                                                                                                                                                                                                                                                                                                                                                                                                                                                                                                                                                                                                                                                                                                                                                                                                                                                                                                                                                                                                                                                                                                                       |                                |                                                                                                                                                                                                                                                                                                                                                                                                                                                                                                                                                                                                                                                                                                                                                                                                                                                                                                                                                                                                                                                                                                                                                                                                                                                                                                                                                                                                                                                                                                                                                                                                                                          |                                        |  |                                                                                                 |          |                                                                                                                    |                                    |                                                                                                                     |           |                                                                                                                       |           |                                                                                                                       |                                  |                                                                                                                        |           |                                                                                                                           |           |                                                                                                                    |           |                                                                                                                     |           |                   |  |                                                                                                                                                                                                                                                                                                                                                                                                                                                                                                                                                                                                                                                                                                                                                                                                                                                                                                                                                                                                                                                                                                                                                                                                                                                                                                                                                                                                                                                                                                                                                                                                                        |                                |                                                                                                                                                                                                                                                                                                                                                                                                                                                                                                                                                                                                                                                                                                                                                                                                                                                                                                                                                                                                                                                                                                                                                                                                                                                                                                                                                                                                                                                                                                                                                                                                                                                              |                                        |  |                                                                                                   |          |                                                                                                                     |           |                                                                                                                           |           |                                                                                                                     |           |                                                                                                                      |           |                                                                                                                       |           |                                                                                                                       |           |                                                                                                                     |           |                                                                                                                 |           |                   |  |             |  |                                                                                                                                                                                                                                                                                                                                                                                                                                                                                                                                                                                                                                                                                                                                                                                                                                                                                                                                                                                                                                                                                                                                                                                                                                                                                                                                                                                                                                                                                                                                                                                                                            |                                |  |                                        |  |                                                                                                   |             |                                                                                                                     |           |                                                                                                                     |           |                                                                                                                     |           |                                                                                                                     |           |                                                                                                                   |           |                                                                                                               |           |                                                                                                                   |           |                   |  |             |  |                                                                                                                                                                                                                                                                                                                                                                                                                                                                                                                                                                                                                                                                                                                                                                                                                                                                                                                                                                                                                                                                                                                                                                                                                                                                                                                                                                                                                                                                                                                                                                                                                            |                                |  |                                        |  |                                                                                                   |             |                                                                                                                     |           |                                                                                                                     |           |                                                                                                                     |           |                                                                                                                     |           |                                                                                                                   |           |                                                                                                               |           |                                                                                                                   |           |                   |  |             |  |                                                                                                                                                                                                                                                                                                                                                                                                                                                                                                                                                                                                                                                                                                                                                                                                                                                                                                                                                                                                                                                                                                                                                                                                                                                                                                                                                                                                                                                                                                                                                                                                                            |                                |  |                                        |  |                                                                                                   |             |                                                                                                                     |           |                                                                                                                     |           |                                                                                                                     |           |                                                                                                                     |           |                                                                                                                   |           |                                                                                                               |           |                                                                                                                   |           |                   |  |             |  |                                                                                                                                                                                                                                                                                                                                                                                                                                                                                                                                                                                                                                                                                                                                                                                                                                                                                                                                                                                                                                                                                                                                                                                                                                                                                                                                                                                                                                                                                                                                                                                                                            |                                |  |                                        |  |                                                                                                   |             |                                                                                                                     |           |                                                                                                                     |           |                                                                                                                     |           |                                                                                                                     |           |                                                                                                                   |           |                                                                                                               |           |                                                                                                                   |           |                   |  |             |  |                                                                                                                                                                                                                                                                                                                                                                                                                                                                                                                                                                                                                                                                                                                                                                                                                                                                                                                                                                                                                                                                                                                                                                                                                                                                                                                                                                                                                                                                                                                                                                                                                            |                                |  |                                        |  |                                                                                                   |             |                                                                                                                     |           |                                                                                                                     |           |                                                                                                                     |           |                                                                                                                     |           |                                                                                                                   |           |                                                                                                               |           |                                                                                                                   |           |                   |  |             |  |                                                                                                                                                                                                                                                                                                                                                                                                                                                                                                                                                                   |                                |  |                                        |  |                                                                                                   |             |                                                                                                                     |           |                              |
|  PF = 0,4<br>0x2659   9817                                                                                                                                                                                                                                                                                                                                                                                                                                                                                                                                                                                                                                                                                                                                                                                                                                                                                                                                                                                                                                                                                                                                                                                                                                                                                                                                                               | Disable >                          |  |                                        |  |                                                                                                                     |           |                                                                                                                     |           |                                                                                                                     |           |                                                                                                                     |           |                                                                                                                   |          |                                                                                                                   |          |                                                                                                                         |           |                   |  |             |  |                                                                                                                                                                                                                                                                                                                                                                                                                                                                                                                                                                                                                                                                                                                                                                                                                                                                                                                                                                                                                                                                                                                                                                                                                                                                                                                                                                                                                                                                                                                                                                                                                               |                                |  |                                        |  |                                                                                                                     |           |                                                                                                                     |          |                                                                                                                     |           |                                                                                                                         |          |                                                                                                                   |           |                                                                                                                  |           |                                                                                                                            |           |                                                                                                                      |          |                   |  |                                                                                                                                                                                                                                                                                                                                                                                                                                                                                                                                                                                                                                                                                                                                                                                                                                                                                                                                                                                                                                                                                                                                                                                                                                                                                                                                                                                                                                                                                                                                                                                                                                                                       |                                |                                                                                                                                                                                                                                                                                                                                                                                                                                                                                                                                                                                                                                                                                                                                                                                                                                                                                                                                                                                                                                                                                                                                                                                                                                                                                                                                                                                                                                                                                                                                                                                                                                          |                                        |  |                                                                                                 |          |                                                                                                                    |                                    |                                                                                                                     |           |                                                                                                                       |           |                                                                                                                       |                                  |                                                                                                                        |           |                                                                                                                           |           |                                                                                                                    |           |                                                                                                                     |           |                   |  |                                                                                                                                                                                                                                                                                                                                                                                                                                                                                                                                                                                                                                                                                                                                                                                                                                                                                                                                                                                                                                                                                                                                                                                                                                                                                                                                                                                                                                                                                                                                                                                                                        |                                |                                                                                                                                                                                                                                                                                                                                                                                                                                                                                                                                                                                                                                                                                                                                                                                                                                                                                                                                                                                                                                                                                                                                                                                                                                                                                                                                                                                                                                                                                                                                                                                                                                                              |                                        |  |                                                                                                   |          |                                                                                                                     |           |                                                                                                                           |           |                                                                                                                     |           |                                                                                                                      |           |                                                                                                                       |           |                                                                                                                       |           |                                                                                                                     |           |                                                                                                                 |           |                   |  |             |  |                                                                                                                                                                                                                                                                                                                                                                                                                                                                                                                                                                                                                                                                                                                                                                                                                                                                                                                                                                                                                                                                                                                                                                                                                                                                                                                                                                                                                                                                                                                                                                                                                            |                                |  |                                        |  |                                                                                                   |             |                                                                                                                     |           |                                                                                                                     |           |                                                                                                                     |           |                                                                                                                     |           |                                                                                                                   |           |                                                                                                               |           |                                                                                                                   |           |                   |  |             |  |                                                                                                                                                                                                                                                                                                                                                                                                                                                                                                                                                                                                                                                                                                                                                                                                                                                                                                                                                                                                                                                                                                                                                                                                                                                                                                                                                                                                                                                                                                                                                                                                                            |                                |  |                                        |  |                                                                                                   |             |                                                                                                                     |           |                                                                                                                     |           |                                                                                                                     |           |                                                                                                                     |           |                                                                                                                   |           |                                                                                                               |           |                                                                                                                   |           |                   |  |             |  |                                                                                                                                                                                                                                                                                                                                                                                                                                                                                                                                                                                                                                                                                                                                                                                                                                                                                                                                                                                                                                                                                                                                                                                                                                                                                                                                                                                                                                                                                                                                                                                                                            |                                |  |                                        |  |                                                                                                   |             |                                                                                                                     |           |                                                                                                                     |           |                                                                                                                     |           |                                                                                                                     |           |                                                                                                                   |           |                                                                                                               |           |                                                                                                                   |           |                   |  |             |  |                                                                                                                                                                                                                                                                                                                                                                                                                                                                                                                                                                                                                                                                                                                                                                                                                                                                                                                                                                                                                                                                                                                                                                                                                                                                                                                                                                                                                                                                                                                                                                                                                            |                                |  |                                        |  |                                                                                                   |             |                                                                                                                     |           |                                                                                                                     |           |                                                                                                                     |           |                                                                                                                     |           |                                                                                                                   |           |                                                                                                               |           |                                                                                                                   |           |                   |  |             |  |                                                                                                                                                                                                                                                                                                                                                                                                                                                                                                                                                                                                                                                                                                                                                                                                                                                                                                                                                                                                                                                                                                                                                                                                                                                                                                                                                                                                                                                                                                                                                                                                                            |                                |  |                                        |  |                                                                                                   |             |                                                                                                                     |           |                                                                                                                     |           |                                                                                                                     |           |                                                                                                                     |           |                                                                                                                   |           |                                                                                                               |           |                                                                                                                   |           |                   |  |             |  |                                                                                                                                                                                                                                                                                                                                                                                                                                                                                                                                                                   |                                |  |                                        |  |                                                                                                   |             |                                                                                                                     |           |                              |
|  AntiRefluxEn<br>0x265F   9823                                                                                                                                                                                                                                                                                                                                                                                                                                                                                                                                                                                                                                                                                                                                                                                                                                                                                                                                                                                                                                                                                                                                                                                                                                                                                                                                                           | Disable >                          |  |                                        |  |                                                                                                                     |           |                                                                                                                     |           |                                                                                                                     |           |                                                                                                                     |           |                                                                                                                   |          |                                                                                                                   |          |                                                                                                                         |           |                   |  |             |  |                                                                                                                                                                                                                                                                                                                                                                                                                                                                                                                                                                                                                                                                                                                                                                                                                                                                                                                                                                                                                                                                                                                                                                                                                                                                                                                                                                                                                                                                                                                                                                                                                               |                                |  |                                        |  |                                                                                                                     |           |                                                                                                                     |          |                                                                                                                     |           |                                                                                                                         |          |                                                                                                                   |           |                                                                                                                  |           |                                                                                                                            |           |                                                                                                                      |          |                   |  |                                                                                                                                                                                                                                                                                                                                                                                                                                                                                                                                                                                                                                                                                                                                                                                                                                                                                                                                                                                                                                                                                                                                                                                                                                                                                                                                                                                                                                                                                                                                                                                                                                                                       |                                |                                                                                                                                                                                                                                                                                                                                                                                                                                                                                                                                                                                                                                                                                                                                                                                                                                                                                                                                                                                                                                                                                                                                                                                                                                                                                                                                                                                                                                                                                                                                                                                                                                          |                                        |  |                                                                                                 |          |                                                                                                                    |                                    |                                                                                                                     |           |                                                                                                                       |           |                                                                                                                       |                                  |                                                                                                                        |           |                                                                                                                           |           |                                                                                                                    |           |                                                                                                                     |           |                   |  |                                                                                                                                                                                                                                                                                                                                                                                                                                                                                                                                                                                                                                                                                                                                                                                                                                                                                                                                                                                                                                                                                                                                                                                                                                                                                                                                                                                                                                                                                                                                                                                                                        |                                |                                                                                                                                                                                                                                                                                                                                                                                                                                                                                                                                                                                                                                                                                                                                                                                                                                                                                                                                                                                                                                                                                                                                                                                                                                                                                                                                                                                                                                                                                                                                                                                                                                                              |                                        |  |                                                                                                   |          |                                                                                                                     |           |                                                                                                                           |           |                                                                                                                     |           |                                                                                                                      |           |                                                                                                                       |           |                                                                                                                       |           |                                                                                                                     |           |                                                                                                                 |           |                   |  |             |  |                                                                                                                                                                                                                                                                                                                                                                                                                                                                                                                                                                                                                                                                                                                                                                                                                                                                                                                                                                                                                                                                                                                                                                                                                                                                                                                                                                                                                                                                                                                                                                                                                            |                                |  |                                        |  |                                                                                                   |             |                                                                                                                     |           |                                                                                                                     |           |                                                                                                                     |           |                                                                                                                     |           |                                                                                                                   |           |                                                                                                               |           |                                                                                                                   |           |                   |  |             |  |                                                                                                                                                                                                                                                                                                                                                                                                                                                                                                                                                                                                                                                                                                                                                                                                                                                                                                                                                                                                                                                                                                                                                                                                                                                                                                                                                                                                                                                                                                                                                                                                                            |                                |  |                                        |  |                                                                                                   |             |                                                                                                                     |           |                                                                                                                     |           |                                                                                                                     |           |                                                                                                                     |           |                                                                                                                   |           |                                                                                                               |           |                                                                                                                   |           |                   |  |             |  |                                                                                                                                                                                                                                                                                                                                                                                                                                                                                                                                                                                                                                                                                                                                                                                                                                                                                                                                                                                                                                                                                                                                                                                                                                                                                                                                                                                                                                                                                                                                                                                                                            |                                |  |                                        |  |                                                                                                   |             |                                                                                                                     |           |                                                                                                                     |           |                                                                                                                     |           |                                                                                                                     |           |                                                                                                                   |           |                                                                                                               |           |                                                                                                                   |           |                   |  |             |  |                                                                                                                                                                                                                                                                                                                                                                                                                                                                                                                                                                                                                                                                                                                                                                                                                                                                                                                                                                                                                                                                                                                                                                                                                                                                                                                                                                                                                                                                                                                                                                                                                            |                                |  |                                        |  |                                                                                                   |             |                                                                                                                     |           |                                                                                                                     |           |                                                                                                                     |           |                                                                                                                     |           |                                                                                                                   |           |                                                                                                               |           |                                                                                                                   |           |                   |  |             |  |                                                                                                                                                                                                                                                                                                                                                                                                                                                                                                                                                                                                                                                                                                                                                                                                                                                                                                                                                                                                                                                                                                                                                                                                                                                                                                                                                                                                                                                                                                                                                                                                                            |                                |  |                                        |  |                                                                                                   |             |                                                                                                                     |           |                                                                                                                     |           |                                                                                                                     |           |                                                                                                                     |           |                                                                                                                   |           |                                                                                                               |           |                                                                                                                   |           |                   |  |             |  |                                                                                                                                                                                                                                                                                                                                                                                                                                                                                                                                                                   |                                |  |                                        |  |                                                                                                   |             |                                                                                                                     |           |                              |
| ResProtectCapCurr                                                                                                                                                                                                                                                                                                                                                                                                                                                                                                                                                                                                                                                                                                                                                                                                                                                                                                                                                                                                                                                                                                                                                                                                                                                                                                                                                                                                                                                           |                                    |  |                                        |  |                                                                                                                     |           |                                                                                                                     |           |                                                                                                                     |           |                                                                                                                     |           |                                                                                                                   |          |                                                                                                                   |          |                                                                                                                         |           |                   |  |             |  |                                                                                                                                                                                                                                                                                                                                                                                                                                                                                                                                                                                                                                                                                                                                                                                                                                                                                                                                                                                                                                                                                                                                                                                                                                                                                                                                                                                                                                                                                                                                                                                                                               |                                |  |                                        |  |                                                                                                                     |           |                                                                                                                     |          |                                                                                                                     |           |                                                                                                                         |          |                                                                                                                   |           |                                                                                                                  |           |                                                                                                                            |           |                                                                                                                      |          |                   |  |                                                                                                                                                                                                                                                                                                                                                                                                                                                                                                                                                                                                                                                                                                                                                                                                                                                                                                                                                                                                                                                                                                                                                                                                                                                                                                                                                                                                                                                                                                                                                                                                                                                                       |                                |                                                                                                                                                                                                                                                                                                                                                                                                                                                                                                                                                                                                                                                                                                                                                                                                                                                                                                                                                                                                                                                                                                                                                                                                                                                                                                                                                                                                                                                                                                                                                                                                                                          |                                        |  |                                                                                                 |          |                                                                                                                    |                                    |                                                                                                                     |           |                                                                                                                       |           |                                                                                                                       |                                  |                                                                                                                        |           |                                                                                                                           |           |                                                                                                                    |           |                                                                                                                     |           |                   |  |                                                                                                                                                                                                                                                                                                                                                                                                                                                                                                                                                                                                                                                                                                                                                                                                                                                                                                                                                                                                                                                                                                                                                                                                                                                                                                                                                                                                                                                                                                                                                                                                                        |                                |                                                                                                                                                                                                                                                                                                                                                                                                                                                                                                                                                                                                                                                                                                                                                                                                                                                                                                                                                                                                                                                                                                                                                                                                                                                                                                                                                                                                                                                                                                                                                                                                                                                              |                                        |  |                                                                                                   |          |                                                                                                                     |           |                                                                                                                           |           |                                                                                                                     |           |                                                                                                                      |           |                                                                                                                       |           |                                                                                                                       |           |                                                                                                                     |           |                                                                                                                 |           |                   |  |             |  |                                                                                                                                                                                                                                                                                                                                                                                                                                                                                                                                                                                                                                                                                                                                                                                                                                                                                                                                                                                                                                                                                                                                                                                                                                                                                                                                                                                                                                                                                                                                                                                                                            |                                |  |                                        |  |                                                                                                   |             |                                                                                                                     |           |                                                                                                                     |           |                                                                                                                     |           |                                                                                                                     |           |                                                                                                                   |           |                                                                                                               |           |                                                                                                                   |           |                   |  |             |  |                                                                                                                                                                                                                                                                                                                                                                                                                                                                                                                                                                                                                                                                                                                                                                                                                                                                                                                                                                                                                                                                                                                                                                                                                                                                                                                                                                                                                                                                                                                                                                                                                            |                                |  |                                        |  |                                                                                                   |             |                                                                                                                     |           |                                                                                                                     |           |                                                                                                                     |           |                                                                                                                     |           |                                                                                                                   |           |                                                                                                               |           |                                                                                                                   |           |                   |  |             |  |                                                                                                                                                                                                                                                                                                                                                                                                                                                                                                                                                                                                                                                                                                                                                                                                                                                                                                                                                                                                                                                                                                                                                                                                                                                                                                                                                                                                                                                                                                                                                                                                                            |                                |  |                                        |  |                                                                                                   |             |                                                                                                                     |           |                                                                                                                     |           |                                                                                                                     |           |                                                                                                                     |           |                                                                                                                   |           |                                                                                                               |           |                                                                                                                   |           |                   |  |             |  |                                                                                                                                                                                                                                                                                                                                                                                                                                                                                                                                                                                                                                                                                                                                                                                                                                                                                                                                                                                                                                                                                                                                                                                                                                                                                                                                                                                                                                                                                                                                                                                                                            |                                |  |                                        |  |                                                                                                   |             |                                                                                                                     |           |                                                                                                                     |           |                                                                                                                     |           |                                                                                                                     |           |                                                                                                                   |           |                                                                                                               |           |                                                                                                                   |           |                   |  |             |  |                                                                                                                                                                                                                                                                                                                                                                                                                                                                                                                                                                                                                                                                                                                                                                                                                                                                                                                                                                                                                                                                                                                                                                                                                                                                                                                                                                                                                                                                                                                                                                                                                            |                                |  |                                        |  |                                                                                                   |             |                                                                                                                     |           |                                                                                                                     |           |                                                                                                                     |           |                                                                                                                     |           |                                                                                                                   |           |                                                                                                               |           |                                                                                                                   |           |                   |  |             |  |                                                                                                                                                                                                                                                                                                                                                                                                                                                                                                                                                                   |                                |  |                                        |  |                                                                                                   |             |                                                                                                                     |           |                              |
| <b>Read</b>                                                                                                                                                                                                                                                                                                                                                                                                                                                                                                                                                                                                                                                                                                                                                                                                                                                                                                                                                                                                                                                                                                                                                                                                                                                                                                                                                                                                                                                                 |                                    |  |                                        |  |                                                                                                                     |           |                                                                                                                     |           |                                                                                                                     |           |                                                                                                                     |           |                                                                                                                   |          |                                                                                                                   |          |                                                                                                                         |           |                   |  |             |  |                                                                                                                                                                                                                                                                                                                                                                                                                                                                                                                                                                                                                                                                                                                                                                                                                                                                                                                                                                                                                                                                                                                                                                                                                                                                                                                                                                                                                                                                                                                                                                                                                               |                                |  |                                        |  |                                                                                                                     |           |                                                                                                                     |          |                                                                                                                     |           |                                                                                                                         |          |                                                                                                                   |           |                                                                                                                  |           |                                                                                                                            |           |                                                                                                                      |          |                   |  |                                                                                                                                                                                                                                                                                                                                                                                                                                                                                                                                                                                                                                                                                                                                                                                                                                                                                                                                                                                                                                                                                                                                                                                                                                                                                                                                                                                                                                                                                                                                                                                                                                                                       |                                |                                                                                                                                                                                                                                                                                                                                                                                                                                                                                                                                                                                                                                                                                                                                                                                                                                                                                                                                                                                                                                                                                                                                                                                                                                                                                                                                                                                                                                                                                                                                                                                                                                          |                                        |  |                                                                                                 |          |                                                                                                                    |                                    |                                                                                                                     |           |                                                                                                                       |           |                                                                                                                       |                                  |                                                                                                                        |           |                                                                                                                           |           |                                                                                                                    |           |                                                                                                                     |           |                   |  |                                                                                                                                                                                                                                                                                                                                                                                                                                                                                                                                                                                                                                                                                                                                                                                                                                                                                                                                                                                                                                                                                                                                                                                                                                                                                                                                                                                                                                                                                                                                                                                                                        |                                |                                                                                                                                                                                                                                                                                                                                                                                                                                                                                                                                                                                                                                                                                                                                                                                                                                                                                                                                                                                                                                                                                                                                                                                                                                                                                                                                                                                                                                                                                                                                                                                                                                                              |                                        |  |                                                                                                   |          |                                                                                                                     |           |                                                                                                                           |           |                                                                                                                     |           |                                                                                                                      |           |                                                                                                                       |           |                                                                                                                       |           |                                                                                                                     |           |                                                                                                                 |           |                   |  |             |  |                                                                                                                                                                                                                                                                                                                                                                                                                                                                                                                                                                                                                                                                                                                                                                                                                                                                                                                                                                                                                                                                                                                                                                                                                                                                                                                                                                                                                                                                                                                                                                                                                            |                                |  |                                        |  |                                                                                                   |             |                                                                                                                     |           |                                                                                                                     |           |                                                                                                                     |           |                                                                                                                     |           |                                                                                                                   |           |                                                                                                               |           |                                                                                                                   |           |                   |  |             |  |                                                                                                                                                                                                                                                                                                                                                                                                                                                                                                                                                                                                                                                                                                                                                                                                                                                                                                                                                                                                                                                                                                                                                                                                                                                                                                                                                                                                                                                                                                                                                                                                                            |                                |  |                                        |  |                                                                                                   |             |                                                                                                                     |           |                                                                                                                     |           |                                                                                                                     |           |                                                                                                                     |           |                                                                                                                   |           |                                                                                                               |           |                                                                                                                   |           |                   |  |             |  |                                                                                                                                                                                                                                                                                                                                                                                                                                                                                                                                                                                                                                                                                                                                                                                                                                                                                                                                                                                                                                                                                                                                                                                                                                                                                                                                                                                                                                                                                                                                                                                                                            |                                |  |                                        |  |                                                                                                   |             |                                                                                                                     |           |                                                                                                                     |           |                                                                                                                     |           |                                                                                                                     |           |                                                                                                                   |           |                                                                                                               |           |                                                                                                                   |           |                   |  |             |  |                                                                                                                                                                                                                                                                                                                                                                                                                                                                                                                                                                                                                                                                                                                                                                                                                                                                                                                                                                                                                                                                                                                                                                                                                                                                                                                                                                                                                                                                                                                                                                                                                            |                                |  |                                        |  |                                                                                                   |             |                                                                                                                     |           |                                                                                                                     |           |                                                                                                                     |           |                                                                                                                     |           |                                                                                                                   |           |                                                                                                               |           |                                                                                                                   |           |                   |  |             |  |                                                                                                                                                                                                                                                                                                                                                                                                                                                                                                                                                                                                                                                                                                                                                                                                                                                                                                                                                                                                                                                                                                                                                                                                                                                                                                                                                                                                                                                                                                                                                                                                                            |                                |  |                                        |  |                                                                                                   |             |                                                                                                                     |           |                                                                                                                     |           |                                                                                                                     |           |                                                                                                                     |           |                                                                                                                   |           |                                                                                                               |           |                                                                                                                   |           |                   |  |             |  |                                                                                                                                                                                                                                                                                                                                                                                                                                                                                                                                                                   |                                |  |                                        |  |                                                                                                   |             |                                                                                                                     |           |                              |
| Enable/disable control Para...                                                                                                                                                                                                                                                                                                                                                                                                                                                                                                                                                                                                                                                                                                                                                                                                                                                                                                                                                                                                                                                                                                                                                                                                                                                                                                                                                                                                                                              |                                    |  |                                        |  |                                                                                                                     |           |                                                                                                                     |           |                                                                                                                     |           |                                                                                                                     |           |                                                                                                                   |          |                                                                                                                   |          |                                                                                                                         |           |                   |  |             |  |                                                                                                                                                                                                                                                                                                                                                                                                                                                                                                                                                                                                                                                                                                                                                                                                                                                                                                                                                                                                                                                                                                                                                                                                                                                                                                                                                                                                                                                                                                                                                                                                                               |                                |  |                                        |  |                                                                                                                     |           |                                                                                                                     |          |                                                                                                                     |           |                                                                                                                         |          |                                                                                                                   |           |                                                                                                                  |           |                                                                                                                            |           |                                                                                                                      |          |                   |  |                                                                                                                                                                                                                                                                                                                                                                                                                                                                                                                                                                                                                                                                                                                                                                                                                                                                                                                                                                                                                                                                                                                                                                                                                                                                                                                                                                                                                                                                                                                                                                                                                                                                       |                                |                                                                                                                                                                                                                                                                                                                                                                                                                                                                                                                                                                                                                                                                                                                                                                                                                                                                                                                                                                                                                                                                                                                                                                                                                                                                                                                                                                                                                                                                                                                                                                                                                                          |                                        |  |                                                                                                 |          |                                                                                                                    |                                    |                                                                                                                     |           |                                                                                                                       |           |                                                                                                                       |                                  |                                                                                                                        |           |                                                                                                                           |           |                                                                                                                    |           |                                                                                                                     |           |                   |  |                                                                                                                                                                                                                                                                                                                                                                                                                                                                                                                                                                                                                                                                                                                                                                                                                                                                                                                                                                                                                                                                                                                                                                                                                                                                                                                                                                                                                                                                                                                                                                                                                        |                                |                                                                                                                                                                                                                                                                                                                                                                                                                                                                                                                                                                                                                                                                                                                                                                                                                                                                                                                                                                                                                                                                                                                                                                                                                                                                                                                                                                                                                                                                                                                                                                                                                                                              |                                        |  |                                                                                                   |          |                                                                                                                     |           |                                                                                                                           |           |                                                                                                                     |           |                                                                                                                      |           |                                                                                                                       |           |                                                                                                                       |           |                                                                                                                     |           |                                                                                                                 |           |                   |  |             |  |                                                                                                                                                                                                                                                                                                                                                                                                                                                                                                                                                                                                                                                                                                                                                                                                                                                                                                                                                                                                                                                                                                                                                                                                                                                                                                                                                                                                                                                                                                                                                                                                                            |                                |  |                                        |  |                                                                                                   |             |                                                                                                                     |           |                                                                                                                     |           |                                                                                                                     |           |                                                                                                                     |           |                                                                                                                   |           |                                                                                                               |           |                                                                                                                   |           |                   |  |             |  |                                                                                                                                                                                                                                                                                                                                                                                                                                                                                                                                                                                                                                                                                                                                                                                                                                                                                                                                                                                                                                                                                                                                                                                                                                                                                                                                                                                                                                                                                                                                                                                                                            |                                |  |                                        |  |                                                                                                   |             |                                                                                                                     |           |                                                                                                                     |           |                                                                                                                     |           |                                                                                                                     |           |                                                                                                                   |           |                                                                                                               |           |                                                                                                                   |           |                   |  |             |  |                                                                                                                                                                                                                                                                                                                                                                                                                                                                                                                                                                                                                                                                                                                                                                                                                                                                                                                                                                                                                                                                                                                                                                                                                                                                                                                                                                                                                                                                                                                                                                                                                            |                                |  |                                        |  |                                                                                                   |             |                                                                                                                     |           |                                                                                                                     |           |                                                                                                                     |           |                                                                                                                     |           |                                                                                                                   |           |                                                                                                               |           |                                                                                                                   |           |                   |  |             |  |                                                                                                                                                                                                                                                                                                                                                                                                                                                                                                                                                                                                                                                                                                                                                                                                                                                                                                                                                                                                                                                                                                                                                                                                                                                                                                                                                                                                                                                                                                                                                                                                                            |                                |  |                                        |  |                                                                                                   |             |                                                                                                                     |           |                                                                                                                     |           |                                                                                                                     |           |                                                                                                                     |           |                                                                                                                   |           |                                                                                                               |           |                                                                                                                   |           |                   |  |             |  |                                                                                                                                                                                                                                                                                                                                                                                                                                                                                                                                                                                                                                                                                                                                                                                                                                                                                                                                                                                                                                                                                                                                                                                                                                                                                                                                                                                                                                                                                                                                                                                                                            |                                |  |                                        |  |                                                                                                   |             |                                                                                                                     |           |                                                                                                                     |           |                                                                                                                     |           |                                                                                                                     |           |                                                                                                                   |           |                                                                                                               |           |                                                                                                                   |           |                   |  |             |  |                                                                                                                                                                                                                                                                                                                                                                                                                                                                                                                                                                   |                                |  |                                        |  |                                                                                                   |             |                                                                                                                     |           |                              |
| Last Updated: 2/24/2025 15:55:34 +0800                                                                                                                                                                                                                                                                                                                                                                                                                                                                                                                                                                                                                                                                                                                                                                                                                                                                                                                                                                                                                                                                                                                                                                                                                                                                                                                                                                                                                                      |                                    |  |                                        |  |                                                                                                                     |           |                                                                                                                     |           |                                                                                                                     |           |                                                                                                                     |           |                                                                                                                   |          |                                                                                                                   |          |                                                                                                                         |           |                   |  |             |  |                                                                                                                                                                                                                                                                                                                                                                                                                                                                                                                                                                                                                                                                                                                                                                                                                                                                                                                                                                                                                                                                                                                                                                                                                                                                                                                                                                                                                                                                                                                                                                                                                               |                                |  |                                        |  |                                                                                                                     |           |                                                                                                                     |          |                                                                                                                     |           |                                                                                                                         |          |                                                                                                                   |           |                                                                                                                  |           |                                                                                                                            |           |                                                                                                                      |          |                   |  |                                                                                                                                                                                                                                                                                                                                                                                                                                                                                                                                                                                                                                                                                                                                                                                                                                                                                                                                                                                                                                                                                                                                                                                                                                                                                                                                                                                                                                                                                                                                                                                                                                                                       |                                |                                                                                                                                                                                                                                                                                                                                                                                                                                                                                                                                                                                                                                                                                                                                                                                                                                                                                                                                                                                                                                                                                                                                                                                                                                                                                                                                                                                                                                                                                                                                                                                                                                          |                                        |  |                                                                                                 |          |                                                                                                                    |                                    |                                                                                                                     |           |                                                                                                                       |           |                                                                                                                       |                                  |                                                                                                                        |           |                                                                                                                           |           |                                                                                                                    |           |                                                                                                                     |           |                   |  |                                                                                                                                                                                                                                                                                                                                                                                                                                                                                                                                                                                                                                                                                                                                                                                                                                                                                                                                                                                                                                                                                                                                                                                                                                                                                                                                                                                                                                                                                                                                                                                                                        |                                |                                                                                                                                                                                                                                                                                                                                                                                                                                                                                                                                                                                                                                                                                                                                                                                                                                                                                                                                                                                                                                                                                                                                                                                                                                                                                                                                                                                                                                                                                                                                                                                                                                                              |                                        |  |                                                                                                   |          |                                                                                                                     |           |                                                                                                                           |           |                                                                                                                     |           |                                                                                                                      |           |                                                                                                                       |           |                                                                                                                       |           |                                                                                                                     |           |                                                                                                                 |           |                   |  |             |  |                                                                                                                                                                                                                                                                                                                                                                                                                                                                                                                                                                                                                                                                                                                                                                                                                                                                                                                                                                                                                                                                                                                                                                                                                                                                                                                                                                                                                                                                                                                                                                                                                            |                                |  |                                        |  |                                                                                                   |             |                                                                                                                     |           |                                                                                                                     |           |                                                                                                                     |           |                                                                                                                     |           |                                                                                                                   |           |                                                                                                               |           |                                                                                                                   |           |                   |  |             |  |                                                                                                                                                                                                                                                                                                                                                                                                                                                                                                                                                                                                                                                                                                                                                                                                                                                                                                                                                                                                                                                                                                                                                                                                                                                                                                                                                                                                                                                                                                                                                                                                                            |                                |  |                                        |  |                                                                                                   |             |                                                                                                                     |           |                                                                                                                     |           |                                                                                                                     |           |                                                                                                                     |           |                                                                                                                   |           |                                                                                                               |           |                                                                                                                   |           |                   |  |             |  |                                                                                                                                                                                                                                                                                                                                                                                                                                                                                                                                                                                                                                                                                                                                                                                                                                                                                                                                                                                                                                                                                                                                                                                                                                                                                                                                                                                                                                                                                                                                                                                                                            |                                |  |                                        |  |                                                                                                   |             |                                                                                                                     |           |                                                                                                                     |           |                                                                                                                     |           |                                                                                                                     |           |                                                                                                                   |           |                                                                                                               |           |                                                                                                                   |           |                   |  |             |  |                                                                                                                                                                                                                                                                                                                                                                                                                                                                                                                                                                                                                                                                                                                                                                                                                                                                                                                                                                                                                                                                                                                                                                                                                                                                                                                                                                                                                                                                                                                                                                                                                            |                                |  |                                        |  |                                                                                                   |             |                                                                                                                     |           |                                                                                                                     |           |                                                                                                                     |           |                                                                                                                     |           |                                                                                                                   |           |                                                                                                               |           |                                                                                                                   |           |                   |  |             |  |                                                                                                                                                                                                                                                                                                                                                                                                                                                                                                                                                                                                                                                                                                                                                                                                                                                                                                                                                                                                                                                                                                                                                                                                                                                                                                                                                                                                                                                                                                                                                                                                                            |                                |  |                                        |  |                                                                                                   |             |                                                                                                                     |           |                                                                                                                     |           |                                                                                                                     |           |                                                                                                                     |           |                                                                                                                   |           |                                                                                                               |           |                                                                                                                   |           |                   |  |             |  |                                                                                                                                                                                                                                                                                                                                                                                                                                                                                                                                                                   |                                |  |                                        |  |                                                                                                   |             |                                                                                                                     |           |                              |
|  0x262C   9772                                                                                                                                                                                                                                                                                                                                                                                                                                                                                                                                                                                                                                                                                                                                                                                                                                                                                                                                                                                                                                                                                                                                                                                                                                                                                                                                                                           | Procedure >                        |  |                                        |  |                                                                                                                     |           |                                                                                                                     |           |                                                                                                                     |           |                                                                                                                     |           |                                                                                                                   |          |                                                                                                                   |          |                                                                                                                         |           |                   |  |             |  |                                                                                                                                                                                                                                                                                                                                                                                                                                                                                                                                                                                                                                                                                                                                                                                                                                                                                                                                                                                                                                                                                                                                                                                                                                                                                                                                                                                                                                                                                                                                                                                                                               |                                |  |                                        |  |                                                                                                                     |           |                                                                                                                     |          |                                                                                                                     |           |                                                                                                                         |          |                                                                                                                   |           |                                                                                                                  |           |                                                                                                                            |           |                                                                                                                      |          |                   |  |                                                                                                                                                                                                                                                                                                                                                                                                                                                                                                                                                                                                                                                                                                                                                                                                                                                                                                                                                                                                                                                                                                                                                                                                                                                                                                                                                                                                                                                                                                                                                                                                                                                                       |                                |                                                                                                                                                                                                                                                                                                                                                                                                                                                                                                                                                                                                                                                                                                                                                                                                                                                                                                                                                                                                                                                                                                                                                                                                                                                                                                                                                                                                                                                                                                                                                                                                                                          |                                        |  |                                                                                                 |          |                                                                                                                    |                                    |                                                                                                                     |           |                                                                                                                       |           |                                                                                                                       |                                  |                                                                                                                        |           |                                                                                                                           |           |                                                                                                                    |           |                                                                                                                     |           |                   |  |                                                                                                                                                                                                                                                                                                                                                                                                                                                                                                                                                                                                                                                                                                                                                                                                                                                                                                                                                                                                                                                                                                                                                                                                                                                                                                                                                                                                                                                                                                                                                                                                                        |                                |                                                                                                                                                                                                                                                                                                                                                                                                                                                                                                                                                                                                                                                                                                                                                                                                                                                                                                                                                                                                                                                                                                                                                                                                                                                                                                                                                                                                                                                                                                                                                                                                                                                              |                                        |  |                                                                                                   |          |                                                                                                                     |           |                                                                                                                           |           |                                                                                                                     |           |                                                                                                                      |           |                                                                                                                       |           |                                                                                                                       |           |                                                                                                                     |           |                                                                                                                 |           |                   |  |             |  |                                                                                                                                                                                                                                                                                                                                                                                                                                                                                                                                                                                                                                                                                                                                                                                                                                                                                                                                                                                                                                                                                                                                                                                                                                                                                                                                                                                                                                                                                                                                                                                                                            |                                |  |                                        |  |                                                                                                   |             |                                                                                                                     |           |                                                                                                                     |           |                                                                                                                     |           |                                                                                                                     |           |                                                                                                                   |           |                                                                                                               |           |                                                                                                                   |           |                   |  |             |  |                                                                                                                                                                                                                                                                                                                                                                                                                                                                                                                                                                                                                                                                                                                                                                                                                                                                                                                                                                                                                                                                                                                                                                                                                                                                                                                                                                                                                                                                                                                                                                                                                            |                                |  |                                        |  |                                                                                                   |             |                                                                                                                     |           |                                                                                                                     |           |                                                                                                                     |           |                                                                                                                     |           |                                                                                                                   |           |                                                                                                               |           |                                                                                                                   |           |                   |  |             |  |                                                                                                                                                                                                                                                                                                                                                                                                                                                                                                                                                                                                                                                                                                                                                                                                                                                                                                                                                                                                                                                                                                                                                                                                                                                                                                                                                                                                                                                                                                                                                                                                                            |                                |  |                                        |  |                                                                                                   |             |                                                                                                                     |           |                                                                                                                     |           |                                                                                                                     |           |                                                                                                                     |           |                                                                                                                   |           |                                                                                                               |           |                                                                                                                   |           |                   |  |             |  |                                                                                                                                                                                                                                                                                                                                                                                                                                                                                                                                                                                                                                                                                                                                                                                                                                                                                                                                                                                                                                                                                                                                                                                                                                                                                                                                                                                                                                                                                                                                                                                                                            |                                |  |                                        |  |                                                                                                   |             |                                                                                                                     |           |                                                                                                                     |           |                                                                                                                     |           |                                                                                                                     |           |                                                                                                                   |           |                                                                                                               |           |                                                                                                                   |           |                   |  |             |  |                                                                                                                                                                                                                                                                                                                                                                                                                                                                                                                                                                                                                                                                                                                                                                                                                                                                                                                                                                                                                                                                                                                                                                                                                                                                                                                                                                                                                                                                                                                                                                                                                            |                                |  |                                        |  |                                                                                                   |             |                                                                                                                     |           |                                                                                                                     |           |                                                                                                                     |           |                                                                                                                     |           |                                                                                                                   |           |                                                                                                               |           |                                                                                                                   |           |                   |  |             |  |                                                                                                                                                                                                                                                                                                                                                                                                                                                                                                                                                                   |                                |  |                                        |  |                                                                                                   |             |                                                                                                                     |           |                              |
|  PV1FuseCheckEn<br>0x262F   9775                                                                                                                                                                                                                                                                                                                                                                                                                                                                                                                                                                                                                                                                                                                                                                                                                                                                                                                                                                                                                                                                                                                                                                                                                                                                                                                                                         | Disable >                          |  |                                        |  |                                                                                                                     |           |                                                                                                                     |           |                                                                                                                     |           |                                                                                                                     |           |                                                                                                                   |          |                                                                                                                   |          |                                                                                                                         |           |                   |  |             |  |                                                                                                                                                                                                                                                                                                                                                                                                                                                                                                                                                                                                                                                                                                                                                                                                                                                                                                                                                                                                                                                                                                                                                                                                                                                                                                                                                                                                                                                                                                                                                                                                                               |                                |  |                                        |  |                                                                                                                     |           |                                                                                                                     |          |                                                                                                                     |           |                                                                                                                         |          |                                                                                                                   |           |                                                                                                                  |           |                                                                                                                            |           |                                                                                                                      |          |                   |  |                                                                                                                                                                                                                                                                                                                                                                                                                                                                                                                                                                                                                                                                                                                                                                                                                                                                                                                                                                                                                                                                                                                                                                                                                                                                                                                                                                                                                                                                                                                                                                                                                                                                       |                                |                                                                                                                                                                                                                                                                                                                                                                                                                                                                                                                                                                                                                                                                                                                                                                                                                                                                                                                                                                                                                                                                                                                                                                                                                                                                                                                                                                                                                                                                                                                                                                                                                                          |                                        |  |                                                                                                 |          |                                                                                                                    |                                    |                                                                                                                     |           |                                                                                                                       |           |                                                                                                                       |                                  |                                                                                                                        |           |                                                                                                                           |           |                                                                                                                    |           |                                                                                                                     |           |                   |  |                                                                                                                                                                                                                                                                                                                                                                                                                                                                                                                                                                                                                                                                                                                                                                                                                                                                                                                                                                                                                                                                                                                                                                                                                                                                                                                                                                                                                                                                                                                                                                                                                        |                                |                                                                                                                                                                                                                                                                                                                                                                                                                                                                                                                                                                                                                                                                                                                                                                                                                                                                                                                                                                                                                                                                                                                                                                                                                                                                                                                                                                                                                                                                                                                                                                                                                                                              |                                        |  |                                                                                                   |          |                                                                                                                     |           |                                                                                                                           |           |                                                                                                                     |           |                                                                                                                      |           |                                                                                                                       |           |                                                                                                                       |           |                                                                                                                     |           |                                                                                                                 |           |                   |  |             |  |                                                                                                                                                                                                                                                                                                                                                                                                                                                                                                                                                                                                                                                                                                                                                                                                                                                                                                                                                                                                                                                                                                                                                                                                                                                                                                                                                                                                                                                                                                                                                                                                                            |                                |  |                                        |  |                                                                                                   |             |                                                                                                                     |           |                                                                                                                     |           |                                                                                                                     |           |                                                                                                                     |           |                                                                                                                   |           |                                                                                                               |           |                                                                                                                   |           |                   |  |             |  |                                                                                                                                                                                                                                                                                                                                                                                                                                                                                                                                                                                                                                                                                                                                                                                                                                                                                                                                                                                                                                                                                                                                                                                                                                                                                                                                                                                                                                                                                                                                                                                                                            |                                |  |                                        |  |                                                                                                   |             |                                                                                                                     |           |                                                                                                                     |           |                                                                                                                     |           |                                                                                                                     |           |                                                                                                                   |           |                                                                                                               |           |                                                                                                                   |           |                   |  |             |  |                                                                                                                                                                                                                                                                                                                                                                                                                                                                                                                                                                                                                                                                                                                                                                                                                                                                                                                                                                                                                                                                                                                                                                                                                                                                                                                                                                                                                                                                                                                                                                                                                            |                                |  |                                        |  |                                                                                                   |             |                                                                                                                     |           |                                                                                                                     |           |                                                                                                                     |           |                                                                                                                     |           |                                                                                                                   |           |                                                                                                               |           |                                                                                                                   |           |                   |  |             |  |                                                                                                                                                                                                                                                                                                                                                                                                                                                                                                                                                                                                                                                                                                                                                                                                                                                                                                                                                                                                                                                                                                                                                                                                                                                                                                                                                                                                                                                                                                                                                                                                                            |                                |  |                                        |  |                                                                                                   |             |                                                                                                                     |           |                                                                                                                     |           |                                                                                                                     |           |                                                                                                                     |           |                                                                                                                   |           |                                                                                                               |           |                                                                                                                   |           |                   |  |             |  |                                                                                                                                                                                                                                                                                                                                                                                                                                                                                                                                                                                                                                                                                                                                                                                                                                                                                                                                                                                                                                                                                                                                                                                                                                                                                                                                                                                                                                                                                                                                                                                                                            |                                |  |                                        |  |                                                                                                   |             |                                                                                                                     |           |                                                                                                                     |           |                                                                                                                     |           |                                                                                                                     |           |                                                                                                                   |           |                                                                                                               |           |                                                                                                                   |           |                   |  |             |  |                                                                                                                                                                                                                                                                                                                                                                                                                                                                                                                                                                   |                                |  |                                        |  |                                                                                                   |             |                                                                                                                     |           |                              |
|  PowerOnOff<br>0x2700   9984        | Power on > |
|  ForceRestart<br>0x2701   9985      | >          |
|  FactoryDefaults<br>0x2702   9986   | >          |
|  AutoTest<br>0x2703   9987          | >          |
|  MPPTScan<br>0x2704   9988          | >          |
|  ARCDetect<br>0x2705   9989         | >          |
|  ARCClear<br>0x2706   9990          | >          |
|  PFSetValue Remote<br>0x2707   9991 | 0.000 >    |
| <b>Read</b>                                                                                                          |            |

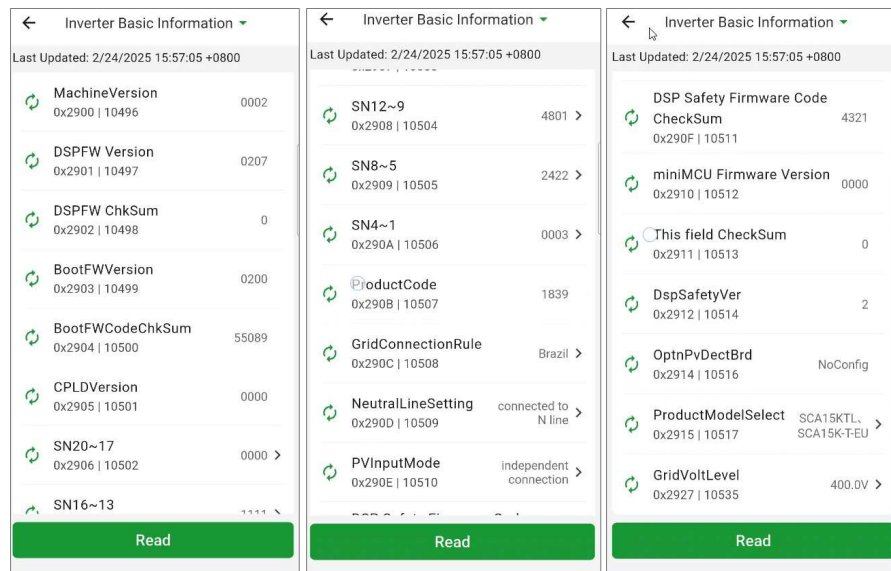
Control Command	
Last Updated: 2/24/2025 15:56:24 +0800	
 0x2709   9993	U.U% >
 ExterSignal(CEI) 0x270A   9994	>
 SelfSysModSele 0x2710   10000	>
 ArDetectState 0x2716   10006	1
 ExterContSign 0x8347   33607	1
 LocalCommSign 0x8348   33608	1
 TripValThr 0x8349   33609	0.0Secs
 TripTimeThr 0x834A   33610	0.0Secs
<b>Read</b>	

Control Command	
Last Updated: 2/24/2025 15:56:24 +0800	
 0x2706   9990	
 PFSetValue Remote 0x2707   9991	0.000 >
 PSetPercent Remote 0x2708   9992	0.0% >
 QSetPercent Remote 0x2709   9993	0.0% >
 ExterSignal(CEI) 0x270A   9994	>
 SelfSysModSele 0x2710   10000	>
 ArDetectState 0x2716   10006	1
 ExterContSign 0x8347   33607	1
<b>Read</b>	

Figura 6-28 Interface de comandos

### 6.3.2.4.9 Informações básicas do inverter

Na interface, você pode ver as informações básicas sobre o inverter, como tipo, número da versão DSP, número da série, código da rede, configuração da linha N, modo de conexão PV, etc.



The figure displays three separate screenshots of the 'Inverter Basic Information' interface, each showing a list of configuration parameters with their current values. Each screen has a 'Read' button at the bottom.

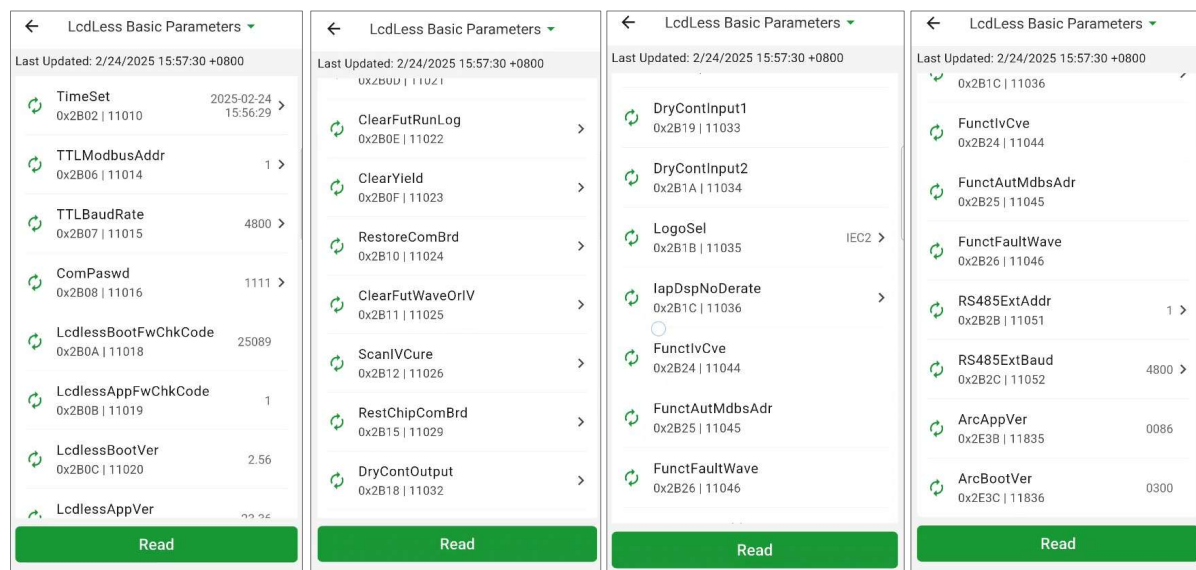
- Screen 1 (Left):**
  - MachineVersion: 0x2900 | 10496
  - DSPFW Version: 0x2901 | 10497
  - DSPFW ChkSum: 0x2902 | 10498
  - BootFWVersion: 0x2903 | 10499
  - BootFWCodeChkSum: 0x2904 | 10500
  - CPLDVersion: 0x2905 | 10501
  - SN20~17: 0x2906 | 10502
  - SN16~13: 0x2907 | 10503
- Screen 2 (Middle):**
  - SN12~9: 0x2908 | 10504
  - SN8~5: 0x2909 | 10505
  - SN4~1: 0x290A | 10506
  - ProductCode: 0x290B | 10507
  - GridConnectionRule: 0x290C | 10508
  - NeutralLineSetting: 0x290D | 10509
  - PVInputMode: 0x290E | 10510
- Screen 3 (Right):**
  - DSP Safety Firmware Code: 0x290F | 10511
  - miniIMCU Firmware Version: 0x2910 | 10512
  - This field CheckSum: 0x2911 | 10513
  - DspSafetyVer: 0x2912 | 10514
  - OptnPvDectBrd: 0x2914 | 10516
  - ProductModelSelect: 0x2915 | 10517
  - GridVoltLevel: 0x2927 | 10535

Figura 6-29 Interface de informações básicas do inverter

Se precisar de algum serviço pós-venda, também poderá encontrar informações úteis nesta interface de forma conveniente, obtendo assim uma gama completa de suporte e serviços pós-venda o mais rápido possível.

### 6.3.2.4.10 Parâmetros básicos do LcdLess

Na interface Parâmetros básicos do LcdLess, você pode encontrar algumas informações básicas relacionadas ao módulo LCD, como número da versão do LCD, endereço Modbus, taxa de transmissão, etc.



The figure displays four separate screenshots of the 'LcdLess Basic Parameters' interface, each showing a list of configuration parameters with their current values. Each screen has a 'Read' button at the bottom.

- Screen 1 (Left):**
  - TimeSet: 0x2B02 | 11010
  - TTLModbusAddr: 0x2B06 | 11014
  - TTLBaudRate: 0x2B07 | 11015
  - ComPaswd: 0x2B08 | 11016
  - LcdlessBootFwChkCode: 0x2B0A | 11018
  - LcdlessAppFwChkCode: 0x2B0B | 11019
  - LcdlessBootVer: 0x2B0C | 11020
  - LcdlessAppVer: 0x2B0D | 11021
- Screen 2 (Second Left):**
  - ClearFutRunLog: 0x2B0E | 11022
  - ClearYield: 0x2B0F | 11023
  - RestoreComBrd: 0x2B10 | 11024
  - ClearFutWaveOrIV: 0x2B11 | 11025
  - ScanIVCure: 0x2B12 | 11026
  - RestChipComBrd: 0x2B15 | 11029
  - DryContOutput: 0x2B18 | 11032
- Screen 3 (Second Right):**
  - DryContInput1: 0x2B19 | 11033
  - DryContInput2: 0x2B1A | 11034
  - LogoSel: 0x2B1B | 11035
  - IapDspNoDerate: 0x2B1C | 11036
  - FunctIVCve: 0x2B24 | 11044
  - FunctAutMdbsAdr: 0x2B25 | 11045
  - FunctFaultWave: 0x2B26 | 11046
- Screen 4 (Right):**
  - 0x2B1C | 11036
  - FunctIVCve: 0x2B24 | 11044
  - FunctAutMdbsAdr: 0x2B25 | 11045
  - RS485ExtAddr: 0x2B2B | 11051
  - RS485ExtBaud: 0x2B2C | 11052
  - ArcAppVer: 0x2E3B | 11835
  - ArcBootVer: 0x2E3C | 11836

Figura 6-30 Interface Parâmetros básicos do LcdLess

### 6.3.2.4.11 Zero Export (Anti-Refluxo)

A **Exportação Zero** fornece monitoramento e configuração em tempo real de parâmetros críticos do sistema, incluindo status de proteção anti-refluxo (**AntiRefluxEn**), configurações de comunicação do medidor (**MeterAddr**, **MeterType**), dados anti-refluxo (grade ABF, carga ABF).

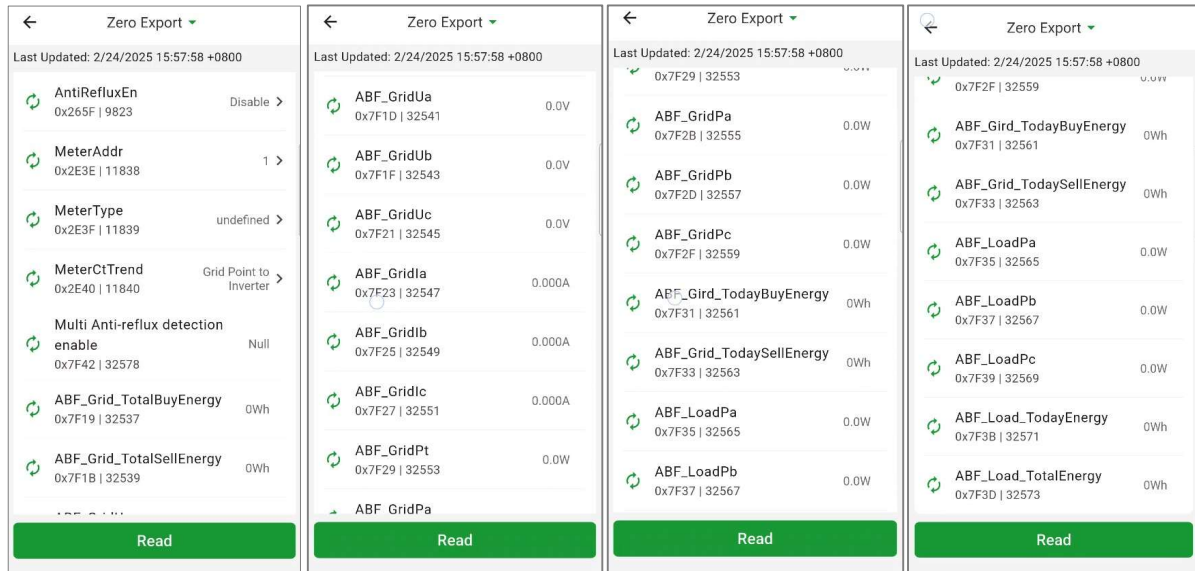


Figura 6-31 Zero Export

#### 6.2.4.11.1 Configuração dos parâmetros anti-refluxo no Chint Connect

Após concluir a instalação do sistema anti-refluxo conforme [4.5 Anti-refluxo para inversor único](#), as seguintes configurações devem ser definidas no aplicativo Chint Connect.

1. Navegue até **Config > Zero Export**, clique no botão **AntiRefluxEn** e selecione **Single Anti-refluxEn**.

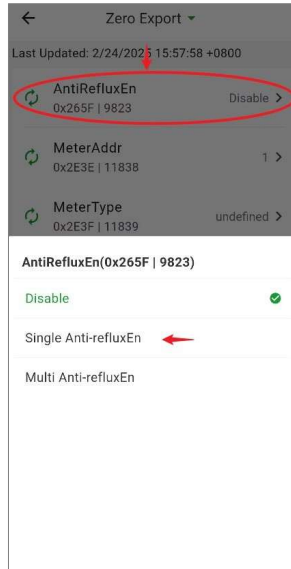


Figura 6-32 Ativar antirretorno

2. Selecione o tipo de medidor: navegue até **Config > Zero Export**, defina o parâmetro **MeterType** como **DTSU666**.

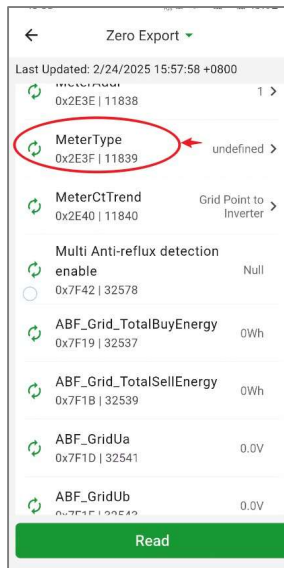


Figura 6-33 Configurar o tipo de medidor

3. Desative a função anti-refluxo: navegue até **Config > Zero Export**, clique no botão **AntiRefluxEn** e selecione **Desativar**.
4. Após desativar a função anti-refluxo, o valor de despacho de energia ativa deve ser definido para atingir a potência total do inversor: navegue até **Config > Power Dispatch** (Configuração > Despacho de energia) e defina o parâmetro **PSet** para **100,0**.

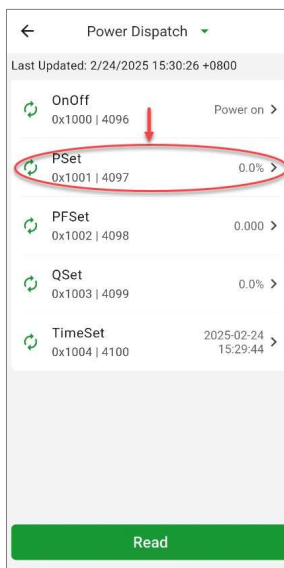


Figura 6-34 Redefinir o valor de PSet

### 6.3.3. Atualização do firmware

Para obter os procedimentos detalhados para a atualização do firmware, consulte as instruções específicas ou entre em contato com nossa equipe de suporte pós-venda.

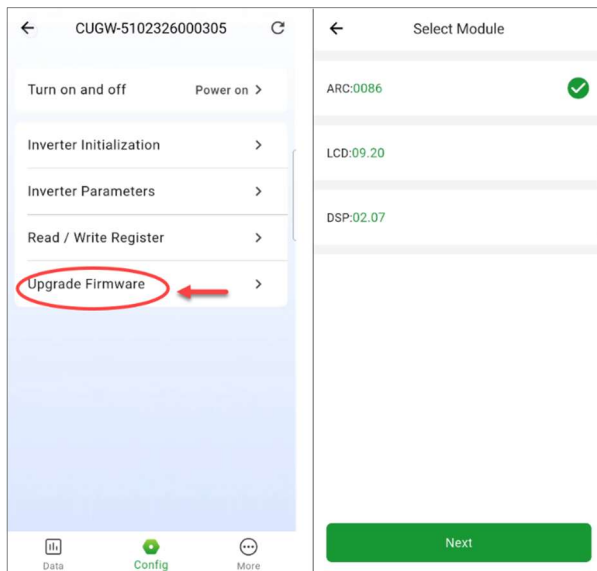


Figura 6-35 Atualização do firmware

## 6.4. Menu Mais

O menu Mais inclui as seguintes opções:

- Alarme atual: visualize alertas ou problemas ativos em tempo real.
- Alarme histórico: Veja o alarme histórico e o status de funcionamento.
- Gráfico integrado ao dispositivo: explore dados visuais da situação da geração de energia em diferentes períodos.

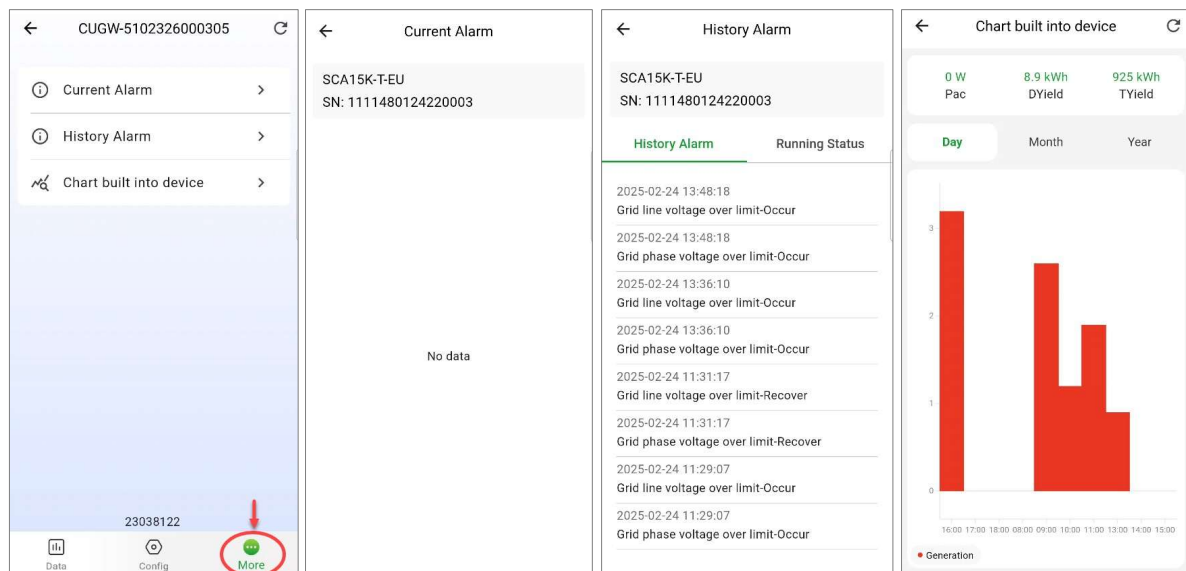


Figura 6-36 Mais interface

## 7. Manutenção e substituição

### ATENÇÃO!



- Antes de iniciar qualquer manutenção do produto, o inversor deve ser desligado, o disjuntor CA conectado à rede e a entrada fotovoltaica no lado CC devem ser totalmente desconectada. Em seguida, aguarde pelo menos 10 minutos antes de iniciar qualquer operação.
- Estas instruções de manutenção destinam-se apenas a pessoal qualificado.
- Para reduzir o risco de choque elétrico, não realize outras operações de manutenção além das especificadas nas instruções de operação, a menos que você seja qualificado para fazê-lo.

### 7.1. Verifique as conexões elétricas

- Verifique todas as conexões dos cabos como parte da manutenção regular a cada 6 meses ou uma vez por ano.
- Verifique as conexões dos cabos. Se estiverem soltos, aperte todos os cabos de acordo com a seção 5.3 Conexão do cabo elétrico.
- Verifique se há danos nos cabos, especialmente se a superfície do cabo está arranhada ou lisa. Repare ou substitua os cabos, se necessário.

### 7.2. Limpe as entradas e saídas de ar

O inversor produz muito calor durante o funcionamento e utiliza um método de refrigeração forçada a ar para garantir o seu funcionamento normal. Para garantir uma boa dissipação do calor do inversor, é necessário verificar regularmente as suas entradas e saídas de ar para se certificar de que não estão muito sujas. Se necessário, utilize uma escova macia ou um aspirador para limpar as entradas e saídas de ar do inversor.

### 7.3. Substitua os ventiladores

Se as entradas e saídas de ar estiverem normais, mas a temperatura do inversor estiver muito alta ou o ruído for anormal, os ventiladores precisam ser substituídos de acordo com as etapas a seguir.

1. Remova os seis parafusos do suporte do ventilador com uma chave Phillips nº 2.

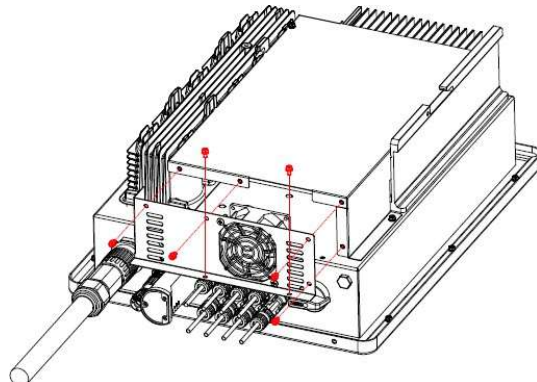


Figura 7-1 Remova os parafusos de fixação do suporte do ventilador

2. Desconecte o conector do cabo à prova d'água do ventilador de resfriamento.

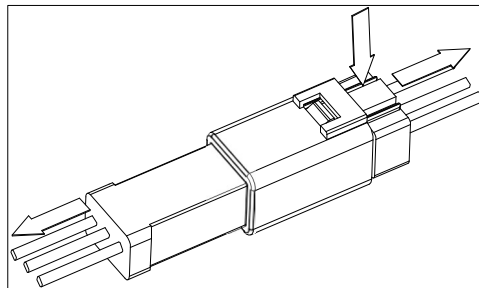


Figura 7-2 Desconecte o conector do cabo à prova d'água

3. Use uma chave Phillips nº 2 para remover os dois parafusos de fixação.

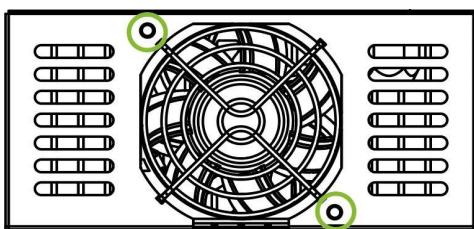


Figura 7-3 Substitua os ventiladores de refrigeração

4. Prenda os novos ventiladores de refrigeração na bandeja do ventilador. Ferramentas necessárias: chave de fenda Phillips nº 2, valor de torque: 14,2 kgf.cm ~ 18,4 kgf.cm.
5. Reinstale as ventoinhas montadas no inversor. Ferramentas necessárias: chave de fenda Phillips nº 2, valor de torque: 16,3 kgf.cm.

## 7.4. Substitua o inversor



### IMPORTANTE!

Certifique-se de que o disjuntor CA externo e o interruptor CC do inversor estejam desligados.

Substitua o inversor na ordem inversa em relação às etapas de instalação descritas na seção 4.4 Procedimentos de instalação.

1. Use uma chave de fenda PH2 para remover os parafusos M5.
2. Remova o inversor do suporte de montagem.
3. Substitua o novo inversor no suporte de montagem e aperte-o, valor de torque: 25,5 kgf.cm.

## 8. Resolução de problemas

### 8.1. Solução de problemas do indicador LED

Se a luz LED indicar alguma falha, execute a resolução de problemas de acordo com a Tabela 8-1.

Status do LED	Soluções
Avisos	<ol style="list-style-type: none"> <li>1. Desligue o disjuntor externo CA.</li> <li>2. Coloque o interruptor CC na posição OFF.</li> <li>3. Verifique a tensão e a polaridade da entrada fotovoltaica.</li> </ol>
Falhas comuns (recuperáveis)	<p>Desligue o disjuntor CA externo. Coloque o interruptor CC na posição OFF. Verifique se a tensão da rede está normal.</p> <p>Verifique se a conexão do cabo do lado CA está correta e segura.</p>
Falha irrecuperável	Consulte as Tabelas 8-2 a 8-4 para solucionar o problema.

Tabela 8-1 Solução de problemas com base nas luzes LED

### 8.2. Falhas comuns e resolução de problemas

	<b>PERIGO!</b> <ul style="list-style-type: none"> <li>● Desconecte o inversor da rede CA e dos módulos fotovoltaicos antes de abrir o equipamento. Certifique-se de que a alta tensão e a energia perigosas dentro do equipamento foram descarregadas.</li> <li>● Não opere nem faça a manutenção do inversor antes de pelo menos 10 minutos após desconectar todas as fontes de CC e CA.</li> </ul>
-------------------------------------------------------------------------------------	------------------------------------------------------------------------------------------------------------------------------------------------------------------------------------------------------------------------------------------------------------------------------------------------------------------------------------------------------------------------------------------------------

O inversor será desligado automaticamente se o sistema de geração de energia fotovoltaica falhar, como curto-círcuito na saída, sobretensão/subtensão da rede, sobrefreqüência/subfreqüência da rede, alta temperatura ambiente ou mau funcionamento interno da máquina. As informações de falha serão exibidas na interface do aplicativo.

Os problemas podem ser identificados e resolvidos com base nas definições, causas possíveis e soluções recomendadas listadas na tabela a seguir. Geralmente, existem três tipos de falha: aviso, proteção e falha de hardware. Recomenda-se uma análise adequada antes de entrar em contato com o serviço pós-venda.

Códigos de falha	Soluções
CommErr	<p>Definição: Falha na comunicação interna do inversor</p> <p>Possíveis causas: Os conectores do bloco de terminais dos fios de comunicação interna têm contato deficiente</p> <p>Soluções recomendadas:</p>

	<ol style="list-style-type: none"> <li>1. Observe por 10 minutos e veja se o alarme será eliminado automaticamente;</li> <li>2. Desligue a fonte de alimentação CC e reinicie o sistema;</li> <li>3. Entre em contato com o pessoal do serviço pós-venda.</li> </ol>
ExtFanErr	<p>Soluções recomendadas:</p> <ol style="list-style-type: none"> <li>1. Observe por 10 minutos e veja se o alarme será eliminado automaticamente;</li> <li>2. Verifique se há objetos estranhos no radiador;</li> <li>3. Desligue a fonte de alimentação CC e reinicie o sistema;</li> <li>4. Entre em contato com o pessoal do serviço pós-venda.</li> </ol>
IntFanErr	<p>Soluções recomendadas:</p> <ol style="list-style-type: none"> <li>1. Observe por 10 minutos e veja se o alarme será eliminado automaticamente;</li> <li>2. Verifique se há objetos estranhos no radiador;</li> <li>3. Desligue a alimentação CA e reinicie o sistema;</li> <li>4. Entre em contato com o pessoal do serviço pós-venda.</li> </ol>
Warn0030 (EepromErr)	<p>Definição: Alarme interno</p> <p>Soluções recomendadas:</p> <ol style="list-style-type: none"> <li>1. Observe por 10 minutos e veja se o alarme será eliminado automaticamente;</li> <li>2. Entre em contato com o pessoal do serviço pós-venda.</li> </ol>
Warn0040 (falha DC SPD)	<p>Soluções recomendadas:</p> <ol style="list-style-type: none"> <li>1. Observe por 10 minutos e veja se o alarme será eliminado automaticamente;</li> <li>2. Verifique se o SPD CC está danificado;</li> <li>3. Entre em contato com o pessoal do serviço pós-venda.</li> </ol>
Warn0050 (TempSensorErr)	<p>Soluções recomendadas:</p> <ol style="list-style-type: none"> <li>1. Observe a exibição da temperatura;</li> <li>2. Desligue a fonte de alimentação trifásica e reinicie o sistema;</li> <li>3. Entre em contato com o pessoal do serviço pós-venda.</li> </ol>

Tabela 8-2 Lista de solução de problemas de falhas de aviso

Códigos de falha	Soluções
Protect0090 (Tensão do barramento )	<ol style="list-style-type: none"> <li>1. Desligue os interruptores CC e o disjuntor CA externo.</li> <li>2. Aguarde 1 minuto entre DESLIGAR e LIGAR para que toda a energia seja descarregada.</li> <li>3. Se o inversor não conseguir eliminar a falha, substitua-o.</li> </ol>
Protect0070 (Baixa tensão no barramento)	<ol style="list-style-type: none"> <li>1. Desligue os interruptores CC e o disjuntor CA externo.</li> <li>2. Aguarde 1 minuto entre DESLIGAR e LIGAR para que toda a energia seja descarregada.</li> <li>3. Se o inversor não conseguir eliminar a falha, substitua-o.</li> </ol>
GridV.OutLim	<ol style="list-style-type: none"> <li>1. Certifique-se de que a conexão à rede está boa.</li> <li>2. Reinicie o inversor novamente.</li> <li>3. Se o inversor não conseguir eliminar a falha, substitua-o.</li> </ol>
Protect0020 (Erro do relé da rede)	<ol style="list-style-type: none"> <li>1. Desligue os interruptores CC e o disjuntor CA externo.</li> <li>2. Aguarde 1 minuto entre desligar e ligar para que toda a energia seja descarregada.</li> <li>3. Se o inversor não conseguir eliminar a falha, substitua-o.</li> </ol>
TempOver	<ol style="list-style-type: none"> <li>1. Confirme se a temperatura ambiente externa está dentro da faixa especificada de temperatura de operação;</li> <li>2. Verifique se o radiador está coberto por outros objetos;</li> </ol>

(Proteção contra superaquecimento)	<ol style="list-style-type: none"> <li>3. Verifique se o local de instalação é adequado;</li> <li>4. Observe por 30 minutos e veja se o alarme será eliminado automaticamente;</li> <li>5. Entre em contato com o pessoal do serviço pós-venda.</li> </ol>
Protect0170 (DCI alto)	<ol style="list-style-type: none"> <li>1. Aumente o limite do DCImax (por exemplo, 400 mA) para permitir que o inversor tenha mais espaço para se ajustar em condições transitórias para lidar com o desequilíbrio de impedância e tensão entre as fases da rede</li> <li>2. Após aumentar o limite, se o inversor não conseguir eliminar a falha, substitua-o.</li> </ol>
IsolationErr (Baixa resistência de isolamento) baixa)	<ol style="list-style-type: none"> <li>1. Verifique os fios do PV e do aterramento:</li> <li>2. Reinicie para ver se o inversor consegue eliminar a falha.</li> <li>3. Entre em contato com o pessoal do serviço pós-venda.</li> </ol>
GFCIErr (corrente de fuga alta)	<ol style="list-style-type: none"> <li>1. Verifique os fios do PV e do aterramento:</li> <li>2. Reinicie para verificar se o inversor consegue eliminar a falha.</li> <li>3. Entre em contato com o pessoal do serviço pós-venda.</li> </ol>
Protect0150 (Falha no Mini MCU)	<ol style="list-style-type: none"> <li>1. Desligue os interruptores CC e o disjuntor CA externo.</li> <li>2. Aguarde 1 minuto entre desligar e ligar para que toda a energia seja descarregada.</li> <li>3. Se o inversor não conseguir eliminar a falha, substitua-o.</li> </ol>
Protect0100 (Falha do sensor de vazamento )	<ol style="list-style-type: none"> <li>1. Desligue os interruptores CC e o disjuntor CA externo.</li> <li>2. Aguarde 1 minuto entre DESLIGAR e LIGAR para que toda a energia seja descarregada.</li> <li>3. Se o inversor não conseguir eliminar a falha, substitua o sensor ou o inversor.</li> </ol>
Inverta o eletrodo PVx (x=2/4)	<ol style="list-style-type: none"> <li>1. Desligue o interruptor CC</li> <li>2. Use um medidor para descobrir qual string fotovoltaica está conectada com polaridade reversa. Corrija a conexão da string fotovoltaica, se necessário.</li> <li>3. Entre em contato com o pessoal do serviço pós-venda.</li> </ol>
Tensão de entrada PVx elevada (x=2/4)	<ol style="list-style-type: none"> <li>1. Verifique se a tensão de entrada está dentro de 1100 V;</li> <li>2. Desligue os interruptores CC e o disjuntor CA externo.</li> <li>3. Aguarde 1 minuto entre desligar e ligar para que toda a energia seja descarregada.</li> <li>4. Entre em contato com o pessoal do serviço pós-venda.</li> </ol>
Protect0230 (Falha no autoteste de circuito aberto do inversor )	<ol style="list-style-type: none"> <li>1. Desligue os interruptores CC e o disjuntor CA externo.</li> <li>2. Aguarde 1 minuto entre DESLIGAR e LIGAR para que toda a energia seja descarregada.</li> <li>3. Se o inversor não conseguir eliminar a falha, substitua-o.</li> </ol>

Tabela 8-3 Lista de solução de problemas de falhas de proteção

Códigos de falha	Soluções
Falha 0010~0150	<ol style="list-style-type: none"> <li>1. Desligue os interruptores CC e o disjuntor CA externo.</li> <li>2. Aguarde 1 minuto entre DESLIGAR e LIGAR para que toda a energia seja descarregada.</li> <li>3. Se o inversor não conseguir eliminar a falha, substitua-o.</li> </ol>

Tabela 8-4 Lista de solução de problemas de falhas de hardware

## 9. Dados técnicos

Modelo	SCA10K-T-EU	SCA15K-T-EU	SCA20K-T-EU	SCA25K-T-EU
<b>Entrada CC</b>				
Potência máxima de entrada CC	16,5 kW	24 kW	31,5 kW	39 kW
Tensão máxima de entrada CC		1100 Vcc		
Faixa de tensão MPPT <sup>1</sup>		2000 - 1000 Vcc		
Faixa de tensão MPPT (Carga total)	400 – 850 Vcc	520 – 850 Vcc	400 – 850 Vcc	500 – 850 Vcc
Tensão/potência de partida		250 V		
Tensão CC nominal		600 Vcc		
Número de MPPTs		2		
Número de strings de entrada por MPPT	1		2	
Corrente máxima de entrada por MPPT	15 A		30 A	
Corrente máxima de curto-círcuito de entrada (ISC)	23 A		45 A	
Fusível da cadeia		/		
Tipo de desconexão CC		Interruptor integrado		
<b>Saída CA</b>				
Potência nominal CA	10 kW	15 kW	20 kW	25 kW
Potência ativa máxima de saída CA	11 kVA	16,5 kVA	22 kVA	27,5 kVA
Tensão nominal CA		380/400 V		
Faixa de tensão CA <sup>2</sup>		277 – 520 V		
Tipo de conexão à rede		3 / N / PE		
Corrente CA máxima	16,7 A	25,1 A	33,4 A	41,8 A
Frequência da rede	50/60 Hz	50/60 Hz	50/60 Hz	50/60 Hz
Faixa de frequência da rede		44-55 Hz / 55-65 Hz		
Fator de potência @ potência nominal		>0,99 ( $\pm 0,8$ , ajustável)		
THD de corrente		<3%		
Tipo de desconexão CA		/		
<b>Dados do sistema</b>				
Topologia		Sem transformador		
Eficiência máxima	97,63	97,83	97,54%	98,14%
Eficiência Euro	97,10%	97,50%	97,50%	97,50%
Consumo noturno		<15 W		
<b>Proteção</b>				
Conexão reversa CC Proteção		Sim		
Proteção contra curto-círcuito CA		Sim		
Proteção contra corrente de fuga		Sim		
Monitoramento da rede 24 horas		Sim		
Monitoramento de falha de aterramento		Sim		
Proteção contra sobretensão		DC Tipo II / CA Tipo II		
AFCI		Sim		
<b>Dados ambientais</b>				

Proteção contra ingresso	IP66	
Método de resfriamento	Ventiladores de resfriamento	
Temperatura de operação <sup>*3</sup>	-25 °C ~ +60 °C	
Umidade operacional	0-100%, sem condensação	
Altitude de funcionamento <sup>*4</sup>	2000 m	
<b>Visor e comunicação</b>		
Visor	LED + APP (Bluetooth)	
Comunicação	RS485 /Wi-Fi (padrão) e 4G (opcional)	
<b>Dados mecânicos</b>		
Dimensões (LxAxP) (mm)	416 * 526 * 204,5	
Peso (kg)	17	21
<b>Segurança</b>		
Certificações	IEC 62109-1/2, IEC 61000-3-11/12, IEC/EN 6100-6-1/2/3/4, IEC 61727/62116, IEC 63207, PORTARIA Nº 140&515	

Tabela 9-1 Ficha técnica

**Observação:** As curvas características neste documento são apenas para referência. Consulte a situação real.

1. A faixa de operação de potência total do inversor é de 200-1000 Vcc. Abaixo e acima dessa faixa, há uma redução linear da potência de saída do inversor. A redução linear da tensão de entrada CC é ilustrada nas figuras abaixo:

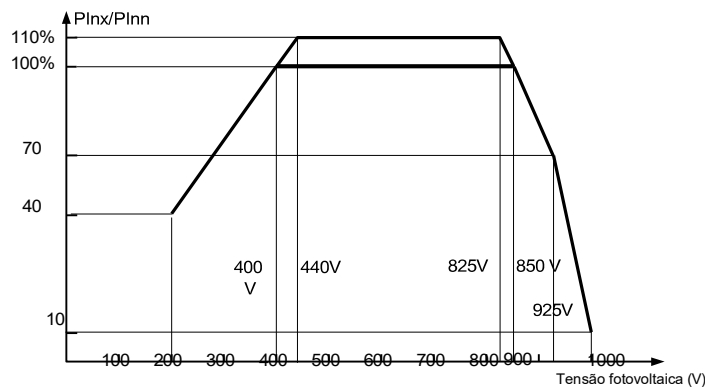


Figura 9-1 Curva de redução da tensão de entrada CC do SCA10/20K-T-EU

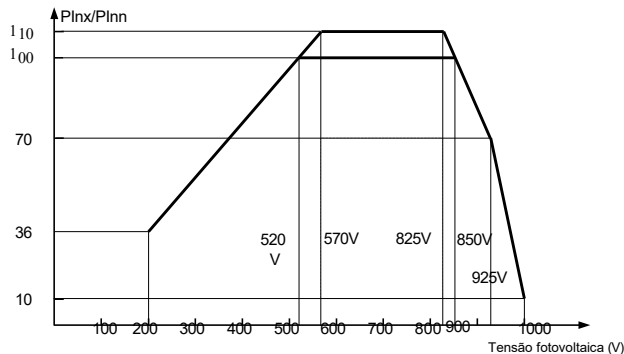


Figura 9-2 Curva de redução da tensão de entrada CC do SCA15K-T-EU

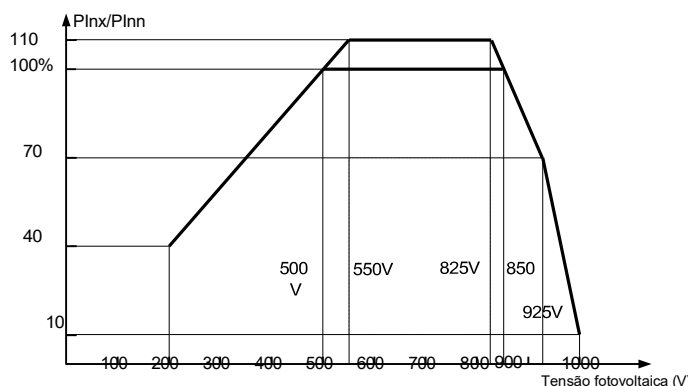


Figura 9-3 Curva de redução da tensão de entrada CC do SCA25K-T-EU

2. Redução da tensão de saída CA: A faixa de operação da tensão de saída CA do inversor é de  $0,8 \times Un$  a  $1,1 \times Un$  ( $Un$ : valor nominal padrão da rede). A redução linear da tensão de saída CA é ilustrada nas figuras abaixo:

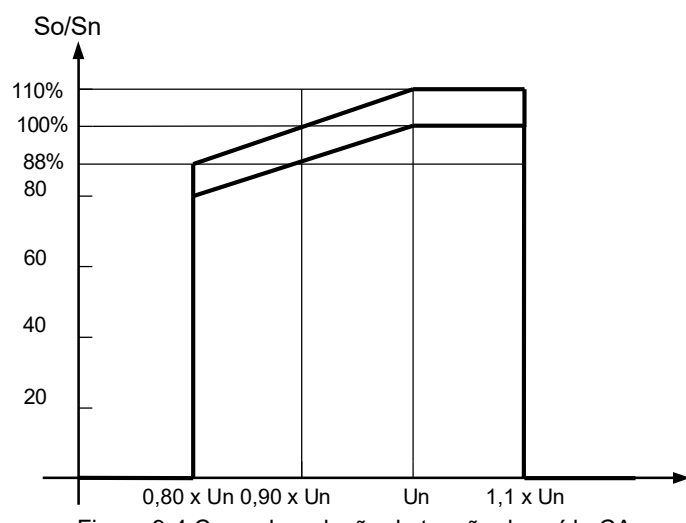


Figura 9-4 Curva de redução da tensão de saída CA

3. Redução da temperatura: Quando a temperatura de instalação aumenta, a potência de saída do inversor precisa ser reduzida. A redução deve ser realizada de acordo com a figura abaixo:

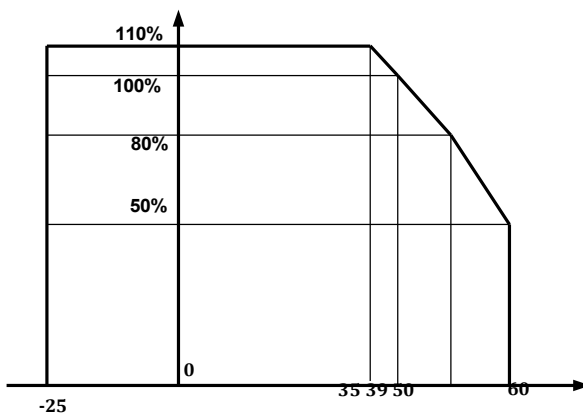


Figura 9-5 Curva de redução de potência em função da temperatura do SCA10K-T-EU @PV=615V

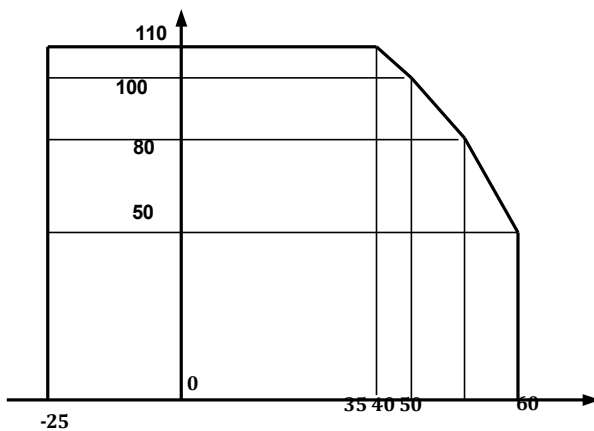


Figura 9-6 Curva de redução de potência em função da temperatura do SCA15/20K-T-EU@PV=615V

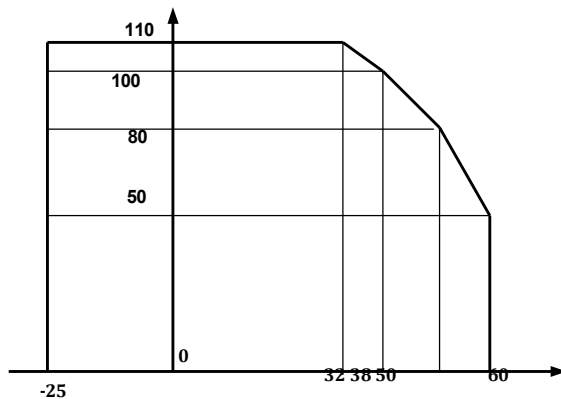


Figura 9-7 Curva de redução de potência em função da temperatura do SCA25K-T-EU @PV=615V

4. Redução de potência em função da altitude: Os detalhes da redução de potência em função da altitude e da potência de saída são ilustrados na figura abaixo.

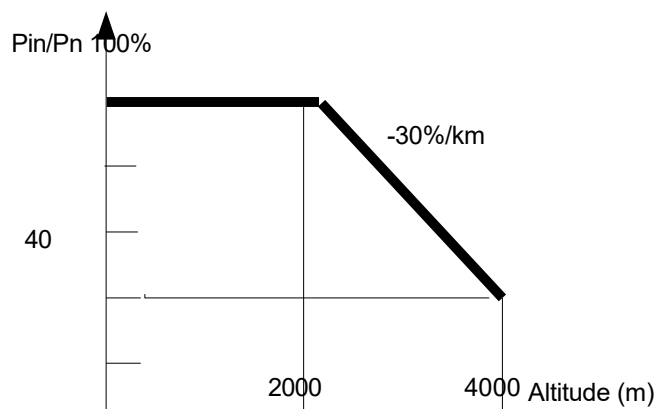


Figura 9-8 Curva de redução de potência em função da altitude

## 10. Garantia de qualidade

### 10.1. Isenção de responsabilidade

1. Exceder o período de garantia de qualidade do produto.
2. Não é possível fornecer o número de série do produto ou o SN não está claro/completo.
3. Danos durante o transporte/armazenamento/manuseio.
4. Uso indevido, abuso, danos intencionais, negligência ou danos acidentais.
5. Comissionamento, teste, operação, manutenção ou instalação inadequados realizados pelo cliente, incluindo, mas não se limitando a:
  - Não cumprimento dos requisitos de ambiente operacional seguro ou do sistema de parâmetros elétricos externos fornecidos em documento escrito;
  - Falha em operar o produto coberto de acordo com o manual de operação ou guia do usuário do produto;
  - Realocação e reinstalação de sistemas que não estejam em conformidade com os requisitos da Chint Power;
  - Ambiente elétrico ou químico inseguro ou outras condições semelhantes;
  - Falha direta causada por tensão incorreta ou sistema de energia defeituoso;
  - Desmontagem não autorizada dos produtos ou modificação não autorizada do produto ou do software fornecido;
6. Confiar a instalação, manutenção, reparo e desmontagem dos produtos a pessoal não designado pela CHINT;
7. Danos causados por ignorar as advertências de segurança no manual ou violar as regras dos regulamentos de segurança legais relevantes;
8. Danos causados por um ambiente operacional que exceda os requisitos do manual do usuário do produto ou pela falha em comissionar, instalar, usar e manter o equipamento de acordo com os requisitos do manual do usuário do produto.
9. Desastres imprevistos ou acidentes irresistíveis (incluindo, mas não se limitando a, atos de inimigos públicos, atos de agências governamentais ou instituições nacionais ou estrangeiras, vandalismo, motins, incêndios, inundações, tufões, explosões ou outros desastres, restrições epidêmicas ou de quarentena, distúrbios trabalhistas ou escassez de mão de obra, acidentes, embargos de carga ou quaisquer outros eventos fora do controle da CHINT).
10. As medidas de proteção contra raios não foram implementadas ou não estão em conformidade com as normas (as medidas de proteção contra raios dos sistemas fotovoltaicos devem estar em conformidade com as normas nacionais e IEC relevantes; caso contrário, podem ocorrer danos em dispositivos fotovoltaicos, tais como módulos, inversores, instalações de distribuição, etc., devido a descargas atmosféricas).
11. Outras circunstâncias que não estão cobertas pelo contrato de garantia pós-venda da empresa.

## 10.2. Cláusulas de garantia

1. Para produtos que apresentarem falhas durante o período de garantia, nossa empresa irá reparar ou substituir novos produtos gratuitamente.
2. O cliente deverá apresentar a fatura do produto e a data de compra. Ao mesmo tempo, a marca registrada no produto deve estar claramente visível, caso contrário, temos o direito de recusar a garantia de qualidade.
3. O produto não qualificado em substituição deve ser devolvido à nossa empresa;
4. É necessário conceder um prazo razoável para que a empresa realize a revisão do equipamento.
5. Para mais termos de garantia, consulte a política de garantia padrão aplicável em vigor no momento da compra.

Se você tiver alguma dúvida sobre o inversor fotovoltaico conectado à rede, entre em contato conosco, teremos o maior prazer em ajudá-lo.

## 11. Reciclagem



O produto não pode ser descartado como lixo doméstico ou junto com ele.

Quando chegar ao fim da vida útil, descarte de acordo com os regulamentos e normas locais aplicáveis, para evitar poluição ambiental, perdas materiais ou ferimentos pessoais.

Para obter mais informações, consulte seus distribuidores, instaladores ou o fabricante do produto.

**Shanghai Chint Power System Co., Ltd.**

Sede: No. 5999, Guangfulin Road, Songjiang District, Xangai, 201616, China Central telefônica: +86-21-37791222

Fax: +86-21-37791222-866001

Site: [www.chintpower.com](http://www.chintpower.com)

Linha direta de atendimento: +86-21-37791222-866300

E-mail: [service.cps@chint.com](mailto:service.cps@chint.com)